

საქართველოს ტექნიკური უნივერსიტეტი

თ. კუნძულია

სამთო საჭარბოთა
აეროლოგია



დამტკიცებულია სტუ-ს
სარედაქციო-საგამომცემლო
საბჭოს მიერ

თბილისი

2009

შაპ 622.4.012.271 (075)

სახელმძღვანელო შედგება ოთხი ნაწილისაგან: პირველ ნაწილში განხილულია სამთო საწარმოთა ატმოსფერო, მის შემადგენლობაში მომხდარი ცვლილებები სამთო საწარმოებში ჰაერის გადაადგილების დროს; საშახტო და საკარიერო ატმოსფეროში მატება და ფერების დაცვით აირების გამოყოფა, საწარმო მტვერი, მისი ფერების გადაადგილების დროს; საშახტო აერომექანიკა, მოცემულია შახტებში ჰაერის მოძრაობის კანონები, აირებისა და მტვრის გამოყოფა და მათი გადატანა სავენტილაციო ჭავლუბით, მოძრავ ჰაერსა და ქანებს შორის სითბოს გაცვლის პროცესები; მესამე ნაწილში – სამთო საწარმოთა ვენტილაცია, გადმოცემულია შახტების, კარიერების და მამდიდრებელი ფაბრიკების განიავების ტექნიკური მეთოდები და საშუალებები; მეოთხე ნაწილში – სამთო საწარმოთა ვენტილაციის დაპროექტება, მოცემულია შახტების და კარიერების განიავების რაოდენობის გაანგარიშება.

სახელმძღვანელო შედგენილია სასწავლო პროგრამის შესაბამისად, რომელიც შეიცავს მაღაროს აეროლოგისა და კარიერების აეროლოგის ძირითად საკითხებს, აგრეთვე მამდიდრებელი ფაბრიკების განიავების საფუძვლებს. იგი განკუთვნილია სამთო-გეოლოგიური ფაკულტეტის სამთო ტექნოლოგიების დეპარტამენტის ბაკალავრებისა და მაგისტრანტებისათვის.

რეცენზენტი: პროფესორი ა. ქ'ეთათელაძე

© საგამომცემლო სახლი “ტექნიკური უნივერსიტეტი”, 2009

ISBN 978-9941-14-083-9

<http://gtu.ge/publishinghouse/>

შესაბალი

სამთო საწარმოების აეროლოგია არის სამთო მეცნიერების ნაწილი, რომელიც შეისწავლის შახტების, მადაროებისა და კარიერების ატმოსფეროს თვისებებს და მასში მიმდინარე პროცესებს. მისი, როგორც მეცნიერული დისციპლინის მიზანია სამთო საწარმოების ატმოსფეროს მეცნიერული საფუძვლებისა და გამაჯანსაღებელი საშუალებების შექმნა. ამისათვის აუცილებელია გადაიჭრას შემდეგი მირითადი ამოცანები: 1. მავნეობების წინააღმდეგ ბრძოლის მეთოდებისა და საშუალებების დამუშავება მათი წარმოქმნისა და გამოყოფის ადგილებში; 2. ბუნებრივი ძალებისა და ფაქტორების გამოყენება კარიერების ბუნებრივი განიავების ინტენსიფიკაციისათვის; 3. კარიერებისა და მიწისქეშა სამთო საწარმოების ხელოვნური ვენტილაციის მეთოდებისა და საშუალებების დამუშავება.

სამთო საწარმოების განიავების მირითადი ამოცანაა: ა) საწარმოების შიგნით მყოფი ჰაერი იყოს სუნთქვისათვის ვარგისი, არ შეიცავდეს ჯანმრთელობისათვის მავნე და აფეთქების მხრივ საშიშ აირებს და მტვერს; ბ) საწარმოებში ჰაერის მიწოდება უნდა ხდებოდეს განუწყვეტლივ დღვ-დამის განმავლობაში იმ რაოდენობით, რომელიც საცმარისი იქნება სამუშაო ადგილებზე გამოყოფილი ან საწარმოო პროცესების შედეგად წარმოშობილი მომწამლავი და ფეთქებადი აირების და მტვრის დასაშვებ ნორმამდე გაზავებისათვის. აღნიშნული ამოცანების დროულად და ზუსტად შესრულება განაპირობებს სამთო საწარმოებში მომუშავეთა ჯანმრთელობას, უსაფრთხო შრომის

პირობებს და მათ მაქსიმალურ მწარმოებლურობას. ამ მნიშვნელობით სამთო საწარმოთა აეროლოგია უნდა განვიხილოთ როგორც შრომის დაცვის ერთ-ერთი დარგი სამთო საქმეში.

სამთო საწარმოთა აეროლოგია შედგება შემდეგი ძირითადი ნაწილებისაგან:

1. სამთო საწარმოთა ატმოსფერო. ამ ნაწილში განიხილება ჰაერის შემადგენლობაში მიმდინარე ცვლილებები, მისი მოძრაობისას მიწისქვეშა გვირაბებსა და კარიერის შიგა ხივრცეში, საშახტო ატმოსფეროს შემადგენელი ნაწილების თვისებები, საშახტო და საკარიერო ატმოსფეროში აირების გამოყოფა, საწარმოო მტვერი, როგორც აფეთქების მიზეზი და მის წინააღმდეგ ბრძოლის დონისძიებები, სამთო საწარმოთა თბური რეჟიმი და საშახტო ჰაერის კონდიცირება.

2. საშახტო აერომექანიკა. აქ განიხილება შახტებში ჰაერის მოძრაობის კანონები, აირებისა და მტვრის გამოყოფა და მათი გადატანა სავენტილაციო ნაკადებით, მოძრავ ჰაერსა და სამთო ქანებს შორის სითბოს გაცვლის პროცესები.

3. სამთო საწარმოთა ვენტილაცია. ეს ნაწილი მოიცავს შახტებისა და კარიერების ვენტილაციის უზრუნველყოფის ტექნიკურ მეთოდებსა და საშუალებებს. ამ ნაწილის მნიშვნელოვან მოცულობას წარმოადგენს სამთო საწარმოთა ვენტილაციის პროექტირება.

წინამდებარე სახელმძღვანელო შედგენილია სასწავლო პროგრამის შესაბამისად, რომელიც შეიცავს მაღაროსა და კარიერების აეროლოგიის ძირითად საკითხებს, აგრეთვე მამდიდრებელი და საბრიკეტო ფაბრიკების განიავების საფუძ-

ვლებს. იგი პირველად იბეჭდება ქართულ ენაზე და ვფიქრობთ, დიდ სარგებლობას მოუტანს საქართველოს ტექნიკური უნივერსიტეტის სამთო-გეოლოგიური ფაკულტეტის სამთო ტექნოლოგიების დეპარტამენტის სტუდენტ-ბაკალავრებს აეროლოგიის სრული კურსის შესწავლაში.

ნაწილი I. სამთო საჭარმოთა აზროსულობა

1. სამთო საჭარმოების ჰავაზი

1.1. ატმოსფერული ჰაერის შემადგენელი ნაწილები

მაღაროს ან კარიერის ჰაერი ეს ატმოსფერული ჰაერია, რომელიც მიწის ზედაპირიდან მიეწოდება და გვირაბებში მოძრაობის დროს შემადგენლობის მხრივ მოელ რიგ ცვლილებებს განიცდის. თუ ეს ცვლილებები იმდენად უმნიშვნელოა, რომ სამთო საწარმოთა ჰაერი შემადგენლობით არ განსხვავდება ატმოსფერული ჰაერისაგან, მას სუფთა ჰაერს უწოდებენ, ეგელა დანარჩენ შემთხვევაში იგი წარმოადგენს ჰუჭყიან ანუ გადამუშავებულ ჰაერს და მოკლე დროის განმავლობაში უნდა განიდევნოს სამთო საწარმოების სამუშაო ადგილებიდან.

სუფთა ატმოსფერული ჰაერის შემადგენლობა პრაქტიკულად მუდმივია. იგი წარმოადგენს აირებისა და წყლის ორთქლის ნარევს. მის შემადგენლობაშია: აზოტი 78,08%, ჟანგბადი 20,95%, არგონი 0,93%, ნახშირმჟავა აირი 0,03% და ჰელიუმი, ნეონი, კრიპტონი, ქსენონი და ოზონი, რომელთა ჯამური შემცველობა შეადგენს 0,01%-ს. გარდა ამისა ატმოსფერულ ჰაერში სხვადასხვა რაოდენობით ყოველთვის არის მტკერი, ყინულის უმცირესი კრისტალები, ტენის უწერილესი წვეთები.

ბუნებაში ჟანგბადის გამომყოფ მირითად წყაროს წარმოადგენენ ოკეანის პლანეტონური აფსკი და მცენარეული

სამყარო. ნახშირმჟავა აირი ძირითადად გამოიყოფა ვულკანების მოქმედებისა და ნიადაგში მიმდინარე ჟანგვითი პროცესების შედეგად.

ატმოსფერულ პაერს მაქსიმალური მტკრიანობა და კვამდიანობა გააჩნია მატერიკებისა და სამრეწველო რაიონების თავზე, აგრეთვე მშრალ კლიმატურ ზონებში. პაერის ფარდობითი ტენიანობა მერყეობს რამოდენიმე ათეული პროცენტიდან ას პროცენტამდე.

განვიხილოთ ატმოსფერული პაერის მთავარი შემადგენლი აირების ფიზიკურ-ქიმიური თვისებები.

1. ჟანგბადი – O₂ არის უფერო, უსუნო და უგემო აირი. მისი ხვედრითი წონაა 1,11, მოლეკულური წონა – 32. იგი ცუდად იხსნება წყალში (0°C ტემპერატურის დროს მხოლოდ 5%). ჟანგბადი ქიმიურად აქტიური ელემენტია და ადვილად უერთდება მრავალ ნივთიერებას, ხელს უწყობს წვასა და სუნთქვას.

ჟანგბადი აუცილებელია ადამიანის სუნთქვისათვის. ოუადამიანს შეუძლია საკვების გარეშე იცოცხლოს 30-40 დღე-დამე, წყლის გარეშე 10-12 დღე-დამე, ჟანგბადის გარეშე ადამიანის სიცოცხლე წყდება 4-5 წთ-ის შემდეგ. ადამიანის სუნთქვის პროცესში ჟანგბადი სასუნთქი გზებით ხვდება ფილტვებში, სადაც იგი უერთდება სისხლს და მისი საშუალებით მიეწოდება მთელ ორგანიზმს. ორგანიზმის პერიფერიებიდან ფილტვებში, დაბრუნებულ სისხლთან ერთად, მიეწოდება ნახშირმჟავა აირი, რომელიც ამოსუნთქვისას გამოიყოფა ატმოსფეროში. მშვიდ მდგომარებაში ყოფნისას ადამიანი მოიხმარს

0,3 ლ/წთ ქანგბადს, ხოლო მძიმე ფიზიკური სამუშაოს შესრულებისას – 3-4 ლ/წთ.

ადამიანი სუნთქვის პროცესში თავისი საჭიროებისათვის მოიხმარს ჩასუნთქული ქანგბადის მხოლოდ 20%-ს. დადგენილია, რომ ორგანიზმის მიერ შეთვისებული ქანგბადის რაოდენობა ყოველთვის ჭარბობს ორგანიზმის მიერ გამოყოფილ ნახშირმჟავა აირის რადენობას.

ამოსუნთქული ნახშირმჟავა აირის რაოდენობის ფარდობა დროის იმავე პერიოდში ჩასუნთქულ ქანგბადის რაოდენობასთან წარმოადგენს ე.წ. რესპირატორულ (სუნთქვის) კოეფიციენტს. საშუალო სიმძიმის სამუშაოს შესრულებისას რესპირატორული კოეფიციენტის მნიშვნელობა <1 , ხოლო მძიმე სამუშაოს შესრულებისას >1 .

შშვიდ მდგომარეობაში ყოფნისას ადამიანი ახდენს წუთში 16-18 ჩასუნთქვას და თითო ჩასუნთქვისას პაერის მოცულობა შეადგენს 0,4-0,5 ლ., ხოლო წუთში მოხმარებული პაერის მოცულობა შეადგენს 8 ლ. მძიმე ფიზიკური სამუშაოს შესრულებისას წუთში ჩასუნთქვების სიხშირე იზრდება, ხოლო მოხმარებული (ჩასუნთქული) პაერის მოცულობა აღწევს 130 ლ/წთ.

უსაფრთხოების წესების თანახმად, მიწისქვეშა პირობებში მომუშავე თითო ადამიანზე, აუცილებელია მიწოდებულ იქნას 6 მ³/წთ სუფთა პაერი. ადამიანის მიერ ყველაზე კარგად ქანგბადის ათვისება ხდება პაერში მისი 21% შემცველობის დროს, თუ ატმოსფერული წნევაა 760 მმ. ვწყ.სვ.

ადამიანის მიერ ჩასუნთქული პაერიდან ქანგბადის შეგისება დამოკიდებულია პაერში ქანგბადის პარციალურ (წი-

ლობრივ) წნევაზე. დაკვირვებები გვიჩვენებს, რომ ადამიანის ორგანიზმს გააჩნია გარემო პირობებთან კარგი შეგუების უნარი და იგი კარგად გრძნობს თავს მაშინაც, როდესაც პაერში ჟანგბადის შემცველობა არის 9-12%, მხოლოდ იმ პირობით, რომ დანარჩენი 88-91% იქნება აზოტი ან მისი მსგავსი ინერტული აირი და გადასცლა ჟანგბადის ნორმალური შემცველობიდან (21%) შემცირებულ რაოდენობაზე ხდება არა უცრად არამედ თანდათანობით.

უსაფრთხოების წესების თანახმად, სამთო საწარმოთა პაერში, სამუშაო ადგილებზე ჟანგბადის რაოდენობა უნდა იყოს არანაკლები 20%-ისა. ჩვეულებრივ, ნორმალურად განიავებულ გვირაბებში ეს პირობა ყოველთვის დაცულია. მაგრამ იმ გვირაბებში რომლებიც ცუდად ნიავდებიან ან ფეთქებადი მასალის აფეთქების შემდეგ და მაღაროს ხანძრების შემთხვევაში, ჟანგბადის რაოდენობა შეიძლება შემცირდეს 1-3%-მდე, ასეთ არეში კი ადამიანის მოხვედრისას ხდება უცრად გრძნობის დაკარგვა და სიკვდილი.

2. აზოტი – №2 წარმოადგენს ატმოსფერული პაერის ძირითად ნაწილს, იგი არის უფერო, უსუნო და უგემო, ინერტული აირი. მისი ხვედრითი წონაა 0,97, მოლეკულური წონა – 28. იგი არ უწყობს ხელს წვასა და სუნთქვას. წყალში სუსტად იხსნება. აზოტს ყოველთვის შეიცავს ადამიანის სისხლი. ატმოსფერული წნევის გაზრდასთან ერთად აზოტის შემცველობა სისხლში იზრდება. წნევის უცრად შემცირებისას (ავარიული სიტუაცია კესონებში, წყალქვეშა მომუშავის სწრაფი ამოყვანა სიღრმიდან ზედაპირზე) სისხლში შესაძლებელია წარმოი-

ქმნას აზოტის ბუშტულაქები, რაც იწვევს კესონურ დაავადებას და სიკვდილსაც კი. გარდა ამისა, აზოტით ორგანიზმის გაჯერებისას, მაღალი წნევის შემთხვევაში, აზოტმა შესაძლებელია გამოიწვიოს ტოქსიკური ზემოქმედება.

მიწისქვეშა პირობებში აზოტის გამოყოფის ძირითადი წყაროებია: 1. ორგანული ნივთიერებების ლპობა; 2. ფეთქებადი სამუშაოები; 3. გამოიყოფა ნახშირის ფენსა და ფუჭ ქანში არსებული ბზარებიდან.

შახტის ჰაერში აზოტის შემცველობა არ ნორმირდება.

3. ნახშირმჟავა აირი – CO₂ არის უფერო, სუსტი მომჟავო გემოს მქონე აირი. მისი ხვედრითი წონაა 1,52, მოლეკულური წონა – 44. იგი კარგად იხსნება წყალში. ნახშირმჟავა აირი მუდმივად გამომუშავდება ადამიანის ორგანიზმში მიმდინარე ქანგვის პროცესების შედეგად და ასრულებს სუნთქვის სტიმულატორის როლს.

ნახშირმჟავა აირის შემცველობის გაზრდა სასუნთქ ჰაერში იწვევს ორგანიზმის მოწამვლას. ცუდად განიავებულ გვირაბებში ნახშირორჟანგის რაოდენობამ შეიძლება მიაღწიოს 0,75-1,0%. ამ რაოდენობით იგი ნაკლებად მომწამდავია, მაგრამ თუ დიდი რაოდენობით დაგროვდა გვირაბში, შეიძლება გამოიწვიოს ადამიანის სასიკვდილო მოწამვლა.

სასუნთქ ჰაერში ნახშირორჟანგის კონცენტრაციის გაზრდა 0,2%-ით იწვევს ფილტვების ვენტილაციის (სუნთქვის სიხშირის და სიღრმის) 2-ჯერ გაზრდას; ორგანიზმის ფიზიკური დატვირთვის შემცირებისას სუნთქვის პროცესი ხდება ნორმალური, კინაიდან მცირდება ნახშირმჟავა აირის გამოყოფა.

პაერში ნახშირორჟანგის 3%-ის შემცველობისას სუნთქვა გახშირებულია 2-ჯერ მშვიდ მდგომარეობაში ყოფნის დროსაც კი. ნახშირორჟანგის 5%-მდე შემცველობისას – სუნთქვის სიხშირე მომატებულია 3-ჯერ. პაერში ნახშირორჟანგის 5-8% შემცველობისას წარმოიქმნება ზედა სასუნთქი გზებისა და ლორწოვანი გარსის გაღიზიანების ნიშნები, თავის ტკივილი, ხმაური ყურებში, აღგზნებულება, თავბრუხვევა, ცხელების შეგრძნება, ქოშინი, პირდებინება, მომატებულია გულისცემა და არტერიული წნევა. პაერში ნახშირმჟავა აირის 20%-იანი შემცველობისას (მაიზოლირებელ რესპირატორებში მუშაობისას) შეიმჩნევა კანის შეწითლება და ჩხვლეტა გულ-მკერდის არეში. პაერში CO₂-ის 20-25%-ის შემცველობა სასიკვდილოდ საშიშია.

მიწისქვეშა გვირაბებში ნახშირმჟავა აირის გამოყოფის ძირითადი წყაროებია მერქნისა და ნახშირის ლპობა და ჟანგვა, მჟავე წყლებით სამთო ქანების გახრწნა, გამოიყოფა ფუჭი ქანებიდან და სასარგებლო წაღისეულიდან. გამომყოფი წყაროები აგრეთვე შეიძლება იყოს ხანძრები და მეთანისა და ნახშირის მტვრის აფეთქებები.

იმის გამო, რომ ნახშირმჟავა აირი პაერზე 1,5-ჯერ მძიმეა, პაერის მოძრაობის მცირე სიჩქარეების დროს მისი კონცენტრაცია გვირაბის ქვედა ნაწილში გაცილებით მაღალია, ვიდრე გვირაბის ჭერში. გარდა ამისა იგი შეიძლება დაგროვდეს დიდი რაოდენობით და სიცოცხლისათვის საშიში გახდეს დახრილი და ვერტიკალური გვირაბების ძირში.

უსაფრთხოების წესების შესაბამისად პაერში ნახშირმჟავა აირის შემცველობა არ უნდა აღემატებოდეს შემდეგ მნიშვნელი

ლობებს: სამუშაო ადგილებზე და უბნის ამომავალ ჭავლში 0,5%-ს; ფრთის, პორიზონტისა და მთლიანად შახტის ამომავალ ჭავლის გვირაბებში – 0,75%-ს; ჩამოქცევებში გვირაბების გაფანისას და მათი აღსაღები სამუშაოების წარმოებისას – 1,0%ს.

12. პაერის შემადგენლობის ცვლილება მისი გვირაბებში მოძრაობისას

მიწისქვეშა გვირაბებში მყოფი ატმოსფერული პაერი წარმოადგენს მაღაროს ანუ შახტის პაერს. მისი შემადგენლობა და სხვა პარამეტრები განსხვავდება სუფთა ატმოსფერული პაერისაგან.

გვირაბებს, რომელთა საშუალებით სამუშაო ადგილებზე მიეწოდება სუფთა პაერი, ეწოდებათ პაერმიმწოდებელი გვირაბები, ხოლო გვირაბებს, რომელთა საშუალებით ხდება ჭუჭყიანი ანუ გადამუშავებული პაერის მოცილება – სავენტილაციო გვირაბები.

პაერის მიწისქვეშა გვირაბებში მოძრაობისას, მის შემადგენლობაში მომხდარ ცვლილებებს შეადგენს ჟანგბადის შემცირება და ნახშირმეტა აირის, მეთანის, აზოტის, ნახშირჟანგისა და სხვა აირების, აგრეთვე მტგრის რაოდენობის მომატება. გარდა ამისა, იცვლება პაერის ტემპერატურა, ფარდობითი ტენიანობა და ატმოსფერული წნევა.

ანსხვავებენ პაერის გაჭუჭყიანების ტექნოგენურ (სამთო სამუშაოების წარმართვის ტექნოლოგიაზე დამოკიდებული) და

ბუნებრივ წყაროებს. ტექნოგენური წყაროებია აფეთქებითი სამუშაოების წარმართვა, შიგაწვის ძრავების მუშაობა, ფუჭი ქანისა და სასარგებლო წიაღისეულის მონგრევა და სხვ.

ბუნებრივ წყაროებს წარმოადგენს მიწისქვეშა და ზედაპირული სამთო მასივის გაშიშვლებული ზედაპირები, მონგრეული ნახშირისა და ფუჭი ქანის ნატეხები, მინერალური წყლები და სხვ.

გარდა აირობრივი შემადგენლობის ცვლილებისა, ჰაერის გვირაბებში მოძრაობისას წარმოებს მისი ტემპერატურის გაზრდა და ტემპერატურა მით მეტია, რაც უფრო დრმადაა განლაგებული მიწის ზედაპირიდან გვირაბი.

ამავე დროს უმეტესი რაოდენობის შახტებში ადგილი აქვს გვირაბებში დიდი რაოდენობით წყალმოდენას, რაც ზრდის ჰაერის ტენიანობას მათში. ეს განსაკუთრებით იგრძნობა პიდროშახტებში და შახტებში, სადაც მონგრეული ნახშირის გადატანა ხორციელდება ჰიდროტრანსპორტის საშუალებით.

რაც შეეხება გვირაბებში ატმოსფერული წნევის ცვლილებას, რაც მეტია სამთო სამუშაოების წარმოების სიღრმე, მით მაღალია ატმოსფერული წნევა. იმ შემთხვევაში, თუ შახტი განლაგებულია მაღალმთიანეთში, მაშინ პირიქით მის გვირაბებში ჰაერის წნევა ნაკლებია, ვიდრე ჰაერის წნევა ზღვის დონეზე.

ყოველივე ამის გარდა გვირაბებში არსებულ ჰაერის წნევა მოქმედებს მთავარი განიავების ვენტილატორის მუშაობის რეჟიმი: თუ ვენტილატორი მუშაობს დაჭირებულებაზე, მაშინ გვირაბში ჰაერის წნევა უფრო მაღალია, ვიდრე მიწის ზედაპირზე

არსებული პაერის წნევა და პირიქით, თუ ვენტილატორი მუშაობს შეწოვაზე, იგი ამცირებს გვირაბში პაერის წნევას ზედაპირზე არსებულ წნევასთან შედარებით.

1.3. შახტის აირსიუხვე

აირსიუხვე ახასიათებს აირის გამოყოფის ინტენსივობას ცალკეულ გვირაბში, ამოსადები უბინის საზღვრებში, ცალკეულ ფენში ან მთლიანად შახტში. ანსხვავებენ აბსოლუტურ და ფარდობით აირსიუხვეს.

შახტის აბსოლუტური აირსიუხვე ეწოდება აირის რაოდენობას, რომელიც გამოიყოფა მის ყველა გვირაბში დროის ერთგულში. შახტის აბსოლუტური აირსიუხვე განისაზღვრება ფორმულით:

$$Q_{\text{აბს.}} = Q_{\text{შ}} (C_{\text{ამომ}} - C_{\text{შ}}) / 100, \quad \vartheta^3 / \text{წ}, \quad (1.1)$$

სადაც: $Q_{\text{შ}}$ არის შახტში მიწოდებული პაერის რაოდენობა, $\vartheta^3 / \text{წ}$; $C_{\text{შ}}$ – აირის შემცველობა შახტში მისაწოდებელ პაერში, %; $C_{\text{ამომ}}$ – აირის შემცველობა შახტიდან ამომავალ პაერის ჭავლში, %.

შახტის ფარდობითი აირსიუხვე ეწოდება აირის რაოდენობას, რომელიც გამოიყოფა დროის ერთგულში 1 ტ ან 1 ϑ^3 სამთო მასის მოპოვების დროს. შახტის ფარდობითი აირსიუხვე განისაზღვრება ფორმულით

$$Q_{\text{ფარდ.}} = \frac{Q_{\text{აბს}}}{A \cdot A}, \quad \vartheta^3 / \text{ტ}, \quad (1.2)$$

სადაც A არის შახტის მწარმოებლურობა, ტ/დღ; Q_{abs} – აბსოლუტური აირსიუხვე, მ³/წ

შახტის აირსიუხვე მნიშვნელოვანწილად დამოკიდებულია შემცველი ქანებისა და სასარგებლო წიაღისეულის აირშემცველობაზე. აირშემცველობა არის ბუნებრივ პირობებში მყოფი 1 ტ ან 1 მ³ ხელუხლებელი მასივის აირშემცველობა და იგი დამოკიდებულია წიაღისეულის წარმოშობაზე.

მაგმური წარმოშობის ქანები და მაღნები ხასიათდებიან მცირე ფორმინობით, აირგამტარობითა და მცირე სორბციული აქტივობით. მათში აირები ძირითადად თავმოყრილია ტექტონიკური აშლილობების ზონებში. აქ ძირითადად გვხვდება აზოტი, ნახშირმჟავა აირი, წყალბადი, აგრეთვე უმნიშვნელო რაოდენობით მეთანი და მისი პერიოდოგები.

დანალექი ქანები (ნახშირი, მინერალური მარილები, მანგანუმის მაღნები, ბოქსიტები, ფოსფორიტები და სხვ.) ხასიათდებიან სორბციული აქტივობით, რითაც განპირობებულია მათში მნიშვნელოვანი რაოდენობით აირების არსებობა. დანალექი ქანები შეიცავენ ნახშირწყალბადებს, ნახშირმჟავა აირებს, აზოტს, გოგირდწყალბადს, გოგირდოვან აირს, ამიაკს, წყალბადს და სხვ.

შეტამორფულ ქანებს (კვარციტები, მარმარილო, გრაფიტი, სპილენის მაღნები და სხვ.) აირშემცველობის მიხედვით უჭირავთ შეალებური მდგომარეობა მაგმურ და დანალექ ქანებს შორის.

1.4. სამთო საწარმოთა პაერში შემავალი ფეთქებადი და მომწამლავი აირები

სუფთა ატმოსფერული პაერი, მიეწოდება რა მიწის ზედა-
პირიდან სამთო საწარმოებში, თავის შემადგენლობაში განიც-
დის მნიშვნელოვან ცვლილებებს, რაც გამოიხატება მასში
სხვადასხვა ტექნოლოგიური პროცესების წარმართვისას გამო-
ყოფილი მომწამლავი და ფეთქებადი აირების კონცენ-
ტრაციების მომატებით. პაერის ცვლილებებს იწვევს აგრეთვე
სასარგებლო წიაღისეულისა და შემცველი ქანების თვისებები,
სამთო საწარმოთა მოწყობილობების ტიპები და დამუშავების
ტექნოლოგიური პროცესები.

სამთო საწარმოების ატმოსფეროში შესაძლებელია გამოი-
ყოს შემდეგი ფეთქებადი და მომწამლავი აირები:

ნახშირჟანგი – CO, ანუ მხეუთავი აირი, არის უფერო,
უსუნო და უგემო აირი. მისი ხვედრითი წონაა 0,97, მოლე-
კულური წონა – 28. იგი წყალში სუსტად იხსნება. ნახშირ-
ჟანგი წვადი და ფეთქებადი აირია. ნორმალური ტემპერა-
ტურისა და წნევის დროს ქიმიურად საკმაოდ ინერტულია.
პაერთან ერთად წარმოშობს ფეთქებად ნარევს. აფეთქების
ზღვრებია 13-75%. ყველაზე დიდი აფეთქების ძალა აქვს პაერში
30%-ის შემცველობის დროს. აფეთქების ტემპერატურაა 610-
830°C.

ადამიანის მოწამვლა ნახშირჟანგით ხდება იმის გამო,
რომ სისხლში შემცველი პემოგლობინი 300-ჯერ უფრო აქტიუ-
რად უერთდება ნახშირჟანგს, ვიდრე ჟანგბადს, რაც იწვევს

ორგანიზმის ქსოვილების უანგბადით შიმშილს. ანსხვავებენ ნახშირუანგით ადამიანის მწვავე მოწამვლის სამ ხარისხს: 1. სუსტი მოწამვლა, პაერში CO-ს 0,05%-ის შემცველობისას, გა-მოიხატება ყურებში შუილით, თავის სუსტი ტკიფილით, მუშაო-ბისას სუნთქვის აჩქარებითა და თავბრუხვევით; 2. ძლიერი მო-წამვლა, პაერში CO-ს 0,1%-ის შემცველობის დროს, ხასიათდება ზემოთჩამოთვლილი სიმპტომების გაძლიერებით და მასთან ერ-თად მოძრაობის უნარისა და გონების დაპარგვით; 3. სასიკ-ვდილო მოწამვლა, პაერში CO-ს 0,4-0,5%-ის შემცველობისას, სიკვდილი დგება მცირე ხნის ზემოქმედების დროს.

შახტებსა და კარიერებში ნახშირუანგის გამოყოფის ძირი-თადი მიზეზებია: ფეთქებადი სამუშაოები, აირისა და მტვრის აფეთქებები, სასარგებლო წიაღისეულის წვა, შიგაწვის ძრავე-ბისა და ცეცხლური ბურღვის დაზგების მუშაობა.

უსაფრთხოების წესების თანახმად სამუშაო ზონის პაერ-ში ნახშირუანგის მაქსიმალური დასაშვები კონცენტრაცია არის 0,0017%. აფეთქებითი სამუშაოების ჩატარების შემდეგ სანგრე-ვში მუშების დაშვება შესაძლებელია პაერში CO-ს 0,008%-ის შემცველობისას, იმ პირობით, რომ სანგრევში განუწყვეტლივ მიეწოდება სუფთა პაერი.

აზოტის ჟანგეფლები ანუ ფეთქებადი ნივთიერების აფეთ-ქების აიროვანი პროდუქტები: აზოტის უანგი (**NO**), აზოტის ორუანგი (**NO₂**), უფრო იშვიათად აზოტის ოთხუანგი (**N₂O₄**) და ზოგჯერ აზოტის ხუთუანგი (**N₂O₅**). მათი ორთქლი ძლიერ შხამიანია და გამაღიზიანებლად მოქმედებს თვალის, ცხვირის

და პირის ღრუს ლორწოვან გარსზე, აგრეთვე ზედა სასუნთქ გზებსა და ფილტვებზე.

ჰაერში ყველაზე მდგრადია NO_2 და N_2O_4 . აზოტის ორჟანგი 1,59-ჯერ მძიმეა ჰაერზე, ხოლო ოთხეანგი 3,18-ჯერ მძიმეა ჰაერზე. ისინი კარგად იხსნებიან წყალში.

სხვა აირებისაგან განსხვავებით აზოტის ჟანგეულების მომწამლავი მოქმედება ვლინდება არა უეცრად, არამედ მათი ჩასუნთქვიდან გარკვეული დროის (4-20 სთ და უფრო მეტიც) გავლის შემდეგ.

ჰაერში 0,006% NO_2 -ის შემცველობისას დაახლოებით 20 წთ-ის შემდეგ ადამიანს ეწყება ხველა, საერთო სისუსტე, თავის ტაივილები და ტკიფილები გულის არეში; 0,01-0,015% NO_2 -ის კონცენტრაციისას აღნიშნული სიმპტომები ჩნდება მყისიერად და უფრო მძიმე ფორმით; NO_2 -ის შემცველობა ჰაერში 0,023-0,039% – სასიკვდილოა ადამიანისათვის.

უსაფრთხოების წესების თანახმად სამთო საწარმოების ატმოსფეროში აზოტის ჟანგეულების ზღვრული დასაშვები კონცენტრაცია არის 0,00026%.

გოგირდწყალბადი – H_2S არის უფერო, მოტკბო გემოსა და ლაყე პერცხის სუნის ქრონიკული აირი. მისი ხვედრითი წონაა 1,19. იგი წვადი აირია და ჰაერში 6%-ის შემცველობისას წარმოქმნის ფეთქებად ნარევს, კარგად იხსნება წყალში.

გოგირდწყალბადი ძლიერ მომწამლავი აირია. იგი გამაღიზიანებლად მოქმედებს თვალისა და სასუნთქი გზების ლორწოვან გარსზე, აგრეთვე ნერვულ სისტემაზე. იწვევს თავის

ტკივილებს, თავბრუხევევას, პირდებინებას, ცრემლდენას, სინათლისადმი შიშს, თვალის ტკივილებს.

გოგირდწყალბადის აღმოჩენა შესაძლებელია სუნით მისი პარამეტრი 0,0001-0,0002%-ის შემცველობისას. გოგირდწყალბადით ადამიანის სასიკვდილო მოწამვლა ხდება პარამეტრი მისი შემცველობისას 0,1% ადამიანზე ხანძოკლე ზემოქმედების დროსაც.

გოგირდწყალბადის გამოყოფი ძირითადი წყაროებია: ორგანული ნივთიერების ლპობა; გოგირდის შემცველი მინერალების გახრწნა; ნახშირის ფენების წვა; ფეთქებადი ნივთიერებების გამოწვა; ცეცხლგამტარი ზონის წვა; გამოიყოფა ქანებში არსებული ბზარებიდან.

უსაფრთხოების წესების თანახმად სამთო საწარმოთა ატმოსფეროში გოგირდწყალბადის დასაშვები შემცველობა არის 0,00071%.

გოგირდოვანი აირი – SO_2 ანუ გოგირდოვანი ანჰიდრიდი არის უფერო აირი მწვავე მომჟავო გემოთი და ძლიერი გამადიზიანებელი სუნით (მოგვაგონებს წვადი გოგირდის სუნს). მისი ხელდროითი წონაა 2,3. SO_2 კარგად იხსნება წყალში და წარმოქმნის გოგირდმჟავას.

გოგირდოვანი აირი ძლიერ მომწამლავი აირია. გამადიზიანებლად მოქმედებს ზედა სასუნთქ გზებსა და თვალებზე, ხოლო მაღალი კონცენტრაციების დროს იწვევს ბრონქების ანთებას, ხორხისა და ფილტვების შეშუპებას.

ავარიულ სიტუაციებში პარამეტრი SO_2 -ის 0,05%-ის შემცველობა მოკლე დროის განმავლობაში იწვევს ადამიანის

სიკვდილს მოხრჩობის გამო. სუნით პაერში მისი აღმოჩენა შესაძლებელია SO_2 -ის 0,0005%-ის შემცველობის დროს.

მაღაროებსა და კარიერებში გოგირდოვანი აირი გამოიყოფა აფეთქებითი სამუშაოების წარმოებისას, სულფიდური და ნახშირის საბადოების ხანძრებისას, შესაძლებელია გამოიყოს სულფიდურ საბადოებში მასივიდან, ზოგჯერ გოგირდწყალბადთან და მეთანთან ერთად.

სამთო საწამოთა ატმოსფეროში SO_2 -ის შემცველობის ზღვრული დასაშვები კონცენტრაცია არის 0,00038%.

აკროლეინი – CH_2CHCOOH არის უფერო, ადვილადაორ-თქლებადი სითხე არასასიამოვნო, დამწვარი ცხიმის მკვეთრი სუნით. იგი პაერში ხვდება ორთქლის სახით. აკროლეინი უჯგრი ალდეჰიდია დუღილის ტემპერატურით 52°C . მისი ორთქლი 1,9-ჯერ მტიმეა პაერზე და კარგად იხსნება წყალში.

აკროლეინი მეტად მომწამლავია. იგი აღიზიანებს თვალის ლორწოვან გარსსა და სასუნთქ ტრაქტს, იწვევს თავბრუხევას, ტკივლს კუჭის არეში, გულისრევასა და პირდებინებას. 0,014% აკროლეინის შემცველ ატმოსფეროში 10 წუთის განმავლობაში ყოფნა ადამიანისათვის სასიკვდილოა.

აკროლეინი გამოიყოფა მაღალი ტემპერატურის ზემოქმედებით დიზელის საწვავის შემადგენელ ნაწილებად დაშლის შედეგად.

კარიერის ატმოსფეროში აკროლეინის შემცველობის ზღვრული დასაშვები კონცენტრაცია არის 0,0008%.

ფორმალდეჰიდი – CH_2O ანუ ჭიანჭველის ალდეჰიდი არის უფერო აირი, მკვეთრი მახრჩობელა სუნით. ადვილად იხსნება

წყალში. მისი ხელითი წონაა 1,4. იგი ძლიერ მომწამლავი აირია, გამაღიზიანებლად მოქმედებს სასუნთქი გზების ლორწოვან გარსება და ცენტრალურ ნერვულ სისტემაზე.

ჩასუნთქულ პაკერში ფორმალდეპიდის 0,007%-ის შემცველობისას ხდება თვალის და სასუნთქი გზების ლრწოვანი გარსის მსუბუქი გაღიზიანება.

ფორმალდეპიდით მწვავე მოწამვლის შემთხვევაში აღინიშნება კონიუქტივიტი, სურდო, ბრონქიტი, საერთო სისუსტე.

კარიერებში ფორმალდეპიდის გამოყოფის ძირითადი წეროებია: აფეთქებითი სამუშაოები, საავტომობილო ტრანსპორტისა და ცეცხლური ბურღვის დანადგარების მუშაობა, აგრეთვე სასარგებლო წიაღისეულის თვითწვა (თვითანთქმა).

შახტებისა და კარიერების ატმოსფეროში ფორმალდეპიდის ზღვრული დასაშვები კონცენტრაცია არის 0,00016%.

ამიაკი – NH₃ არის უფერო, მკვეთრი დამახასიათებელი სუნის მქონე აირი. მისი ხელითი წონაა 0,596. იგი კარგად იხსნება წყალში. NH₃ პაკერში 16-26%-ის შემცველობისას წარმოქმნის ფეთქებად ნარევს.

ამიაკი ძლიერ მომწამლავი აირია. იგი იწვევს ზედა სასუნთქი გზების ლორწოვანი გარსის გაღიზიანებას, ენისა და ხორხის შეშუბებას, მწვავე ბრონქიტს, არტერიული წნევის დაცემას, თვალების გაღიზიანებას, ხოლო თვალში მოხვდერისას – სიბრმავეს.

სამთო საწარმოებში ამიაკი ძირითადად წარმოიშობა ფეთქებადი სამუშაოების წარმართვისას, ხანძრების ქრობის დროს, როდესაც წყალი ეხება ნახშირის გაგარვარებულ

ზედაპირს, აგრეთვე სამაცივრო დანადგარების გამაცივებელი აგრეგატის მწყობრიდან გამოსვლის შემთხვევებში.

პაერში ამიაკის შემცველობის დასაშვები ნორმაა 0,002%.

წყალბადი – H₂ არის უფერო, უსუნო და უგემო აირი. ფიზიოლოგიურად ინერტულია. მისი ხვედრითი წონაა 0,09. იგი წვადი აირია. წყალბადი ფეთქდება პაერში მისი შემცველობისას 4-74%. კველაზე დიდი აფეთქების ძალა აქვს პაერში 28,6%-ის შემცველობისას.

სამთო საწარმოთა პაერში გამოიყოფა ფუჭი ქანებიდან, აგრეთვე კალიუმის მადნიდან და ნახშირის ფენებიდან, გამოიყოფა ხანძრების დროს სხვა წვად აირებთან ერთად, აკუმულატორული ბატარეების დამუხტვის დროს.

შახტების აირის მიხედვით კატეგორიებად დაყოფისას მიიღება, რომ 1 მ³ წყალბადი 2 მ³ მეთანის ექვივალენტურია.

პაერში წყალბადის შემცველობის ზღვრული დასაშვები კონცენტრაცია არის 0,5%.

1.5. პაერში აირების შემცველობის გაზომვის ხერხები

პაერის შემადგენლობისა და მასში სხვადასხვა აირის შემცველობის კონტროლის განხორციელება შესაძლებელია განუწყვეტლივ და ეპიზოდურად. დანიშნულების შესაბამისად აირის საკონტროლო ხელსაწყოები (აირანალიზატორები) იყოფა სამჯგუფად: გადასატანი (ინდიკიდუალური), სტაციონარული და ჩამონტაჟებული.

გადასატანი ხელსაწყოები ემსახურებიან პაერში აირების შემცველობის ეპიზოდურ კონტროლს ხალხის სამუშაო ადგილებში, ხოლო სტაციონარული – აირების შემცველობის განუწყვეტელ კონტროლს გვირაბების ყველაზე დამახასიათებელ საკვანძო ადგილებში. ეს უკანასკნელები უზრუნველყოფებ უსაფრთხოების წესებით დასაშვებ კონცენტრაციებზე მეტად აირის კონცენტრაციების გაზრდისას ელექტროდანადგარების გათიშვას.

სამთო მანქანებში ჩამონტაჟებული ხელსაწყოები იძლევიან სიგნალებს პაერში აირების შემცველობის შესახებ და თიშავენ სამთო მანქანებს, იმ შემთხვევაში, როდესაც აირის კონცენტრაცია გადააჭარბებს დასაშვებ ნორმას. მოქმედების პრინციპის მიხედვით აირანალიზატორი შეიძლება იყოს ქიმიური, ფიზიკური ან ფიზიკურ-ქიმიური მოქმედებისა.

ქიმიური აირანალიზატორების მოქმედების პრინციპი დამყარებულია პაერში შემცველი აირებისა და სპეციალურ მიღავებში მოთავსებული რეაქტივების ურთიერთქმედების პრინციპზე. სპეციალურ მიღავებში მოთავსებული რეაქტივი იცვლის ფერს, მიღავები გატარებულ პაერში შემცველი აირის ზემოქმედების შედეგად. თითოეული რეაქტივი განკუთვნილია განსაზღვრული აირისათვის. რეაქტივის შეცვლილი ფერის სვეტის სიმაღლის მიხედვით განისაზღვრება აირის კონცენტრაცია (კონცენტრაციის სკალა დატანილია მიღავებ). ასეთი ტიპის აირანალიზატორების დადებითი მხარეა ის, რომ ისინი საშუალებას იძლევიან სწრაფად, 1-5 წუთის განმავლობაში, განვსაზღვროთ აირის კონცენტრაცია, ხოლო მათი უარყოფითი მხა-

რეა – მცირე სიზუსტე (გაზომვის დასაშვები ცდომილება არის $\pm 25\%$).

აირების ფიზიკური თვისებების გამოყენების პრინციპზე მოქმედი აირანალიზატორებიდან ყველაზე მეტი გავრცელება მოიპოვეს ოპტიკურმა აირანალიზატორებმა. მათი მოქმედების პრინციპი დამუარებულია ინტერფერენციული ზოლის გადაადგილების სიდიდის გაზომვაზე. ინტერფერენციული ზოლის გადაადგილება გამოწვეულია ეტალონური აირების ნარევისა და გამოსაკვლევი აირის სხვადასხვა თპტიკური სიმკვრივით. ინტერფერენციული ზოლის გადაადგილების სიდიდე განისაზღვრება მოცულობით პროცენტებში გრადუირებული სკალის მიხედვით. ინტერფერომეტრის დადებითი მხარეა მისი უსაფრთხოების მაღალი ხარისხი და გაზომვების საკმარისი სიზუსტე.

აირების ფიზიკურ-ქიმიური თვისებების გამოყენების პრინციპზე მოქმედი აირანალიზატორებიდან, ყველაზე მეტად გავრცელებულია აირანალიზატორები, რომლებიც მოქმედებენ თერმოკატალიზურ პრინციპზე. ამ პრინციპის არსი მდგომარეობს კატალიზურად აქტიური ლითონის ზედაპირზე წვადი აირების დაუანგვისას გამოყოფილი სითბოს რაოდენობის გაზომვაში. თერმოჭინადობის სახით გამოიყენება პლატინა ან პელისტორი (იგი შედგება ალუმინის ჟანგის თერმომედეგი შრით დაფარული პლატინის სპირალისაგან), რომელზედაც დატანილია აქტიური კატალიზატორი (პალადიუმი ან თორიუმი).

2. მეთანი

2.1. მეთანის ფიზიკურ-ქიმიური თვისებები

მეთანი – CH_4 არის უფერო, უსუნო, უგემო აირი. მისი ხვედრითი წონაა 0,554. იგი ფიზიოლოგიურად ინერტულია. საშიშია იმდენად, რამდენადაც პაერში მისი რაოდენობის გაზრდა იწვევს ჟანგბადის შემცირებას. მეთანი წყალში ძნელად იხსნება. ჩვეულებრივი წნევისა და ტემპერატურის დროს რეაქციაში შედის მხოლოდ პალოგენებთან. იგი წვალი და ფერებითი აირია. პაერთან ერთად წარმოშობს ფეთქებად ნარევს და აფეთქების შედეგად წარმოიშობა ნახშირორჟანგი, წყალი და აზოტი.

მეთანის აალების ტემპერატურად მიღებულია $650\text{--}750^{\circ}\text{C}$, მაგრამ ეს ტემპერატურა შეიძლება იყოს მეტიც და ნაკლებიც. იგი დამოკიდებულია აალების ტემპერატურაზე, მეთანის შეცველობაზე პაერში და სხვა აირების მინარევებზე. დაღენილია, რომ გავარვარებული ზედაპირიდან მეთანი ფეთქდება 1200°C , მაგრამ შეიძლება აფეთქდეს 500°C -ზეც.

მეთანის განსაკუთრებული თვისება არის ის, რომ იგი ფეთქდება არა უეცრად, არამედ გარკვეული დაყოფნებით. თუ ტემპერატურა 650°C -ის, დაყოვნება შეადგენს 100 წმ-ს, 750°C -ის დროს – 11 წმ-ს, ხოლო 1200°C -ის დროს – 0,02 წმ-ს. მიუხედავად იმისა, რომ 0,02 წმ დროის ძალზე მცირე მონაკვეთია, მას მაინც დიდი პრაქტიკული მნიშვნელობა გააჩნია მაღაროებში ფეთქებადი სამუშაოების უსაფრთხოდ წარმართვისათვის.

ჩემი ფეთქებადი მასალის აფეთქების მომენტი შეიძლება დავიყვანოთ მილიწამდე, ამ დროის მონაკვეთში კი მეთანი ვერ ასწრებს აფეთქებას, რაც ნაწილობრივ უდევს საფუძვლად მცველი ფეთქებადი ნივთიერების დამზადებას.

დადგენილია, რომ თუ მოცულობა, რომელშიც ფეთქდება მეთანი მუდმივია, მეთანის აფეთქების შედეგად გამოყოფილი ტემპერატურა აღწევს $2150\text{--}2650^{\circ}\text{C}$, ხოლო თუ აფეთქების შედეგად გამოყოფილ აირებს გააჩნიათ თავისუფლად გაფართოების საშუალება, მაშინ ტემპერატურა შეადგენს 1850°C .

დადგენილია, რომ მეთანის აფეთქების შედეგად ყველაზე დიდი წნევა ვითარდება მაშინ, როდესაც აფეთქება ხდება მუდმივ მოცულობაში და მეთანის შემცველობა ჰაერში შეადგენს 9,5%-ს. ამ პირობებში აფეთქებისას განვითარებული წნევა დაახლოებით ცხრაჯერ აღემატება აფეთქებამდე არსებულ წნევას.

მეთანის აფეთქების ზღვრები შემდეგია: 1. მეთანის რაოდენობა ჰაერში არის 0-5%, ამ შემთხვევაში მეთან-ჰაერის ნარევი არაფეთქებადია, მაგრამ იწვის მაღალი ტემპერატურის ზემოქმედებით; 2. მეთანის რაოდენობა ჰაერში არის 5-14%, ამ დროს მეთან-ჰაერის ნარევი ფეთქებადია და ყველაზე დიდი აფეთქების ძალა აქვს ჰაერში მეთანის 9,5%-ის შემცველობის დროს; 3. მეთანის რაოდენობა ჰაერში არის 14%-ზე მეტი. ამ დროს ნარევი არც ფეთქდება და არც იწვის. ამ შემთხვევაში ადგილი აქვს აღის მთლიან ჩაქრობას, რაც აისხება მეთანის დიდი თბოტევადობით.

უსაფრთხოების წესების შესაბამისად დადგენილია სხვადასხვა გვირაბების ჰაერის ჭავლში მეთანის ზღვრული დასაშ-

ვები კონცენტრაციები და მისი სიდიდეები მოცემულია ცხრილში 2.1:

ცხრილი 2.1

№	პაკრის ჭავლის დასახელება	მეთანის ხდევის დასახელები კონცენტრაცია, %
1	საწმენდ ან ყრუ სანგრევიდან, კამერიდან, ამოსაღები უბნიდან ამომავალი პაკრის ჭავლი	1,0
2	ამოსაღები ყროის ან მოული შახტის ამომავალი პაკრის ჭავლი	0,75
3	ამოსაღებ უბანში, საწმენდ ან ყრუ სანგრევში, აგრეთვე კამერებში მისაღებელი პაკრის ჭავლი	0,50
4	მეთანის ადგილობრივი დაგროვებაზე საწმენდ, მოსამზადებელ ან სხვა გვირაბში	2,0

2.2. მეთანის გამოყოფის სახეები

სამთო საწარმოებში მეთანი გამოიყოფა სასარგებლო წიაღისეულიდან, გვერდითი ქანებიდან და გამომუშავებული სივრციდან. არსებობს მეთანის გამოყოფის სამი სახე:

1. ჩვეულებრივი გამოყოფა. სასარგებლო წიაღისეულის ფენში ან გვერდით ქანებში არსებული თვალით უხილავი ფორებიდან, ბზარებიდან და ფენის გაშიშვლებული ზედაპირიდან მეთანის მცირე რაოდენობით, მაგრამ განუწყვეტლივ გამოყოფას, ჩვეულებრივი გამოყოფა ეწოდება.

2. სუფლიარული გამოყოფა. სასარგებლო წიაღისეულის ფენში ან გვერდით ქანებში არსებული თვალით ხილული ბზარებიდან და ხერებებიდან მეთანის დიდი რაოდენობით გამოყოფას სუფლიარული გამოყოფა ეწოდება. ამ დროს გამოყოფილი მეთანის რაოდენობა ცვალებადობს რამდენიმე ათეული მ³-დან ათასეულ მ³-მდე დღე-დამეში, გამოყოფა კი შეიძლი

ლება გრძელდებოდეს რამდენიმე საათიდან რამდენიმე წლამდე. სუფლიარული გამოყოფის საწინააღმდეგო საშუალებანია: ნახშირის მასივის წინასწარი დეგაზაცია (წინმსწრები ჭაბურდილების გაბურღვა, დამცავი ფენების წინასწარი დამუშავება, შესაბამისი ჭერის მართვა), საშიშ გვირაბებში აირის კაპტაჟი, მისაწოდებელი ჭაერის რაოდენობის გაზრდა.

3. უეცარი გამოყოფა. მეთანის უეცარი გამოყოფა ხასიათდება გვირაბში ნახშირის ფენიდან მოულოდნელად, დროის მცირე მონაკვეთში, მეთანისა და ნახშირის მასის დიდი რაოდენობით გამოსროლით. ამ დროს უეცრად გამოყოფილი მეთანის რაოდენობა ცვალებადობს ათეული მ³-დან რამდენიმე ათას მ³-მდე, გამოსროლილი ნახშირის მასა კი 1-2 ტონიდან ათასობით ტონამდე. მეთანის უეცარი გამოყოფის საფრთხე მით უფრო დიდია, რაც ნაკლებია ნახშირის სიმკვრივე, დიდია ფენის სიმძლავრე, მაღალია ფენის დახრის კუთხე და დიდია ფენის ტექტონიკური აშლილობა. მეთანის უეცარ გამოყოფას წინ უძლვის შემდეგი გამაფრთხილებელი ნიშნები: ნახშირის ფენაზე და სამაგრ მასალაზე სამთო წნევების გაზრდა, ჭერის დაწვევა და საგები გვერდის ამობურცვა, ყრუ დარტყმები ქანების მასივში, რომლებიც ქვემეხის გასროლის ხმას მოგვაგონებს.

2.3. ნახშირისა და აირის უეცარი გამოსროლის საწინააღმდეგო ზომები

ისეთ შახტებში სადაც მოსალოდნელია ნახშირისა და აირის უეცარი გამოსროლა, გარდა საერთო გამაფრთხილე-

ბეჭი ზომებისა, მეთანის საწინააღმდეგოდ აუცილებელია შემ-დეგი ღონისძიებების ჩატარება:

1. დამუშავების ისეთი სისტემების გამოყენება, რომლებ-შიც მინიმუმამდე იქნება დაყვანილი მოსამზადებელი სამუშა-ობი;

2. დამუშავება დამცავი ფენების წინსწრებით. რამდენიმე ფენის ერთდროულად დამუშავებისას პირველ რიგში მუშავდე-ბა ის ფენი რომელიც არ არის საშიში უეცარი გამოსროლის მხრივ და დაშორებულია საშიში ფენიდან 50 მ-ით. ამ დროს საშიშ ფენში მცირდება დაძაბულობა, იცვლება ნახშირის ფე-ნისა და გვერდითი ქანების გაზის ფილტრაციის პირობები, ხდება ფენის დეგაზაცია და მისი პოტენციური ენერგიის შემ-ცირკება.

3. მოსამზადებელ და საწმენდ სანგრევებში ნახშირის მონგრევა ხორციელდება ფეთქებადი სამუშაოებით და არა დარტყმითი მანქანების გამოყენებით.

4. სანგრევის აფეთქება წარმოებს მიწის ზედაპირიდან ან თავშესაფარი კამერიდან, როდესაც ხალხი გამოყვანილია მი-წის ზედაპირზე ან იმყოფება გვირაბში უსაფრთხო ადგილზე.

5. ფეთქებადი მასალის დიდი მუხტებით აფეთქება (მასი-ური აფეთქება).

6. მოსამზადებელ სანგრევებში 200-300 მმ. დიამეტრისა და 10-20 მ სიგრძის მოწინავე ჭაბურღლილების გაყვანა, რომელიც ხელს უწყობს ჭაბურღლილის ირგვლივ ფენის დაძაბულობის შემცირებას, აუმჯობესებს გაზის ფილტრაციას და იწვევს ფე-ნის დეგაზაციას.

7. აგარიაში მოხვედრილი ხალხის გადასარჩენი დონის-ძიებების შემუშავება, გვირაბებისა და ამოსაღები უბნების სექციური განიავება, თაგშესაფარი კამერების მოწყობა, მუშების თვითმაშველებით მომარაგება და ა.შ.

2.4. ნახშირის ფენებისა და ქანების მეთანშემცველობა და მეთანსიუხევა

ნახშირის ფენის მეთანშემცველობა ეწოდება მეთანის რაოდენობას, რომელსაც შეიცავს ერთი ტონა ან ერთი m^3 ნახშირი ბუნებრივ პირობებში ($\text{m}^3/\text{ტ}$ ან $\text{m}^3/\text{მ}^3$).

ნახშირის ფენის მეთანის მიხედვით აირტევადობა ეწოდება თავისუფალ ან სორბირებულ მდგომარეობაში მყოფი მეთანის რაოდენობას, რომელსაც შთანთქავს ერთი ტონა ან ერთი m^3 ნახშირი მოცემული წნევისა და ტემპერატურის დროს.

მეთანსიუხევის მიხედვით განასხვავებენ აბსოლუტურ და ფარდობით მეთანსიუხევეს. აბსოლუტური მეთანსიუხევ არის მეთანის რაოდენობა $\text{m}^3\text{-ში}$, რომელიც გამოიყოფა მაღაროში დღულამის განმავლობაში.

შახტის ან მაღაროს ფარდობითი მეთანსიუხევ წარმოადგენს მაღაროში გამოყოფილ მეთანის რაოდენობას, რომელიც მოღის დღულამის განმავლებაა $\text{m}^3/\text{ტ}$.

ფარდობითი მეთანისიუხევის მიხედვით ნახშირის შახტები იყოფა 5 კატეგორიად, რომელთაგან პირველიდან მეოთხე კატეგორიის ჩათვლით შახტების განაწილება ხდება დღვ-დამეში მოპოვებულ ყოველ ტონა ნახშირზე მოსული გამოყოფილი მეთანის მიხედვით, ხოლო მეხუთე კატეგორიაში გაერთიანებულია უეცარი გამოტყორცნის მხრივ საშიში შახტები.

შახტების დაყოფა კატეგორიებად ფარდობითი მეთანისიუხევის მიხედვით მოცემულია ცხრილში 2.2:

მაღნეულის და არამაღნეული სასარგებლო წიაღისეულის დამამუშავებელი მაღაროები მეთანის და წყალბადის (ერთბლივად) ფარდობითი აირსიუხევის მიხედვითაც იყოფიან 4 კატეგორიად, მხოლოდ ფარდობითი აირსიუხევის ცვლილების ბიჯი შეადგენს 7 მ³/ტ.

ცხრილი 2.2

შახტის ან მაღაროს კატეგორია მეთანის მიხედვით	პირები	ტენი	განებები	შემთხვევების დამამუშავებელი მაღაროები მეთანის მიხედვითაც იყოფიან 4 კატეგორიად, მხოლოდ ფარდობითი აირსიუხევის ცვლილების ბიჯი შეადგენს 7 მ ³ /ტ.
შახტის ან მაღაროს ფარდობითი მეთანისიუხევე, მ ³ /ტ	0-5	5-10	10-15	>15

აირის მიხედვით შახტის კატეგორიის დასადგენად აუცილებელია ვიცოდეთ აბსოლუტური და ფარდობითი აირსიუხევე. აბსოლუტური აირსიუხევის დასადგენად შახტის საერთო ამომავლ ჰავლში დღეში სამჯერ იდებენ პაერის სინჯს და იმავე

გვირაბში ზომავენ გამავალ პაერის რაოდენობას. აღნიშნული ოპერაციები ტარდება 10 დღეში ერთხელ ერთი თვის განმავლობაში. მიღებული სინჯების ლაბორატორიაში დამუშავებით ადგენენ მეთანის საშუალო პროცენტულ რაოდენობას და აბსოლუტურ აირსიუხვეს განსაზღვრავენ ფორმულით

$$Q_{CH_4\text{abs}} = \frac{Q_1 C_1 + Q_2 C_2 + Q_3 C_3}{3 \cdot 100}, \quad \text{გ}^3/\text{წ}, \quad (2.1)$$

სადაც: Q არის პაერის რაოდენობა სინჯის აღების მომენტში, $\text{გ}^3/\text{წ}$; C —აღებულ სინჯში აირის პროცენტული შემცველობა.

ფარდობითი აირსიუხვე განისაზღვრება მაქსიმალური აბსოლუტური აირსიუხვის მიხედვით, ფორმულით

$$Q_{CH_4\text{fard}} = \frac{Q_{CH_4\text{abs}} \cdot 1440 \cdot n}{T}, \quad \text{გ}^3/\text{ტ}, \quad (2.2)$$

სადაც $Q_{CH_4\text{abs}}$ არის მაქსიმალური აბსოლუტური აირსიუხვე თვის განმავლობაში, $\text{გ}^3/\text{წ}$; n – სამუშაო დღეთა რიცხვი იმ თვეში, როდესაც ვაწარმოებთ გაზომვებს; T – შახტის მწარმოებლურობა აღნიშნულ თვეში.

ის შახტები, რომლებშიც თუნდაც ერთ გვირაბში აღმოჩნდა მეთანი მიეკუთვნებიან მეთანის მიხედვით საშიში შახტების კატეგორიას.

2.5. მეთანის საშიში რაოდენობით დაგროვების საწინააღმდეგო ზომები

უსაფრთხოების წესების თანახმად, უბნის ამომავალ ჭავლში მეთანის შემცველობა არ უნდა აღემატებოდეს 1%, ხოლო

შახტის საერთო ამომავალ ჭავლში კი – 0,75%. ამ მოთხოვნის მკაცრად დასაცავად აუცილებელია:

1. შახტის განიავება არა ბუნებრივი განიავებით, არამედ ვენტილატორებით. სავენტილატორო დანადგარი უნდა შედგებოდეს: ორი ერთიმეორისაგან დამოუკიდებელი ვენტილატორის, ორი ძრავის, ორი ელექტროძალური ხაზისა და სარევერსიო მოწყობილობისაგან;
2. ექვივალენტური ხვრელის სიდიდე სასურველია მეტი იქნება 1,5 $\text{m}^2\cdot\text{წე}$, დეპრესია კი – არ აღემატებოდეს 150-300 მმ წყ. სვ;
3. სანგრევების განიავება აქტიური ჭავლით და არა დიფუზიით;
4. შახტის განიავება შეწოვაზე მომუშავე ვენტილატორებით, მოსამზადებელი სანგრევებისა კი – დაჭირხვნაზე მომუშავე ვენტილატორებით;
5. 10^0 -ზე მეტი დახრის კუთხის მქონე ფენებში გამოყრებული უნდა იქნეს მხოლოდ აღმავალი განიავება;
6. ქვესართულებით დამუშავების დროს წინ უნდა უსწრებდეს ქვედა ქვესართული;
7. პაერის მოძრაობის სიჩქარე საჭიროა იქნება: საწმენდ სანგრევში არანაკლები $0,25 \text{ m}/\text{წმ}$, ხოლო მოსამზადებელ სანგრევში – $0,15 \text{ m}/\text{წმ}$;
8. აღმავალი გვირაბების მინიმალური რაოდენობა;
9. სანგრევების განიავება საერთო-საშახტო დეპრესიის ხარჯზე;
- 10 განიავების მკაცრი კონტროლი.

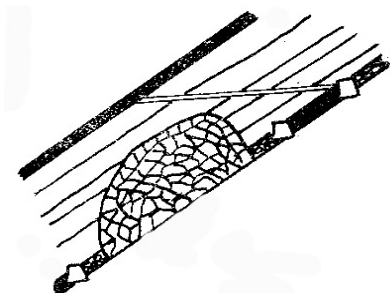
2.6. ნახშირის ფენების დეგაზაცია

დასამუშავებელი ნახშირის ფენებიდან სხვადასხვა საშუალებით მეთანის ხელოვნურად ამოღების პროცესს დეგაზაცია ეწოდება. მისი დანიშნულებაა შემცირდეს ნახშირის ფენებისა და გვირაბების მეთანისუხვე და მეთანი გამოყენებულ იქნას საჭიროებისამებრ.

ნახშირის ფენის დეგაზაციის ყველა მეთოდი იყოფა ორ ძირითად ჯგუფად: 1. ფენის დეგაზაცია მისი ექსპლუატაციის პროცესში; 2. ფენის წინასწარი დეგაზაცია საწმენდი სამუშაოების დაწყებამდე.

განვიხილოთ დეგაზაციის ხერხები ცალ-ცალკე.

1. ახლომდებარე ფენების დეგაზაცია ჭაბურთილებით. ამ ხერხის არსი მდგომარეობს შემდეგში: ექსპლუატაციაში მყოფი



ნახ. 2.1

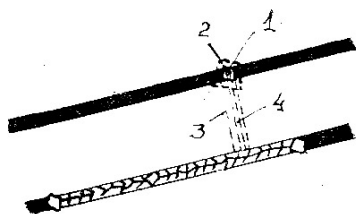
ფენის გვირაბიდან ბურდავენ ჭაბურთილს ახლომდებარე ფენის გადაკვეთამდე, საიდანაც მიღებითა და ვაპუუმ-ტუმბოებით ხდება მეთანის შეწოვა (ნახ.2.1).

განსაკუთრებული ყურადღება უნდა მიექცეს ჭაბუ-

რლილის მიცემის ადგილს. იგი საქმაო მანძილით უნდა იყოს დაშორებული საწმენდი სანგრევიდან და ახლომდებარე ფენს უნდა კვეთდეს სამთო წნევებისაგან განტვირთვის ზონაში. წინააღმდეგ შემთხვევაში ადგილი ექნება გამომუშავებული სივრ-

ციდან მეთან-ჰაერის ნარევის შეწოვას, რაც შეამცირებს დეგაზაციის ეფექტურობას. დაკირვებები გვიჩვენებს, რომ დეგაზაციის ამ მეთოდის გამოყენებისას ფენის მეთანსიუხეები შეიძლება შევამციროთ 60-80%-ით.

2. ახლომდებარე ფენების დეგაზაცია გვირაბებით მდგრადარეობს შემდეგში: ექსპლუატაციაში მყოფი ფენის საწმენდი სანგრევიდან განსაზღვრულ მანძილზე ახლომდებარე ფენის

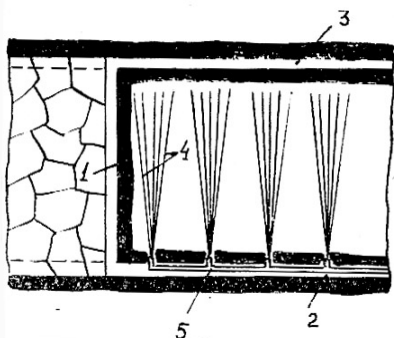


ნახ. 2.2

გადაკვეთამდე გაჰყავთ გეზენკი (ნახ. 2.2(3)), საიდანაც სადეგაზაციო ფენში გაიყვანება სადრენაჟო გვირაბი 1, რომელსაც ჰქონდება გადაკვეთამდე გადაკეტავენ ზღუდარით 2. ამ უკანასკნელში დატანებულია აირშემწოვი

მილი, რომელიც გეზენკის მილსადენის 4 საშუალებით უერთდება მაგისტრალურ მილსადენს. ეს მეთოდი ეფექტურია მაშინ, როდესაც ფენებს შორის მანძილი არ აღემატება 20-30 მ-ს.

3. ექსპლუატაციაში მყოფი ნახშირის ფენის დეგაზაცია ჭაბურდილებით. ეს მეთოდი გამოიყენება გრძელი სვეტებით დამუშავების სისტემის გამოყენების დროს ისეთ ფენებში, რომელთაც ახასიათებთ მაღალი აირგამტარობა. ამ დროს (ნახ. 2.3) საზიდი შტრეკიდან 2, ნახშირის ფენში გაიყვანება ჭაბურლილები 4, საიდანაც ხდება მეთანის შეწოვა და გადაცემა მაგისტრალურ მილსადენში 5, ამ მეთოდის გამოყენება ამცირებს საწმენდი სანგრევის აირსიუხევეს 2-2,5-ჯერ.



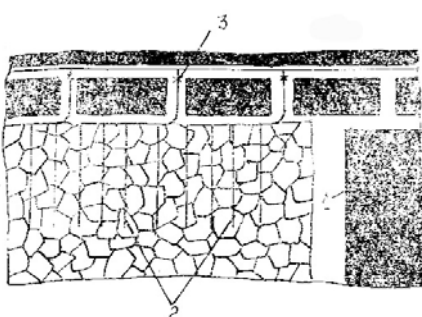
ნახ. 2.3

4. ექსპლუატაციაში მყოფი ნახშირის ფენის დეგაზაცია გვირაბებით. ამ მეთოდის გამოყენების დროს მთლიანად მომზადებულ ამოსა- დებ უბანს კეტავენ პერმუ- ტული ზღუდარებით, რომ-

ლებშიც ჩადგმულია
აირშემწვევი მიღები.

გვირაბებში გამოყოფილი მეთანი ამ მიღებით გადადის მაგისტრალურ მილსადენში და ამოდის მიწის ზედაპირზე.

5. მოქმედი საწმენდი სანგრევების გამომუშავებული სივ- რცევების დეგაზაცია. ეს მეთოდი გამოიყენება მაშინ, როდესაც ახლომდებარე ფენებიდან ადგილი აქვს გამომუშავებულ სივრცეში მეთანის დიდი რაოდენობით გამოყოფას (ნახ. 2.4).



ნახ. 2.4

ამ მეთოდით დეგაზაციის წარმოების დროს, როდესაც ჭერის მართვა ხორციელდება მთლიანი ჩამოქცევით, გა- მომუშავებული სივრცის ზედა ნაწილში ათავსებენ 10-30 მ სიგრძის მიღებს 2, რომლებიც მიერთებულნი

არიან მაგისტრალურ მიღსადენთან 3 და ვაკუუმტუმბოების საშუალებით ხდება გამომუშავებული სივრციდან მეთანის გამოწვევა.

6. გაზიანი ფენების ერთდროული დამუშავება. როდესაც ერთი მათგანი წარმოადგენს უეცარი გამოსროლის მხრივ საშიშ ფენს. როდესაც ერთდროულად მუშავდება რამდენიმე გაზიანი ფენი და ერთი მათგანი საშიშია უეცარი გამოსროლის მხრივ, პირველ რიგში უნდა დამუშავდეს ამ ფენის ზევით ან ქვევით განლაგებული ფენი, რაც ხელს შეუწყობს საშიში ფენის განტვირთვას სამთო წნევისაგან და მასში შემცველი მეთანის დიდი რაოდენობით დესორბციას. ამ მეთოდის უარყოფითი მხარეა ის, რომ იზრდება მუშა ფენის გვირაბებში აირსიუხვე, ამიტომ ხშირად მუშა ფენებში გაყავთ სადრენაჟო გვირაბები ან ჭაბურღლილები.

2.7. კარიერის მიკროკლიმატის ძირითადი მახასიათებლები

საწარმოო სათავსის მიკროკლიმატი არის მიწის ზედაპირთან არსებული ჰაერის შრის კლიმატი. კარიერების მიკროკლიმატის განმსაზღვრელი ძირითადი მახასიათებლებია კარიერში ჰაერის მოძრაობის სიჩქარე, ჰაერის ტემპერატურული რეჟიმი და ატმოსფეროს ტენიანობა.

კარიერში ჰაერის მოძრაობის სიჩქარე განისაზღვრება ზედაპირზე ჰაერის სიჩქარითა და კარიერის ტემპერატურული რეჟიმით. ზედაპირზე 2,0 მ/წ-ზე მეტი ქარის სიჩქარის დროს,

სიჩქარე კარიერში მნიშვნელოვანწილად განისაზღვრება ქარის ენერგიით. 2 მ/წმ-ზე ნაკლები სიჩქარით ქარის შემთხვევაში, კარიერის შიგნით სიჩქარეთა ველი ძირითადად განისაზღვრება თერმული ფაქტორით.

ქარის სიჩქარე მიწის ზედაპირთან ცვალებადია: ზოგადად იგი იზრდება დილიდან შუადღემდე, ხოლო შემდეგ მცირდება და აღწევს მინიმალურ სიდიდეს ღამის საათებში. ეს დღედა-მური ცვალებადობა განპირობებულია ჰაერის შრეების ტურბულენტური გადაადგილებით.

საერთოდ, დადგენილია, რომ ჰაერის მოძრაობის სიჩქარე კარიერის შიგნით საშუალოდ 80-90%-ით ნაკლებია ზედაპირზე არსებული ჰაერის მოძრაობის სიჩქარეზე.

ჰაერის გათბობის ან გაცივების შედეგად წარმოქმნილი თერმული ძალები, მნიშვნელოვნად ცვლიან კარიერის შიგნით ჰაერის მოძრაობის სიჩქარეს. ეს განსაკუთრებით ინტენსიურია ზაფხულის პერიოდში, როდესაც კარიერის ზედაპირი თბება უფრო ინტენსიურად. გარდა ამისა, კარიერებში შესაძლებელია წარმოიქმნას მცირე ჩაკეტილი ნაკადები წნევების პორიზონტალური სხვაობის გამო, რაც გამოწვეულია მზის მიერ ზედაპირის სხვადასხვა გათბობის გამო.

კარიერებში ჰაერის ტემპერატურა განისაზღვრება: 1. ზედაპირზე არსებული ჰაერის ტემპერატურით; 2. ჰაერის ბუნებრივი შეკუმშვით; 3. კარიერში მიმდინარე სითბოს გამომყოფი და სითბოს მშთანთქმელი პროცესებით; 4. კარიერის ატმოსფეროს მდგომარეობით.

კარიერის შიგნით პაერის ტემპერატურა არ არის მუდმივი და იცვლება წელიწადისა და დღე-დამის განმავლობაში. მისი ცვალებადობა პრაქტიკულად თანხვედრილია მიწის ზედაპირზე არსებული პაერის ტემპერატურის ცვლილებისა. ტემპერატურის დღე-დამური ცვლილების ამპლიტუდა მაქსიმალურია ზაფხულში და მინიმალური – ზამთარში, როდესაც მკვეთრად შემცირებულია მზის რადიაცია.

ჩვეულებრივ, კარიერში პაერის ტემპერატურა უფრო მაღალია, ვიდრე ზედაპირზე. ეს გამოწვეულია პაერის ბუნებრივი შეკუმშვით, მზის გამოსხივებით (ინსოლაციით), აგრეთვე სხვა დამატებითი სითბოს წყაროების არსებობით.

კარიერის ატმოსფეროს მდგომარეობა (დიდი ან მცირე ტურბულიზაცია, 2 მ/წმ-ზე მეტი სიჩქარის ქარი ან პაერის სრული შტილი) იწვევს კარიერის მოცულობაში სითბოს ინტენსიურ გაბნევას ან შესაბამის სითბოს წყაროების თავზე მის დაგროვებას.

როგორც წესი კარიერის სიღრმის ზრდასთან ერთად, მასში პაერის ტემპერატურაც იზრდება. ასე მაგალითად, 1 მ/წმ-ზე მეტი ქარის სიჩქარის დროს, ყოველ 100 მ სიღრმეზე, პაერის ტემპერატურა იზრდება 1°C -ით. ტემპერატურის ასეთ კანონზომიერ ცვლილებას, რაც განპირობებულია პაერის სვეტის ბუნებრივი შეკუმშვით, ეწოდება ტემპერატურული გრადიენტი. მისი მნიშვნელობა აღემატება 1°C სუსტი ქარის ან სრული შტილის დროს.

კარიერგბში პაერის ტენიანობა და წნევა. კარიერის ატმოსფეროში წყლის ორთქლის შემცველობა განისაზღვრება

გარემოს პაერის საერთო ტენისმცველობით, სამთო ქანების ხასიათითა და ტენისმცველობით, მათი გახურების ხარისხითა და პაერის მოძრაობის სიჩქარით.

წელიწადისა და დღე-დამის განმავლობაში პაერის ფარდობითი ცვლილების ხასიათი ხშირად ემთხვევა იმავე პერიოდში პაერის ტემპერატურის ცვლილებას.

ზაფხულში პაერის ფარდობითი ტენისმცველობა უფრო დაბალია, ვიდრე ზამთარში. აორთქლების შედეგად პაერის დატენიანებას თან სდევს გაცივება, ვინაიდან 1 გ წელის აორთქლებისას შთაინთქმება საშუალოდ 2470 ჯოული სითბო.

ბარომეტრული წნევის გაზრდისა და სიღრმის მატებასთან ერთად პაერის ტენისმცველობა თანდათან მცირდება.

კარიერებში ატმოსფერული წნევის დღე-დამური ცვლილება მიწის ზედაპირზე წნევის ცვლილების თანხმედრილია.

კარიერის სიღრმის ზრდასთან ერთად ატმოსფერული წნევის მატება ექვემდებარება საერთო კანონზომიერებას და შეადგენს სიღრმის ყოველ 100 მ-ზე 1263,5 პა-ს.

2.8. კარიერის ატმოსფეროს გაჭუჭყიანების წყაროები

მტგერითა და მავნე აირგბით კარიერების ატმოსფეროს გაჭუჭყიანება შესაძლებელია მოხდეს სხვადასხვა წყაროებიდან. მათი ინტენსივობა დამოკიდებულია სამთო ქანების მდგომარეობასა და თვისებებზე, კლიმატურ პირობებსა და ამინდზე, დამუშავების ტექნიკასა და ტექნოლოგიაზე, მტგრისა და მავნე აირების წინააღმდეგ ბრძოლის ხერხებზე.

არსებობს ატმოსფეროს გაჭუჭყიანების გარეგანი და შინაგანი წყაროები. გარეგანი წყაროები განლაგებულები არიან კარიერის ზედა კონტურის საზღვრებს გარეთ. მათგან, ქარის ზემოქმედების შედეგად, მტვერი და მავნე აირები ვრცელდება კარიერის გამომუშავებულ სივრცეში, რითაც უარესდება ატმოსფეროს საერთო მდგომარეობა. გარეგან წყაროებს წარმოადგენენ სამსხვერეველები, მამდიდრებელი და აგრომელაციური ფაბრიკები, მეტალურგიული ქარხნები, შახტების სავენტილაციო ჭაურები, ფუჭი ქანის სანაყაროები, საავტომობილო გზები, საქვაბეები, მცენარეული საფარის არმქონე მოედნები და სხვა.

მტვრისა და აირის წარმომქმნელი შიგა წყაროები განლაგებულები არიან კარიერის კონტურის შიგნით და ოწვევენ ატმოსფეროს მდგომარეობის როგორც ადგილობრივ, ასევე საერთო გაუარესებას. შიგა წყაროებს ეკუთვნის: საბურღი დაზგები და პერფორატორები, აფეთქებები, შიგაწვის ძრავები, საავტომობილო გზები, ქვისმჭრელი მანქანები, სამსხვრევი და დამხარისხებელი დანადგარები, მომპოვებელ-დამტვირთავი მანქანები, ხანძრები, აირის გამოყოფა ქანებიდან და წყალშემცველი ჰორიზონტებიდან.

ატმოსფეროში მავნეობების გამომყოფი წყარო შეიძლება იყოს: წერტილოვანი (საბურღი დაზგები, ექსკავატორები, ქვისმჭრელი მანქანები და სხვ), ხაზობრივი (ავტოგზები, აირების გამოყოფა ფენებიდან და სხვ) და თანაბრად განაწილებულები (ნიადაგის ეროზია, კარიერის ბორტების ზედაპირების გამოფიტვა).

საბურლი ტექნიკიდან ყველაზე დიდ საშიშროებას წარმოადგენენ თერმული და საღარავი ბურლვის დაზგები. ცეცხლური ბურლვის დროს გამოყოფილი აირების რაოდენობა და შემადგენლობა იცვლება ფართო ზღვრებში და დამოკიდებულია საწვავისა და დამჟანგავის ქიმიურ შემადგენლობაზე, სანთურის მუშაობის რეჟიმზე, ჭაბურლილის სიღრმეზე და მთელ რიგ სხვა ფაქტორებზე.

მასიური აფეთქებების დროს წარმოიქმნება მტვრისა და მავნე აირების დიდი რაოდენობა. მათი ნაწილი მტვერგაზის ღრუბლის სახით გადის კარიერის საზღვრებს გარეთ, ხოლო დანარჩენი ნაწილი რჩქა აფეთქებულ სამთო მასაში. მასიური აფეთქების შემდეგ კარიერში დარჩენილი მომწამლავი აირებიდან ძირითადია ნახშირის უანგეულები და აზოტის ორჟანგი.

კარიერში მომპოვებელ-დამტვირთაგი სამუშაოები შეიძლება სრულდებოდეს ციკლური ან განუწყვეტელი მოქმედების მოწყობილობებით, შესაბამისად მათ მიერ ჰაერის დამტვერიანებაც არის ციკლური ან განუწყვეტელი, გარდა ამისა, მათი მუშაობისას მტვრის წარმოქმნის ინტენსივობა დამოკიდებულია ქარის სიჩქარეზე, სამთო მასის ტენიანობასა და სანგრევში სამუშაოთა წარმართვის ორგანიზაციაზე.

ზოგიერთი სამშენებლო მასალის მოპოვებისას გამოყენება ქვისმჭრელი მანქანები, რომლებიც წარმოადგენენ მტვერწარმომქმნელ ინტენსიურ წყაროებს.

სამთო მასის ტრანსპორტირების დროს ყველაზე საშიშს, მტვრისა და აირების გამოყოფის მხრივ, წარმოადგენს საავტომობილო ტრანსპორტი. ამ შემთხვევაში მტვრის წარმომქმნელ

ძირითად წევაროს წარმოადგენს ბორბლების ურთიერთქმედება გზის ზედაპირთან. მისი ინტენსივობა დამოკიდებულია გზის ზედა საფარის მასალაზე, ამ საფარის მდგომარეობაზე, მანქანის ტვირთამწეობაზე და მისი მოძრაობის სიჩქარეზე.

ავტოთვითმცლელებზე, თბომავლებსა და სხვა მანქანებზე დაღმული შიგაწვის ძრავები წარმოადგენენ მთელი რიგი მავნე აირების გამოყოფის წევაროებს. მათი მუშაობისას გამოყოფილი აირებიდან ძირითადია აზოტის ჟანგეულები, ნახშირჟანგი, ნახშირწევალბადები და ალდეპიდები.

3. სამთო საჭარმოების მტვერი

3.1. ზოგადი ცნობები

სამთო საჭარმოების მტვერი არის სასარგებლო ნამარხისა და ფუჭი ქანის უმცირესი ნაწილაკები, რომლებიც იმყოფებიან პაერში შეწონილ ან სათავსის კედლებზე დალექილ მდგომარეობაში. პაერში მტვრის შეწონილ (შეტივტივებულ) მდგომარეობაში ყოფნის ხანგრძლივობა დამოკიდებულია მტვრის ნაწილაკების ზომებზე, ხევდრით წონაზე, აგრეთვე ნაწილაკების ფორმაზე, გარდა ამისა პაერის ტენიანობაზე, ტემპურატურასა და პაერის მოძრაობის სიჩქარეზე.

წვრილმარცვლოვან მტვერზე ზუსტ წარმოდგენას გვაძლევს მტვრის კლასიფიკაცია, რომლის თანახმადაც პაერდის-პერსიული სისტემები ნაწილაკების ზომის მიხედვით იყოფა სამკლასად: 1. მტვერი – აუროზოლი, ნაწილაკების ზომით 10 მკ-ზე

მეტი, რომლებიც უძრავ პაერში იატაკზე ეშვებიან მზარდი სიჩქარით; 2. მტვრის დრუბელი, ნაწილაკების ზომით 0,1-10 მკ, რომლებიც უძრავ პაერში იატაკზე ეშვებიან მუდმივი სიჩქარით; 3. მტვრის ბოლი, ნაწილაკების ზომით 0,1 მკ-ზე ნაკლები, რომლებიც არასოდეს არ ილექტებიან იატაკზე, იფანტებიან პაერში როგორც კვამლი და იმყოფებიან განუწყვეტელ თბურ მოძრაობაში.

მაღაროს აეროლოგიაში მტვერს განიხილავენ, როგორც გვირაბებში აფეთქების ერთ-ერთ მიზეზს. დადგენილია, რომ რაც უფრო მცირეა მტვრის ნაწილაკების ზომები, მით უფრო საშიშია იგი აფეთქების მხრივ. ამასთან ერთად მრავალი არაწვადი მყარი ნივთიერება დაქუცმაცების შედეგად იცევა ფეთქებად ან ადვილად აალებად მასალად. ასეთებია: ალუმინი, რკინა, თუთია, ბრინჯაო, კოლჩედანური მაღნები, პურის ფენი-ლი, შაქარი, კაკაო, კორპი, ხე, ნახშირი და სხვ. ეს მოვლენა აიხსნება იმით, რომ დაქუცმაცებისას მნიშვნელოვნად იზრდება პაერის ჟანგბადთან შეხების ფართი და ნაწილაკის მიერ შთან-თქმული ჟანგბადის რაოდენობა.

3.2. ნახშირის მტვერის წვადობა და ფეთქებადობა

ნახშირის მტვერი, თუ იგი დიდი რაოდენობით იმყოფება პაერში, თითქმის ყოველთვის დებულობს მონაწილეობას აფეთ-ქებაში. ეს ცნობილი იყო ჯერ კიდევ 200 წლის წინათ, მაგრამ მეცნიერებს შორის მაინც მიმდინარეობდა კამათი იმის შესა-ხებ, შეიძლება თუ არა აფეთქდეს ნახშირის მტვერი მეთანის

გარეშე. ბოლოს, 1906 წ. საფრანგეთში, უგაზო მაღარო „კური-ერ“-ში, მოხდა ნახშირის მტვრის აფეთქება, რომელმაც იმსხვერპლა 1100 ადამიანი. ამ შემთხვევამ ბოლო მოუღო ყოველგარ კამათს და დადგენილ იქნა: 1. ნახშირის მტვერს შეუძლია აფეთქდეს მეთანის გარეშე; 2. მტვერს შეუძლია მეთანის უმნიშვნელო აფეთქება გადააქციოს დიდ აფეთქებად; 3. ჰაერში შემცველი მშრალი და წვრილმარცვლოვანი ნახშირის მტვერი დაბლა სწერს აფეთქების ქვედა ზღვარს; 4. მაშინ, როდესაც აფეთქებაში მონაწილეობს ნახშირის მტვერი დიდი რაოდენობით გამოიყოფა ნახშირის ოქსიდი.

ნახშირის მტვერს, ისევე როგორც მეთანს, გააჩნია: 1. აფეთქების ქვედა და ზედა ზღვარი, შესაბამისად – 30-40 გ/მ³ და 1500-2000 გ/მ³; 2. აალების ტემპერატურა – 700-800°C; 3. სითბოს გამოიყოფის უნარი – 1 კგ ნახშირის მტვრის დაწვის შედეგად გამოიყოფა 8140 კპალ სითბო.

გარდა აღნიშნული მსგავსი თვისებებისა, ნახშირის მტვერი მნიშვნელოვნად განსხვავდება მეთანისაგან: 1. მეთანი გამოიყოფა რა გვირაბში, მთლიანად იმყოფება ჰაერში, მტვრის უმეტესი რაოდენობა კი დალექილია გვირაბის კედლებზე; 2. მეთანი ადვილად შეგვიძლია აღმოვაჩინოთ მაშინაც კი, როდესაც მისი რაოდენობა ჰაერში აფეთქების ქვედა ზღვარზე ნაკლებია, ნახშირის მტვერი კი გვირაბში შეიძლება იყოს საშიში რაოდენობით, მაგრამ ნაკლებად შესამჩნევი, ვინაიდან მისი დიდი რაოდენობა შეიძლება დალექილი იყოს გვირაბის კედლებზე; 3. მეთანის აალება და ფეთქებადობა გვირაბებში პრაქტიკულად ყველგან ერთნაირია, ნახშირის მტვრის აალება და

ფეთქებადობა კი მერყეობს ფართო დიაპაზონში და დამოკიდებულია მრავალ ფაქტორზე; 4. ნახშირის მტვრის ღრუბელს აქვს დამუხტვის უნარი, რამაც შეიძლება გამოიწვიოს ნაპერწალი და აფეთქება; 5. მეთანის აფეთქების შედეგად წარმოიშობა ნახშირორჟანგი, ნახშირის მტვრის აფეთქების დროს კი დიდი რაოდენობით გამოიყოფა ნახშირჟანგი.

3.3. ფაქტორები, რომლებზედაც დამოკიდებულია ნახშირის მტვრის აფეთქება

ნახშირის მტვრის აფეთქება ძირითადად დამოკიდებულია შემდეგ ფაქტორებზე:

1. მტვრის ნაწილაკების ზომები განსაზღვრავს მის ფეთქებადობას. ცნობილია, რომ რაც უფრო მცირეა მტვერში შემცველი ნაწილაკების ზომები, მით მეტად ფეთქებადია მტვერი. დადგენილია, რომ მტვრის ფეთქებადობის მაჩვენებელია ნაწილაკები ზომით $1/10 - 1/15$ მმ. რაც მეტია ასეთი ზომის ნაწილაკების რაოდენობა, მით უფრო საშიშია მტვერი აფეთქების მხრივ და პირიქით.

2. მტვრის შედგენილობა. მტვრის ფეთქებადობა დამოკიდებულია მასში აქროლადი ნივთიერებების შემცველობაზე. ძირითადი წვადი ნივთიერებებია: მეთანი, წყალბადი, ნახშირჟანგი, ეთანი და მძიმე ნახშირწყალბადები. ჩატარებული ცდების შედეგად დადგენილია, რომ როდესაც აქროლადი ნივთიერებების მაჩვენებელი $V < 10\%$, ასეთი მტვერი პრა-

ქმიერებულად არაფეოქებადია; თუ $V=10-15\%$, ასეთი მტვერი ნაკლებად ფეოქებადია და როდესაც $V>15\%$ – ფეოქებადი.

3. მტვრის ნაცრიანობა და ტენიანობა. დადგენილია, რომ რაც მეტია ნაცრიანობა, მით ნაკლებ საშიშია მტვერი აფეოქების მხრივ. ეს იმით აიხსნება, რომ წარმოქმნილი სითბოს ნაწილი იხარჯება ინერტული მტვრის ნაწილაკების გასათბობად, რაც ამცირებს აეროზოლის ტემპერატურას. გარდა ამისა, ვინაიდან ინერტული მტვერის ხვედრითი წონა ყოველ-თვის მეტია ნახშირის ხვედრით წონაზე, იგი ხელს უშლის ნახშირის მტვრის შეწონილ მდგომარეობაში ყოფნას. არანაკლებ გავლენას ახდენს მტვრის ფეოქებადობაზე ტენიანობა. ტენი ხელს უწყობს მტვრის წვრილი ნაწილაკების კოაგულაციას (შეკაგშირებას) უფრო მსხვილ ნაწილაკებად, რის გამოც მცირდება მათი ხვედრითი ზედაპირი და მცირდება ზედაპირული ქიმიური რეაქციები.

4. მტვრის რაოდენობა. დადგენილია, რომ ძლიერ ფეოქებადი მტვრის აფეოქების ქვედა ზღვარია $17-18 \text{ g/m}^3$, მაგრამ თუ მაღაროს ჰაერში არის $2,5\%$ მეთანი, აფეოქების ქვედა ზღვარი მცირდება და შეადგენს $5-6 \text{ g/m}^3$. ნაკლებად ფეოქებადი მტვრისათვის (როდესაც $V=10-15\%$) აფეოქების ქვედა ზღვარია 50 g/m^3 .

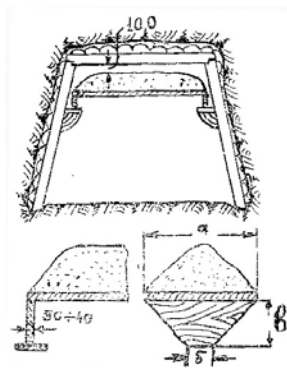
3.4. ნახშირის მტვრის აფეთქების საწინააღმდეგო ზომები

მტვრის წარმოშობის საწინააღმდეგო ზომებია: 1. ისეთი მანქანა-მექანიზმების გამოყენება, რომლებიც წარმოშობენ მტვრის მინიმალურ რაოდენობას; 2. ნახშირის ფენების წინასწარი წყლით გაჟღენოვა; 3. მტვრის გამოყოფის ადგილების წყლით მორწყვა; 4. ინტენსიური განიავება; 5. საზიდი და საგენტილაციო გვირაბების პერიოდულად მტვრისგან გაწმენდა; 6. სკიპიო აწევის მოწყობა მაღაროს საერთო ამომავალ ჰაერის ჭავლზე; 7. მიწის ზედაპირზე საამქროების ჭაურების მიმართ ისეთნაირად განლაგება, რომ ადგილი არ პქონდეს ზედაპირიდან მტვრის შეწოვას.

მტვრის აალების საწინააღმდეგო ზომებია: 1. მეთანის აალების საწინააღმდეგო ზომები; 2. გვირაბების გასანათებლად ფეთქებაუსაფრთხო ლამპარების გამოყენება; 3. ნახშირის მონგრევა პიდრავლიკური ხერხით; 4. დამცავი ფეთქებადი მასალების გამოყენება; 5. ნახშირის მტვრის ნეიტრალიზაცია წყლით და ინერტული მტვრით; 6. ფეთქებაუსაფრთხო შესრულების ელექტრომოწყობილობების გამოყენება.

მტვრის აფეთქების გავრცელების საწინააღმდეგოდ ერთ-ერთი ეფექტური საშუალებაა ინერტული მტვრის საფარების გამოყენება. ეს საფარები (ნახ. 3.1) გამოიყენება იმისათვის, რომ არ მოხდეს მტვრის ან მეთანის აფეთქების შედეგად წარმოშობილი ალისა და ტალღის გავრცელება გვირაბებში.

საფარში გამოყენებული ინერტული მტვერი უნდა აკმაყოფილებდეს შემდეგ მოთხოვნებს: 1. არ უნდა იტკეპ-ნებოდეს; 2. უნდა იყოს ტენის ნაკლებად მშთანთქმელი; 3. მასში SiO_2 -ის შემცველობა არ უნდა აღემატებოდეს 10%; 4. მასში აქროლადი ნივთიერებების რაოდენობა არ უნდა აღემატებოდეს 5%.



ნახ. 3.1

უსაფრთხოების წესების თანახმად ინერტული მტვრის საფარი მოწყობილი უნდა იყოს კველა ამოსადები უბინის, აგრეთვე საწმენდი

და მოსამზადებელი სანგრევების როგორც ამომავალ, ასევე შემავალ ჰაერის ჭავლზე.

მტვრის აფეთქების ლოკალიზაციისათვის, გარდა ინერტული მტვრის საფარისა, გამოიყენება წყლის საფარები, სადაც თაროებზე ინერტული მტვრის მაგივრად მოთავსებულია წყლით სავსე ჭურჭლები.

3.5. გვირაბების მოფიქალება და მორწყვა

მოფიქალების დანიშნულებაა გვირაბის კედლებზე, ჭერსა და იატაკზე დალექილი მტვრის ნაცრიანობის ხელოვნურად გაზრდა სტანდარტული ინერტული მტვრით. მოფიქალება წარმოებს ხელით ან სპეციალური მანქანებით, 6 თვეში ერთხელ. დამტვირთავ პუნქტებში აუცილებელია ინერტული მტვრის ყო-

კელდღიური დამატება. გვირაბებში, რომლებშიც ინტენსიურად იღებება მტვერი, იყენებენ არამარტო მოფიქალებას, არამედ მტვრის აღებასა და წყლით მორწყვას. უსაფრთხოების წესების თანახმად ნახშირისა და ინერტული მტვრის ნარევში არაწვადი ნივთიერებების შედგენილობა უგაზო მაღაროებში უნდა იყოს არანაკლები 60%-ისა, ხოლო აირიან მაღაროებში – არანაკლები 75%-ისა.

რამდენიმე ათეული წლის წინ, მტვრის აფეთქების წინააღმდეგ საბრძოლველად ფართოდ გამოიყენებოდა გვირაბების მორწყვა, მაგრამ დადგინდა, რომ მას გააჩნია მთელი რიგი უარყოფითი მხარეები: 1. ამ დროს აუცილებელია მტვერი მუდამ იმყოფებოდეს სველ მდგომარეობაში, ვინაიდან მტვერი მალე შრება, ადვილად იფხვნება, წვრილმანდება და უფრო საშიში ხდება აფეთქების თვალსაზრისით; 2. მორწყვა ზრდის ტენიანობას, რომელიც იწვევს ქანების ამობურცვას და ჩამონაბრევას; 3. დიდი ტენიანობის დროს გვირაბებში ჩნდება ჭიები, რომლებიც იწვევენ ეპიდემიურ დაავადებებს.

ამ უარყოფითი მხარეების გამო, ამჟამად გვირაბების მორწყვა გამოიყენება მხოლოდ განსაკუთრებით მტვრიან ადგილებში და საწმენდ სანგრევებში. საწმენდ სანგრევებში მოფიქალებას არ იყენებენ, ვინაიდან მათი ყოველდღიური გადააღვენების გამო მოფიქალება მოითხოვს დიდი რაოდენობით ინერტულ მტვერს.

3.6. კარიერების ატმოსფეროში მტვრის გამოყოფის შემცირების მეთოდები და საშუალებები

კარიერების ატმოსფეროს მტვრითა და მავნე აირებით გაჰქიციანების თავიდან აცილების ძირითად ფაქტორს წარმოადგენს ბუნებრივი პაერცვლა. მაგრამ მისი შესაძლებლობები ხშირად შეზღუდულია, განსაკუთრებით ატმოსფეროს გაჭუჭყიანების ინტენსიური წყაროების არსებობის დროს. ყოველივე ამის გამო ძლიერ აქტუალურია ატმოსფეროში მტვრისა და მავნე აირების გამოყოფის თავიდან აცილების ხერხებისა და მეთოდების გამოყენების საკითხი.

კარიერების ატმოსფეროში მავნე აირებისა და მტვრის გამოყოფის თავიდან აცილება შეიძლება ეფექტურად მივაღწიოთ შემდეგი ხერხებით:

1. მტვრისა და მავნე აირების გამოყოფის მხრივ უსაფრთხო ტექნიკისა და ტექნოლოგიების გამოყენებით;
2. გამოყოფილი მტვრის ნაწილაკების ჩახშობით;
3. მტვრის ნაწილაკების ფილტრებში დაჭერითა და მავნე აირების ნეიტრალიზაციით.

გამოყოფილი მტვრის ნაწილაკების ჩახშობისათვის შესაძლებებია გამოვიყენოთ წყალი, სპეციალური ხსნარები, ქაფები, მარილები და მცენარეული საფარები.

კარიერებში მტვრის ნაწილაკების დაჭერა მოიცავს მტვრის წარმოქმნის ადგილებში დამტვერიანებული პაერის ასპირაციას (შეწოვას) და სპეციალურ მტვერდამჭერებში მის გაწმენდას. მტვერდამჭერი აპარატი შეიძლება იყოს სველი და მშრალი.

მშრალი მტკრის ნაწილაკების დაჭერისას შეიძლება გამოვიყენოთ გრავიტაციული (მტკრდამდექი კამერები), ინერციული (ციკლონები და მულტიციკლონები), ფოროვანი (ქსოვილის, კერამიკული და სხვ), ელექტრული (ელექტროფილტრები) და შემაკავშირებელი (აკუსტიკური) მტკრდამჭერები.

სველ მტკრდამჭერებად გამოიყენებიან ინერციული (წყლის აფსკიანი ციკლონები, გამრეცხი ციკლონები, როტაციული ციკლონები და სხვ), ელექტრული (სველი ელექტროფილტრები), შემაკავშირებელი (აკუსტიკური კოაგულატრები) და მაკონდენსირებელი მტკრდამჭერები. ჩვეულებრივ სველ მტკრდამჭერებში გამოიყენება წყალი, მაგრამ შესაძლებელია გამოვიყენოთ სხვადასხვა სხნარები, ზეთები და სითხეები.

4. პლიმატური პირობები სამთო საჭარმოებები

4.1. ადამიანის ორგანიზმზე პლიმატური პირობების ზემოქმედება

სამთო საწარმოებში პლიმატურ პირობებს განსაზღვრავს პაქრის ტემპერატურა, ფარდობითი ტენიანობა და პაქრის მოძრაობის სიჩქარე. აღნიშნული ფაქტორები დიდ გავლენას ახდენენ ატმოსფეროსა და ადამიანის ორგანიზმს შორის თბოგაცვლის პროცესზე, რაზედაც თავის მხრივ დამოკიდებულია ადამიანის განწყობა, ჯანმრთელობა და შრომის ნაყოფიერება.

კლიმატური პირობები მიწისქვეშა გვირაბებში მნიშვნელოვნად განსხვავდება ზედაპირული კლიმატური პირობებისაგან. ეს გამოწვეულია იმით, რომ გვირაბებში ჰაერის მოძრაობისას იცვლება მისი ტემპერატურა და ტენიანობა. ჰაერის ტემპერატურა მაქსიმალურ მნიშვნელობას აღწევს საწმენდ სანგრევებში ან მის მომდევნო სავენტილაციო გვირაბებში. ჭაურებსა და მაღაროს ეზოსთან ახლომდებარე გვირაბებში ჰაერის ფარდობითი ტენიანობა აღწევს 90-95%-ს და ზოგჯერ მეტსაც (თუ ჭაურში ადგილი აქვს ინტენსიურ წყალმოდენას). ღრმა ჰორიზონტებზე (800-1000 მ) განლაგებულ გვირაბებში წყალმოდენა მნიშვნელოვნად მცირდება, ტემპერატურა კი მატულობს, რაც თავის მხრივ იწვევს ჰაერის გამოშრობას.

ყოველივე ეს დიდ გავლენას ახდენს ადამიანის ორგანიზმები და თუ არ იქნა დამყარებული ნორმალური კლიმატური პირობები, მკვეთრად მცირდება შრომის ნაყოფიერება და იზრდება საფრთხე მომუშავეთა ჯანმრთელობის მდგომარეობის გაუარესებისა.

ადამიანის ორგანიზმი სიცოცხლის მთელ პერიოდში განუწყვეტლივ გამოყოფს სითბოს განსაზღვრულ რაოდენობას: მშვიდ მდგომარეობაში – 70 კკალ/სთ, მუშაობის პროცესში – 250-450 კკალ/სთ. ადამიანის ორგანიზმში გამოყოფილი სითბოს რაოდენობის მხრივ 10-15% იხარჯება მიღებული საპატიოსა და ჩასუნთქული ჰაერის გასათბობად, დანარჩენი სითბო კი გადაეცემა გარემოს სამი გზით: გამოსხივებით, კონვექციით და აოროქლებით.

ორგანიზმის მიერ სითბოს გაცემის ინტენსივობა დამოკიდებულია ტემპერატურის, ტენიანობისა და ჰაერის მოძრაობის სიჩქარის კომლექსურ ზემოქმედებაზე. ადამიანის ორგანიზმს გააჩნია გარემო პირობებთან შეგუების დიდი უნარი, მაგრამ მხოლოდ განსაზღვრულ ზღვრებში, რის შემდეგაც იწყება ორგანიზმის გადახურება ან ზომაზე მეტად გაცივება.

ორგანიზმი გადახურდება მაღალი ტემპერატურისა და დიდი თბური გამოსხივების ზემოქმედების დროს, განსაკუთრებით როდესაც ჰაერი უძრავია და ფარდობითი ტენიანობა დიდია. როდესაც ჰაერი მოძრაობს, ტემპერატურა დაბალია და ფარდობითი ტენიანობა მაღალი, ხდება ორგანიზმის ზომაზე მეტად გაცივება. იმისათვის, რომ არ მოხდეს ადამიანის ორგანიზმის გადახურება ან გაცივება აუცილებელია დამყარდეს ე.წ. თბური ბალანსი ორგანიზმსა და გარემოს შორის, ანუ ორგანიზმის მიერ გაცემული სითბოს რაოდენობა ტოლი უნდა იყოს ორგანიზმში გამოყოფილი სითბოს რაოდენობის 85-90%-ისა (როგორც ავლიზნეთ, სითბოს რაოდენობის დანარჩენი 10-15% ხმარდება მიღებული საკვებისა და ჩასუნიქული ჰაერის გათბობას).

4.2. კლიმატური პირობების ნორმები შახტებსა და გარიერებში

ამჟამად მოქმედი უსაფრთხოების წესების თანახამად შახტებში ჰაერის ტემპერატურის მაქსიმალური დასაშვები ნორმა არის 26°C , ფარდობითი ტენიანობის ნორმა – 60-95%, ჰაერის

მოძრაობის სიჩქარის მინიმალური ნორმა კი განისაზღვრება მტვრისა და თბური პირობების მიხედვით და მოცემულია ცხრილში 4.1.

ჰაერის მოძრაობის სიჩქარის მაქსიმალური დასაშვები სიდიდე, ტემპერატურის მიუხედავად, საწმენდ და მოსამზადებელ სანგრევებში არის 4,0 მ/წმ (გამონაკლისის სახით მექანიზებული კომპლექსებით აღჭურვილ საწმენდ სანგრევებში მაქსიმალური დასაშვები ჰაერის მოძრაობის სიჩქარე შეიძლება იყოს 6,0 მ/წმ).

ცხრილი 4.1

ჰაერის მოძრაობის მინიმალური სიჩქარე, მ/წმ	ჰაერის დასაშვები ტემპერატურა ($^{\circ}\text{C}$) ფარდობითი ტენიანობის დროს, %		
	60-75	76-90	91-95
0,25	24	23	22
0,50	25	24	23
0,75	26	25	24
2,00	26	26	25

ღრმა ჰორიზონტებზე (800-1000 მ) მუშაობისას, სამუშაო ადგილებზე მაქსიმალური დასაშვები ჰაერის ტემპერატურის ნორმა არის 28°C .

მიწისქვეშა გვირაბებში ნორმალური კლიმატური პირობების დასამყარებლად საჭიროა გამოვიყენოთ შემდეგი სამთო-ტექნიკური დონისძიებები: 1. გვირაბების კედლების იზოლაცია; 2. ჰაერის გაცივება უშაუალოდ სანგრევებთან (კუმშული ჰაერის გამოყენებით ან სპეციალური მფრქვევანებით გვირაბებში წყლის გაფრქვევით); 3. აღმავალი განიავების შეცვლა დაღმა-

გალი განიავებით; 4. ატმოსფერული ჰაერის გატარება შურფებზი, რომლებიც გაფენით სუფთა ჰაერის მიმწოდებული ჭაურის ახლოს და უერთდებიან ამ უკანასკნელს გამპვეთებით მიწის ზედაპირიდან 20-25 მ სიღრმეზე; 5. სითბოს გამომყოფი წყაროების რაოდენობის შემცირება; 6. შახტაში მისაწოდებელი ჰაერის ხელოვნურად დამუშავება (გათბობა, გაცივება, გაშრობა ან დანამვა).

კარიერებში ძირითად სამუშაო ადგილს, სადაც შესაძლებელია ხელოვნურად შევქმნათ ნორმალური მიკროკლიმატი, წარმოადგენს მანქანა-მექანიზმების კაბინები. ამჟამად მოქმედი სანიტარულ-ჰიგიენური ნორმების მიხედვით მანქანა-მექანიზმების კაბინებში ჰაერის ოპტიმალური პარამეტრებია: წლის ცივ პერიოდში (როდესაც გარე ჰაერის ტემპერატურა ნაკლებია $+10^{\circ}\text{C}$) ჰაერის ტემპერატურა $17\text{-}19^{\circ}\text{C}$, ფარდობითი ტენიანობა $30\text{-}60\%$, ჰაერის მოძრაობის სიჩქარე – არაუმეტეს 0,3 მ/წმ; წლის თბილ პერიოდში (როდესაც გარე ჰაერის ტემპერატურაა $+10^{\circ}\text{C}$ და უფრო მაღალი) შესაბამისად $20\text{-}23^{\circ}\text{C}$, $30\text{-}60\%$ და 0,2-0,5 მ/წმ.

რაც შეეხება მიკროკლიმატის დასაშვებ პარამეტრებს: წლის ცივ პერიოდში დასაშვებია ტემპერატურა $15\text{-}20^{\circ}\text{C}$, ფარდობითი ტენიანობა $75\%-მდე$, ჰაერის მოძრაობის სიჩქარე – არაუმეტეს 0,5 მ/წმ; წლის თბილ პერიოდში, შესაბამისად 28°C -მდე, $75\%-მდე$ და 0,3-0,7 მ/წმ.

აღნიშნულ ზღვრებში ჰაერის ტემპერატურის შესანარჩუნებლად აუცილებელია წლის თბილ პარიოდში მემანქანის კაბინაში მისაწოდებელი ჰაერის გაცივება, ხოლო ზოგიერთ შემთხვევაში მისი გაშრობაც. რაც შეეხება წლის ცივ პერიოდს –

აუცილებელია მისაწოდებელი პაერის გათბობა და ხშირად – დანამვა.

4.3. შახტებში პაერის გამაცივებელი დანადგარები

მაცივარ-დანადგარი შედგება სამი ძირითადი ქვანძისაგან:

1. მაცივარ-აგრეგატი (კომპრესორი, კონდენსატორი, ამაორთქლებელი); 2. წყლის გამაცივებელი მოწყობილობა; 3. პაერის გამაცივებელი სისტემა.

მაცივარ-დანადგარებში გამაცივებელ აგენტად ძირითადად გამოიყენება: ფრეონი, ამიაკი, ნახშირორჟანგი და ქლორმეთილი. მათგან ყველაზე მეტად გავრცელება მოიპოვა ფრეონმა (CF_2Cl_2). იგი არის უფერო, უსუნო და უვნებელი აირი. მისი უარყოფითი მხარეა ის, რომ იგი 5-6%-ერ ძვირია სხვა მაცივარ-აგენტებთან შედარებით. რაც შეეხება ამიაკს (NH_3), იგი იაფია, მაგრამ მავნედ მოქმედებს ადამიანის ოგანიზმზე და, გარდა ამისა, როდესაც პაერში მისი კონცენტრაცია აღწევს 16-26%-ს, იგი ძლიერ ფეოქებადია, ამიტომ მიწისქვეშა მაცივარ-დანადგარებში მას არ იყენებენ.

მაცივარ-დანადგარების განლაგების მიხედვით ისინი შეიძლება იყოს: 1. ზედაპირული; 2. მიწისქვეშა ცენტრალური (მაღაროს ეზოში); 3. მიწისქვეშა საუბნე მაცივარ-დანადგარები.

4.4. შახტის პაერის გათბობა

ზამთრის პერიოდში, როდესაც ზედაპირზე პაერის ტემპერატურა 0°C -ზე დაბალია, აუცილებელია შახტაში მისაწოდებელი პაერის გათბობა არანაკლებ $+2^{\circ}\text{C}$ -მდე, წინააღმდეგ შემთხვევაში ჭაურის არმირება იფარება ყინულით, რაც ხელს უშლის ამწე სატრანსპორტო დანადგარების ნორმალურ მუშაობას. პაერს ათბობენ ორთქლით ან ელექტროკალორიფერით. ჩვეულებრივ შახტაში მისაწოდებელი მთელი პაერის რაოდენობის 20-25%-ს ათბობენ $60-70^{\circ}\text{C}$ -მდე იმ ვარაუდით, რომ ცივი და გამობარი პაერის შერევის შემდეგ ნარევის ტემპერატურა იყოს არანაკლები $+2^{\circ}\text{C}$.

ამ მიზნით შახტის ზედაპირულ შენობაში მოწყობილია კალორიფერი, სუფთა პაერი კი შემოდის სპეციალურ მიმღებ ჯიხურში, რომელიც შენობის გარეთ იმყოფება, საიდანაც გადადის არხში და ერევა გამობარ პაერში. ცივი და გამობარი პაერის ნარევი ჭაურში ჩადის კედელში სპეციალურად მოწყობილი ფანჯრის საშუალებით, რომელიც იმყოფება ნულოვანი დონის ქვევით.

ნაწილი II. საშახტო ამრომებანიგა

5. ფინანსორი განვითარებაზე და განსაზღვრულობაზე

5.1. იდეალური და რეალური სითხე ან აირი

სითხის ან აირის ნაწილაკი მისი მოძრაობისას უნდა ემორჩილებოდეს იმ საერთო კანონებს, რომლებიც თეორიული მქანიკის კურსიდან არის ცნობილი, მატერიალური წერტილის მოძრაობის შემთხვევაში.

ვინაიდან სითხეს ახასიათებს განსაპუთრებული თვისება, თხევადი სხეული ვერ ინარჩუნებს თავის დამოუკიდებელ ფორმას და დებულობს იმ ჭურჭლის ფორმას, რომელშიც იგი იმყოფება. ეს გარემოება აიხსნება იმით, რომ სითხეს ახასიათებს დინების თვისება, რის გამოც მისი ნაწილაკები გადაადგილდებიან ერთიმეორის მიმართ, რაც წარმოშობს მათ შორის ურთიერთქმედების ძალებს. სითხის ან აირის მოძრაობის განტოლების შედგენისას აღნიშნული ურთიერთქმედი შიგა ძალები აუცილებლად უნდა იქნან მიღებული მხედველობაში, რის გამოც სითხის ან აირის მოძრაობის განტოლებები სახეს იცვლიან მყარი სხეულის მოძრაობის განტოლებებთან შედარებით.

აბსოლუტურად თხევადი სხეული ეწოდება ისეთ სითხისებრ ან აიროვან სხეულს, რომელთა ნაწილაკები ვერ უწევენ ვერავითარ წინაღობას გამჭიმავ ან მხებ ძალებს, მაგრამ შეუძლიათ წინაღობა გაუწიონ ნებისმიერი სიდიდის მკუმშავ ძა-

დებს. ე.ი. აბსოლუტურად თხევადი ან იდეალური სითხე ეწოდება ისეთ სითხისებრ სხეულს, რომლის ნაწილაკებს შორის არ არსებობს არავითარი შეჭიდულობის ძალები.

რეალური სითხის ნაწილაკები წინაღობას უწევენ გამჭიმავ და მხებ ძალებს. მაგალითად, ჯოხის ბოლოზე დაკიდებული წყლის წვეთი ეწინააღმდეგება სიმძიმის ძალას მანამ, სანამ მისი წონა არ მიაღწევს გარკვეულ ზღვარს. ე.ი. სანამ სიმძიმის ძალა არ გადააჭარბებს ნაწილაკებს შორის არსებულ შეჭიდულობის ძალებს, რის შემდეგ წყლის წვეთი წყდება ჯოხის ბოლოდან. ე.ი. რეალური სითხე ან აირი ეწოდება ისეთ სითხისებურ ან აიროვან სხეულს, რომელთა ნაწილაკებს შორის არსებობს შეჭიდულობის ძალები.

5.2. პიდრომექანიკური წნევა და მისი თვისება

მექანიკიდან ცნობილია, რომ სხეულში, რომელიც განიცდის დეფორმაციას ვლინდება შიგა ძალები, რომლებიც ძაბვებით ხასიათდებიან. იდეალურ სითხეში ვლინდება მხოლოდ მეუმშავი ძაბვები, რომლებსაც პიდრაგლიკაში პიდრომექანიკურ წნევას უწოდებენ და აღნიშნავენ P-თი. იგი წარმოადგენს ფართის ერთეულზე მოსულ ძალას.

პიდრომექანიკურ წნევას ეწოდება პიდროსტატიკური ან პიდროდინამიკური, იმისდამიხედვით, ვინილავთ სითხის წონას-წორობას თუ მოძრაობას. პიდროსტატიკურ წნევას აქვს ძაბვის განზომილება და იგი განისაზღვრება, როგორც ძალა შეფარდებული ფართის ერთეულთან.

$$P = \frac{R}{S} \quad (5.1)$$

ჰიდრომექანიკურ წნევას იდეალური სითხის ნებისმიერ წერტილში აქვს ერთი და იგივე სიდიდე ყველა მიმართულებით, იგი არ არის დამოკიდებული იმ ფართის მიმართულებაზე, რომელზედაც მოქმედებს, არამედ დამოკიდებულია ამ ფართის მდგომარეობაზე დროსა და სივრცეში, ანუ იგი დროის და კოორდინატთა დერძების ფუნქციაა. კერძო შემთხვევაში, სითხის წონასწორობის ან დამყარებული მოძრაობის დროს ჰიდრომექანიკური წნევა P მხოლოდ კოორდინატთა დერძების ფუნქციაა.

5.3. ჰაერის ფიზიკური თვისებები

1. ჰაერის წონა. რომელიმე მოცულობის ჰაერის წონა განისაზღვრება ტოლობით

$$G=V\cdot\gamma, \quad \delta\delta, \quad (5.2)$$

სადაც V არის ჰაერის მოცულობა, δ^3 ; $\gamma = 1 / \delta^3$ ჰაერის წონა, ანუ ჰაერის მოცულობითი წონა, $\delta\delta/\delta^3$.

ამ ტოლობიდან

$$\gamma=G/V, \quad \delta\delta/\delta^3 \quad (5.3.)$$

2. ჰაერის ხვედრითი მოცულობა ეწოდება ჰაერის მოცულობას δ^3 -ში, რომელიც უჭირავს წონის ერთეულს. იგი გაინსაზღვრება ტოლობით:

$$\nu=1/\gamma, \quad \delta^3/\delta\delta \quad (5.4)$$

3. პაერის სიმკვრივე: ერთეული მოცულობის პაერის მასას ეწოდება პაერის სიმკვრივე. იგი განისაზღვრება ტოლობით

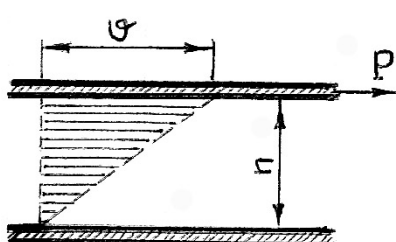
$$\rho = M/V, \quad (5.5)$$

სადაც M არის პაერის მასა; V – მისი მოცულობა.

პაერის სიმკვრივე მჭიდროდაა დაკავშირებული ერთეული მოცულობის წონასთან. ცნობილია, რომ $G = M \cdot g$, აქედან $M = G/g$ და საბოლოოდ

$$\rho = \frac{\gamma \cdot V}{V \cdot g} = \gamma / g, \frac{\text{kgw}^3}{\text{m}^4} \quad (5.6)$$

4. სიბლანტე ეწოდება აირის ან სითხის იმ თვისებას, რომელიც წინააღმდეგობას უწევს დეფორმაციას.



ნახ. 5.1

აგილოთ ორი პარალე-

ლური თხელი ფირფიტა, რო-
მელთა შორის მანძილი იყოს
n, დაგუშვათ ზედა ფირფიტა
მოძრაობს ქვედა ფირფიტის

მიმართ რაღაცა V სიჩქარით
(ნახ. 5.1). დაგვირცვები

გვიჩვენებს, რომ სითხის ის ნაწილაკები, რომლებიც უშუალოდ ეკვრიან ზედა ფირფიტას, მოძრაობები იგივე V სიჩქარით, ხოლო სითხის ნაწილაკები, რომლებიც ქვედა, უძრავ ფირფი-
ტასთან არიან განლაგებულნი, იმდენად ეკვრიან მას, რომ მათი სიჩქარე პრაქტიკულად ნულის ტოლია. როგორც ჩანს, სითხის ნაწილაკები მოძრაობები სხვადასხვა სიჩქარით, რაც წარმოშობს მათ შორის ურთიერთქმედების ძალებს და იმისათვის, რომ

ზედა ფირფიტა დაგმრათ ქვედას მიმართ, საჭიროა მას მოვდოთ რაღაც P ძალა, რომელიც პირდაპირპოპორციულია ფირფიტის ფართის (S), მისი მოძრაობის სიჩქარის (v), აბსოლუტური სიბლანტის კოეფიციენტისა (μ) და უკუპროპორციულია ფირფიტებს შორის მანძილისა (n), ე.ი.

$$P = \mu \cdot S \cdot v / n, \quad (5.7)$$

თუ დავუშვებთ, რომ ფირფიტებს შორის მანძილია არა n , არამედ რაღაც უსასრულოდ მცირე სიდიდე, მაშინ

$$P = \mu \cdot S \cdot dV / dn,$$

თუ მიღებულ ძალას შევუფარდებთ ფართის ერთეულს, მივიღებთ ე.წ. მხებ ძაბვებს

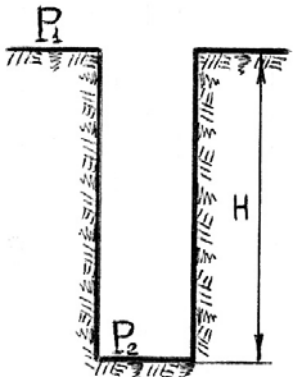
$$\tau = P/S = \mu \cdot dV / dn, \quad (5.8)$$

სადაც dV / dn არის სიჩქარის გრადიენტი.

5. წნევა არის ერთ-ერთი ძირითადი ფიზიკური სიდიდე, რომელთანაც ჩვენ საქმე გვაქვს მაღაროს ან კარიერის განიავების ნებისმიერი საკითხის განხილვისას. განვიხილოთ რა დამოკიდებულებაშია წნევა იმ ფართობთან, რომელზედაც იგი მოქმედებს. ავილოთ რაიმე სვეტი, დავუშვათ ჭაური (ნახ. 5.2). მისი სიღრმე ავლიშნოთ H , განივი კვეთი S , პაერის წნევა მიწის ზედაპირზე P_1 , ხოლო პაერის წნევა მაღაროს ეზოს დონეზე P_2 . ჩავთვალოთ, რომ პაერის მოცულობითი წონა ჭაურში მუდმივია $\gamma = \text{const.}$ მაშინ S ფართზე მოსული აბსოლუტური წნევა მაღაროს ეზოს დონეზე ტოლი იქნება

$$P_2 = (P_1 + \gamma H) \cdot S$$

თუ ამ წნევას შევუფარდებთ ფართის ერთეულს მივიღებთ



ნახ. 52

$$P = P_1 + \gamma H,$$

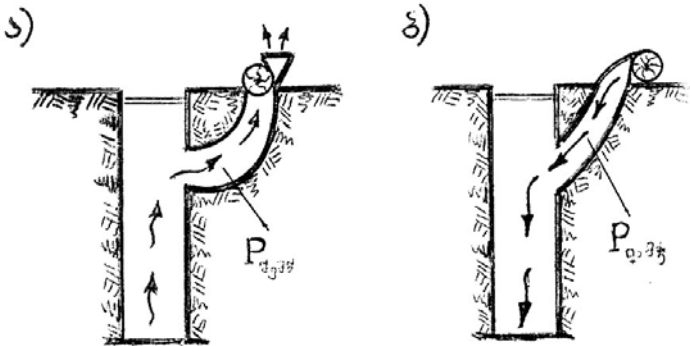
ხოლო H სვეტის მიერ მის ფუძეზე გადაცემული წნევა ტოლი იქნება

$$p = \gamma H, \quad (5.9)$$

როგორც ვხედავთ H სვეტის მიერ ფუძეზე გადაცემული წნევა დამოკიდებული არ არის ფუძის ფართზე და დამოკიდებულია სვეტის სიმაღლესა და პაერის მოცულობით წონაზე.

6. ვენტილატორის მიერ განვითარებული წნევა. როდესაც ვენტილატორი მიერთებულია მილებზე ან მაღაროზე, იმ მხრიდან საიდანაც ხდება პაერის შეწოვა, წნევა ყოველთვის ნაკლებია ატმოსფერულ წნევასთან შედარებით, დაჭირხვნის მხრიდან კი პირიქით, ადგილი აქვს ატმოსფერულ წნევასთან შედარებით ჭარბ წნევას.

განვიხილოთ ორი შემთხვევა, როდესაც ვენტილატორი მიერთებულია მაღაროზე და მუშაობს შეწოვაზე ან დაჭირხვნაზე. შეწოვაზე მომუშავე ვენტილატორის არხში წნევა აღდნიშნოთ $P_{შეწ.}$, ხოლო დაჭირხვნაზე მომუშავე ვენტილატორის არხში – $P_{დამჭ.}$ (ნახ. 5.3 ა) და ბ)).



ნახ. 5.3

ატმოსფერული წნევა მიწის ზედაპირზე – P_0 . მაშინ ვენ-გილატორის მიერ შექმნილი წნევათა სხვაობა შეგვიძლია ასე განვმარტოთ. წნევათა სხვაობას შეწოვაზე მომუშავე ვენტილატორის არხსა და ატმოსფერულ (ბარომეტრულ) წნევას შორის დეპრესია ეწოდება და აღინიშნება h -ით, ხოლო წნევათა სხვაობას დაჭირხვნაზე მომუშავე ვენტილატორის არხსა და ბარომეტრულ წნევას შორის კომპრესია ეწოდება და ისიც აღინიშნება h -ით (სიტყვა კომპრესიამ პრაქტიკაში ვერ ჰქოვა გავრცელება და მასაც დეპრესიას უწოდებენ, მხოლოდ ამ შემთხვევაში იგულისხმება ჭარბი წნევა ატმოსფერულ წნევასთან შედარებით).

ამ განმარტების საფუძველზე შეგვიძლია დაგწეროთ

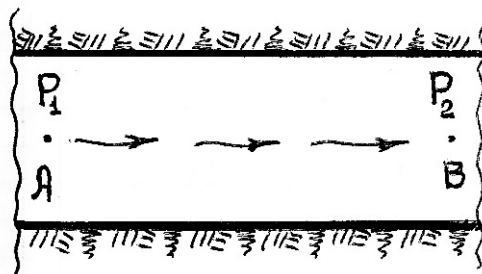
$$P_0 - P_{\text{SemW}} = \frac{h_{\text{SemW}}}{13,6}; \quad P_{\text{damW}} - P_0 = \frac{h_{\text{damW}}}{13,6}$$

ანუ აქედან

$$P_{\text{SemW}} = P_0 - \frac{h_{\text{SemW}}}{13,6}; \quad (5.10)$$

$$P_{\text{damW}} = P_0 + \frac{h_{\text{damW}}}{13,6}; \quad (5.11)$$

თუ გვსურს განვიხილოთ ზოგადად დეპრესია რომელიმე ცალკეულ გვირაბში, ავიდოთ შტრეკი და მასში გამოვყოთ საწყისი და ბოლო წერტილები (ნახ. 5.4). ჰაერის წნევა საწყის A წერტილში ავდნიშნოთ P_1 , ხოლო ბოლო B წერტილში – P_2 და დავუშვათ, რომ ჰაერი მოძრაობს A-დან B-სკენ, მაშინ



ნახ. 5.4

წნევათა სხვაობას A და B წერტილებს შორის შტრეკის AB უბნის დეპრესია ეწოდება, ე.ი.

$$h_{AB} = P_1 - P_2, \quad (5.12)$$

მაღაროს განიავებაში შეწოვაზე და დაჭირხენაზე მომუშავე ვენტილატორების მიერ შექმნილ წნევებს ხშირად სტატიკურ წნევებს უწოდებენ, ხოლო ვენტილატორის მიერ განვითარებულ წნევათა სხვაობას – სტატიკურ დეპრესიას h_{b} .

7. მოძრავი ჰაერის მიერ განვითარებული წნევა. დავუშვათ, რომელიმე ჰაერის ნაკადში უძრავად არის მოთავსებული

რაიმე სხეული ან პირიქით, უძრავ პაერში რაიმე სხეული მოძრაობს. ამ ორივე შემთხვევაში სხეული თავის წინა (შუბლურ) ნაწილზე განიცდის წნევას, რომელსაც დინამიური წნევა ანუ სიჩქარითი დაწნევა ეწოდება. მისი სიდიდე შეიძლება განვსაზღვროთ ტოლობით

$$h_{\text{s.d.}} = V^2 \cdot \frac{\gamma}{2g}, \quad g/\beta^2 \quad (5.13)$$

სადაც V არის პაერის მოძრაობის (უძრავი პაერის შემთხვევაში – სხეულის მოძრაობის) სიჩქარე, β/γ ; γ – პაერის მოცულობითი წონა, g/β^2 ; $g=9,81$ არის თავისუფალი ვარდნის აჩქარება.

8. პაერის ტენიანობა. ცნობილია, რომ ატმოსფერული პაერი წარმოადგენს მშრალი აირების და წყლის ორთქლის ნარევს და ცხადია, რომ პაერის მიერ განვითარებული წნევა დამოკიდებული იქნება მშრალი აირებისა და წყლის ორთქლის პარციალურ (წილობრივ) წნევაზე. პაერში წყლის ორთქლის შემცველობის მიხედვით განასხვავებენ გაჯერებულ, ნაკლებად გაჯერებულ და აბსოლუტურად მშრალ პაერს.

პაერში წყლის ორთქლის შემცველობას ტენიანობა ეწოდება. არსებობს სამი სახის ტენიანობა: 1. წყლის ორთქლის რაოდენობას, გამოსახულს გრამებში, რომელსაც შეიცავს 1 მ³ პაერი, აბსოლუტური ტენიანობა ეწოდება; 2. წყლის ორთქლის მაქსიმალურად შესაძლო რაოდენობას, რომელსაც შესაძლოა შეიცავდეს 1 მ³ პაერი მოცემული ტემპერატურის დროს, მაქსიმალური ტენიანობა ეწოდება; 3. 1 მ³ პაერში შემცველი წყლის ორთქლის რაოდენობის ფარდობას მის მაქსიმალურად შესაძლო რაოდენობასთან მოცემული ტემპერატურის დროს,

ფარდობითი ტენიანობა ეწოდება და იგი გამოისახება მთელის ნაწილებში ან პროცენტებში.

**6. ტემატიკური ტენიანობის, ტენიანობის, წევანის, წევათა სხვაობისა და ჰაერის მოძრაობის სიჩქარის გაზომვა
და საზომი ხელსაწყოები**

**6.1. მაღაროს ჰაერისა და ქანების ტემპერატურის
გაზომვა**

1. მაღაროს ჰაერის ტემპერატურა იზომება თერმომეტრით, რომელიც გვირაბებში გადაადგილების დროს მოთავსებულია რკინის დამცავ ბუდეში. გაზომვა წარმოებს ასე: ვიღებთ თერმომეტრს ბუდიდან, ვიცდით 2-3 წთ, რათა თერმომეტრმა მიიღოს გარემოს ტემპერატურა, რის შემდეგ ვიღებთ პირველ ანათვალს. 5-10 წთ-ის შემდეგ იგივე ადგილზე ვიღებთ მეორე ანათვალს თუ ორივე ანათვალი ერთნაირია, მაშინ გაზომვა სწორადაა ჩატარებული.

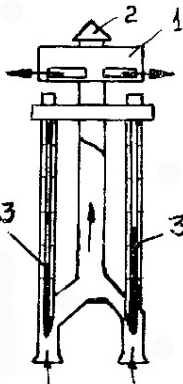
2. ქანების ტემპერატურა იზომება შპურში, რისთვისაც წინასწარ ბურდავენ 2 მ სიგრძის შპურს. გაბურდვის დამთავრებიდან ორი საათის შემდეგ შპურში ვათავსებთ თერმომეტრს და შპურს ვხურავთ საცობით. იმისათვის, რომ თერმომეტრმა მიიღოს სამთო ქანების ტემპერატურა საჭიროა თერმომეტრი დავაყოვნოთ შპურში 6-12 სთ-ის განმავლობაში. ამ დროის გასვლის შემდეგ თერმომეტრი გამოგვაჭის შპურიდან და სწრაფად ვიღებთ მასზე ანათვალს.

6.2. ჰაერის ტენიანობის გაზომვა

ჰაერის ფარდობითი ტენიანობა იზომება ფსიქრომეტრით. იგი შეიძლება იყოს სტაციონარული და ასპირაციული. სამთო საწარმოებში უფრო ხშირად გამოიყენება ასპირაციული ფსიქრომეტრი (ნახ. 6.1). იგი შედგება ლითონის ჩარჩოში ჩადგმული ორი თერმომეტრის (3), ვენტილატორის (1) და ვენტილატორის გასაშვები სახელურისაგან (2).

ფარდობითი ტენიანობის გაზომვა წინ ერთ-ერთი თერმომეტრის ბურთულაზე შემოხვეულ ქსოვილს ვასველებთ გარემოს ტემპერატურის მქონე გამოხდილი წყლით (ამ თერმომეტრს უწოდებენ ე.წ. „სკელ თერმომეტრს“). ამის შემდეგ ზამბარიანი მექანიზმის მომართვით ვრთავთ ვენტილატორს, რომლის მიერ შეწოვილი ჰაერი გარსშემოედინება ვერცხლისწყლის ბურთულებს (ორივე, მშრალ და სკელ თერმომეტრებში) და აგრილებს

ნახ. 6.1 მათ. ვენტილატორის გაშვებიდან 1,5-2 წთ-ის გასვლის შემდეგ, როდესაც სკელ და მშრალ თერმომეტრებში დამყარდება დონეთა სიმაღლე, ვიღებთ ანათვალს ერთდროულად ორივე თერმომეტრზე. ანათვალთა შორის მიღებული სხევაობის მიხედვით განვსაზღვრავთ ფარდობით ტენიანობას ფსიქრომეტრული ცხრილის, ფსიქრომეტრული ნომოგრამის ან ფორმულის საშუალებით



$$\varphi = \left[F_1 - 0,5(t_{\text{mSr}} - t_{\text{sv}}) \right] \cdot \frac{100}{753} \Big/ F. \quad (6.1)$$

6.3. წნევისა და წნევათა სხვაობის საზომი ხელსაწყოები

როგორც ცნობილია, ბარომეტრული წნევის გასაზომად გამოიყენება **ბარომეტრ-ანეროიდი**, რომლის სკალა დაყოფილია 600-790 მმ.წყ.სკ.. ყველა ბარომეტრს თან ახლავს შემასწორებელი კოეფიციენტი: а) ტემპერატურული, რომელიც გვიჩვენებს, თუ რამდენად უნდა შეიცვალოს ბარომეტრის ჩვენება, როდესაც ტემპერატურა იცვლება 1°C -ით; ბ) მუდმივი შემასწორებელი კოეფიციენტი სხვადასხვა წნევაზე, რომელიც ითვალისწინებს მასალის თვისებებს, რისგანაც დამზადებულია ხელსაწყო. ვინაიდან ბარომეტრი ვერ აღიქვამს წნევის სწრაფ ცვლილებას, ამიტომ იმ არეში, რომელშიც გვსურს წნევის გაზომვა, ანათვლის აღებამდე ბარომეტრი უნდა გავაჩეროთ 20-30 წ.

ბაროგრაფი წნევის ცვლილების მუდმივი რეგისტრაციისათვის იყენებენ ბაროგრაფს. მისი მოქმედების პრინციპი ბარომეტრის ანალოგიურია, განსხვავება არის ის, რომ ბაროგრაფს ერთი მეტბრანის ყუთის მაგივრად აქვს რამდენიმე ერთიმეორესთან დაკავშირებული ყუთი და გარდა ამისა, ბაროგრაფში ისრის მაგივრად მოწყობილია ბერკეტი საწერი კალმით, რომელიც ეხება რა მბრუნავ დოლზე შემოხვეულ ქაღალდს, აღნიშნავს მასზე წნევის ცვლილებას.

შახტებში უფრო ხშირად წნევათა სხვაობა იზომება **U-ს**
მაგვარი მანომეტრით (ნახ. 62).

იგი წარმოადგენს მოლუნულ მინის მიღს, რომელიც დამაგრებულია ხის ჩარჩოზე. დეპ-

რესიის ანუ წნევათა სხვაობის გასაზომად მიღში ვასხამთ

წყალს 0-0 დონემდე შემდეგ მანომეტრის ორივე მუხლს რეზინის მიღებით ვუერთებთ იმ არებს, რომელთა შორისაც გვსურს წნევათა სხვაობის გაზომვა. მანომეტრის იმ მუხლში, რომელიც მიერთებულია დაბალი წნევის არესთან წყლის დონე აიწეს, მეორე მუხლში კი – დაიწეს იგივე სიდიდით. ანათვალს ვიღებთ ორივე მუხლში და მათი ჯამი წარმოადგენს წნევათა სხვაობას გამოსახულს წყლის სვეტის მიღიმეტრებში.



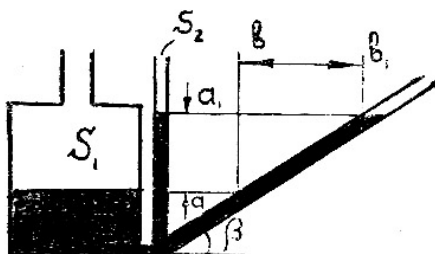
წნევათა სხვაობა (დეპრესია) შეიძლება გავზო-

ნახ. 62
მოთ აგრეთვე **ბარომეტრ-ანეროდის** საჭუალებით. ამისათვის ბარომეტრს ვათავსებთ პირველ კვეთში და ვიღებთ ანათვალს, შემდეგ ბარომეტრი გადაგვაქვს მეორე კვეთში და იქაც ვიღებთ ანათვალს. წნევათა სხვაობა ამ ორ კვეთს შორის განისაზღვრება ანათვლებს შორის სხვაობით.

ამ მეორედის უარყოფითი მხარეა ის, რომ ვიღრე პირველი კვეთიდან გადავიდოდეთ მეორე კვეთში, შეიძლება შეიცვალოს ატმოსფერული წნევა, ეს კი გამოიწვევს ცდომილებას.

მიკრომანომეტრი. როდესაც საჭიროა წნევათა სხვაობის გაზომვა მაღალი სიზუსტით, ან როდესაც ვიცით, რომ საქმე გვაქვს მცირე წნევათა სხვაობასთან, გასაზომად ვიყენებთ

მიკრომანომეტრს (ნახ. 6.3). როგორც სქემიდან ჩანს, აქ საქმე გვაქვს ზიარ ჭურჭელთან. თუ დიდი ჭურჭლის განიკვეთის



ნახ. 6.3

ფართს ავლიშნავთ S_1 , ხოლო ვიწრო მილის ფართს – S_2 , მაშინ ფარდობა $S_1:S_2=700$. ასეთი ფარდობა შერჩეულია იმიტომ, რომ როდესაც ვიწ-

რო მილში სიოხე გადა-

ადგილდება თუნდაც მთელ სიმაღლეზე, დიდ ჭურჭელში სიოხის დონე პრაქტიკულად რჩება უცვლელი. ვიწრო მილი ისეა დაკავშირებული დიდ ჭურჭელთან, რომ საჭიროების შემთხვევაში იგი შეგვიძლია დავაყენოთ ვერტიკალურადაც და დახრილადაც. დახრილად მისი დაყენება საჭიროა იმიტომ, რომ თუ წნევათა სხვაობა ძალზე მცირეა, სიოხე მაინც გადაადგილდეს იმდენად, რომ შეგძლოთ ანათვლის აღება. დაგუშვათ ვერტიკალურად მდგომ ვიწრო მილში სიოხემ აიწია $a-a_1$ სიმაღლეზე, მაშინ დახრილ მილში, იმავე დეპრესიის შემთხვევაში, სიოხის გადაადგილება ტოლი იქნება $bb_1=aa_1 \cdot \sin\beta$. აქედან, თუ ჩვენ გვსურს დახრილ მილში აღებული ანათვალი გადავიყვანოთ ვერტიკალურ სვეტებში, უნდა გამოვიყენოთ ტოლობა

$$aa_1 = bb_1 \cdot \sin\beta. \quad (6.2)$$

(6.2) გამოსახულებაში $\sin\beta$ აღინიშნება F -ით და მას ეწყდება დახრის კუთხის კოეფიციენტი. მისი მნიშვნელობები დატანილია მიკრომანომეტრის ლითონის რკალზე.

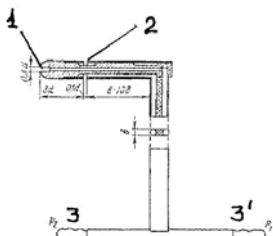
იმისათვის, რომ დახრილ სვეტებში მიღებული სითხის (სპირტის) გადადგლების სიდიდე გადავიყვანოთ წყლის სვეტის მიღიმეტრებში, ვსარგებლობთ გამოსახულებით

$$h_{\text{ვერტ}} = (h_{\text{საბ}} - h_{\text{საწ}}) \cdot F \cdot \Delta \cdot \varepsilon, \quad \text{მმ. წყ. სვ} \quad (6.3)$$

სადაც $h_{\text{საბ}}$ არის სპირტის საბოლოო დონე დახრილ მიღში; $h_{\text{საწ}}$ – საწყისი დონე; F – დახრის კუთხის კოფიციენტი; Δ – სპირტის მოცულობითი წონა; ε – მიკრომანომეტრის შემასწორებელი კოფიციენტი.

ჰაერმზომი მიღაკი. იმისათვის, რომ დეპრესიომეტრს (მანომეტრი ან მიკრომანომეტრი) გადავცეთ გასაზომი წნევა, ვსარგებლობთ დამხმარე საშუალებებით – რეზინის მიღებითა და ჰაერმზომი მიღაკით.

ჰაერმზომი მიღაკი (ნახ. 6.4) შედგება ორი დამოუკიდებელი არხისაგან (ვიწრო მიღისაგან), რომელთაგან ერთი ბოლოვდება ცენტრალური ხვრელით 1, ხოლო მეორე – რადიალური ხვრელით 2. ცენტრალური ხვრელი თავისი არხით უერთდება მიღაკს 3' და აღნიშნულია „+“ ნიშნით, ხოლო რადიალური ხვრელი თავისი არხით უერთდება მიღაკს 3 და აღნიშნულია „-“ ნიშნით. იმის მიხედვით თუ ჰაერმზომი მიღაკის რომელი ბოლო იქნება მიერთებული მიკრომანომეტრთან, შეგვიძლია გავზომოთ დეპრესია ან სიჩქარითი დაწნევა. ასე მაგალითად: თუ მიუერთებთ „-“ ბოლოს, გაიზომება მთლიანი წნევათა სხვაობა ატმოსფეროსა და მიღის დაყენების ადგილს



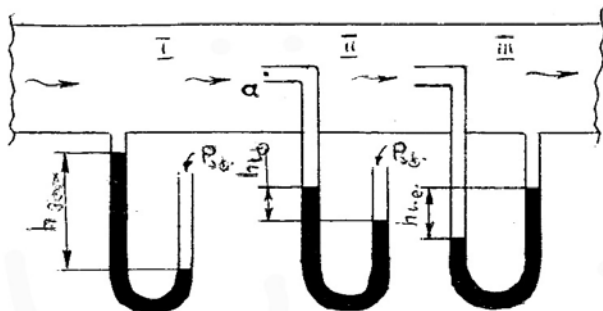
ნახ. 6.4

ალური ხვრელი თავისი არხით უერთდება მიღაკს 3 და აღნიშნულია „-“ ნიშნით. იმის მიხედვით თუ ჰაერმზომი მიღაკის რომელი ბოლო იქნება მიერთებული მიკრომანომეტრთან, შეგვიძლია გავზომოთ დეპრესია ან სიჩქარითი დაწნევა. ასე მაგალითად: თუ მიუერთებთ „-“ ბოლოს, გაიზომება მთლიანი წნევათა სხვაობა ატმოსფეროსა და მიღის დაყენების ადგილს

შორის, ხოლო თუ მიუერთებთ „+“ ბოლოს, გაიზომება მთლიანი დეპრესია, ე.ი. ($h_{b\delta} - h_{b,\text{დ}}$) – შეწოვ ჰაერგამტარში და ($h_{b\delta} + h_{b,\text{დ}}$) – დამჭირხნ ჰაერგამტარში.

6.4. დეპრესიისა და სიჩქარითი დაწნევის გაზომვა

განვიხილოთ შეწოვაზე მომუშავე ვენტილატორის არხი. მივუერთოთ მას U-ს მაგვარი მანომეტრი ისე, როგორც ეს ნაჩვენებია ნახ. 6.5-ის I შემთხვევაში. ამ დროს მანომეტრი გაზომავს ვენტილატორის მიერ განვითარებულ მთლიან დეპრესიას.



ნახ. 6.5.

$$h_{\text{მოღ}} = h_{b\delta} + h_{b,\text{დ}} \quad (6.4)$$

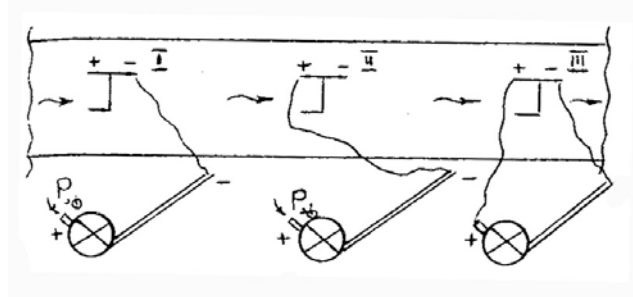
იმ შემთხვევაში, თუ გგსურს გაგზომოთ მაღაროს დეპრესია, საჭიროა არხში მოთავსებული მანომეტრის ბოლო შემოვაბრუნოთ ჰაერის მოძრაობის საპირისპიროდ (II შემთხვევა). ამ დროს გაიზომება სტატიკური წნევა.

$$h_{b\delta} = h_{\text{მოღ}} - h_{b,\text{დ}} \quad (6.5)$$

ეს გამომდინარეობს იქიდან, რომ II შემთხვევაში პაერის ნაწილაკები ეჯახებიან რა მოღუნული მიღის ბოლოს, ა წერ-გილში გადასცემენ დამატებით წნევას, რის გამოც მარცხენა მუხლში სითხე აიწევს უფრო ნაკლებ სიმაღლეზე.

სიჩქარითი დაწევის გასაზომად (ნახ. 6.5. III შემთხვევა) საჭიროა მანომეტრის ორივე მუხლი მივუერთოთ არხს, ერთი ბოლო შემობრუნებულია პაერის მოძრაობის საწინააღმდეგო მიმართულებით, ხოლო მეორე ბოლო – არა. ამ დროს მანო-მეტრის მარცხენა მუხლზე იმოქმედებს პაერის მთლიანი წნევა ($h_{b\delta} + h_{b\varnothing}$), ხოლო მარჯვენა მუხლზე – მხოლოდ $h_{b\delta}$. ეს წნევები ურთიერთსაწინააღმდეგებოდ არიან მიმართულნი და ცხადია სითხის დონეთა შორის სხვაობა მოგვცემს სიჩქარითი დაწევის სიდიდეს ($h_{b\varnothing}$).

ეხლა განვიხილოთ იგივე გაზომვები პაერმზომი მიღა-კისა და მიკრომანომეტრის გამოყენებით (ნახ. 6.6). ამ ნახაზზე I შემთხვევაში, როდესაც პაერმზომი მიღაკის „-“ მიერ-თებულია მიკრომანომეტრის „-“, ხოლო მიკრომანომეტ-რის „+“ მიერთებულია ატმოსფეროსთან,



ნახ. 6.6.

მიკრომანომეტრი გაზომავს ვენტილაციოს მიერ განვითარებულ მთლიან დეპრესიას.

$$h_{\text{მთლ}} = h_{\text{სტატ}} + h_{\text{ს.დ.}} \quad (6.6)$$

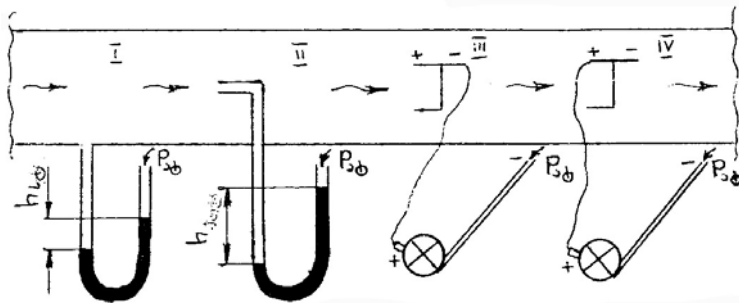
II შემთხვევაში გაიზომება მაღაროს სტატიკური დეპრესია

$$h_{\text{სტატ}} = h_{\text{მთლ}} - h_{\text{ს.დ.}} \quad (6.7)$$

თუ გვსურს გავზომოთ სიჩქარითი დაწნევა, საჭიროა ჰაერმზომი მიღავის „+“ მიგუერთოთ მიკრომანომეტრის „+“, ხოლო ჰაერმზომი მიღავის „-“ კი მიგუერთოთ მიკრომანომეტრის „-“ (ნახ. 6.6. III შემთხვევა).

ეხლა განვიხილოთ დაჭირხვნაზე მომუშავე ვენტილაციოს არხი (ნახ. 6.7). ამ დროს I და III შემთხვევებში გაიზომება ვენტილაციოს მიერ განვითარებული სტატიკური დეპრესია

$$h_{\text{სტატ}} = h_{\text{მთლ}} - h_{\text{ს.დ.}} \quad (6.8)$$



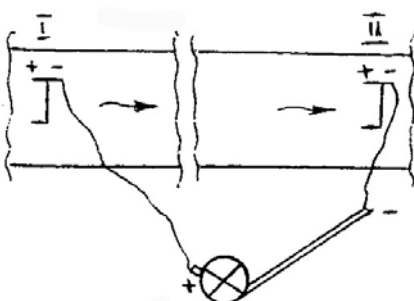
ნახ. 6.7.

ხოლო II და IV შემთხვევებში გაიზომება მთლიანი დეპრესია

$$h_{\text{მთლ}} = h_{\text{სტატ}} + h_{\text{ს.დ.}} \quad (6.9)$$

თუ გვსურს გავიგოთ რომელიმე გვირაბის დეპრესია, ავიდებთ ამ გვირაბის საწყის და ბოლო წერტილებს, განსაკუთრებული ყურადღება უნდა მივაქციოთ, რომ ამ კვეთებს

შორის არ იყოს სხვადასხვა მოწყობილობა-დანადგარები, რომ-ლებიც გამოიწვევენ დეპრესიის გაზრდას (ნახ. 6.8). ვათავსებო



ნახ. 6.8

ჰაერმზომ მილაპებს
(პიტოს მილი) I და II
კვეთებში და ვიღებთ
ერთ მიკრომანომეტრს.
ვინაიდან ჰაერი მოძრაობს
I კვეთიდან II კვეთისკენ,
ცხადია, რომ ჰაერის წნევა
I კვეთში მეტი იქნება,

ვიდრე II კვეთში. ამიტომ I კვეთში მოთავსებული ჰაერმზომი მილაპის „-“ ბოლოს ვაერთებთ მიკრომანომეტრის „+“ ბოლოსთან, ხოლო II კვეთში მოთავსებული ჰაერმზომი მილაპის „-“ ბოლოს, ვაერთებთ მიკრომანომეტრის „-“ ბოლოსთან. ამ შეერთებების დროს გაიზომება გვირაბის დეპრესია I და II კვეთებს შორის.

6.5. ჰაერის მოძრაობის სიჩქარის საზომი ხელსაწყოები და გაზომვის ხერხები

ჰაერის მოძრაობის სიჩქარე იზომება ანემომეტრების საშუალებით. ანემომეტრი არსებობს ორი სახის: ფრთებიანი (ნახ. 6.9) და ჯამებიანი (ნახ. 6.10).



ნახ. 6.9



ნახ. 6.10

ფრთებიანი ანემომეტრი გამოიყენება მცირე
სიჩქარეების ($0,1\text{--}5,0$ მ/წმ) გასაზომად, ხოლო ჯამებიანი
ანემომეტრი – დიდი სიჩქარეების ($1,0\text{--}20,0$ მ/წმ) გასაზომად.

6.5.1. ჰაერის მოძრაობის სიჩქარის ანემომეტრით გაზომვის ხერხები

გვირაბში ჰაერის მოძრაობის სიჩქარის გასაზომად საჭიროა შევირჩიოთ გვირაბის სწორი და ნორმალური გამაგრების მქონე მონაკვეთი. ერთი და იგივე პერიოდი გაზომვა ხდება ორჯერ ან სამჯერ. თუ გაზომვის შედეგები არ განსხვავდება ერთმანეთისაგან $5\%-ზე$ მეტი სიდიდით, თვლიან, რომ გაზომვა სწორად არის ჩატარებული. აღსანიშნავია, რომ როდესაც ვლაპარაკობთ გვირაბში ჰაერის მოძრაობის სიჩქარეზე, ყოველთვის

ვგულისხმობთ პაერის მოძრაობის საშუალო სიჩქარეს და მისი გაზომვა შეიძლება სხვადასხვა ხერხით.

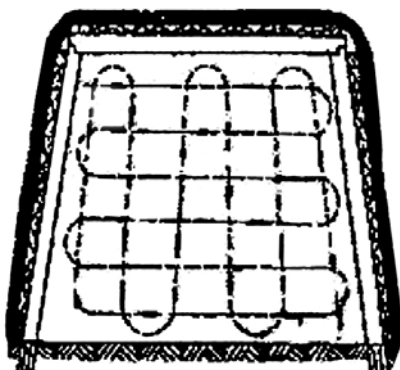
1. საშუალო სიჩქარის განსაზღვრა გვირაბის ცენტრში გაზომილი სიჩქარით. ამ შემთხვევაში გვირაბის ცენტრში უძრავად მოთავსებული ანემომეტრის საშუალებით ზომავენ პაერის მოძრაობის სიჩქარეს და საშუალო სიჩქარე განისაზღვრება ფორმულით

$$V_{\text{საშ.}} = K \cdot V_{\text{გაზ.}}, \quad \theta / \text{წ}, \quad (6.10)$$

სადაც K არის გვირაბის კვეთში სიჩქარეთა არათანაბარი განაწილების კოეფიციენტი (იგი ყველა კონკრეტული გვირაბისათვის განისაზღვრება ექსპერიმენტალურად); $V_{\text{გაზ.}}$ – გვირაბის ცენტრში გაზომილი სიჩქარე, $\theta / \text{წ}$.

ეს ხერხი ნაკლებად ზუსტია და გამოიყენება მხოლოდ იმ შემთხვევაში, როდესაც პაერის მოძრაობის სიჩქარე იმდენად მცირეა, რომ ანემომეტრის ფრთები არ ბრუნავს გვირაბის განივი კვეთის ყველა წერტილში.

2. სიჩქარის გაზომვა ხერხით „ჩვენს წინ“. ამ დროს



ანემომეტრს ვამაგრებთ 1,5-2 მ სიგრძის ჯოხზე, რომელიც მზომავს უჭირავს ხელში და ამოძრავებს გვირაბის განივ კვეთში ნახ. 6.11-ზე მოცემული სქემის მიხედვით, როდესაც პაერის მოძრაობის სიჩქარეს ვზომავთ ამ ხერ-

ნახ. 6.11

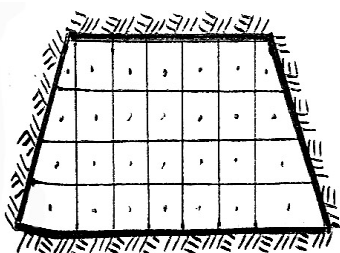
ხით, საჭიროა გაზომვის შედეგად მიღებული პაერის მოძრაობის სიჩქარე გავამრავლოთ შემასწორებელ კოეფიციენტზე $K=1,14$

3. სიჩქარის გაზომვა ხერხით „კვეთში“. ამ შემთხვევაში მზომავი დგას ზურგით გვირაბის კედლისკენ და ამოძრავებს ანემომეტრს გვირაბის იგივე კვეთში, რომელშიც თვითონ იმყოფება, ნახ. 6.11-ზე მოყვანილი სქემის შესაბამისად. ამ ხერხით გაზომილი პაერის მოძრაობის საშუალო სიჩქარე საჭიროა გავამრავლოთ შემასწორებელ K კოეფიციენტზე, რომელიც გამოითვლება ფორმულით

$$K_{\text{Sem}} = \frac{S - 0,4}{S}, \quad (6.11)$$

სადაც S არის გვირაბის განივი კვეთი, მ^2 .

4. სიჩქარის გაზომვის სპეციალური ხერხი. როდესაც



ნახ. 6.12

ნაწილებად (ნახ. 6.12) და თითოეული ნაწილის ცენტრში უძრავად გაჩერებული ანემომეტრით ზომავენ პაერის მოძრაობის სიჩქარეს. პაერის მოძრაობის საშუალო სიჩქარე კი განისაზღვრება ფორმულით

გვირაბში პაერის მოძრაობის სიჩქარე სურთ განსაზღვრონ დიდი სიზუსტით, მიმართავენ სიჩქარის გაზომვის სპეციალურ ხერხს, რაც მდგომარეობს შემდეგში: გვირაბის განივ კვეთს დაყოფენ

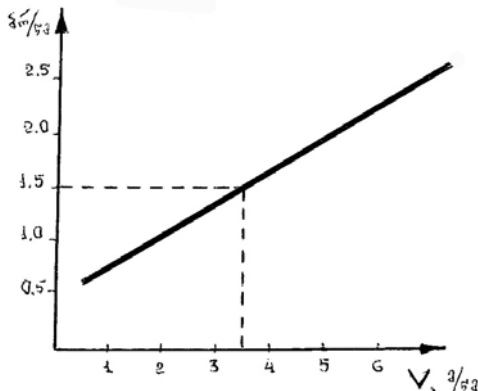
$$V_{\text{saS}} = \frac{\sum_{i=1}^n V_i S_i}{S}, \quad \partial/\!\!\!\partial, \quad (6.12)$$

სადაც V_i არის გვირაბის i -ური ნაწილის ცენტრში გაზომილი სიჩქარე, $\partial/\!\!\!\partial$; S_i – გვირაბის შესაბამისი i -ური ნაწილის განიკვეთის ფართი, ∂^2 .

6.5.2. ჰაერის მოძრაობის სიჩქარის გაზომვა ანემომეტრით და ჰაერმზომი მილაკითა და მიკრომანომეტრით

ანემომეტრის საშუალებით სიჩქარის გაზომვას აწარმოებს ორი ადამიანი, ერთს უჭირავს ანემომეტრი, ხოლო მეორეს – წამმზომი. გაზომვის დაწყების წინ ანემომეტრის მრიცხველზე ვიღებთ საწყის ანათვალს. შემდეგ ერთდროულად ვრთავთ ანემომეტრსა და წამმზომს, და ვამოძრავებთ ანემომეტრს გვირაბის განივ კვეთში ნახ. 6.11-ზე მოცემული სქემის მიხედვით. მზომელები წინასწარ შეთანხმებულები არიან ისეთ გაზომვის დროზე, რომ მზომავმა მოასწროს ანემომეტრის მოტარება გვირაბის განივი კვეთის ყველა დამახასიათებელ წერტილში. გაზომვის დროის გასვლის შემდეგ ანემომეტრი და წამმზომი ითიშება ერთდროულად. ამის შემდეგ ანემომეტრის მრიცხველზე ვიღებთ ბოლო ანათვალს, კსაზღვრავთ ანათვალთა შორის სხვაობას, რომელსაც ვყოფთ გაზომვის დროზე, რათა განვსაზღვროთ ე.წ. დანაყოფთა რიცხვი წამში. მიღებული სიდიდის მიხედვით, სპეციალური გრაფიკით (ნახ. 6.13), რო-

მელიც გააჩნია ყველა ანემომეტრს, როგორც პასპორტი, ვადგენთ ჰაერის მოძრაობის სიჩქარეს.



ნახ. 6.13

ამ გრაფიკის (პასპორტის) აბცისთა დერძზე გადაზომილია ჰაერის მოძრაობის სიჩქარე, ხოლო ორდინატა დერძზე – დანაყოფთა რიცხვი წამში.

ჰაერმზომი მიღავითა და მიკრომანომეტრით ჰაერის მოძრაობის სიჩქარის განსაზღვრისათვის ჯერ 6.4-ში აღწერილი სქემის მიხედვით უნდა განვსაზღვროთ სიჩქარითი დაწნევა (ნახ. 6.6, III შემთხვევა), ხოლო სიჩქარე კი ვიანგარიშოთ ტოლობით.

$$V = \sqrt{(h_{\text{sab}} - h_{\text{sawy}}) \cdot \frac{2g}{\gamma} \cdot \frac{\Delta}{0,8} \cdot F \cdot \varepsilon}, \quad \text{მ/მ}, \quad (6.13)$$

სადაც h_{sab} არის სპირტის საბოლოო დონე მიკრომანომეტრის დახრილ მიღმი, მმ; h_{sawy} – სპირტის საწყისი დონე, მმ; γ – ჰაერის მოცულობითი წონა; $g=9,81$ – თავისუფალი ვარდნის

აჩქარება; Δ – სპირტის მოცულობითი წონა; F – მიკრომანო-მეტრის მილის დახრის კუთხის კოფიციენტი; ε – მიკრომა-ნომეტრის შემასწორებელი კოფიციენტი.

7. ამონსტატიკა

7.1. აეროსტატიკის ძირითადი განტოლება

როგორც ცნობილია იდეალური სითხის ან აირის წონასწორობის დიფერენციალურ განტოლებებს შემდეგი სახე აქვთ:

$$\left. \begin{aligned} X - \frac{1}{\rho} \cdot \frac{\partial p}{\partial x} &= 0 \\ Y - \frac{1}{\rho} \cdot \frac{\partial p}{\partial y} &= 0 \\ Z - \frac{1}{\rho} \cdot \frac{\partial p}{\partial z} &= 0 \end{aligned} \right\} \quad (7.1)$$

ეს განტოლებები პირველად მოგვცა ეილერმა და ამიტომ მათ ეილერის განტოლებებსაც უწოდებენ.

იმისათვის, რომ მოვძებნოთ აეროსტატიკური წნევის სი-დიდე, ე.ო. გამოვიყვანოთ აეროსტატიკის ძირითადი განტო-ლებები, ეილერის განტოლებებიდან პირველი გავამრავლოთ dx , მეორე – dy , მესამე – dz და სამივე შევკრიბოთ.

$$Xdx + Ydy + Zdz = \frac{1}{\rho} \left(\frac{\partial p}{\partial x} \cdot dx + \frac{\partial p}{\partial y} \cdot dy + \frac{\partial p}{\partial z} \cdot dz \right) \quad (7.2)$$

როგორც ადრე ავღნიშნეთ, წონასწორობის შემთხვევაში აეროსტატიკური წნევა არის კოორდინატთა დერმების ფუნქცია,

(7.2) განტოლების მარჯვენა მხარეზე მოთავსებული სამი წევ-რის ჯამი კი წარმოადგენს სრულ დიფერენციალს, ამიტომ (7.2) განტოლება შეგვიძლია ასე გადავწეროთ.

$$Xdx + Ydy + Zdz = \frac{\partial p}{\rho} \quad (7.3)$$

იმისათვის, რომ განტოლება იყოს მართებული და შეიძლებოდეს მისი ინტეგრება, აუცილებელია (7.3) განტოლების მარცხენა მხარეც იყოს სრული დიფერენციალი. ბუნებაში ცნობილ ყველა მოცულობით ძალას, რომელთაც შეუძლიათ იმოქმედონ სითხისებურ სხეულზე აქვთ პოტენციალი. ამ შემთხვევაში პიდროაეროდინამიკიდან ცნობილია, რომ არსებობს რაღაც U ფუნქცია, რომლის კერძო წარმოებულები კოორდინატთა დერძების მიმართ ტოლია შესაბამისი მოცულობითი ძალების აჩქარების გეგმილებისა, ე.ი.

$$\frac{\partial u}{\partial x} = X \quad \frac{\partial u}{\partial y} = Y \quad \frac{\partial u}{\partial z} = Z \quad (7.4)$$

ამ გამოსახულებების გათვალისწინებით (7.3) განტოლების მარცხენა მხარე წარმოადგენს dU-ს

U-ს ეწოდება პოტენციალური ფუნქცია, ხოლო იმ ძალებს, რომლებიც აქმაყოფილებენ (7.4) პირობას ეწოდებათ ძალები, რომელთაც გააჩნიათ პოტენციალი. (7.3) განტოლების ფიზიკური არსი მდგომარეობს შემდეგში: სითხე ან აირი წონასწორობაში შეიძლება იმყოფებოდეს მხოლოდ პოტენციალის მქონე ძალების ზემოქმედებით. ასეთი ძალებიდან ჩვენთვის საინტერესოა სიმძიმის ძალა.

თუ კოორდინატთა სისტემის Z ღერძს მივმართავთ
გერტიკალურად ქვევით, მაშინ სიმძიმის ძალა g დაგეგმილდება
 Z ღერძზე მისი ნატურალური სიდიდით, ხოლო X და Y
ღერძებზე მისი გეგმილი იქნება ნულის ტოლი, კ.ი.

$$X=0; \quad Y=0; \quad Z=g$$

თუ ამ მნიშვნელობებს შევიტანო (7.3) ტოლობაში მივი-
ღებთ

$$gdz = \frac{dp}{\rho} \quad \text{ან} \quad \frac{dp}{\gamma} = dz \quad (7.5)$$

(7.5) განტოლების ინტეგრებისათვის საჭიროა გვქონდეს
ზღვრები, ავიდოთ ჭაური სიღრმით H , ზედაპირული დონე
ავლნიშნოთ Z_1 , მაღაროს ეზოს დონე $\beta_0 = Z_2$, შესაბამისად
წნევები ავლნიშნოთ $-P_1$ და P_2 .

ამაშინ:

$$\int_{P_1}^{P_2} \frac{dp}{\gamma} = \int_{Z_1}^{Z_2} dz = Z_2 - Z_1 = H, \\ \text{ან} \quad H = \int_{P_1}^{P_2} \frac{dp}{\gamma}. \quad (7.6)$$

(7.6) განტოლება წარმოადგენს აეროსტატიკის მირითად
განტოლებას.

7.2. წნევის საანგარიშო ფორმულები სიღრმის ცვლილებების მიხედვით

ცნობილია, რომ სამთო საწარმოებში ტემპერატურა ნაწილდება არაპანონზომიერად და იგი მრავალ სხვადასხვა ფაქტორზეა დამოკიდებული. ასევე არაპანონზომიერად იცვლება ჰაერის მოცულობითი წონა. ეს მდგომარეობა არ გვაძლევს საშუალებას, რათა ჰაერის მოცულობითი წონა გამოვსახოთ, როგორც წნევის ფუნქცია, რითაც როცულდება აეროსტატიკის ძირითადი განტოლების გადაწყვეტა. ეს რომ შევძლოთ, რაც საშუალებას მოგვცემს პრაქტიკულად საკმარისი სიზუსტით ვიანგარიშოთ წნევები სხვადასხვა სიღრმეზე, განვიხილოთ სამთო საწარმოებში ჰაერის მდგომარეობის ზოგიერთი ცვლილება:

1. ერთგვაროვანი ატმოსფერო, ე.ი. ჰაერის მოცულობითი წონა მიწის ზედაპირზე და მაღაროს ეზოს დონეზე მუდმივია, ანუ $\gamma = \text{const.}$

ამ შემთხვევაში (7.6) განტოლებიდან ვწერთ

$$H = \int_{P_1}^{P_2} \frac{dp}{\gamma} = \frac{1}{\gamma} \int_{P_1}^{P_2} dp = \frac{1}{\gamma} (P_2 - P_1).$$

ანუ აქედან

$$P_2 = P_1 + H\gamma. \quad (7.7)$$

(7.7) განტოლებაში P_1 არის წნევა მიწის ზედაპირზე; P_2 – წნევა მაღაროს ეზოს დონეზე; H – ჰაერის სიღრმე; γ – მაღაროში ჰაერის საშუალო მოცულობითი წონა. აქ $H\gamma$ -ს განზომილებაა მშ.წ.ს. და თუ გვხურს იგი გადავიყვანოთ

ვერცხლისწყლის სკეტის მიღიმეტრებში, საჭიროა გავყოთ 13,6-ზე, მაშინ მივიღებთ:

$$P_2 = P_1 \pm \frac{H\gamma}{13.6}, \quad \text{მმ.წ.წ.ს.ვ.} \quad (7.8)$$

ამ ტოლობაში „+“ იხმარება, როცა გესურს წნევა განვსაზღვროთ ზედაპირიდან რომელიდაც H სიღრმეზე, ხოლო ნიშანი „-“ იხმარება, როდესაც წნევის განსაზღვრა გესურს ზედაპირიდან რომელიდაც H სიმაღლეზე.

2. იზოთერმული ატმოსფერო. ე.ი. $T = \frac{T_1 + T_2}{2} = \text{const.}$ ამ

შემთხვევაში, რომელიდაც H სიღრმეზე წნევა P_2 შეგვიძლია ვიანგარიშოთ შემდეგი ტოლობით

$$\lg P_2 = \lg P_1 + 0,015H/T \quad (7.9)$$

3. პოლიტრობული ატმოსფეროს შემთხვევაში წნევის სიდიდე რომელიდაც H სიღრმეზე იანგარიშება ტოლობით

$$\lg P_2 = \lg P_1 + \frac{H}{R(T_2 - T_1)} \cdot \lg \left(\frac{T_2}{T_1} \right), \quad (7.10)$$

სადაც P_1 და T_1 არის წნევა და ტეპერატურა მიწის ზედაპირზე; P_2 და T_2 – წნევა და ტეპერატურა რომელიდაც H სიღრმეზე; $R=29,27$ და არის აირის მუდმივა.

8. მაღაროში ჰამრის მოძრაობის ძირითადი განვითარება

8.1. იდეალური სითხის ან აირის მოძრაობის დიფერენციალური განტოლებები

სითხის მდგრმარეობა მისი მოძრაობის შემთხვევაში განისაზღვრება არა მარტო მკუმშავი ძალებით, როგორც ეს გვქონდა სითხის წონასწორობისას, არამედ სიჩქარითაც, რომელიც მას გააჩნია სივრცის სხვადასხვა წერტილებში და დროის სხვადასხვა მომენტებში. სითხის რომელიმე ნაწილაკის სიჩქარის მდგრელებისათვის x, y და z დერძებზე გვექნება:

$$\frac{dx}{dt} = v_x, \quad \frac{dy}{dt} = v_y, \quad \frac{dz}{dt} = v_z. \quad (8.1)$$

იმისათვის, რომ შევადგინოთ სითხის ელემენტარული ნაწილაკის მოძრაობის განტოლება, გამოვიყენოთ დალამბერის საწყისი და ელემენტარულ ნაწილაკზე მოქმედ ყველა ძალას დავუმატოთ ინერციის ძალა, რომელიც არის სიჩქარის დროის მიხედვით წარმოებული შებრუნებული ნიშნით. აღნიშნული მსჯელობის თანახმად და, იდეალური სითხის წონასწორობის დიფერენციალური (7.1) განტოლების გამოყენებით, შეგვიძლია დავწეროთ

$$\left. \begin{aligned} X - \frac{1}{\rho} \cdot \frac{\partial p}{\partial x} - \frac{dv_x}{dt} = 0 \\ Y - \frac{1}{\rho} \cdot \frac{\partial p}{\partial Y} - \frac{dv_y}{dt} = 0 \\ Z - \frac{1}{\rho} \cdot \frac{\partial p}{\partial z} - \frac{dv_z}{dt} = 0 \end{aligned} \right\} \quad (8.2)$$

მიღებულ (8.2) განტოლებებს ეწოდებათ ეილერის განტოლებები იდეალური სითხის ან აირის მოძრაობის შემთხვევაში.

8.2. ბერნულის განტოლება იდეალური სითხისათვის

იმისათვის, რომ მივიღოთ ბერნულის განტოლებები, (8.2) განტოლებებიდან პირველი გავამრავლოთ dx -ზე, მეორე – dy -ზე, მესამე – dz -ზე და შევკრობოთ

$$\begin{aligned} xdx + ydy + zdz - \frac{1}{\rho} \left(\frac{\partial P}{\partial x} dx + \frac{\partial P}{\partial y} dy + \frac{\partial P}{\partial z} dz \right) = \\ = \frac{d\nu_x}{dt} dx + \frac{d\nu_y}{dt} dy + \frac{d\nu_z}{dt} dz \end{aligned} \quad (8.3)$$

მიღებული განტოლება გარდავქმნათ შემდეგნარად:

1. თუ მხედველობაში მივიღებთ (8.1) გამოსახულებას, მარჯვენა მხარეზე მოთავსებული სამი წევრიდან თითოეული ასე შეიძლება გარდავქმნათ:

$$\frac{d\nu_x}{dt} dx = \frac{dx}{dt} d\nu_x = V_x dx = \frac{1}{2} d(V_x^2)$$

მაშასადამე, მარჯვენა მხარეზე მოთავსებული სამი წევრის ჯამი წარმოადგენს სიჩქარის კვადრატის დიფერენციალის ნახევარს.

2. ეხლა განვიხილოთ მარცხენა მხარეზე ფრჩხილებში მოთავსებული სამი წევრის ჯამი: თუ ჩვენ ჩავთვლით, რომ სითხის მოძრაობა დამყარებულია, ე.ი. თუ სიჩქარე არ იცვლება როგორც სიდიდით, ასევე მიმართულებით, მაშინ შეიძლება მივიღოთ, რომ აღნიშნული სამწევრი წარმოადგენს სრულ დიფერენციალს, ე.ი.

$$\frac{\partial P}{\partial x} dx + \frac{\partial P}{\partial y} dy + \frac{\partial P}{\partial z} dz = dp$$

3. ეხლა განვიხილოთ მარცხენა ნაწილის პირველი სამი წევრის ჯამი: ავიდოთ კოორდინატთა სისტემა ისეთნაირად, რომ xoy სიბრტყე იყოს ჰორიზნტალური, ხოლო oz დერძი მივმართოთ ვერტიკალურად ზევით, და დაგუშვათ, რომ სითხე მოძრაობს მხოლოდ სიმძიმის ძალის ზეგავლენით, მაშინ მისი გეგმილები კოორდინატთა დერძებზე იქნება:

$$X=0; \quad Y=0; \quad Z=-g$$

ეოველივე ამ მსჯელობის გათვალისწინებით განტოლება-
(8.3) ასე გადაიწერება:

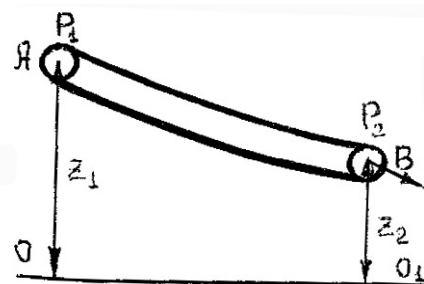
$$-gdz - \frac{dP}{\rho} - \frac{d(v^2)}{2} = 0$$

ამ უკანასკნელი განტოლების ორივე მხარე გავყოთ „-g“-ზე და მოვახდინოთ მისი ინტეგრება, მივიღებთ:

$$Z + \frac{P}{\gamma} + \frac{V^2}{2g} = C. \quad (8.4)$$

მიღებულ (8.4) განტოლებას ეწოდება ბერნულის განტოლება და მისი ფიზიკური არსი მდგომარეობს შემდეგში: დამყარებული მოძრაობის დროს იდეალური სითხის ნებისმიერი ნაწილაკისათვის ბერნულის განტოლებაში შემავალი სამი წევრის ჯამი არის მუდმივი სიდიდე.

როგორც ავღნიშნეთ, იდეალური სითხის ნაწილაკებს შორის არ არსებობს შეჯიბრებულობის ძალები, რის გამოც სითხის ნაწილაკები ვერ უწევენ წინააღმდეგობას გამჭიმავ და მხებ ძალებს, ამიტომ ცხადია,



ნახ. 8.1

როცა სითხის ნაწილაკი A პვეთიდან გადაადგილდება B პვეთში (ნახ. 8.1), მას უქნება იგივე ენერგია, რაც გააჩნია A პვეთში. აქედან გამომდინარე ბერნულის განტო-

ლება A და B პვეთებისათვის მიიღებს სახეს:

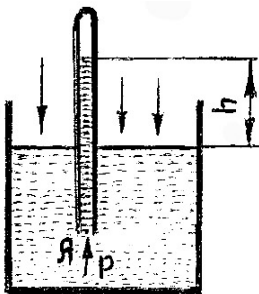
$$Z_1 + \frac{P_1}{\gamma} + \frac{V_1^2}{2g} = Z_2 + \frac{P_2}{\gamma} + \frac{V_2^2}{2g}. \quad (8.5)$$

განვმარტოთ ბერნულის განტოლებაში შემავალი თითოეული წევრი:

1. Z არის სიმაღლე, რომელიც გვიჩვენებს სითხის ნაწილების დაშორებას 00₁ სიბრტყიდან, ან სხვანაირად რომ

გთქვათ ამ ნაწილაკის მდებარეობის უნერგიას, მის პოტენციალურ ენერგიას.

$$2. \frac{P}{\gamma} \text{ არის ისეთი სვეტის სიმაღლე, რომელიც გადასცემს წნევას მის ფუძეზე მოცემულ წერტილში და ეს წნევა ამ წერტილში არსებული წნევის ტოლია. განვიხილოთ მაგალითი: ავიდოთ ჭურჭელი სითხით (ნახ. 8.2) და მასში მოვათავსოთ მილი ტორიჩელის სიცარიელით. დავინახავთ, რომ მილში სითხე აიწევს გარკვეულ სიმაღლეზე. თუ სითხის მოცულობით წონას ავდნიშნავთ კ მაშინ პიდროსტატიკური წნევა A წერტილში ტოლი იქნება h·γ და იგი გაწონასწორებულია A წერტილში საპირისპირო მიმართულებით მოქმედი P$$



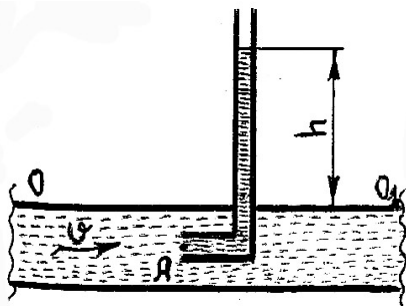
ნახ. 8.2

წნევით, ე.ი. $P = h \cdot \gamma$, აქედან

$$h = \frac{P}{\gamma}$$

3. $\frac{V^2}{2g}$ არის სიმაღლე, საიდანაც თავისუფლად ვარდნილი სხეული მის მიერ გავლილი გზის ბოლოში მოიპოვებს V სიჩქარეს. განვიხილოთ მაგალითი: რომელიმე ნაკადში მოვათავსოთ მოღუნელი ვიწრო მინის მილი ისე, როგორც ეს ნახ. 8.3-ზეა ნაჩვენები. დავინახავთ, რომ მილში

სითხის დონე აიღევს 00_1 დონიდან რადაც h სიმაღლეზე,



ნახ. 83

რომელიც გაწონასწორებული იქნება V სიჩქარით. როგორც ნახაზიდან ჩანს, სითხის ნაწილაკები ეჯახებიან რა მოღუნული მილის ბოლოს A წერტილში გადასცემქნ დამატებით წნევას მილში არსებულ ნაწილაკებს და

ცდილობენ შეიჭრან მასში. მილში მყოფი ნაწილაკები კი თავის მხრივ ცდილობენ გამოედინონ A სვრელიდან სიჩქარით, რომლის აბსოლუტური სიდიდე ტოლია $\sqrt{2gh}$. როგორც ვხედავთ საქმე გვაქვს ორ ურთიერთ-საპირისპიროდ მიმართულ სიჩქარესთან და ცხადია მათი ტოლქმედი სიდიდით ტოლი იქნება მათი სხვაობისა, მაგრამ ვინაიდან ვიწრო მილში სითხე წონასწორობაშია, ამიტომ ამ სიჩქარეების ტოლქმედი იქნება ნულის ტოლი, ე.ო.

$$V - \sqrt{2gh} = 0 \quad V = \sqrt{2gh}, \text{ ანუ აქედან: } h = V^2 / 2g$$

83. ბერნულის განტოლება რეალური სითხისათვის

ვიდრე განვიხილავდეთ ბერნულის განტოლებას რეალური სითხისათვის (8.5) განტოლების ორივე მხარე წინასწარ გავამრავლოთ პატივის მოცულობით წონაზე γ, მაშინ:

$$Z_1\gamma + P_1 + \frac{V_1^2}{2g} \gamma = Z_2\gamma + P_2 + \frac{V_2^2}{2g} \gamma \quad (8.6)$$

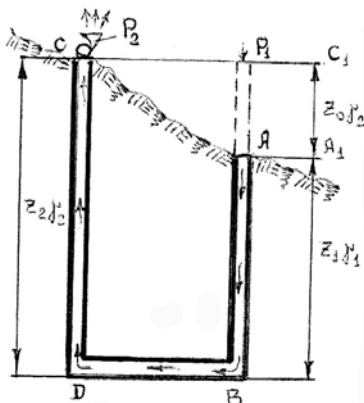
ვინაიდან რეალურ სითხეს ახასიათებს სიბლანტე, ცხადია, რომ AB უბანზე (ნახ. 8.1) სითხის მოძრაობისას ადგილი ექვემდებარება ენერგიის კარგებას, რაც იწვევს (8.6) ტოლობის დარღვევას. აღნიშნული ენერგია იკარგება ყველა იმ წინადობათა გადასალახავად, რომელიც სითხის ნაწილაკს ხვდება A პეტოდან B პეტში გადაადგილებისას. თუ AB უბანზე მოძრაობისას ენერგიის კარგვას ავდნიშნავთ h_{vis} , მაშინ რეალური სითხისათვის (8.6) განტოლება მიიღებს სახეს:

$$Z_1\gamma + P_1 + \frac{V_1^2}{2g} \gamma = Z_2\gamma + P_2 + \frac{V_2^2}{2g} \gamma + h_{\text{win}} , \quad (8.7)$$

როგორც დავინახეთ ბერნულის განტოლება მიღებული იყო უბუმშვადი (იდეალური) სითხისათვის, მაგრამ მისი გამოყენება შეიძლება ჰაერისთვისაც, რომელიც ძალიან ადვილად იქმნება, ვინაიდან დადგენილია, რომ მაღაროში ჰაერის მოძრაობისას, ჰაერის მოცულობითი წონა იცვლება მისი სტანდარტული მნიშვნელობიდან 6-8%-ით, რასაც პრაქტიკული მნიშვნელობა არა აქვს. ამის გათვალისწინებით (8.7) განტოლება შეიძლება დავწეროთ ჰაერისათვის, მხოლოდ იგი გადავწეროთ ისეთნაირად, რომ მარჯვენა მხარეზე დავტოვოთ მხოლოდ h_{vis} , ხოლო დანარჩენი წევრები დავაჯგუფოთ

$$(P_1 - P_2) + (Z_1\gamma_1 - Z_2\gamma_2) + \left(\frac{V_1^2}{2g} \gamma_1 - \frac{V_2^2}{2g} \gamma_2 \right) = h_{\text{win}} \quad (8.8)$$

გამოვიყენოთ (8.8) განტოლება მაღაროში პაერის მოძრაობის შემთხვევაში (ნახ. 8.4). შემოვიდოთ შემდეგი აღნიშვნები: P_1 – ბარომეტრული წნევა CC_1 დონეზე; P_2 – წნევა კენტილატორის არხში; Z_0 – პაერის სვეტის სიმაღლე AA_1 და CC_1 დონეთა შორის; γ_0 – ამ დონეებს შორის პაერის საშუალო მოცულობითი წონა; Z_1 – AB ჭაურის სიმაღლე; γ_1 – პაერის



ნახ. 8.4

მოცულობითი წონა AB ჭაურში; Z_2 – CD ჭაურის სიმაღლე; γ_2 – პაერის მოცულობითი წონა CD ჭაურში.

დავუშვათ $\gamma_1 > \gamma_2$. როგორც ნახ. 8.4-დან ჩანს პაერის წნევა A წერტილში ტოლი იქნება $P_1 + Z_0\gamma_0$. დავწეროთ (8.8) განტოლება A და C კვეთებისათვის:

$$(P_1 - P_2) + (Z_0\gamma_0 + Z_1\gamma_1 - Z_2\gamma_2) + \left(\frac{V_1^2}{2g} \gamma_1 - \frac{V_2^2}{2g} \gamma_2 \right) = h_{win} \quad (8.9)$$

მიღებულ განტოლებაში განვიხილოთ მარცხენა მხარეზე ფრჩხილებში მოთავსებული გამოსახულებები ცალ-ცალკე: $(P_1 - P_2)$ წარმოადგენს კენტილატორის მიერ განვითარებულ წნევათა სხვაობას – h_{gas} ; $(Z_0\gamma_0 + Z_1\gamma_1 - Z_2\gamma_2)$ წარმოადგენს AB და CD პაერის სვეტების მიერ განვითარებულ წნევათა

სხვაობას (ე.წ. ბუნებრივი წევა), ავღნიშნოთ იგი $h_{\text{ბუ}}$:

$$\left(\frac{V_1^2}{2g} \gamma_1 - \frac{V_2^2}{2g} \gamma_2 \right) \text{წარმოადგენს სიჩქარით დაწნევას, ავღნიშნოთ} \right.$$

იგი $\Delta h_{\text{ს.დ.}}$ ეფელივე ამ მსჯელობის გათვალისწინებით (8.9) განტოლება მიიღებს შემდეგ სახეს:

$$h_{\text{ვნ}} + h_{\text{ბუ}} + \Delta h_{\text{ს.დ.}} = h_{\text{წ.ი.}} \quad (8.10)$$

(8.10) განტოლებაში $h_{\text{წ.ი.}}$ წარმოადგენს წნევათა სხვაობას, რომელიც იხარჯება A წერტილიდან C წერტილამდე პაერის მოძრაობისას კველა არსებული წინაღობის გადასალახავად, ხოლო მარცხენა ნაწილში მოთავსებული სამი წევრის ჯამი კი წარმოადგენს წნევათა სხვაობას, რომელიც უნდა შეიქმნას, რათა მაღარომ გაატაროს პაერის გარკვეული რაოდენობა.

ავღნიშნოთ ბარომეტრული წნევა $P_1 - B$ -თი, ხოლო წნევა ვენტილატორის არხში $P_2 - P_{\text{ვნ}}$, მაშინ ადგილი ექნება მაღაროს განიავების შემდეგ შემთხვევებს:

1. დაუშვათ $P_1 > P_2$, $\gamma_1 = \gamma_2$, $V_1 = V_2$, მაშინ: $h_{\text{წ.ი.}} = P_1 - P_2 - B - P_{\text{ვნ}}$ ე.ი. ვენტილატორი მუშაობს შეწოვაზე.

2. დაუშვათ $P_1 < P_2$, $\gamma_1 = \gamma_2$, $V_1 = V_2$, მაშინ $P_2 - P_1 = P_{\text{ვნ}} - B = h_{\text{ვნ}}$. ე.ი. ვენტილატორი მუშაობს დაჭირხნაზე.

3. დაუშვათ $P_1 = P_2$, $\gamma_1 \neq \gamma_2$, $V_1 = V_2$ მაშინ $h_{\text{წ.ი.}} = Z_0 \gamma_0 + Z_1 \gamma_1 - Z_2 \gamma_2 = h_{\text{ბუ}}$. ე.ი. განიავება ხდება ბუნებრივი დეპრესიით.

4. დავუშვათ $P_1 = P_2$, $\gamma_1 = \gamma_2$, $V_1 \neq V_2$, მაშინ

$$h_{\text{win}} = \frac{V_1^2}{2g} \gamma - \frac{V_2^2}{2g} \gamma = \Delta h_{\text{s.d.}} \quad \text{ე.ი. განიავება ხდება სიჩქარითი}$$

დაწნევის ხარჯზე.

5. დავუმდგათ $P_1 > P_2$, $\gamma_1 > \gamma_2$, $V_1 = V_2$, მაშინ $h_{\text{წინ}} = (P_1 - P_2) + (Z_0\gamma_0 + Z_1\gamma_1 - Z_2\gamma_2) = h_{\text{ენეტ}} + h_{\text{ბურ}}$. ე.ო. მაღაროს განიავება ხდება ვენტილაციურებითა და ბუნებრივი დეპრესიით. ამ შემთხვევაში ბუნებრივი წევა ეხმარება ვენტილაციოს მუშაობას.

6. დავუმდგათ $P_1 > P_2$, $\gamma_1 < \gamma_2$, $V_1 = V_2$, მაშინ $h_{\text{წინ}} = (P_1 - P_2) - (Z_0\gamma_0 + Z_1\gamma_1 - Z_2\gamma_2) = h_{\text{ენეტ}} - h_{\text{ბურ}}$ ე.ო. მაღაროს განიავება აქაც ხდება ვენტილაციურითა და ბუნებრივი დეპრესიით, მხოლოდ ამ შემთხვევაში ბუნებრივი წევა ხელს უშლის ვენტილაციოს მუშაობას.

8.4. ბერნულის განტოლება პორიზონტალური გვირაბებისათვის

პორიზონტალურ გვირაბებში პაერის მოძრაობისას ბერნულის განტოლებას ექნება შემდეგი სახე

$$(P_1 - P_2) + \left(\frac{\nu_1^2}{2g} \gamma_1 - \frac{\nu_2^2}{2g} \gamma_2 \right) = h_{\text{win.}} \quad (8.11)$$

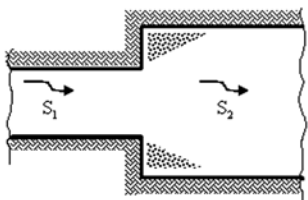
ამ განტოლებიდან ჩანს, რომ წნევის კარგვა $h_{\text{წინ}}$ მხოლოდ მაშინ უდრის გაზომილ წნევათა სხვაობას ანუ $(P_1 - P_2)$, როდესაც $V_1 = V_2$. ყველა დანარჩენ შემთხვევაში გაზომილ დეპრესიაში (წნევათა სხვაობაში) საჭიროა შევიტანოთ შესწორება

$$\Delta h_{\text{სესვ}} = \frac{\nu_1^2 - \nu_2^2}{2g} \gamma, \quad (8.12)$$

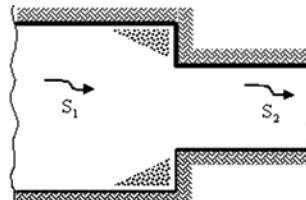
განვიხილოთ ორი შემთხვევა:

1. ვთქვათ პაერი გადადის ვიწრო კვეთიდან ფართო კვეთში (ნახ. 8.5), ე.ი. $S_1 < S_2$, ცხადია ამ შემთხვევაში $V_1 > V_2$ და ამიტომ (8.12) განტოლებაში სიჩქარით დაწნევათა სხვაობა მიიღება დადგბითი, ამიტომ ნამდვილი დეპრესიის გასაგებად გაზომილ დეპრესიას უნდა დაუუმატოთ შესწორება

$$h_{\text{ნამ}} = h_{\text{გაზ}} + \Delta h_{\text{შესწ}}. \quad (8.13)$$



ნახ. 8.5



ნახ. 8.6

2. დაგუშვათ პაერი გადადის ფართო კვეთიდან ვიწრო კვეთში (ნახ. 8.6), ე.ი. $S_1 > S_2$, ცხადია ამ დროს $V_1 < V_2$ და (8.12) განტოლებაში სიჩქარითი დაწნევათა სხვაობა მიიღება უარყოფითი და შესაბამისად ნამდვილი დეპრესიის მისაღებად გაზომილ დეპრესიას უნდა გამოაკლდეს შესწორება

$$h_{\text{ნამ}} = h_{\text{გაზ}} - \Delta h_{\text{შესწ}}. \quad (8.14)$$

იმისათვის, რომ უფრო უკეთ წარმოვადგინოთ აღნიშნული შესწორების ფიზიკური არსი, განტოლება (8.11) პირველი შემთხვევისათვის (ნახ. 8.5) გადავწყვიტოთ P_2 -ის მიმართ:

$$P_2 = P_1 - h_{\text{წინ}} + \Delta h_{\text{შესწ}}. \quad (8.15)$$

ამ განტოლებიდან ჩანს, რომ ვინაიდან მეორე კვეთში სიჩქარე შემცირდა, აბსოლუტური წნევა ამ კვეთში გაიზარდა, ე.ი. სიჩქარის ენერგია გადავიდა წნევის ენერგიაში (აქ ყოველთვის უნდა გვასხოვდეს, რომ მართალია მეორე კვეთში აბსოლუ-

ტური წნევა გაიზარდა, მაგრამ იგი არასოდეს არ გადაპ-ჭარბებს პირველ კვეთში არსებულ აბსოლუტურ წნევას).

მეორე შემთხვევაში, კვეთის შევიწროების დროს (ნახ. 8.6), პირიქით სიჩქარე გაიზარდა, რის გამოც მეორე კვეთში წნევა შემცირდა

$$P_2 = P_1 - h_{\text{f},0} - \Delta h_{\text{f},\text{b}}. \quad (8.16)$$

ე.ო. აქ წნევის ენერგია გარდაიქმნა სიჩქარის ენერგიად.

განხილული ორი შემთხვევიდან გამოგვაქვს მნიშვნელოვანი დასკვნები: პაერის მოძრაობის სიჩქარის გაზრდა იწვევს აბსოლუტური წნევის შემცირებას და, პირიქით, სიჩქარის შემცირება იწვევს წნევის გაზრდას.

8.5. პაერის ნაკადთა ტიპები. ლამინარული და ტურბულენტური მოძრაობა

პაერის ნაკადები, რომლებსაც გხვდებით სამთო საწარმოების განიავების დროს, იყოფა ორ ჯგუფად: 1. პაერის ნაკადი, რომელიც შემოსაზღვრულია მყარი კედლებით. მსგავს ნაკადებს ვხვდებით ჭაურებში, შტრეკისმაგვარ გვირაბებში, სავენტილაციო მილებში და სხვ.

2. ეგრეთ წოდებული თავისუფალი ნაკადები, რომლებიც მყარი კედლებით არ არის შემოსაზღვრული. მაგალითად, პაერის ჭავლი, მისი კამერაში შესვლის დროს ან სავენტილაციო მილიდან გამოსვლის მომენტში, ასეთ ჭავლს სრული თავისუფალი ჭავლი ეწოდება. მაშინ, როდესაც საწყისი კვეთიდან

თავისუფალი ჭავლი შემოსაზღვრულია გვირაბის პედლებით, მას არასრული თავისუფალი ჭავლი ეწოდება.

სითხისა და აირის მოძრაობისას შეინიშნება ორი სახის მოძრაობა: როდესაც სითხის ნაწილაკები პარალელურად და მშვიდად (მცირე სიჩქარით) მოძრაობენ ერთობრის მიმართ, ე.ი. ადგილი არა აქვს მოცემულ კვეთში ნაწილაკების განივ გადადგილებას. ასეთ მოძრაობას ლამინარული ანუ შრეობრივი მოძრაობა ეწოდება.

იმ შემთხვევაში, როდესაც სითხის ნაწილაკები არეულად, უწესრიგოდ მოძრაობენ, ე.ი. ადგილი აქვს ნაწილაკების განივ გადადგილებას, ასეთ მოძრაობას ტურბულენტური მოძრაობა ეწოდება.

ინგლისელმა მეცნიერმა ოსბორნ რეინოლდსმა დაადგინა, რომ ერთი სახის მოძრაობიდან მეორეზე გადასვლისას ადგილი აქვს რადაც გარკვეულ, საშუალო სიჩქარეს მოცემულ კვეთში, რომელსაც მან კრიტიკული სიჩქარე უწოდა.

შემდგომში დადგენილ იქნა:

1. როდესაც სითხის მოძრაობის სიჩქარე ნაკლებია კრიტიკულ სიჩქარეზე, წნევის კარგვა სიჩქარის პროპორციულია, ხოლო კრიტიკული სიჩქარის ზევით კი წნევის კარგვა სიჩქარის კვადრატის პროპორციულია.

2. ყოველი განსაზღვრული დიამეტრისათვის ადგილი აქვს ორ კრიტიკულ სიჩქარეს, რომელსაც რეინოლდსმა ზედა და ქვედა კრიტიკული სიჩქარეები უწოდა. ქვედა კრიტიკული სიჩქარე შეესაბამება შემთხვევას, როდესაც საშუალო სიჩქარით მოძრავი სითხის ნაწილაკები ინარჩუნებენ პარალელურ მოძ-

რაობას მაშინაც კი, როდესაც მიღს ახასიათებს დიდი სიმქისე და ნაკადის ტურბულიზაცია. ე.ი. ამ სიჩქარეზე ქვევით არა-გითარ ტურბულენტურ მოძრაობას არა აქვს ადგილი. პირიქით, როდესაც სითხის ნაწილაკების მოძრაობის საშუალო სიჩქარე აჭარბებს ზედა კრიტიკულ სიჩქარეს, შესაძლებელია მხოლოდ ტურბულენტური მოძრაობა, რაგინდ გლუვი არ უნდა იყოს მი-ლის ზედაპირი და სითხე მშვიდად შედიოდეს მიღწე.

სითხის ან აირის მოძრაობის სახის დასადგენად შემო-ლებულია რიცხვითი კრიტერიუმი – ე.წ. რეინოლდსის რიცხვი.

წრიული ფორმის პაერგამტარებისათვის რეინოლდსის რი-ცხვი იანგარიშება ფორმულით

$$Re = \frac{V \cdot d}{\nu}, \quad (8.17)$$

სადაც V არის ნაწილაკების მოძრაობის საშუალო სიჩქარე, $d/\sqrt{\mu}$; d – პაერგამტარი მილის დიამეტრი, μ ; ν – კინემატიკური სიბლანტე, $\mu^2/\sqrt{\mu}$.

არაწრიული ფორმის აირგამტარებისათვის, კერძოდ გვი-რაბებისათვის რეინოლდსის რიცხვი (Re) განისაზღვრება ფორმულით:

$$Re = \frac{4 \cdot S \cdot \nu_{\text{სას}}}{P \cdot g}, \quad (8.18)$$

სადაც S არის გვირაბის განივი კვეთი, θ^2 ; P – გვირაბის პერი-მეტრი, g .

საბლოოდ ო. რეინოლდსმა დაადგინა, რომ როდესაც $Re < 2320$ ადგილი აქვს ლამინარულ მოძრაობას, ხოლო როდე-საც $Re > 2320$ – ტურბულენტურ მოძრაობას.

უნდა აღინიშნოს, რომ მაღაროს გვირაბებში, რომლებიც ნორმალური ჭავლით ნიავდებიან, ყოველთვის ადგილი აქვს ტურბულენტურ მოძრაობას, ხოლო ლამინარულ მოძრაობას შეიძლება ადგილი ჰქონდეს მხოლოდ გამომუშავებულ სიგრცეში, ვსებაში, ტიხოებსა და ბუნკერებში ჰაერის გაპარვების დროს.

9. გვირაბების ამონდინამიკური ფინანონგები

როგორც ცნობილია გვირაბებში ჰაერის მოძრაობის დროს ადგილი აქვს ენერგიის კარგვებს. ეს ენერგია იხარჯება იმ წინადობათა გადასალახავდ, რომლებიც ჰაერს ხვდება გვირაბებში მოძრაობის დროს. ეს წინადობა შეიძლება იყოს სამი სახის: 1. ხახუნის წინადობა; 2. შუბლური წინადობა; 3. ადგილობრივი წინადობა. განვიხილოთ ეს წინადობები ცალ-ცალკე.

9.1. ხახუნის წინადობა

გვირაბებში ჰაერის მოძრაობის დროს წინადობის კანონში ვგულისხმობთ დამოკიდებულებას წნევის ვარდნას, ჰაერის მოძრაობის სიჩქარესა და გვირაბების გეომეტრიულ ზომებს შორის. ამ დამოკიდებულებას ნათლად ასახავს შემდეგი განტლება

$$h = \beta \cdot \frac{\gamma}{2g} \cdot \frac{P \cdot L}{S} \cdot v^2, \quad (9.1)$$

სადაც β არის პილტონური წინადობის კოეფიციენტი, R მეტალის ითვალისწინებს ჰაერგამტარი მიღებისა და გვირაბების კედლების სიმქისეს; P – გვირაბის პერიმეტრი, m ; L – გვირაბის სიგრძე, m ; S – გვირაბის განივი კვეთი, m^2 ; ν – ჰაერის მოძრაობის სიჩქარე, m/s ; h – წნევის კარგვა, m . წყსვ. ან δ/θ^2 .

ვინაიდან გვირაბში ჰაერის მოძრაობის დროს მისი მოცულობითი წონა უმნიშვნელოდ იცვლება β და $\gamma/2g$ კოეფიციენტები გაერიანებულია ერთ, ა კოეფიციენტად, რომელსაც აეროდინამიკური წინადობის კოეფიციენტი ეწოდება. ე.ი.

$$\alpha = \beta \cdot \frac{\gamma}{2g}, \quad (9.2)$$

გარდა ამისა ვიცით, რომ

$$\nu = Q/S \quad (9.3)$$

(9.2) და (9.3) გამოსახულებების გათვალისწინებით (9.1) განტოლება მიიღებს შემდეგ სახეს

$$h = \alpha \cdot \frac{P \cdot L}{S^3} \cdot Q^2, \quad (9.4)$$

(9.4) განტოლება წარმოადგენს მაღაროს აერომექანიკაში ძირითად განტოლებას, რომლის საშუალებითაც ხორციელდება ცალკეული გვირაბებისა და მთლიანად შახტის დეპრესიის გამოვლა.

$$\text{ამ } \text{განტოლებაში } \text{გამოსახულება } \alpha \cdot \frac{P \cdot L}{S^3} \text{ აღინიშნება}$$

რომ და მას უწოდებენ გვირაბის აეროდინამიკურ წინადობას.

ამის გათვალისწინებით (9.4) განტოლება მიიღებს შემდეგ სახეს.

$$h = R \cdot Q^2, \text{ კგ/მ}^2. \quad (9.5)$$

ვენტილაციის დაპროექტების დროს (9.4) განტოლებაში შემავალი წევრები P , L , S და Q ჩვეულებრივ წინასწარ არის ცნობილი, ამიტომ დეპრესიის სწორად გაანგარიშება დიდად არის დამოკიდებული აეროდინამიკური წინაღობის კოეფიციენტი ა-ს სწორად შერჩევაზე. ვინაიდან ოუ ა კოეფიციენტი არ იქნა სწორად შერჩეული, შეუძლებელი იქნება დეპრესიის სწორად გაანგარიშება, აქედან გამომდინარე არ იქნება სწორად შერჩეული მთავარი განიავების ვენტილატორი და შახტი ვერ მიიღებს ჰაერის საჭირო რაოდენობას, რაც ხშირად ყოფილა აფეთქებისა და ხალხის დაღუპვის მიზეზი.

აეროდინამიკური წინაღობის ა კოეფიციენტი ძირითადად დამოკიდებულია გვირაბების კედლების სიმქისეზე, მათ გეომეტრიულ ზომებსა და რეინოლდსის რიცხვზე. მაშინ, როდესაც $Re < 2320$, ა კოეფიციენტი მხოლოდ Re -ს ფუნქციაა.

როდესაც Re -ს მნიშვნელობა მატულობს, ე.ი. იზრდება ჰაერის მოძრაობის სიჩქარე, ხდება ლამინარული მოძრაობის გადასვლა ტურბულენტურში, ე.ი. დგება ე.წ. გარდამავალი პროცესი. ამ შემთხვევაში ა კოეფიციენტი არის Re -ს და კედლების სიმქისის (Δ) ფუნქცია.

დიდი სიჩქარეების დროს, როდესაც $Re > 150000 \div 200000$, მაშინ მოძრაობა ტურბულენტურია და ა კოეფიციენტი მხოლოდ გვირაბების კედლების სიმქისის ფუნქციაა.

დაპვირვებები გვიჩვენებს, რომ გრძივი კალიბრის გაზრდა გარკვეულ ზღვრამდე ($\Delta=6$) იწვევს ა კოფიციენტის გაზრდას, შემდეგ კი Δ -ს გაზრდასთან ერთად ა კოფიციენტის მნიშვნელობა მცირდება.

9.2. სხვადასხვა სახის გვირაბების აეროდინამიკური წინაღობის კოფიციენტის საანგარიშო ფორმულები

ათეული წლების განმავლობაში ლაბორატორიებსა და მაღაროებში ჩატარებული კვლევების შედეგად დადგენილ იქნა, რომ ა კოფიციენტის სიდიდე ძირთადად დამოკიდებულია სამაგრ ჩარჩოებს შორის მანძილზე და აღწევს მაქსიმალურ მნიშვნელობას, როდესაც ეს მანძილი 1,10 მ-ის ტოლია. ჯერ კიდევ 1947-1949 წლებში მოსკოვის სამთო ინსიტუტში პროფ. ვ. კაშიბაძის მიერ დადგენილ იქნა: 1. ორტექსებრი ძელებით გამაგრებული გვირაბების აეროდინამიკური წინაღობა 20-25%-ით აღემატება ხის მრგვალი ბიგებით გამაგრებული გვირაბების წინაღობას; 2. რკინა-ბეტონის მრგვალი ბიგებითა და ორტექსებრი უდლით გამაგრებული გვირაბების წინაღობა 15-20%-ით აღემატება ხის არასრული ჩარჩოთი გამაგრებული გვირაბების წინაღობას; 3. თუ ჩარჩოებს შორის სივრცეს ამოვავსებთ ან ამოვფიცრავთ, გვირაბის აეროდინამიკური წინაღობა შემცირდება 1,5-2-ჯერ; 4. ბეტონით გამაგრების შემთხვევაში გვირაბის აეროდინამიკური წინაღობა მცირდება 3,0-3,5-ჯერ.

ამ უკანასკნელი 30-35 წლის მანძილზე საქართველოს ტექნიკური უნივერსიტეტის სამთო საწარმოთა აეროლოგიისა და შრომის უსაფრთხოების კათედრაზე ჩატარებული მეცნიერებული პროცესის შედეგად პროფ. ვ. კაშიბაძის, პროფ. გ. ჩიქობავას და პროფ. თ. კუნტულიას მიერ დადგენილ იქნა სხვადასხვა სახისა და დანიშნულების გვირაბების აეროდონამიკური წინაღობის კოეფიციენტი ა-ს საანგარიშო ფორმულები:

1. უპონვეიერო შტრეკისმაგარი გვირაბები:

$$\alpha \cdot 10^4 = \frac{1}{\left(a + b \cdot \lg \frac{2S}{P_k \cdot l} \right)^2};$$

2. ლენტური კონვეიერებით აღჭურვილი გვირაბები:

$$\alpha \cdot 10^4 = \frac{U}{S - E} + a;$$

3. ინდივიდუალური სამაგრებით გამაგრებული საწმენდი სანგრევები:

$$\alpha \cdot 10^4 = 2,3 \cdot A \cdot \lg 2 \cdot B \cdot S;$$

$$\text{ან} \quad \lg(\alpha \cdot 10^4) = \lg b + n \cdot \lg m;$$

4. ОМКТ, "Мосбасс", ОКП, 2ОКП, 2ОКП 70 და მათ ბაზაზე შექმნილი კომპლექსებით აღჭურვილი საწმენდი სანგრევები:

$$\alpha \cdot 10^4 = U e^{-cm};$$

5. КД70, "Донбасс", КМ81, К1МКС და 1КМ97Д და მათ ბაზაზე შექმნილი კომპლექსებით აღჭურვილი საწმენდი სანგრევები:

$$\alpha \cdot 10^4 = e^{\frac{m}{a+bm}};$$

6. ვერტიკალური ჭაურები:

$$\alpha \cdot 10^4 = \frac{d}{a+bd};$$

ყველა აღნიშნულ ფორმულაში: S არის გვირაბის განივი კვეთი; m – ფენის სისქე; d – ჭაურის დიამეტრი; l – სამაგრ ბიგებს შორის მანძილი; P_k – გვირაბის გამაგრებული პერიმეტრი; a, b, U,E,A,B,n,Y და C – მუდმივები, რომელთა სიდიდეები მოცემულია სპეციალურ ცხრილებში.

გარდა ამისა საქართველოს ტექნიკური უნივერსიტეტის სამთო საწარმოთა აეროლოგიის კათედრაზევე პირველად საშახო აეროდინამიკაში, დადგენილ იქნა რომ KM87 და KM100 ტიპის კომპლექსებით ადჭურვილი საწმენდი სანგრევების აეროდინამიკური წინაღობის კოეფიციენტების სიდიდე არ არის დამოკიდებული ფენის სისქეზე და რიცხობრივად მუდმივი სიდიდეებია:

$$\alpha_{KM87} \cdot 10^4 = 39,0; \quad \alpha_{KM100} \cdot 10^4 = 56,0$$

9.3. შუბლური წინაღობა

აეროდინამიკური წინაღობის საერთო კოეფიციენტი შედგება ორი ნაწილისაგან

$$\alpha_{საერ} = \alpha_{ხახ} + \alpha_{გებ},$$

სადაც $\alpha_{ხახ}$ არის კოეფიციენტი, რომელიც ითვალისწინებს გვირაბის კედლებზე პაერის ხახუნით გამოწვეულ წინაღობას;

აფეთ – კოეფიციენტი, რომელიც აღრიცხავს გვირაბებში განლაგებული სხვადასხვა სახის მანქანა-მექანიზმებისა და სამაგრი ბიგების მიერ გამოწვეულ შუბლურ წინადობას.

დაკვირვებები გვიჩვენებს, რომ შუბლური წინადობის P ძალა დამოკიდებულია სხეულის ფორმაზე და იგი პირდაპირ პროპორციულია სიჩქარითი დაწნევის ($h_{b,f}$), მიღელის კვეთისა (S_m) და შუბლური წინადობის კოეფიციენტისა (C_x)

$$P = h_{b,f} \cdot C_x \cdot S_m = C_x \cdot \frac{v^2}{2g} \cdot \gamma \cdot S_m, \quad (9.6.)$$

C_x არის უგანზომილებო კოეფიციენტი და იგი განისაზღვრება მხოლოდ ექსპერიმენტალურად. როდესაც სხეული უძრავადა მოთავსებული მოძრავ ჰაერში, ან ჰაერი უძრავია და სხეული კი მოძრაობს, ამ თრივე შემთხვევაში სხეული თავის შუბლურ ნაწილზე განიცდის რაღაც P ძალის ზემოქმედებას.

შუბლური წინადობის განსაზღვრისათვის მოვიქცეთ შემდეგნაირად: (9.6) განტოლების ორივე მხარე გავყოთ გვირაბის ცოცხალ კვეთზე ($S-S_m$)-ზე (სხეულის მიღელის კვეთი წარმოადგენს ნაკადის მართობულად მოთავსებულ სხეულის კვეთაზე დიდ კვეთს), მივიღებთ:

$$\frac{P}{S - S_m} = \frac{v^2}{2g} \gamma \cdot \frac{S_m}{S - S_m} \cdot C_x, \quad (9.7)$$

$$\text{ამ } \frac{P}{S - S_m} \text{ განტოლებაში } \frac{P}{S - S_m} \text{ არის } \frac{P}{S - S_m} \text{ წნევის კარგვა გამაგ-}$$

რების ერთ ელემენტზე და ამიტომ მისი განზომილებაა $\text{კგ}/\text{მ}^2$. იგი ავტომატური $h_{b,f,\text{წნ.}}$, გარდა ამისა ცნობილია, რომ

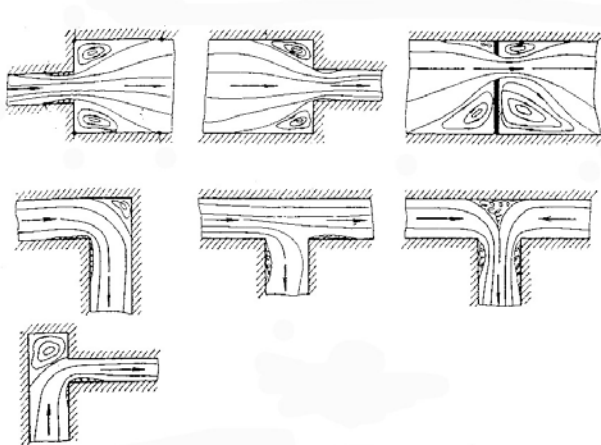
$R = \frac{h}{Q^2}$ და $Q=V(S-S_m)$ თუ ამ აღნიშვნებს, გამოსახულებებსა და γ -სა და g -ს რიცხვით მნიშვნელობებს შევიტანთ (9.7) ტოლობაში და მას გარდავქმნით, მივიღებთ შებლური წინაღობის ($R_{\text{შებ}}.$) საანგარიშო ფორმულას

$$R_{\text{Sub.win}} = \frac{0.0612 \cdot C_x \cdot S_m}{(S - S_m)}, \quad (9.8)$$

მეცნიერული კვლევებით დადგენილია: 1. სამაგრი ბიგების შებლური წინაღობის კოეფიციენტი C_x ძირითადად დამოკიდებულია ბიგის დიამეტრზე; 2. როდესაც ბიგებს შორის გრძივი მანძილი იზრდება, C_x -ის მნიშვნელობა მატულობს გარკვეულ ზღვრამდე, შემდეგ კი დებულობს იზოლირებული ბიგის C_x -ის მნიშვნელობას.

9.4. ადგილობრივი წინაღობები და მათი შემცირების საშუალებანი

ადგილობრივ წინაღობებს განაპირობებს ნაკადის სიჩქარის ცვლილება სიდიდითა და მიმართულებით, რაც იწვევს ნაკადის სტრუქტურის შეცვლას, გრიგალური მოძრაობის წარმოშობას და დამატებითი ენერგიის კარგვას. ადგილობრივ წინაღობებს წარმოადგენენ გვირაბების უეცარი გაფართოება ან შევიწროება, სავენტილაციო ფანჯრები, საჰაერო ხიდები (კროსინგები), ვენტილატორის არხი და სხვ. (ნახ. 9.1)



ნახ. 9.1.

ადგილობრივი წინაღობის მიერ გამოწვეული წნევის დანაკარგი იანგარიშება:

$$h_{a.w} = \varepsilon \cdot \frac{V^2}{2g} \gamma, \quad \text{---} \frac{\partial^2}{\partial x^2}, \quad (9.9)$$

სადაც ε არის ადგილობრივი წინაღობის კოეფიციენტი, რომელიც განისაზღვრება ექსპერიმენტალურად.

თუ მხედველობაში მივიღებთ, რომ $V=Q/S$ და $h_{a.w}=R_{a.w} \cdot Q^2$, გარდა ამისა (9.9) განტოლებაში γ -ს და g -ს რიცხვითი მნიშვნელობების ჩასმით მივიღებთ

$$R_{a.w} = \frac{h_{a.w}}{Q^2} = \frac{\varepsilon \cdot \gamma}{2g \cdot S^2} = 0,0612 \frac{\varepsilon}{S^2} \quad (9.10)$$

ამ განტოლებიდან, თუ გვსურს ადგილობრივი წინაღობის კოეფიციენტი ε -ის განსაზღვრა

$$\varepsilon = \frac{R_{\text{a.w.}} \cdot S^2}{0,0612} = 16,34 R_{\text{a.w.}} \cdot S^2. \quad (9.11)$$

ადგილობრივი წინადობის შემცირებისათვის აუცილებელია ნაწილობრივ მაინც შევამციროთ გრიგალური მოძრაობა, რაც შეგვიძლია განვახორციელოთ: გვირაბების შეერთების ადგილებში მათი თანდათანობით გაფართოებით ან შევიწროებით; გვირაბის მოხვევა უნდა ხდებოდეს არა უეცრად, არამედ თანდათანობით მიმმართველი ნიჩბების გამოყენებით. ადგილობრივი წინადობის შემცირებას აგრეთვე ხელს უწყობს გვირაბების კედლების სიმქისის შემცირება.

9.5. წინადობის ერთეულები

ჩვენთვის ცნობილია, რომ $h=R \cdot Q^2$. აქედან

$$R = \frac{h}{Q^2}$$

წინადობის განზომლება შემდეგია:

$$[R] = \left[\frac{h}{Q^2} \right] = \frac{\frac{\text{kg}}{\text{m}^2}}{\left(\frac{\text{m}^3}{\text{wm}} \right)^2} = \frac{\text{kgwm}^3}{\text{m}^8}$$

დაგუშვათ $Q=1 \text{ m}^3/\text{წ}\text{მ}$ და $h=1 \text{ jg/m}^2$, მაშინ $R=1.0. \text{ კ.ი. ერთის ტოლი წინადობა გააჩნია ისეთ გვირაბს, რომელშიც } 1 \text{ m}^3/\text{წ}\text{მ პარამეტრის გავლის დროს დეპრესია ტოლია } 1 \text{ jg/m}^2.$

ვინაიდან მაღაროს განიავების პრაქტიკაში, გვირაბების წინადობას გააჩნია მცირე სიდიდე, რომელიც გამოისახება წი-

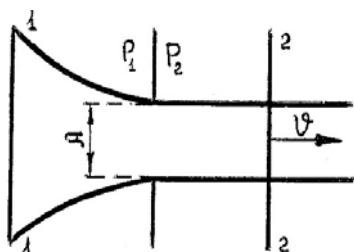
დადებით, რაც ანგარიშის დროს ქმნის უხერხელობას, ამიტომ ფრანგი ინჟინერის მიურგის მიერ რეკომენდებულია წინადობის ერთგული მიურგი, რომელიც აღინიშნება μ -თი და იგი ტოლია $\mu=1000R$. როდესაც წინადობა გამოსახულია მიურგებში, დეპუ-სიას განგარიშობთ ტოლობით

$$h = \frac{\mu \cdot Q^2}{1000}$$

9.6. ექვივალენტური ხერელი

იმისათვის, რომ დავადგინოთ თუ რამდენად ძნელი ან ადგილი გასანიავებელია ესა თუ ის მაღარო, შემოტანილია ექვივალენტური ხერელის ცნება.

მაღაროს ან შახტის ექვივალენტური ხერელი ეწოდება ისეთ წარმოსახვით მრგვალი კვეთის ხერელს თხელ კედელში, რომელშიც წნევათა სხვაობა (დეპრესია) კედლის ორივე მხარეზე ტოლია შახტის ან მაღაროს დეპრესიისა და ატარებს იმდენივე ჰაერის რაოდენობას, რამდენსაც ატარებს შახტი ან



ნახ. 9.2

მაღარო იმავე დეპრესიის ზემოქმედებით. განვსაზღვროთ ექვივალენტური ხერელის სიდიდე.

დავუშვათ რომელიმე ხერელში, რომლის ფართია $A \cdot \theta^2$, გადის Q θ^3/π ჰაერის რაოდენობა (ნახ. 9.2). კედლის მარცხენა მხარეზე წნევა

აგლინიშნოთ P_1 -ით, მარჯვენა მხარეზე ρ – P_2 -ით. $P_1 = P_2 = h$ არის მაღაროს დეპრესია. დავუშვათ 1 კვეთი იმდენად არის დაშორებული მე-2 კვეთიდან, რომ საწყისი სიჩქარე V_1 შეიძლება არ მივიღოთ მხედველობაში. დავწეროთ ბერნულის განტოლება 1-ლი და მე-2 კვეთებისათვის

$$P_1 + \frac{V_1^2}{2g} \gamma = P_2 + \frac{V_2^2}{2g} \gamma \quad (9.12)$$

ვინაიდან $V_1=0$, მივიღებთ:

$$P_1 - P_2 = h = \frac{V_2^2}{2g} \gamma$$

აქედან

$$V_2 = \sqrt{\frac{2gh}{\gamma}}, \quad \text{მ/წმ.} \quad (9.13)$$

ხერელში გამავალი ჰაერის რაოდენობა ტოლი იქნება $Q = V_2 \cdot A$, მ³/წმ. პიდრავლიკიდან ცნობილია, რომ თხელ კედელში ხერელიდან სითხის გამოდინებისას აღგილი აქვს ნაკადის შევიწროებას, ამიტომ რომ გავიგოთ სითხის ნამდვილი ხარჯი, ხერელის პეტი უნდა გავამრავლოთ შევიწროების ან ხარჯის ფ კოეფიციენტი ($\varphi=0.65$)

მაშინ: $Q = V_2 \cdot \varphi \cdot A$

$$\text{და აქედან} \quad A = \frac{Q}{V_2 \cdot \varphi} \quad (9.14)$$

შევიტანოთ (9.13) განტოლებიდან V_2 -ს მნიშვნელობა და რიცხვითი სიდიდეები (9.14) განტოლებაში, მაშინ:

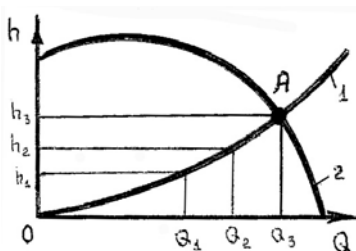
$$A = \frac{0.38 \cdot Q}{\sqrt{h}} = \frac{0.38 \cdot Q}{\sqrt{RQ^2}} = \frac{0.38}{\sqrt{R}}, \quad \beta^2.$$

აქედან $R = \frac{0.144}{A^2}$ ან $\mu = \frac{144}{A^2}$

ექვივალენტური ხვრელის სიდიდის მიხედვით შეიძლება დაგასკვნათ: 1. როდესაც $A < 1$, მაღარო მიეკუთვნება მნელად გა-სანიავებელ მაღაროთა რიცხვს; 2. როდესაც $A = 1/2$, მაღარო არის საშუალო სიძნელის გასანიავებელი; 3. როდესაც $A > 2$, მაღარო არის ადვილად გასანიავებელი.

9.7. მაღაროს ან შახტის მახასიათებელი

ისეთი მაღაროებისათვის, რომელთა წინაღობა წინასწარ არის ცნობილი, მახასიათებლის აგება წარმოებს შემდეგ-



ნახ. 9.3

ნაირად: ვიცით რა მაღაროში მისაწოდებელი პაერის რაო-დენობა $Q_{მაღ}$, მივანიჭოთ Q -ს სხვადასხვა რიცხვითი მნიშ-ვნელობა ნულიდან $Q_{მაღ}$ -მდე ($Q_1, Q_2, \dots, Q_{მაღ}$), შემდეგ ფორმულით $h=R \cdot Q^2$, ვანგარიშობთ შესაბამის დეპრესიებს ($h_1, h_2, \dots, h_{მაღ}$), მიღებული მონაცემები შეგვაქვს ცხრილში და მათი საშუალებით ვაგებთ მრუდს (ნახ. 9.3, მრუდი 1) $h=f(Q)$, რომელსაც მაღაროს მახასიათებელს უწო-დებენ. რაც მეტია მაღაროს ან შახტის წინაღობა, მით მეტია 1-ლი მრუდის დახრა. თუ იგივე ნახაზზე დავიტანთ კენტი-

მიღებული მონაცემები შეგვაქვს ცხრილში და მათი საშუალებით ვაგებთ მრუდს (ნახ. 9.3, მრუდი 2) $h=f(Q)$, რომელსაც მაღაროს მახასიათებელს უწო-დებენ. რაც მეტია მაღაროს ან შახტის წინაღობა, მით მეტია 1-ლი მრუდის დახრა. თუ იგივე ნახაზზე დავიტანთ კენტი-

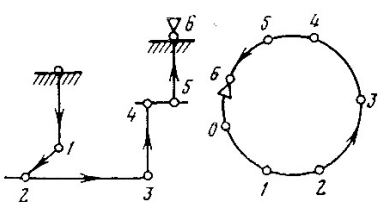
ლატორის მახასიათებელს (ნახ. 9.3, მრუდი 2), მაშინ ამ ორი მრუდის გადაკვთის A წერტილი გვიჩვენებს ვენტილატორის მუშა რეჟიმის წერტილს.

10. მაღაროს საგენტილაციო ქსელების და გვირაბების შეართების სახეობა

10.1. გვირაბების მიმდევრობითი შეერთება

გვირაბების ისეთ შეერთებას, როდესაც ერთი გვირაბი წარმოადგენს მეორის უშუალო გაგრძელებას, გვირაბების მიმდევრობითი შეერთება ეწოდება (ნახ. 10.1). როგორც ნახაზიდან ჩანს სუფთა პაური ჩადის ჭაურში (1), რის შემდეგაც მოივლის მიწისქვეშა გვირაბებს (2.3.4.5) და სავენტილაციო ჭაურის (6) საშუალებით ამოედინება მიწის ზედაპირზე.

პრაქტიკაში ასეთი შეერთება გამონაკლისია, ჩვეულებრივ



კი გვირაბების მიმდევრობითი
შეერთება მაღაროს სავენტი-
ლაციო ქსელის შემადგენელი
ნაწილია.

မိမ်ဖော်ခွဲခြင်း

ცალკეული გვირაბების წი-

$$R_{\text{საერ}} = R_1 + R_2 + R_3 + \dots + R_n \quad (10.1)$$

ვინაიდან ყველა გვირაბში გადის ერთიდაიგივე პაერის რაოდენობა Q , თუ (10.1) განტოლების ორივე მხარეს გავამრავლებთ Q^2 -ზე, მივიღებთ

$$R_{\text{საერ}} \cdot Q^2 = R_1 \cdot Q^2 + R_2 \cdot Q^2 + \dots + R_n \cdot Q^2$$

$$\text{ანუ} \quad h_{\text{საერ}} = h_1 + h_2 + \dots + h_n \quad (10.2)$$

როგორც ჩანს, მიმდევრობითი შეერთების დროს საერთო დეპრესია ტოლია ცალკეული გვირაბების დეპრესიების ჯამისა.

$$\text{გარდა } \text{ამისა, } \text{ცნობილია, } \text{რომ } R = \frac{0,144}{A^2}, \text{ თუ } \text{ამ } \text{მნიშვნელობას } \text{შევიტანო } (10.1) \text{ განტოლებაში, მივიღებთ:}$$

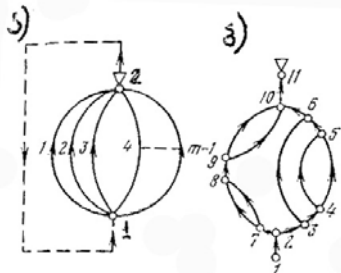
$$\frac{1}{A_{\text{საერ}}^2} = \frac{1}{A_1^2} + \frac{1}{A_2^2} + \dots + \frac{1}{A_n^2} \quad (10.3)$$

(10.3) განტოლებიდან ვასკნით: გვირაბების მიმდევრობითი შეერთების დროს საერთო ექვივალენტური ხვრელის სიდიდის შებრუნებული კვადრატი, ცალკეული გვირაბების ექვივალენტური ხვრელების შებრუნებულ სიდიდეთა კვადრატების ჯამის ტოლია.

10.2. გვირაბების პარალელური შეერთება

გვირაბების პარალელური შეერთება ეწოდება ისეთ შეერთებას, როდესაც ორი ან რამდენიმე გვირაბი ერთ წერტილში განშტოვდება და მეორე წერტილში ერთდება. გვირაბების პარალელური შეერთება (განშტოება) შეიძლება იყოს მარტივი (ნახ. 10.2 ა) და რთული (ნახ. 10.2 ბ). როგორც ნახ. 10.2 ა)-დან

ჩანს პაერი 1 წერტილში განშტოვდება და მე-2 წერტილში ერთდება. ამიტომ ამ ნახაზზე პარალელურ ფრთებს წარმოადგენენ 1, 2, 3, 4 და $m-1$ გვირაბები.



ნახ. 10.2

ნახ. 10.2-ზე მოცემული შემთხვევები, ხოლო დია სისტემებს ეკუთვნის შემთხვევა, როდესაც პაერი განშტოვდება გვირაბში და ერთდება არა მიწისქვეშა ერთ რომელიმე წერტილში, არამედ ატმოსფეროში.

გვირაბების პარალელური განშტოების ძირითადი კანონი მდგომარეობს მასში, რომ პარალელური განშტოების დროს დეპრესიები პარალელურ ფრთებზე მუდამ ერთმანეთის ტოლია, მიუხედავად პარალელური ფრთების გეომეტრიული ზომებისა და მათში გამავალი პაერის რაოდენობისა.

10.3. პარალელური განშტოების საერთო წინაღობის საანგარიშო ფორმულა

დაგუშვათ მოცემული გვაქვს მარტივი პარალელური განშტოება (ნახ. 10.3). ABC ფრთის წინაღობა და მასში გამავალი პაერის რაოდენობა ავდნიშნოთ R_1 და Q_1 , ხოლო ADC ფრთაზე შესაბამისად – R_2 და Q_2 , საერთო პაერის

რაოდენობა სისტემაში ავლნიშნოთ Q -თი. ვიანგარიშოთ ამ

განშტოების საერთო წინაღობა. ასეთი

წინაღობა ექნება ალბათ გვირაბს, რომელ-

შიც დეპრესია Q პაერის რაოდენობის

გავლის დროს ტოლი იქნება პარალელური

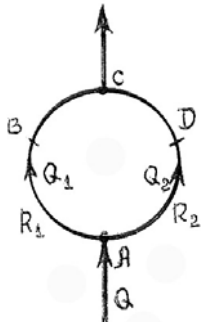
განშტოების ერთ-ერთი ფრთის დეპრესიისა

მასში Q_1 ან Q_2 პაერის რაოდენობის

გავლის დროს. პარალელური

განშტოების ძირითადი კანონის თანახმად

გავლის დროს.



ნახ.10.3 განვითარეთ

$$R_1 Q_1^2 = R_2 Q_2^2 = R_{\text{saer}} \cdot Q^2$$

$$\text{აქედან} \quad \frac{Q_1}{Q} = \sqrt{\frac{R_{\text{saer}}}{R_1}}, \quad \frac{Q_2}{Q} = \sqrt{\frac{R_{\text{saer}}}{R_2}}$$

თუ ამ ორ ტოლობას შევკრიბავთ და გავამარტივებთ, მივიღებთ:

$$\frac{1}{\sqrt{R_{\text{saer}}}} = \frac{1}{\sqrt{R_1}} + \frac{1}{\sqrt{R_2}} \quad (10.4)$$

ან თუ წინაღობები გამოსახულია ექვივალენტურ ხერგ-ლებში, შეგვიძლია დავწეროთ:

$$A_{\text{საერ}} = A_1 + A_2 \quad (10.5)$$

როგორც ვხედავთ პარალელური განშტოების შემთხვევაში საერთო ექვივალენტური ხერელის სიღიღე ტოლია ცალკეული ფრთების ექვივალენტური ხერელების სიღიღეების ჯამისა.

ორფურთიანი პარალელური განშტოების დროს საერთო წინაღობა გარდა (10.4) განტოლებისა იანგარიშება ფორმულით:

$$R_{\text{saerTo}} = \frac{R_1}{\left(1 + \sqrt{\frac{R_1}{R_2}}\right)^2} \quad (10.6)$$

10.4. პარალელურ ფრთებზე გამავალი ჰაერის რაოდენობის საანგარიშო ფორმულები

ვთქვათ მოცემული გვაქვს მარტივი პარალელური განშტოება (ნახ. 10.3). პარალელური განშტოების ძირითადი კანონის თანახმად

$$R_1 Q_1^2 = R_2 Q_2^2$$

აქედან

$$\frac{Q_1}{Q_2} = \sqrt{\frac{R_2}{R_1}} \quad (10.7)$$

(10.7) განტოლების ორივე მხარეს მივუმატოთ 1 და გადავწყვიტოთ Q_2 -ის მიმართ

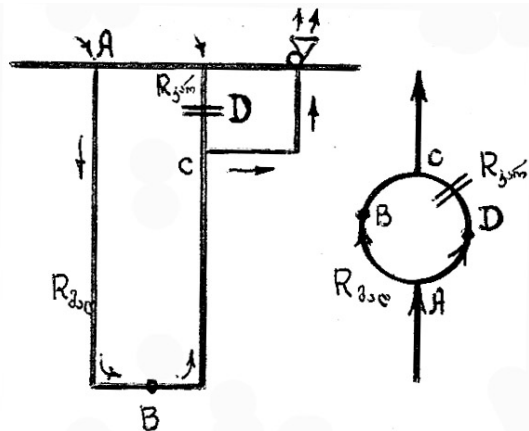
$$Q_2 = \frac{Q}{1 + \sqrt{\frac{R_2}{R_1}}} \quad (10.8)$$

ანალოგიურად მიიღება პირველი ფრთაზე გამავალი ჰაერის რაოდენობა Q_1

$$Q_1 = \frac{Q}{1 + \sqrt{\frac{R_1}{R_2}}} \quad (10.9)$$

10.5. მოკლე შერთვა

დაგუშვათ მაღაროში ჩადის $Q_{მაღ}$ პაერის რაოდენობა და გარდა ამისა მიწის ზედაპირიდან სავენტილაციო ჭაურში ადგილი აქვს $P\%$ პაერის შემოწვევას (ნახ. 10.4). მაღაროს



ნახ. 10.4

წინადობა ავდნიშნოთ $R_{მაღ}$ და მოკლებნოთ მაღაროს საერთო წინადობა $R_{ხაერ}$ მაღაროში მოკლე გზით შემოწვილი პაერის გათვალისწინებით. მოკლე გზით შემოწვილი პაერის რაოდენობა ტოლი იქნება $\left(\frac{P}{100} \cdot Q_{მარ}\right)$. როგორც ნახ. 10.4-დან ჩანს პაერი A წერტილში განშტოვდება და C წერტილში ერთდება ე.ი. საქმე გვაქვს პარალელურ განშტოებასთან, ამიტომ შეგვიძლია დაგწეროთ

$$R_{მარ} \cdot Q_{მარ}^2 = R_{კარ} \left(\frac{P}{100} \cdot Q_{მარ} \right)^2 \quad (10.10)$$

აქედან განვსაზღვროთ $R_{კარ}$

$$R_{\text{kar}} = \frac{R_{\text{maR}} \cdot Q_{\text{maR}}^2}{\left(\frac{P}{100} \cdot Q_{\text{maR}} \right)^2} = \left(\frac{100}{P} \right)^2 \cdot R_{\text{maR}} \quad (10.11)$$

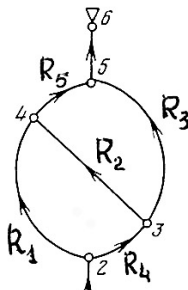
როგორც ზემოთ აღნიშნეთ, ორფრთიანი პარალელური განშტოების საერთო წინადობა იანგარიშება (10.6) ტოლობით. ამ ტოლობაში $R_1=R_{\text{გალ}}$, ხოლო $R_2=R_{\text{კარ}}$, მაშინ (10.6) ტოლობა მიიღებს შემდეგ სახეს:

$$R_{\text{saer}} = \frac{R_{\text{maR}}}{\left(\frac{P}{100} + 1 \right)^2} = K \cdot R_{\text{maR}} \quad (10.12)$$

სადაც K არის ე.წ. შეწყვის კოეფიციენტი.

10.6. გვირაბების დიაგონალური შეერთება

გვირაბების ისეთ შეერთებას (განშტოებას), როდესაც პარალელური განშტოება, გარდა საწყისი და ბოლო პუნქტებისა, შეერთებულია ერთი ან რამდენიმე გვერდითი გვირაბით, დიაგონალური შეერთება ეწოდება (ნახ. 10.5)



ნახ.10.5

დიაგონალური შეერთების განსაკუთრებული თვისება ის არის, რომ 2-4, 4-5, 2-3 და 3-5 უბნების წინადობების მიხედვით 3-4 დიაგონალურ გვირაბში პაერის მოძრაობის მიმართულება შეიძლება იყოს: 1. მე-3 წერტილიდან მე-4 წერტილისაკენ, 2. მე-4 წერტილიდან მე-3 წერტილისაკენ,

ტილიდან მე-3 წერტილისაკენ; 3. 3-4 დიაგონალში ჰაერის მოძრაობას საერთოდ არ ჰქონდეს ადგილი. განვიხილოთ ცალკეული უბნების როგორი წინაღობის დროს ექნება ადგილი ამ სამ შემთხვევას.

1. 3-4 დიაგონალში ჰაერი არ მოძრაობს. ასეთ შემთხვევას ადგილი ექნება მაშინ, როდესაც მე-3 და მე-4 წერტილებში წნევა იქნება ერთი და იგივე. ამ შემთხვევაში

$$\frac{R_1}{R_5} = \frac{R_4}{R_3} \quad (10.13)$$

2. დავუშვათ დიაგონალში ჰაერი მოძრაობს $4 \rightarrow 3$, ამ შემთხვევაში საქმარისია გავზარდოთ 4-5 ან 2-3 უბნის წინაღობა. მაშინ (10.13) ტოლობიდან მივიღებთ

$$\frac{R_1}{R_5} < \frac{R_4}{R_3} \quad (10.14)$$

3. დიაგონალში ჰაერი მოძრაობს $3 \rightarrow 4$. ამ დროს უნდა გავზარდოთ 2-4 ან 3-5 უბნის წინაღობა, მაშინ მივიღებთ

$$\frac{R_1}{R_5} > \frac{R_4}{R_3} \quad (10.15)$$

11. სამთო საჭარმოების ბუნებრივი განიავება

11.1. მაღაროების ბუნებრივი განიავება

ჰაერის მოძრაობას, რომელიც განპირობებულია არამექანიკური მოწყობილობებით ეწოდება ბუნებრივი მოძრაობა ანუ ბუნებრივი წევა. საერთოდ ცნობილია, რომ ჰაერის მოძრაობას

მაშინ აქვს ადგილი, როდესაც გვაქვს წნევათა სხვაობა, ამი-

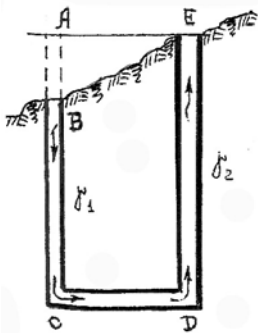
ტომ პაერის ბუნებრივი მოძრაობა წარმოიქმნება მხოლოდ ბუნებრივი დეპრესიის შედეგად.

იმისათვის, რომ პაერის ბუნებრივ მოძრაობას მაღაროს პირობებში პქონდეს ადგილი, საჭიროა იყოს ორი ვერტიკალური ან დახრილი გვირაბი და პაერი სხვადასხვა მოცულობითი წონით

ნახ. 11.1 (ნახ. 11.1). ამ ნახაზზე, დავუშვათ $\gamma_1 > \gamma_2$,

მაშინ AB პაერის სვეტი BC სვეტთან ერთად შახტიდან გამოაძევებს შედარებით თბილ DE პაერის სვეტს.

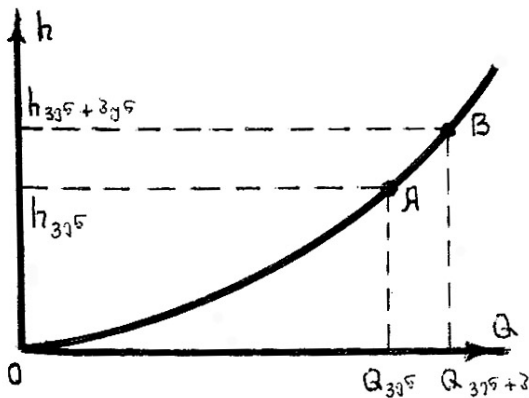
ბუნებრივი დეპრესია წარმოიქმნება შემდეგნაირად: 1. ჭაურების პირი განლაგებულია ერთ სიმაღლეზე. ამ დროს თითქოს არ უნდა პქონდეს ადგილი ბუნებრივ წევას, მაგრამ თუ ჭაური სველია, შეიძლება ადგილი პქონდეს პაერის მოძრაობას; 2. ვენტილატორი თავისი მუშაობის პროცესში ზამთრობით იწოვს ცივ პაერს, რაც თანხვედრილია ვენტილატორის მუშაობასთან, ე.ი. ზამთრობით ბუნებრივი წევა ეხმარება ვენტილატორს, ხოლო ზაფხულობით, როდესაც პაერი თბილია, პირიქით ხელს უშლის ვენტილატორის მუშაობას; 3. როდესაც მაღარო განლაგებულია ფერდობზე და მუშავდება შტოლნების საშუალებით, ამ დროს პაერის მოძრაობა დამოკიდებულია ტემპერატურათა სხვაობაზე მაღაროში და მის გარეთ.



11.2. ბუნებრივი დეპრესიის გაზომვა და ანგარიში

ბუნებრივი დერესიის გასაზომად ვიქცევით შემდგენაირად:

1. ვენტილაციონის არხში ჩამოუშვებენ შიბერს ან ტიხორის საშუალებით გადაკეტავენ მთელი შახტის ჰაერს და თუ გაგზომავთ წნევათა სხვაობას შიბერის ან ტიხორის ორივე მხარეს, იგი იქნება ბუნებრივი დეპრესია.
2. გაზაფხულზე ან შემოდგომაზე, როდესაც ჰაერის ტემპერატურა ზედაპირზე და გვირაბებში დაახლოებით ერთნაირია, ბუნებრივ წევას ადგილი არა აქვს. ამ პერიოდში გაზომავენ შახტის მთლიან ჰაერის რაოდენობას და იანგარიშებენ მაღაროს საერთო წინაღობას $R = \frac{h}{Q^2}$. ცნობილი მონაცემებით



ნახ. 11.2

გაგებთ შახტის გარე ქსელის მახასიათებელს (ნახ. 11.2), სადაც A წერტილი წარმოადგენს რეჟიმის წერტილს ბუნებრივი წე-

ვის გარეშე. შემდგომში, როდესაც ბუნებრივი წევა დაიწყებს მოქმედებას, კვლავ განსაზღვრავენ პაერის რაოდენობას $Q_{\text{გენ+ბუნ}}$ და გააგრძელებენ მრუდს. მივიღებთ B წერტილს, რომელიც ბუნებრივ წევასაც აღრიცხავს. ამ მეთოდის ნაკლიას, რომ გაზომვებს შორის პერიოდში შეიძლება შეიცვალოს მაღაროს მთლიანი წინაღობა $R_{\text{გაღ}}.$ რაც გამოიწვევს გარკვეულ ცდომილებას.

3. ვენტილატორის მუშაობის პროცესში განსაზღვრავენ $R_{\text{ჰაებ}}.$ ამის შემდეგ გააჩერებენ ვენტილატორს და მის არხში ჩამოუშვებენ შიბერს. გახსნიან შახტის ზედა შენობის კარს და დაიცდიან ცოტა ხანს, რომ დამყარდეს პაერის მოძრაობა. ამის შემდეგ გაზომვენ პაერის რაოდენობას $Q_{\text{ბუნ}}$ და იანგარიშებენ ბუნებრივ დეპრესიას ფორმულით

$$h_{\text{bun}} = R_{\text{Saxt}} \cdot Q_{\text{bun}}^2$$

ბუნებრივი დეპრესიის ანგარიში წარმოებს შემდეგი ფორმულებით:

$$1. \quad h_{\text{bun}} = a \cdot H / 100 \left(t_{\text{saS}}^{\prime} - t_{\text{saS}}^{\prime \prime} \right), \quad \text{მმ.წყ.სვ},$$

სადაც H არის ჭაურის სიღრმე; t_{saS}^{\prime} და $t_{\text{saS}}^{\prime \prime}$ – მაღაროში ჩამავალი და ამომავალი ჭაურის საშუალო ტემპერატურა; a – კოფიციენტი, რომელიც აიღება სპეციალური ცხრილიდან ჭაურის სიღრმისა და საშუალო ტემპერატურების მიხედვით

$$2. \quad h_{\text{bun}} = P_0 \cdot H / 100 \left(a_1 - a_2 \right), \quad \text{მმ.წყ.სვ},$$

სადაც P_0 არის ბარომეტრული წნევა; H – ჭაურის სიღრმე; a_1 და a_2 – კოფიციენტები, რომლებიც აიღება ცხრილებიდან

მაღაროში ჩამავალი და ამომავალი პაერის ტემპერატურების
მიხედვით.

$$3. \quad h_{\text{bun}} = 0,0047H \left(t_{\text{sas}}^{\prime \prime} - t_{\text{sas}}^{\prime} \right), \quad \text{მმ.}^{\circ}\text{კ.სვ},$$

11.3. ფაქტორები, რომლებზედაც დამოკიდებულია ბუნებრივი წევის სიდიდე

1. პაერის ტენიანობა და მისი ქიმიური შემადგენლობა მე-
ტად უმნიშვნელოა და მცირედ მოქმედებს ბუნებრივი წევის
სიდიდეზე.

2. ბარომეტრული წნევა. დაკვირვებები გვიჩვენებს, რომ ბა-
რომეტრული წნევის ცვლილება წლის განმავლობაში არ
აღემატება 35 მმ ვერცხ.წყ.სვ. რაც შეადგენს ნორმალური
ატმოსფერული წნევის 3%-ს, ამიტომ მისი გავლენა ბუნებრივი
წევის სიდიდეზე უმნიშვნელოა.

3. ჭაურის სიღრმე. ბუნებრივი წევის საანგარიშო ფორმუ-
ლებიდან ჩანს, რომ ბუნებრივი დეპრესია ჭაურის სიღრმის პირ-
დაპირპორპორციულია.

4. ვენტილაცირის მუშაობა. ეს ფაქტორიც უმნიშვნელოდ
მოქმედებს ბუნებრივი დეპრესიის სიდიდეზე.

5. პაერის ტემპერატურა. ეს არის ძირითადი ფაქტორი, რო-
მელიც მოქმედებს ბუნებრივი დეპრესიის სიდიდეზე. დაკვირ-
ვებები გვიჩვენებს, რომ შახტიდან ამომავალი პაერის ტემ-
პერატურა წლის განმავლობაში იცვლება მცირე ფარგლებში,

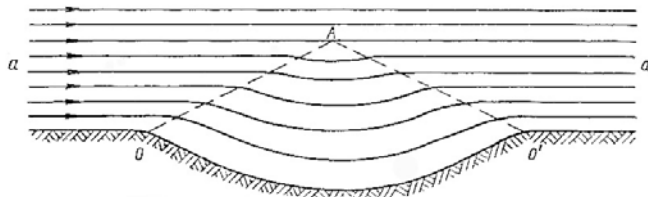
ე.ი. ძირითადს წარმოადგენს შახტური ჩამავალი პაერის ტემპერატურა და მისი ზემოქმედება იმდენად დიდია, რომ შეიძლება გამოიწვიოს პაერის ჭავლის გადაყირავება ანუ პაერის მოძრაობის მიმართულების შეცვლა. ასეთ შემთხვევას ადგილი ჰქონდა მაგალითად ტყვარჩელის №5 შახტზე.

11.4 კარიერების განიავება ქარის ენერგიით

დადგენილია, რომ ქარის ენერგიით კარიერის განიავების შემთხვევაში წარმოიქმნება განიავების პირდაპირი დინებითი და რეცირკულაციური სქემები. განიავების ეს სქემები წარმოიქმნება მიწის ზედაპირზე გაბატონებული ქარების საკმაოდ დიდი ენერგიით. ქარის დიდი ენერგიის (სიჩქარის) დროს განიავების პირდაპირი დინებითი ან რეცირკულაციური სქემის წარმოქმნა ძირითადად დამოკიდებულია კარიერის გეომეტრიაზე (ფერდების დაქანების კუთხეზე). ამ ენერგიის შემცირება იწვევს ე.წ. განიავების „თერმული“ სქემების წარმოქმნას.

განიავების პირდაპირი დინებითი სქემა წარმოიქმნება მიწის ზედაპირზე 0,8-1,0 მ/წმ-ზე მეტი ქარის სიჩქარისა და კარიერის ქარზურგა ფერდის 15° -ზე ნაკლები დახრილობის დროს. განიავების ამ სქემის მოქმედებისას (ნახ. 11.3), პაერის ნაკადი, რომელიც მოძრაობს რომელიდაც a-a სიბრტყესა და მიწის ზედაპირს შორის, მიაღწევს რა კარიერს 0 წერტილში, იწყებს გაფართოებას კარიერის სიღრმეში, რის გამოც ხდება ნაკადის დამუხრუჭება და კარიერის სივრცეში პაერის მოძრაობის სიჩ-

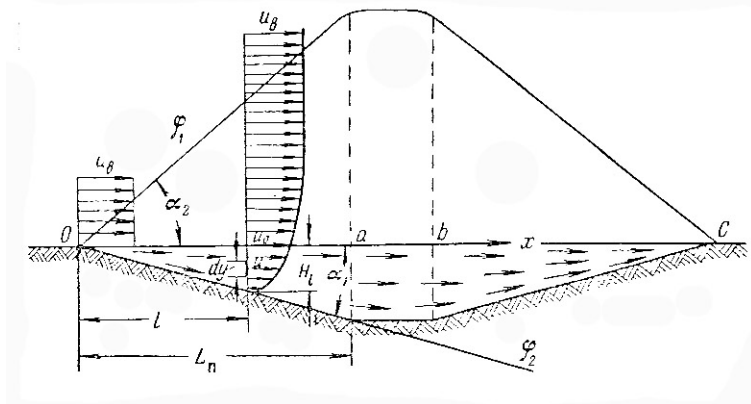
ქარის შემცირება. ყოველივე ამის გამო კარიერების ზევით წარმოქმნება ე.წ. „ქუდი“ OAO¹.



ნახ. 11.3

ა-ა სიბრტყე განაცალკავებს პაერის ნაკადის ნაწილს, რომელიც ფართოვდება ქვევით კარიერის სივრცეში, და პაერის ნაკადის ნაწილს, რომელიც არ განიცდის დეფორმაციას მიწის ზედაპირზე არსებული ჩაღრმავების გამო.

აღნიშნული თავისებურების გათვალისწინებით კარიერში პაერის მოძრაობა შესაძლებელია გამოგსახოთ ნახ. 11.4-ზე ნაჩვენები სქემის მიხედვით.



ნახ. 11.4

ამ ნახაზიდან ჩანს, რომ განიავების პირდაპირი დინების სქემის დროს ქარის ნაკადი მიწის ზედაპირზე 0 წერტილში, კარიერის ქარზურგა ფერდის ზედა კიდესთან იცვლის თავის მოძრაობის მიმართულებას, ფართოვდება კარიერის სიღრმის მიმართულებით და შემორეცხავს კარიერის ქარზურგა ფერდს. ჰაერის ნაკადი მიაღწევს რა ქარპირა ფერდს, უხვევს ზევით, მიუმართება ქარპირა ფერდის გასწვრივ და იკუმშება. ქარზურგა ფერდის დაქანების მცირე კუთხის გამო O წერტილში მყარი ზედაპირიდან ჰაერის ნაკადის მოწყვეტას ადგილი არა აქვს და კარიერში ვრცელდება შეზღუდული ჰაერის ნაკადი, შემოსაზღვრული კარიერის ფსკერითა და ფერდებით.

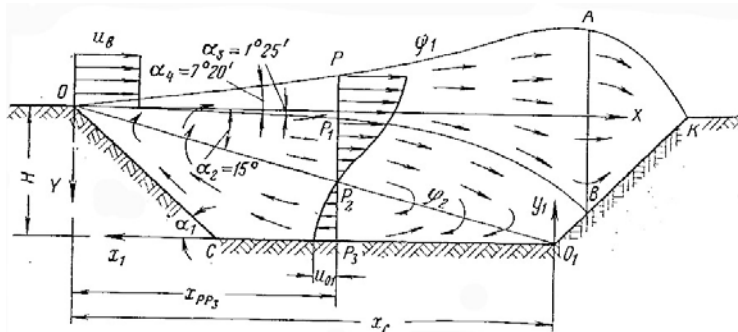
კარიერის ზევით მუდმივი სიჩქარეების ზონის საზღვარი ფ1 (ნახ.11.4), რომლის ზევითაც ჰაერის სიჩქარე ტოლია ზედაპირზე არსებული ჰაერის სიჩქარისა, ზედაპირის სიბრტყესთან ქმნის $\alpha_2=40^0$ კუთხეს. ამგვარად, კარიერის ზედაპირებსა (ფერდები, ფსკერი) და მუდმივი სიჩქარეების ზონის საზღვარს ფ1-ს შორის ხდება ჰაერის მოძრაობის სიჩქარის ცვლილება ნულიდან (მყარ ზედაპირზე) ქარის სიჩქარემდე (ფ1 საზღვარზე).

პირდაპირი დინებით განიავების დროს კარიერში არ წარმოიქმნება მეტ-ნაკლებად მნიშვნელოვანი სიდიდის დამდგარი („მკვდარი“) ზონები, სადაც შესაძლებელია მავნეობების დაგროვება. მავნეობების კარიერის ფარგლებს გარეთ გამოტანის თვალსაზრისით პირდაპირი დინებით განიავების სქემა ყველაზე მეტად ეფექტურია. ამ სქემის გამოყენების დროს, ჩვეულებრივ შეინიშნება მავნეობების გამოყოფის ადგილებში ატმოსფეროს მხოლოდ ადგილობრივი გაჭუჭყანება. წვეუ-

ლებრივ ამ დროს არ ხდება ატმოსფეროს მთლიანად გაჭუჭტყიანება. გამოყოფილი მავნეობების კარიერს გარეთ გამოტანა მით უფრო კარგად წარმოებს, რაც ნაკლებია კარიერის ფერდების დაქანების პუთხე, ვინაიდან დაქანების პუთხის მომატება იწვევს ჰაერის ნაკადის გაფართოების ხარისხის მომატებას და, შესაბამისად ჰაერის სიჩქარის შემცირებას.

კარიერის განიავების რეცირკულაციური სქემა წარმოიქმნება მიწის ზედაპირზე 0,8-1,0 მ/წმ-ზე მეტი ქარის სიჩქარისა და კარიერის ქარზურგა ფერდის 15⁰-ზე მეტი დახრის პუთხის დროს. განიავების ამ სქემის მოქმედებისას (ნახ. 11.5) 0 წერტილში ქარის ნაკადის მყარი საზღვრის მიმართულების მკვეთრი ცვლილების გამო და ქარის ნაკადის მნიშვნელოვანი ინერციის ძალების გამო, იმავე წერტილში (0 წერტილში) ხდება მყარი ზაღაპირიდან ჰაერის ნაკადის მოწყვეტა. ამის შედეგად კარიერის სივრცეში ჰაერი მოძრაობს თავისუფალი ჭავლის სახით ფ₁ და ფ₂ საზღვრებს შორის. ფ₁ საზღვრის ზევით ჰაერის სიჩქარე ზედაპირზე ქარის U_B სიჩქარის ტოლია. თავისუფალი ჭავლი, მიაღწევს რა ქარპირა ფერდს, იყოფა ორ ნაწილად. პირველი ნაწილი, მიემართება საფეხურების გასწვრივ ზევით და ამოდის მიწის ზედაპირზე. მეორე ნაწილი – ბრუნდება ქმედით და, მოძრაობს რა თავდაპირველი მიმართულების საწინააღმდეგო მიმართულებით, წარმოქმნის აგრეთვე თავისუფალ ჭავლს, რომელსაც უწოდებენ II სახის ჭავლს.

შესაბამისად, განიავების რეცირკულაციური სქემის დროს, კარიერში გვაქვს განსხვავებული მოძრაობის ხასიათის მქონე



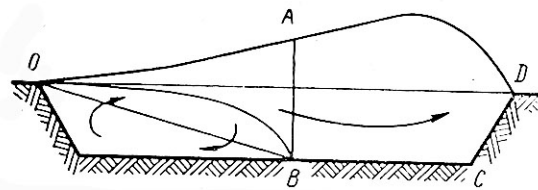
65b. 11.5

ორი ზონა: 1. აქტიური ზონა, რომელშიც ნაკადის მოძრაობის მიმართულება ქარის მიმართულების თანხვედრილია. მისი საზღვარი გადის $\alpha \approx 15^{\circ}$ (OO_1 საზი) კუთხეზე; 2. გრიგალური ზონა, პაერის მოპირდაპირე მიმართულებით მოძრაობით (ქარზურგა ფერდსა და OO_1 საზს შორის).

ამ ორ ზონას შორის მოთავსებულია სხვადასხვა მიმართულებით მოძრავი პაერის ნაკადების მქონე უბნები.

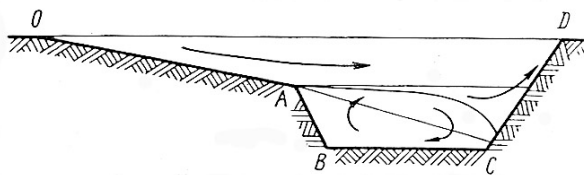
კარიერების განივების კომპინირებული სქემები. კარიერების რეალური გეომეტრიისაგან დამოკიდებულებით შესაძლებელია, რომ კარიერის ერთი ნაწილი ნიაგდებოდეს პირდაპირი დინების სქემით, ხოლო მეორე ნაწილი – რეცირკულაციური სქემით. ასე მაგალითად, დიდი ზომის კარიერებში შესაძლებელია განივების რეცირკულაციურ-პირდაპირი დინებით განიავების სქემების კომბინაცია (ნახ. 11.6). ამ სქემის დროს I სახის ჭავლის ქვედა საზღვარი კვეთს კარიერის ფსკერს რომელიდაც B წერტილში, რომლის მარჯვენა მხარეზეც (უბანი BCD): კარიერი ნიაგდება შემოსაზღვრული ჰაერის ნაკადით

(პირდაპირი დინებით განიავების სქემა). В წერტილის მარცხნივ მდებარე უბანი ნიავდება რეცირკულაციური სქემით.



ნახ. 11.6

კარიერის ქარზურგა ფერდის დაქანების კუთხის ცვალებადობის დროს შესაძლებელია განიავების პირდაპირი დინებით – რეცირკულაციური სქემის გამოყენება (ნახ. 11.7)



ნახ. 11.7

განიავების ამ სქემის დროს, კარიერის ნაწილი, რომელიც უშუალოდ ეავრის ქარზურგა ფერდის ზედა, დამრეც ნაწილს (AO უბანი) ნიავდება პირდაპირი დინებითი სქემით, ხოლო კარიერის დანარჩენი ნაწილი (ABCD უბანი) – რეცირკულაციური სქემით.

11.5. კარიერების განიავება თერმული ძალების ენერგიით

კარიერების განიავების კონვექციული სქემა. კარიერების განიავების პროცესზე თერმული ძალების გავლენა მნიშვნელოვანია ზედაპირზე 2 მ/წ-მდე სიჩქარის ქარების შემთხვევაში. უფრო დაბალი სიჩქარის ქარების დროს, მათი ზეგავლენა ხდება უფრო მოჭარბებული და ტეპერატურული გრადიენტის მნიშვნელობისაგან დამოკიდებით წარმოებს პაკრის კონვექციური ან ინვერსიული მოძრაობა ანუ შესაბამისად კონვექციური ან ინვერსიული განიავების სქემა.

განიავების კონვექციური სქემა წარმოიქმნება კარიერის ფერდოვების გათბობისა და მიწის ზედაპირზე არსებული ქარის ნაკადის მცირე ენერგიების დროს.

კარიერის გამობარი ფერდოები, ათბობენ მათ ზევით მყოფ ჰაერს, რომელიც გადაადგილებას იწყებს ზევით. მის ადგილს იყავებს ზედა ფენებიდან დაბლა ჩამონაცვლებული პაკრის ციფი მასები. ასეთი გადაადგილების მიზეზი მდგომარეობს ერთ პორიზონტალურ სიბრტყეში განლაგებული ცალკეული პაკერის მოცულობების სხვადასხვა ხარისხის გათბობაში.

გარდა საერთო-საკარიერო კონვექციური მოძრაობისა სშირად შეინიშნება ლოკალური კონვექციური ნაკადები. მათი წარმოქმნა განპირობებულია: სხვადასხვა ხარისხის განათების გამო კარიერის ზედაპირის სხვადასხვა ხარისხის გათბობით; კარიერში განლაგებული ქანების სხვადასხვა ფერით ან მათი ფიზიკური თვისებებით გამოწვეული სხვადასხვა ხარისხის შთანთქმის უნარით; სიღრმული სითბოთი სხვადასხვა ხა-

რისხის გათბობით; ზედაპირზე მიმდინარე ჟანგვითი პროცეს-სების ინტენსივობით.

კარიერში ჰაერის მოძრაობის სქემა, მისი კონვექციური განიავებისას მოცემულია ნახ. 11.8-ზე. ამ ნახაზიდან ჩანს, რომ თბილი ჰაერის მასები გადაადგილდებიან ზევით არა ვერ-ტიკალურად, არამედ მოძრაობები საფეხურების გასწვრივ,



ნახ. 11.8

ვინაიდან მოქმედებს შედარებით ციფი ჰაერის მასების ქვევით დაშვებისას წარმოქმნილი წებოვანი ეფექტი. ამავე დროს კარიერიდან ამომავალი ჰაერის მოცულობა იზრდება სიმაღლის ზრდასთან ერთად. ყველაზე მძლავრი კონვექციური ნაკადები შეინიშნება კარიერის ზედა საფეხურებთან.

მზის რადიაციით გამოწვეული განიავების კონვექციური სქემა უფრო ინტენსიურად მოქმედებს დღის საათებში. როდესაც სითბოს გამომყოფ წყაროებს წარმოადგენ მაღაროს სანძრები, კარიერის ფერდოების ეგზოგენური გათბობა და სხვ. ამ შემთხვევებში ჰაერის კონვექციური მოძრაობა წარმოებს დღგ-დამის განმავლობაში.

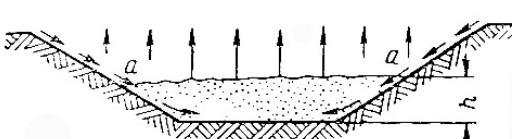
კარიერის ატმოსფეროს გაჭუჭყიანება ძირითადად ხდება მავნეობების გამომყოფი შინაგანი წყაროების გამო: ბურღვითი სამუშაოები, ექსპავატორების მუშაობა, ავტოტრანსპორტის მუშაობა და ა.შ. ამ წყაროების სიახლოვეს, განსაკუთრებით

ქარზურგა მხრიდან და პაერის მოძრაობის მცირე სიჩქარეების დროს, პაერის გაჭუჭყიანების ხარისხი შეიძლება იყოს ძალიან მაღალი. კარიერის ატმოსფეროს გაჭუჭყიანებებზე გარეგანი წყაროების ზემოქმედება მნიშვნელოვნად მცირეა, რადგან მათ მიერ გამოყოფილი მავნეობები კარიერის ატმოსფეროში ხვდებიან მხოლოდ შედარებით ცივი პაერის საშუალებით.

კარიერებში პაერის მოძრაობის ინგერსიული სქემა წარმოიქმნება კარიერის ფერდოვების გაცივებისა და მიწის ზედაპირზე ქარის ნაკადის მცირე ენერგიის დროს. იგი განპირობებულია ნაკლებად ადიაბატური ტემპერატურული გრადიენტის წარმოქმნით.

პაერის ინგერსიული სქემის წარმოქმნისათვის აუცილებელია რათა მიწის ზედაპირზე ქარის სიჩქარე არ აღემატებოდეს $0,7\text{--}0,8 \text{ m}/\text{წ}$.

კარიერებში პაერის ინგერსიული მოძრაობა შეიძლება



წარმოქმნას არა მარტო კარიერის ფერდოვებით პაერის

ნახ.11.9

გაცივების

შედეგად,

არამედ კარიერის თავზე ცივი ატმოსფერული პაერის გავლისას. ამ დროს პაერის ცივი ნაკადები ხვდებიან კარიერის სივრცეში პირდაპირ ზედაპირიდან.

კარიერში პაერის ინგერსიული მოძრაობის სქემა მოცემულია ნახ. 11.9-ზე. ამ ნახაზიდან ჩანს, რომ ფერდოთან ახლოს მყოფი პაერის შრე ცივდება და როგორც უფრო მძიმე, ჩამოედინება ქვევით, კარიერის ფსკერზე, რითაც ხდება ფსკერზე

არსებული უფრო თბილი პაერის მასების იძულებითი წესით გადაადგილება ზევით. ინვერსიის განვითარებასთან ერთად კარიერის ფსკერზე ცივი პაერის შრის სიმაღლე იზრდება. ლრმა ინვერსიების დროს მთელი კარიერის სივრცე შეიძლება შევსებული იყოს ცივი პაერის მასებით.

ინვერსიის დროს, კარიერის შემაგსებელ ცივი პაერის შრეს ეწოდება ინვერსიის შრე (ნახ. 11.9-ზე h), ხოლო მის ზედა საზღვარს – ინვერსიის დონე (a-a). ის თითქმის თანხვედრილია იმ დონესთან, რომლის ქვევითაც წარმოიქმნება ტემპერატურის ინვერსია, ანუ უარყოფითი ტემპერატურული გრადიენტი.

პაერის მოძრაობის ინვერსიული სქემის დროს, ფერდო-ების ზედაპირთან პაერის მაქსიმალური სიჩქარე არ აღემატება 1 მ/წმ. ინვერსიული ნაკადის მიმართულებით სიჩქარეები მცირდება, ხოლო ინვერსიის დონის ქვევით პაერი პრაქტიკულად უძრავია.

ინვერსიული სქემით მოძრაობისას პაერცვლა ინვერსიულ შრესა და ატმოსფერული პაერის ზევით მდებარე შრეებს შორის ძლიერ გაძნელებულია, რის გამოც მავნეობების გამოტანა კარიერის სივრცის გარეთ პრაქტიკულად არ ხდება. უფრო მეტიც, პაერის ცივ მასებს, რომლებიც ჩამოედინებიან ქვევით, თან ჩამოაქვთ კარიერის ზედა საფეხურებზე გამოყოფილი მავნეობები. შესაბამისად, ინვერსიის დონის ქვევით, გროვდება ყველა მავნეობა, რომელიც გამოიყოფა ინვერსიის დონის რომელ ქვევით, ასევე ამ დონის ზევითაც.

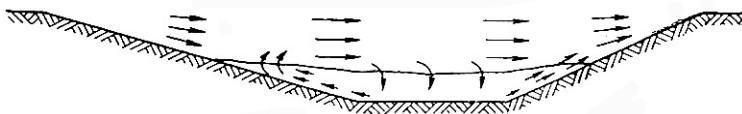
ყოველივე ამის გამო, ინვერსიის დონის ქვევით იქმნება მეტად არახელსაყრელი სანიტარულ-ჰიგიენური პირობები. ასეთ

ადგილებში ხალხის ყოფნა არა მარტო მავნებელია, არამედ საშიშიცაა მომწამლავი აირებით შესაძლო მწვავე მოწამვლის თვალსაზრისით. აქედან გამომდინარე ღრმა ინვერსიების დროს აუცილებელია კარიერში ყოველგვარი სამუშაოების შეწყვეტა და ხალხის ამოყვანა მიწის ზედაპირზე. ამიტომ კარიერების აეროლოგის ერთ-ერთ ძირითად ამოცანას წარმოადგენს ინვერსიის ხელოვნური დარღვევისა და კარიერში პაურცვლის ადგენის მეთოდების შემუშავება.

კარიერების განიავების კომბინირებული სქემები. ზევით აღწერილი კარიერის ბუნებრივი განიავების სქემები წარმოადგენენ იდეალურ შემთხვევებს, ვინაიდან მათში განიხილება მხოლოდ ერთი, განსაზღვრული ფაქტორის მოქმედება, ხოლო სხვა ფაქტორების ზემოქმედება იგნორირებულია. პრაქტიკაში, საქმე გვაქვს ისეთ შემთხვევებთან, როდესაც ერთდროულად მოქმედებს რამდენიმე ფაქტორი. ამის გამო კარიერების განიავების სქემები იღებენ კომბინირებული განიავების სქემების სახეს. იმ შემთხვევებში, როდესაც ზედაპირზე ქარის სიჩქარე არის 2 მ/წმ-დან 5 მ/წმ-დან, კარიერებში პაურის მოძრაობა განპირობებულია ქარისა და თერმული ძალების ენერგიის ერთობლივი მოქმედებით.

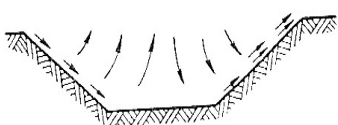
გამოცდილება გვიჩვენებს, რომ ზედაპირზე საკმაოდ ძლიერი ქარის დროსაც კი, კარიერის სიღრმეში ქარის მიერ გამოწვეული ნაკადი აღწევს მხოლოდ 150-200 მ მანძილზე. ამ დონის ქვევით პაურის მოძრაობა შეიძლება იყოს კონვექციური ან ინვერსიული.

ნახ. 11.10-ზე გამოსახულია კარიერში ჰაერის მოძრაობა პირდაპირი-დინებით-კონვექციური სქემით, რომლის დროსაც კარიერის ზედა ნაწილი ნიავდება ქარის ენერგიის ხარჯზე, ხოლო ქვედა ნაწილი – კონვექციური თერმული ძალების გავლენით. ამავე დროს კონვექციური ნაკადებით მავნეობები გადაიტანება ქარის ნაკადის მოქმედების ზონაში, საიდანაც ხდება მათი გამოტანა კარიერის ფარგლებს გარეთ.



ნახ. 11.10

შესაძლებელია გამოვიყენოთ კარიერების ბუნებრივი განიავების სხვა კომბინირებული სქემები. მაგალითად თუ კარიერის ერთ-ერთი ფერდი გაცივებულია, ხოლო მეორე ფერდი რაიმე მიზეზით გამობარია, მაშინ შესაძლებელია გამოვიყენოთ ჰაერის მოძრაობის სქემა – კონვექციურ-ინვერსიული სქემა (ნახ. 11.11)



ნახ.11.11

კარიერის განიავების კომბინირებული სქემების დროს წარმოებს ჰაერის მოძრაობის ძალებისა და

ბისა და კანონების ერთობლივი

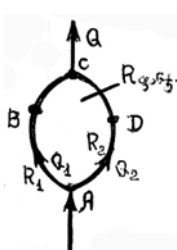
გავლენა, რომლებიც დამახასიათებელია ქარის ენერგიისა და თერმული ძალებისათვის.

12. ჰაერის რეგულირება

მაღაროებისა და შახტების ექსპლუატაციის პროცესში სშირად საჭიროა ჰაერის რეგულირება, რაც სამთო საწარმოების აეროლოგიაში ერთ-ერთ ყველაზე რთულ პროცესს წარმოადგენს. ჰაერის რეგულირებაში იგულისხმება ჰაერის რაოდენობის ხელოვნური განაწილება ცალკეულ გვირაბებში, ამოსაღებ უბნებში, დასამუშავებელ ფრთებზე, ველებზე და ა.შ.

12.1. ჰაერის რეგულირება საგენტილაციო ფანჯრების საშუალებით (უარყოფითი რეგულირება)

ვთქვათ მოცემულია მარტივი პარალელური განშტოება (ნახ. 12.1). დავუშვათ სისტემაში ჰაერი განაწილებულია და ABC ფართზე გადის Q_1 $\text{m}^3/\text{წ}$, ხოლო ADC ფართზე – Q_2 $\text{m}^3/\text{წ}$,



ნახ.12.1

და ვთქვათ ფარდობა Q_1/Q_2 სასურველი არ არის და საჭიროა მივიღოთ ახალი ფარდობა

$$m = \frac{Q'_1}{Q'_2} > \frac{Q_1}{Q_2}$$

ეს იმას ნიშნავს, რომ ჩვენ გვსურს ABC ფრთაზე გაგზარდოთ გამავალი ჰაერის რაოდენობა ADC ფრთაზე გამავალი ჰაერის რაოდენობის ხარჯზე. ამას მივაღწევთ იმ შემთხვევაში, თუ ADC ფრთაზე დავდგამთ სავენტილაციო კარებს და ამოვჭრით მასში სავენტილაციო ფანჯრას. ფანჯრის წინადობა ავღნიშნოთ $R_{ფანჯ}$, პარალელური განშტოების ძირითადი კანონის თანახმად

$$R_1 \cdot \left(\frac{Q_1}{Q_2} \right)^2 = \left(R_2 + R_{fanj} \right) \cdot \left(\frac{Q_1}{Q_2} \right)^2$$

ამ ტოლობიდან განვსაზღვროთ ფანჯრის წინადობა

$$R_{fanj} = \left(\frac{Q_1}{Q_2} \right)^2 \cdot R_1 - R_2 = m^2 R_1 - R_2 \quad (12.1)$$

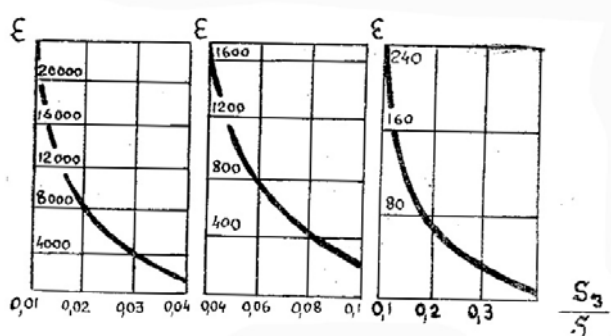
როგორც ვიცით ფანჯრის წინადობა წარმოადგენს ადგილობრივ წინადობას, ხოლო ადგილობროვი წინადობის კოეფიციენტი განისაზღვრება (9.11) ტოლობით:

$$\varepsilon = 16,34 \cdot R_{fanj} \cdot S^2 \quad (12.2)$$

დაუშვათ ჩვენ გვსურს ABC ფრთაზე გავიდეს ჰაერის საერთო რაოდენობის 60%, ხოლო ADC ფრთაზე – 40%, ე.ო.

$$m = \frac{60}{40} = 1,5$$

ვთქვათ $R_1=0,06$ და $R_2=0,04$. გვირაბის პვეთი რომელშიც უნდა ჩაიდგას სავენტილაციო ფანჯარა ტოლია 4,0 m^2 -ისა, მაშინ (12.1) ტოლობიდან მივიღებთ: $R_{fanj}=0,095$, ხოლო (12.2) ტოლობიდან კი – $\varepsilon=24,8$. იმისათვის, რომ ვიანგარიშოთ ფანჯრის კვეთი, ვსარგებლობთ სპეციალური დიაგრამით



ნახ. 12.2

(ნახ. 12.2), სადაც აბსცისთა დერძზე მოცემულია $\frac{S_{fanj}}{S}$,

ხოლო ორდინატთა დერძზე – ε . ამ დიაგრამიდან ვსახლვრავთ,

რომ თუ $\varepsilon=24,8$, ამ შემთხვევაში $\frac{S_{fanj}}{S}=0,27$, აქედან

$$S_{fanj} = 0,27 \cdot S = 0,27 \cdot 4,0 = 1,08 \text{ } \Omega^2$$

ე.ო. $1,08 \text{ } \Omega^2$ ფართის მქონე სავენტილაციო ფანჯარა უნდა ამოიჭრას სავენტილაციო კარებზე ADC ფრთაზე, რომ მივიღოთ პაერის ჩვენთვის მისაღები განაწილება.

პაერის რეგულირების ეს ხერხი მიახლოებითია, რადგან ε -ის მნიშვნელობები განსაზღვრულია მიახლოებით.

განვიხილოთ უფრო ზუსტი ხერხი. დავუშვათ იგივე სისტემაში (ნახ. 12.1) გვსურს მივიღოთ პაერის ახლებური განაწილება

$$\frac{Q_1}{Q_2} > \frac{Q_1}{Q_2}$$

ამის განსახორციელებლად ADC ფრთაზე უნდა დავღიათ საკენტრილაციო ფანჯარა, რომლის დეპრესია ავდნიშნოთ $h_{\text{ფანჯ}}$. გინაიდან გვაქვს პარალელური განშტოება

$$R_1 \cdot (Q'_1)^2 = R_2 \cdot (Q'_2)^2 + h_{\text{fanj}},$$

საიდანაც

$$h_{\text{fanj}} = R_1 \cdot (Q'_1)^2 - R_2 \cdot (Q'_2)^2 \quad (12.3)$$

მიღებული (12.3) ტოლობიდან გამოგვაჭვს მეტად საგულისხმო დასკვნა: ფანჯრის დეპრესია ტოლია პარალელური ფრთების დეპრესიათა სხვაობისა პარალელური განაწილების შემთხვევაში.

ფანჯრის კვეთი ამ მეთოდით რეგულირების დროს განისაზღვრება ტოლობით

$$S_{\text{fanj}} = \frac{S}{0,65 + 2,63S \cdot \sqrt{R_{\text{fanj}}}} \quad \theta^2, \quad (12.4)$$

სადაც S არის გვირაბის კვეთი; $R_{\text{ფანჯ}}$ – ფანჯრის წინაღობა.

$$\text{თუ } (12.4) \text{ ტოლობით მიგიღებთ, რომ } \frac{S_{\text{fanj}}}{S} > 0,5, \text{ მაშინ}$$

ფანჯრის კვეთი სელმეორედ უნდა ვიანგარიშოთ ტოლობით

$$S_{\text{fanj}} = \frac{S}{1 + 2,38 \cdot S \cdot \sqrt{R_{\text{fanj}}}} \quad \theta^2, \quad (12.5)$$

$$\text{მაშინ, როდესაც } \frac{S_{\text{fanj}}}{S} = 0,1, \text{ ფანჯრის კვეთი უნდა}$$

$$\text{გავადიდოთ 12%-ით, თუ } \frac{S_{\text{fanj}}}{S} = 0,13, \text{ მაშინ ფანჯრის კვეთი}$$

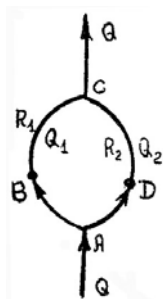
$$\text{უნდა } \text{გავადიდოთ } 7\%-ით; \text{ თუ } \frac{S_{fanj}}{S} > 0,13, \text{ მაშინ (12.5)}$$

ფორმულაში არ შეგვაქვს არავითარი შესწორება.

12.2. პაერის რეგულირება წინაღობის შემცირებით იმ ფრთაზე, რომელზეც გვსურს გავადიდოთ პაერის რაოდენობა (დადებითი რეგულირება)

ვთქვათ მოცემული გვაქვს მარტივი პარალელური განშტოება (ნახ. 12.3). დავუშვათ ABC ფრთაზე გვსურს გავზარდოთ პაერის რაოდენობა ADC ფრთის ხარჯზე, ისე რომ

ADC ფრთაზე ფანჯრის დაყენება შეუძლებელია. მაშინ პაერის გადანაწილებას შეიძლება მივად-წიოთ ორი ხერხით: 1. გვირაბების კედლების სიმქისის შეცვლით: თუ ორტესებრი ძელებით გამაგრებას შევცვლით ხის მრგვალი ბიგებით, გვირაბის წინაღობა შეიძლება შევამციროთ 25-30%-ით, ხოლო თუ ხის მრგვალ ბიგებს შევ-



ნახ. 12.3 ცვლით ბეტონის სამაგრით, მაშინ წინაღობა შეიძლება შემცირდეს 3,5-ჯერ;

2. ABC ფრთაზე გვირაბის კვეთის გაზრდით. ე.ო. უნდა მივიღოთ ABC ფრთის რადაცა ახალი წინაღობა

$$R'_l \prec R_l$$

პარალელურ ფრთებზე პაერის ბუნებრივი განაწილების დროს, როგორც ჩვენთვის ცნობილია, რომელიმე ფრთაზე გამა-ვალი პაერის რაოდენობა იანგარიშება ფორმულით:

$$Q_1 = \frac{Q}{1 + \sqrt{\frac{R_1}{R_2}}}$$

ამ ფორმულაში R_1 -ის ნაცვლად ჩატანეთ R'_1 , Q_1 -ის ნაცვლად – Q'_1 და განვსაზღვროთ R'_1 ;

$$R'_1 = \left(\frac{Q'}{Q'_1} - 1 \right)^2 \cdot R_2 \quad (12.6)$$

დაგუშვათ პარალელური ფრთების დეპრესიები ცნობილია და ტოლია $h=80 \text{ კგ/მ}^2$. სისტემაში ჰაერი ნაწილდება შემდეგნაირად: $Q_1=16 \text{ მ}^3/\text{წ}$; $Q_2=24 \text{ მ}^3/\text{წ}$. განვსაზღვროთ რამდენად უნდა გადიდდეს გვირაბის კვეთი ABC ფრთაზე, რომ $Q'_1=19 \text{ მ}^3/\text{წ}$.

ვიანგარიშოთ თითოეული ფრთის წინაღობა

$$R_1 = \frac{h}{Q_1^2} = \frac{80}{16^2} = 0,312; \quad R_2 = \frac{h}{Q_2^2} = \frac{80}{24^2} 0,139,$$

მაშინ (12.6) ტოლობიდან ჰაერის ახლებურად განაწილების შემთხვევაში

$$R'_1 = \left(\frac{40}{19} - 1 \right)^2 \cdot 0,139 = 0,168$$

ე.ო. ABC ფრთის წინაღობა უნდა შემცირდეს

$$\frac{R_1}{R'_1} = \frac{0,312}{0,168} = 1,85 - \text{ჯერ}$$

ეხლა ვიანგარიშოთ, თუ რამდენჯერ უნდა გადიდეს გვირაბის კვეთი ABC ფრთაზე. ვიცით, რომ

$$R_1 = \frac{\alpha P_1 L_1}{S_1^3}; \quad (a)$$

$$R'_1 = \frac{\alpha P'_1 L_1}{(S'_1)^3} \quad (b)$$

გავყოთ (a) გამოსახულება (b) გამოსახულებაზე, მივიღებთ

$$\frac{R_1}{R'_1} = \left(\frac{S'_1}{S_1} \right)^{2,5}$$

და ავდნიშნოთ

$$\frac{S'_1}{S_1} = X,$$

მაშინ

$$\frac{R_1}{R'_1} = X^{2,5}, \text{ ან } X^{2,5} = 1,85$$

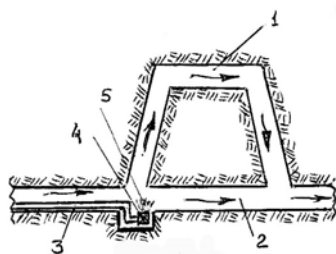
$$\text{აქედან } X = 1,28, \text{ ან } S'_1 = 1,28 \cdot S_1$$

ე. ა. ABC ფრთაზე გვირაბის კვეთი უნდა გადიდეს 1,28-ჯერ, რათა ამ ფრთაზე გაიაროს 19 მ³/წ ჰაერმა.

12.3. პაერის რეგულირება დამხმარე ვენტილაცორების საშუალებით

პაერის რაოდენობის რეგულირებისათვის პრაქტიკაში ხშირად გამოიყენება ე.წ. „პაერის ფარდები“ (ნახ. 12.4). ამ

შემთხვევაში იმ გვირაბში,



რომელშიც გვსურს შევამციროთ გამავალი პაერის რაოდენობა, აყენებენ პაერის ფარდას, რომელიც იქმნება დამხმარე ვენტილაცორის საშუალებით. მის მიერ შექმნილი პაერის ნაკადი მიმართულია

ნახ.12.4

ძირითადი ნაკადის მართობულად.

პაერის ფარდას აყენებენ განშტოების წერტილში. დაგუშვათ (1) გვირაბში გვსურს გავზარდოთ პაერის რაოდენობა (2) გვირაბში გამავალი პაერის ხარჯზე, ამ დროს განშტოებასთან ვაყენებთ (4) დამხმარე ვენტილაცორს, რომელიც იწოვს პაერს ძირითადი გვირაბიდან (3) მიღსადენის საშუალებით და ქმნის (5) პაერის ფარდას დრეჩოს საშუალებით. დრეჩო ეწყობა გვირაბის მთელ სიმაღლეზე, რომ მივიღოთ პაერის თანაბარი ნაკადი. ძირითადი ნაკადის მიმართ დრეჩოს სიბრტყის ცვლილებით, ჩვენ შეგვიძლია ვარეგულიროთ პაერის გამავალი რაოდენობა (2) გვირაბში ან სრულიად შევწყვიტოთ (2) გვირაბში პაერის ნაკადი.

პაერის ფარდებს გააჩნიათ მთელი რიგი დადებითი მხარეები რეგულირების სხვა ხერხებთან შედარებით: 1. ამ

დროს შესაძლებელია ტრანსპორტის შეუფერხებელი მოძრაობა (რადგან არა გვაქვს სავენტილაციო ფანჯრები); 2. გამორიცხულია სატრანსპორტო ჭურჭლებით მარეგულირებელი მოწყობილობების დაზიანება; 3. უზრუნველყოფილია მუშაობის მაღალი ნაყოფიერება; 4. პაერის ფარდები ადვილად ემორჩილებიან ავტომატიზაციას.

13. ჰაერის დანაკარგები მაღაროებში

13.1. ჰაერის ადგილობრივი დანაკარგები

1. ჭაური, რომლითაც მაღაროში მიეწოდება სუფთა ჰაერი.
ჰაერის მიმწოდებელ ჭაურებში თითქოს ჰაერის დანაკარგებს არ უნდა ჰქონდეს ადგილი, მაგრამ თუ იგი მიერთებულია სავენტილაციო ჭაურთან ერთ ან რამდენიმე ჰორიზონტზე, მაშინ ადგილი აქვს ჰაერის მნიშვნელოვან დანაკარგებს, რომელმაც შეიძლება მიაღწიოს 40%-ს, ამიტომ ჭაურები იზოლირებული უნდა იყოს ერთმანეთისაგან სამმაგი სავენტილაციო კარებით ან ყრუ ტიხერებით.

2. მაღაროს ეზო და მასთან ახლომდებარე გვირაბები.
როდესაც ცენტრალური შეწყვილებული ჭაურების მაღაროს ეზოები განლაგებულია ერთ ჰორიზონტზე და შეერთებულია გვირაბებით, რომელშიც ჩადგმულია კარები, ჭაურებს შორის მნიშვნელოვანი წნევათა სხვაობის გამო, ჰაერის დანაკარგები აღწევენ 20-30%-ს და ამ დანაკარგების შესამცირებლად საჭი-

როა მოვაწყოთ ორმაგი ან სამმაგი პერმეტულად გაკეთებული სავენტილაციო კარები, რომელიც უნდა იმყოფებოდეს მუდმივი მეთვალყურეობის ქვეშ, ვინაიდან დიდი წნევების ან ქანების გამოფიტვის გამო ხდება მათი პერმეტულობის დარღვევა და საჭიროა პერიოდული შეკეთება.

3. ტიხერები. დადგენილია, რომ ტიხარში პაერის დანა-კარგები დამოკიდებულია ტიხერის ორივე მხარეზე წნევათა სხვაობაზე, ტიხერის გეომეტრულ ზომებსა და პერმეტულობაზე. ტიხერებში პაერის დანაკარგებს ძირითადად ადგილი აქვს ტიხერის ქანებთან შეერთების ადგილას. პრაქტიკა გვიჩვენებს, რომ ამ ადგილების შელესვა თიხით ან ცემენტით ამცირებს პაერის დანაკარგებს 40-80%-ით. პერიოდულად საჭიროა განხორციელდეს ხელახლი შელესვა, ორ თვეში ერთხელ თიხის გამოყენებისას და ექს თვეში ერთხელ ცემენტის გამოყენებისას.

4. ტიხარი სავენტილაციო კარებით. როგორც ავღნიშნეთ სავენტილაციო კარებში პაერის დანაკარგები აღწევენ მნიშვნელოვან სიდიდეს. იგი შესაძლებელია დავიყვანოთ მინიმუმადე შემდეგი ღონისძიებებით: 1. კარები უნდა დამზადდეს ორმაგი ფიცრისაგან, მათ შორის შუასადების დატანებით; 2. კარების ძირში მიკრული უნდა იყოს ტილოს ან ბრეზენტის ნაჭერი; 3. განსაკუთრებული ყურადღება უნდა მივაქციოთ, რომ კარები მჭიდროდ იყოს ჩასმული ჩარჩოში.

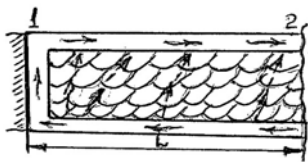
5. კროსინგები (საჰაერო ხიდები). როდესაც გვირაბები ერთმანეთს კვეთენ და ერთ-ერთ მათგანში გადის სუფთა პაერი, ხოლო მეორეში – გადამუშავებული, რომ არ მოხდეს მათი ერ-

თმანეთში შერევა აწყობენ საპაერო ხიდებს ანუ კროსინგებს. იგი შეიძლება იყოს ხის, ლითონის, ქვის ან ბეტონის. აქ განსაკუთრებული ყურადღება უნდა მივაქციოთ კროსინგის ჰერმეტიზაციას. მაგალითად, ხის ბიგებით გამაგრების შემთხვევაში სამაგრი ჩარჩოები უნდა დადგეს მიჯრით და კედლები ამოიფიცროს; თუ კროსინგი ქვისაა, საჭიროა იგი კარგად გაილესოს, ამ შემთხვევაში მკვეთრად მცირდება აგრეთვე აეროდინამიკური წინაღობა.

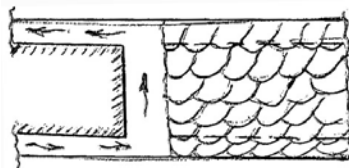
6. საგენტილაციო ჭაური და შახტის ზედაპირული შენობა. მრავალრიცხოვანი გამოკვლევებით დადგენილია, რომ შახტის ზედაპირულ შენობაში და სავენტილაციო ჭაურის პირის გადამხურავ მოწყობილობებში, პაერის შემოწოდა აღწევს მთავარი განიავების ვენტილაციორის მწარმოებლურობის 20-30%-ს. მისი შემცირებისათვის საჭიროა: 1. საგენტილაციო ჭაურის ზედაპირული შენობის მოცულობა დავიყვანოთ მინიმუმადე; 2. შენობის კედლები შეილესოს შიგნიდანაც და გარედანაც; 3. ფანჯრები უნდა მოეწყოს ორმაგი ჩარჩოთ; 4. შენობის კარები უნდა იყოს ორმაგი და ჰერმეტული; 5. ვენტილაციორის არხის ფართან არსებული დრეჩოები გადაცხუროთ ფიცრებით და შევლესოთ თიხით; 6. არხში ჩასასვლელ ყვალა შურფზე უნდა მოეწყოს ჰერმეტული თავსახური; 7. სისტემატიურად ვადევნოთ თვალი, რომ არ მოხდეს ფარის დეფორმაცია ან მისი ამოვარდნა მიმმართველებიდან; 8. სავენტილაციო ჭავლის გადასაყირავებლად გამოყენებული სარქველები უნდა იყოს ჰერმეტული.

13.2. გვირაბების მთელ სიგრძეზე არსებული ჰაერის უწყვეტი დანაკარგები

ამ დანაკარგებიდან ძირითადია დანაკარგები გამომუშავე-



ნახ. 13.1



ნახ. 13.2

ბულ სივრცეში (ნახ. 13.1 და 13.2), რომელიც დამოკიდებულია მრავალ სხვადასხვა ფაქტორზე, როგორიცაა: ფენის სისქე, დანარის კუთხე, დამუშავების სისტემა, ზედაპირიდან ფენის ჩაწოლის სიღრმე, შემცველი ქანების თვისებები, ვენტილაციის სქემა და უბნის დეპესია.

გამომუშავებულ სივრცეში ჰაერის დანაკარგები შეიძლება იყოს 10-35% იმ ჰაერის რაოდენობიდან, რომელიც საჭიროა საწმენდი სანგრევის გასანიავებლად.

როგორც ნახ. 13.1-დან ჩანს, სუფთა ჰაერი მიემართება საზიდი შტრეკით საწმენდი სანგრევის სივრცეში, საიდანაც მოკლე გზით გადის სავენტილაციო შტრეკში. დაკვირვებები გვიჩვენებს, რომ გამომუშავებულ სივრცეში ჰაერის გაპარგებს ძირითადად ადგილი აქვს საწმენდი სანგრევიდან 20-25 მ-ის მანძილზე, შემდეგ კი იგი თანდათან მცირდება და საწმენდი სანგრევიდან 100-150 მ მანძილზე პრაქტიკულად ნულის ტოლი ხდება. იმ შემთხვევაში, როდესაც საზიდი და სავენტილაციო შტრეკების გასწვრივ არ ხდება ამოყორვა ან ჭერი არ არის

მთლიანად ჩამოქცეული, მაშინ პაერის დანაკარგებს შტრეკის მთელ სიგრძეზე აქვს ადგილი. ნახ. 13.2-ზე გამოსახულია საწმენდი სანგრევის განიავების სქემა გრძელი სვეტებით დამუშავების სისტემის დროს. როგორც აქვთან ჩანს, ამ დროს საზიდ და სავენტილაციო შტრეკებს შორის არის ნახშირის ხელუხლებელი მასივი და პაერის გაპარგებს გამომუშავებულ სივრცეში ადგილი არ აქვს.

13.3. პაერის დანაკარგების შესამცირებელი ღონისძიებები

პაერის დანაკარგების შესამცირებლად საჭიროა მთელი რიგი ტექნიკური ღონისძიებების განხორციელება:

1. ვენტილაციის რაციონალური სქემის შერჩევა, რომელიც განსაზღვრავს სავენტილაციო ნაგებობათა რიცხვს და გვირაბების სიგრძეს (შახტის შიგა მინიმალურ დანაკარგებს ადგილი აქვს ვენტილაციის ფლანგური სქემის დროს, ხოლო დანაკარგები მაქსიმალურია – განიავების ცეტრალური სქემის დროს);

2. საერთო-საშახტო დეპრესიის შემცირება, რომელიც პაერის დანაკარგების პირდაპირპორციულია;

3. განიავებისათვის სტაციონარული სავენტილატორო დანადგარების გამოყენება;

4. ნახშირის შახტებში საველე შტრეკების გაყვანა, ვინაიდან ფუჭი ქანები გაცილებით ცუდად ატარებენ პაერს;

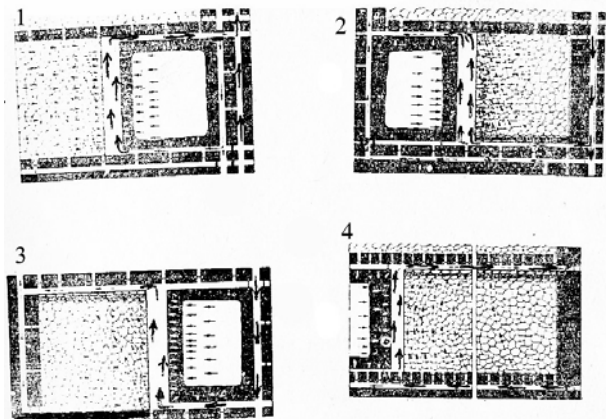
5. მომსახურე პერსონალის მიერ სავენტილაციო ნაგებობების დროული შეკეთება და მუდმივი კონტროლი.

ნატილი III. სამთო საჭარმოთა ვენტილაცია

14. საჭმენდი და მოსამზადებლი სანდოვების განიავება

14.1. გამომუშავებულ სივრცეებთან ჰაერის შეხების ვარიანტები დამუშავების სისტემების მიხედვით

განიავების ძირითადი ამოცანაა გვირაბებში ჰაერის საჭირო რაოდენობით მიწოდება, რათა უზრუნველყოფილ იქნეს ხალხის ნორმალური სუნთქვა, მტკრისა და მომწამლავი და ფეთქებადი აირების განზავება და სანგრევებიდან მათი მოკლე დროის განმავლობაში გამოტანა. საწმენდი სანგრევების განიავების ეფექტურობა დიდად არის დამოკიდებული განიავების სქემაზე. განიავების სქემა უნდა შეირჩეს ისეთნაირად, რომ სანგრევში მიწოდებული ჰაერი მაქსიმალურად იქნას გამოყენებული მის გასანიავებლად. მაშასადამე, საწმენდი სანგრევების ნორმალურად განიავებაში მნიშვნელოვანი ადგილი უჭირავს დამუშავების სისტემას, რომელიც განსაზღვრავს განიავების სქემას და გამომუშავებულ სივრცეებთან ჰაერის შეხებას, რაზედაც დიდადა დამოკიდებული საზიდი გვირაბიდან საწმენდ სანგრევში და გამომუშავებულ სივრცეში ჰაერის მოძრაობის მიმართულება და ჰაერის დანაკარგები. ანსხვავებენ გამომუშავებულ სივრცესთან ჰაერის ცალმხრივ, ორმხრივ და სამხრივ შეხებას (ნახ. 14.1).



ნახ. 14.1

ამ ნახაზზე 1-ლ შემთხვევაში მოცემულია უკუდაბრუნებითი დინებით განიავების სქემა. ამ შემთხვევაში ადგილი აქვს გამომუშავებულ სივრცესთან პაერის ცალმხრივ შეხებას. დამუშავების სისტემა არის გრძელი სვეტებით.

მე-2 და მე-3 შემთხვევებში მოცემულია პირდაპირი დინებით განიავების სქემა. ამ ორივე შემთხვევაში ადგილი აქვს გამომუშავებულ სივრცესთან პაერის ორმხრივ შეხებას. მე-2 შემთხვევაში გამოსახულია დამუშავების მთლიანი სისტემა, ხოლო მე-3 შემთხვევაში – გრძელი სვეტებით დამუშავება.

მე-4 შემთხვევაში მოცემულია უკუდაბრუნებითი დინებით განიავების სქემა. ამ დროს ადგილი აქვს გამომუშავებულ სივრცესთან პაერის სამმხრივ შეხებას. აქ გამოსახულია ამოსაღები უბნის დამუშავების მთლიანი სისტემა.

განხილული შემთხვევებიდან ყველაზე ეფექტურია გამომუშავებულ სივრცესთან მოძრავი პაერის ჭავლის სამმხრივი შეხება, ვინაიდან ამ დროს, გამოყოფილი მეთანი გამომუ-

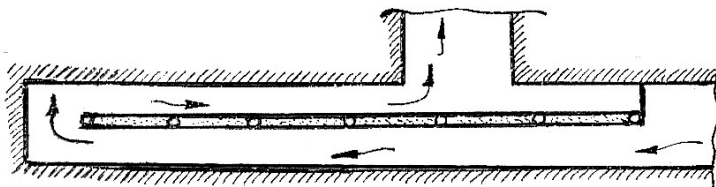
შავებული სივრციდან პაერის დანაკარგებთან ერთად მოკლე გზით გადის სავენტილაციო შტრეპში ლავის მუშა სივრცის გვერდის ავლით. იმ შემთხვევაში, კი როდესაც პაერი გამომუშავებულ სირცეს ეხება ერთი მხრიდან, გამომუშავებული სივრცე თითქმის მთლიანად რჩება გაუნიავებელი, რაც იწვევს მასში დიდი რაოდენობით აირის დაგროვებას და თუ უეცრად მკვეთრად შემცირდა ბარომეტრული წნევა ან დაირღვა განიავების რეჟიმი, შეიძლება მოხდეს ამოსაღები უბნის დაგაზიანება.

14.2. მოსამზადებელი სანგრევების განიავება

განიავების თვალსაზრისით, მიწისქეშა გვირაბები იყოფა ორ ჯგუფად: 1. გვირაბები, რომლებიც გამჭოლი პაერის ჭავლით ნიავდებიან; მათ მიეკუთვნება საწმენდი სანგრევები, გაყვანილი საზიდი და სავენტილაციო შტრეპები. 2. გვირაბები, რომელთაც აქვთ ერთი გამოსასვლელი; მათი გაყვანის პროცესში სანრევის გასანიავებლად სუფთა პაერის მიწოდება და გადამუშავებული პაერის უკან დაბრუნება ხორციელდება ერთი და იგივე გვირაბით. ასეთი გვირაბების სანგრევებს ყრუ სანგრევებს უწოდებენ და მათი განიავების სხვადასხვა ხერხი არსებობს. განვიხილოთ ეს ხერხები ცალ-ცალკე.

14.3. ყრუ სანგრევების განიავება გრძივი ტიხერებით

ეს ხერხი მდგომარეობს შემდეგში (ნახ. 14.2): გაყვანაში მყოფი გვირაბის შუაში (გვირაბის გრძივი დერძის გასწვრივ), ერთმანეთისაგან 2-3 მ დაშორებით, ვაჟენებთ ბიგებს, რომლებიც ორივე მხრიდან უნდა იქნეს ამოფიცრული. მათ შორის ცარიელი სივრცე ივსება დორდით, თიხით და ა.შ.

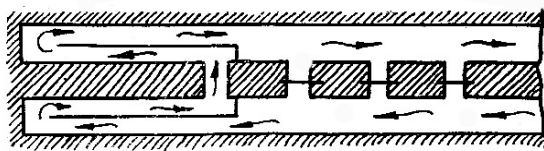


ნახ. 14.2

ასეთი ტიხერების დადებითი მხარეა ის, რომ მოითხოვს მცირე დანახარჯებს და ადვილი მოსაწყობია. უარყოფითი მხარეებია: სამთო წნევების ზემოქმედებით ტიხარი ადვილად იშლება, დიდია პაერის დანაკარგები და ხდება გვირაბის სავალი ნაწილის დაგიწროება. კაპიტალური გვირაბის გაყვანისას ტიხარი ამოჰყავთ აგურისაგან, რომლის სისქე დამოკიდებულია ტიხერის სიგრძეზე.

14.4. ყრუ სანგრევების განიავება პარალელური გვირაბებით

ამ შემთხვევაში, ძირითადი გვირაბის პარალელურად გაყავთ დამხმარე გვირაბი, რომელიც ემსახურება გადამუშავებული პაერის მოცილებას (ნახ. 14.3).

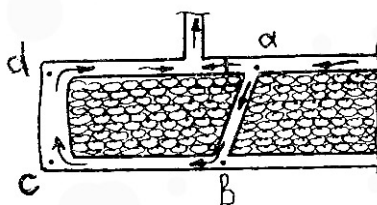


ნახ. 14.3

გვირაბის სიგრძის ყოველი 20-30 მ-ის გაყვანის შემდეგ პარალელური გვირაბები ერთმანეთთან ერთდება გამკვეთებით. გვირაბის სანგრევის წინწაწევასთან ერთად გაიყვანება ახალი გამკვეთი, ხოლო ძველი კი გადაიკეტება ყრუ ტიხრით. უშუალოდ სანგრევში სუფთა ჰაერის მიწოდება ხორციელდება გრძივი ტიხრებით, სავენტილაციო მილებით ან დამხმარე ვენტილატორებით. ყრუ სანგრევების განიავების ეს ხერხი განსაკუთრებით ეფექტურია დიდი სიგრძის (2-8 კმ) გვირაბების გაყვანის დროს. ამ ხერხის დადგებითი მხარეებია: გრძელი გვირაბების ეფექტური განიავება; სანგრევში ჰაერის დიდი რაოდენობით მიწოდება შედარებით ნაკლები დეპრესიის ხარჯზე; არ მოითხოვს შტრეკების დიდ სიგრძეზე გადატიხვრასა და გვირაბების შევიწროებას. უარყოფითი მხარეებია: წევილი გვირაბების გაყვანა მოითხოვს დიდ დანახარჯებს; გამკვეთში ჩადგმულ ტიხრებს დროთა განმავლობაში უზნდებათ პზარები, რაც ზრდის ჰაერის დანაკარგებს; გვირაბებს შორის დატოვებული მთელანები სამთო წნევების ზემოქმედებით იშლება, რაც იწვევს ჰაერის დანაკარგების გაზრდას, ხელს უწყობს შახტებში აირების გამოყოფის ინტენსივობის გაზრდას და ხანძრის გაჩენას თვითწვის უნარის მქონე ნახშირის ფენებში.

14.5. ყრუ სანგრევების განიავება გვირაბების ფართე სელიო გაყვანის დროს

ეს ხერხი მდგომარეობს შემდეგში (ნახ. 14.4): ძირითად საზიდ შტრეკში მიეწოდება სუფთა პაერი, რომელიც ა წერტილში განშტოვდება. ნაწილი სავენტილაციო ფანჯრის გავლით მიდის საწმენი სანგრევის გასანიავებლად, ხოლო ნაწილი ab გვირაბის გავლით, რომელიც cd სანგრევის წინწაწე-

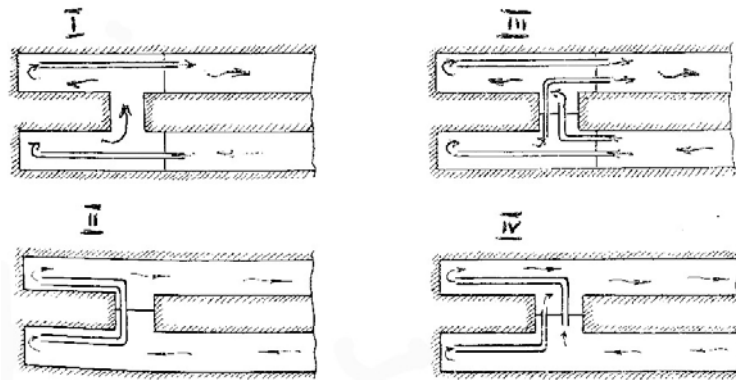


ნახ. 14.4

გასთან ერთად ეწყობა საყორე ზოლში ყოველ 50 მ-ში, მიემართება cd ყრუ სანგრევის გასანიავებლად. ვინაიდან საზიდ შტრეკში სავენტილაციო ფანჯარა ხელს უშლის მოძრაობის, შეიძლება მის მაგივრად ა წერტილში დავდგათ დამხმარე ვენტილატორი, რომელიც სავენტილაციო მილების საშუალებით დაჭირხნის პაერს cd სანგრევის გასანიავებლად. ამ ხერხის დადგებითი მხარეები იგივეა, რაც გააჩნია პარალელური გვირაბებით ყრუ სანგრევების განიავებას, ხოლო უარყოფითი მხარეა პაერის დიდი დანაკარგები.

14.6. ყრუ სანგრევების განიავება სავენტილაციო მიღებით

ხშირად ყრუ სანგრევების ანიავებენ სავენტილაციო მიღების საშუალებით. ამჟამად ფართედ გამოიყენება ლითონის, მატერიის, პლასტმასისა და ტექსტოფინიტის მიღები. ყრუ სანგრევებში სავენტილაციო მიღებით ჰაერის მიწოდება ხორციელდება შემდეგი სქემების მიხედვით (ნახ. 14.5): ამ ნახაზზე I და II სქემებზე ნაჩვენებია ყრუ სანგრევების განიავება მიმდევრობითი სქემებით. როგორც ამ სქემებიდან ჩანს უფრო მიზანშეწონილია გამოვიყენოთ II სქემა, ვინაიდან აქ ტიხარი ჩადგმულია გამკვეთში და ხელს არ უშლის ტრანსპორტის მოძრაობას.



ნახ. 14.5

იმ შემთხვევაში, როდესაც გვირაბები გაგვჭავს აირიან ფენებში, უსაფრთხოების წესების თანახმად აუცილებელია

სანგრევების განცალკევებული განიავება, რაც შეიძლება განხორციელდეს III ან IV სქემებით. ამ სქემებიდან უპირატესობა უნდა მივანიჭოთ IV სქემას, ვინაიდან აქ გვაქვს ერთი ტიხარი და ისიც ჩადგმულია გამკვეთში, ხოლო III სქემის დროს გვაქვს სამი ტიხარი, გარდა ამისა ამ სქემაში მიღების რაოდენობაც გაზრდილია.

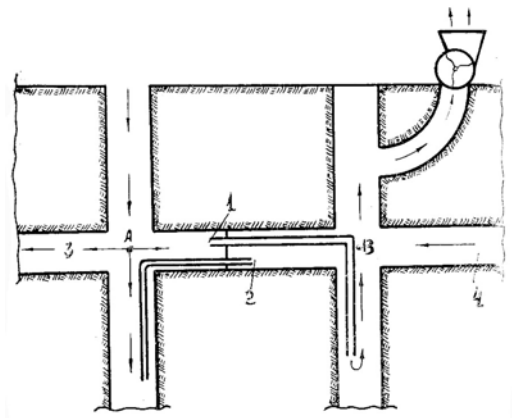
სავენტილაციო მიღებით ყრუ სანგრევების განიავებისას განსაკუთრებული ყურადღება უნდა მივაქციოთ მიღების დიამეტრს, რადგან როგორც სქემებიდან ჩანს, საქმე გვაქვს პარალელურ განშტოებასთან და თუ მიღების დიამეტრი არ იქნა სწორად შერჩეული, შეიძლება ერთი სანგრევი დარჩეს სრულად გაუნიავებელი, რაც სახიფათოა.

14.7. ჭაურების სანგრევების განიავება მათი გაყვანის პროცესში

ჭაურების გაყვანისას მათი სანგრევების განიავება ხორციელდება ვენტილატორით, რომელიც დადგმულია მიწის ზედაპირზე და აწვდის ჰაერს სანგრევში სავენტილაციო მიღების საშუალებით. მიღების განლაგება ჭაურში ხორციელდება ორი ხერხით: 1. მიღების ბაგირზე ჩამოკიდებით; 2. ჭაურის სამაგრზე მიღების უძრავად დამაგრებით. პირველი ხერხი გამოიყენება ჭაურების ბეტონით გამაგრების შემთხვევაში, ხოლო მეორე კი – ხით გამაგრების დროს.

იმ შემთხვევაში, როდესაც ერთი პორიზონტი იმყოფება ექსპლუატაციაში და პარალელურად მიმდინარეობს ჭაურების

ჩაღრმავება, ჭაურის სანგრევის გასანიავებლად შეიძლება გა-
მოვიყენოთ ნახ. 14.6-ზე მოცემული სქემა.



ნახ. 14.6

როგორც ამ ნახაზიდან ჩანს, სუფთა ჰაერი A წერტილში განშტოვდება, ნაწილი მიდის (3) გვირაბით მუშა პორიზონტის გასანიავებლად და (4) გვირაბით ბრუნდება სავენტილაციო გვირაბში. A წერტილში განშტოებული ჰაერის მეორე ნაწილი მიემართება საგალე ჭაურის სანგრევის გასანიავებლად, ხოლო მესამე ნაწილი კი მიემართება (1) სავენტილაციო მილით სასკიპე ჭაურის სანგრევის გასანიავებლად. საგალე ჭაურის სანგრევიდან გადამუშავებული ჰაერის ჭავლის მოცილება ხორციელდება (2) სავენტილაციო მილით.

განიავების ასეთი სქემის გამოყენების დროს განსაკუთრებული ყურადღება უნდა მიექცეს სავენტილაციო მილების დიამეტრს, ვინაიდან გვაქვს პარალელური განშტოება და თუ მილების დიამეტრები სწორად არ იქნა შერჩეული, შეიძ-

ლება მუშა პორიზონტი დარჩეს მთლიანად გაუნიავებელი, რაც დიდ საფრთხესთანაა დაკავშირებული.

ეს სქემა შეიძლება გამოვიყენოთ, მაშინ როდესაც ჭაურების სანგრევების განიავება არ მოითხოვს დიდ დეპრესიას, წინააღმდეგ შემთხვევაში სანგრევები უნდა განიავდეს დამხმარე ვენტილატორების საშუალებით.

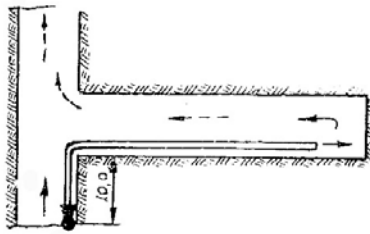
14.8. ყრუ სანგრევების განიავება დამხმარე ვენტილატორებით

ყრუ სანგრევების განიავება დამხმარე ვენტილატორებით ხორციელდება სამი ხერხით: დამჭირხნი, შემწოვი და კომბინირებული. განვიხილოთ ისინი ცალ-ცალკე.

1. დამჭირხნი განიავება მდგომარეობს შემდეგში (ნახ. 14.7): მთავარ გვირაბში, რომელშიც ჰაერი მოძრაობს საერთო საშახტო დეპრესიის ხარჯზე, განშტოებიდან არანაკლებ 10 მ მანძილზე ვდგამთ დამხმარე ვენტილატორს, რომელიც სავენტილაციო მილებით ჭირხნის ჰაერს სანგრევში. ვენტილატორის დაყენება სავენტილაციო პორიზონტზე შეიძლება მაშინ, როდესაც მეთანის რაოდენობა გვირაბის ჰაერში არ აღემატება 0,5%-ს. ამ ხერხის დადებითი მხარეებია: 1. სავენტილაციო მილიდან გამოსული ჰაერის ჭავლი მოძრაობს სწორხაზოვნად 10-15 მ მანძილზე, რაც უზრუნველყოფს სუფთა ჰაერის შეამიან და ფეთქებად აირებთან ინტენსიურ შერევას და სანგრევიდან მათი მოკლე დროის განმავლობაში გამოტანას; 2. ცნობილია, რომ აირიან მაღაროებში მეთანი გამოიყოფა არა მარტი

სანგრევის გულიდან, არამედ შტრეკის მთელ სიგრძეზე გაშიშვლებული ზედაპირიდან და, ვინაიდან ამ ხერხის გამოყენებისას სუფთა ჰაერის ჭავლი მიეწოდება სავენტილაციი

მიღებით, ადგილი არა აქვს

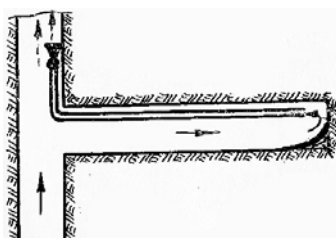


ნახ.14.7

ბადი აირები არ იქნება განდევნილი გვირაბის მთელ სიგრძეზე, სანგრევში მუშაობის განახლება დაუშვებელია.

2. შემწოვი განიავება. ისევე, როგორც დამჭირხნი განიავების დროს, ამ შემთხვევაშიც დამხმარე გენტილატორი იდგმება საერთო-საშახტო დეპრესიის ხარჯზე განიავებულ მთავარ გვირაბში (ნახ. 14.8), რომელიც სავენტილაციო მიღებით იწოვს ჰაერს სანგრევის გულიდან. ამ ხერხის დადებითი მხარეებია:

1. გვირაბის მთელ სიგრძეზე მოძრაობს სუფთა ჰაერი და ამიტომ არ არის აუცილებელი მომუშავეთა მთავარ გვირაბში გამოყვანა;



ნახ.14.8

ხერხის უარყოფითი მხარეებია:

1. სუფთა ჰაერი მიაღ

დებელი მომუშავეთა მთავარ გვირა-

ბში გამოყვანა; 2. შესაძლებელია

სანგრევის განიავებას შევუთავ-

სოთ სხვა ოპერაციებიც, როგო-

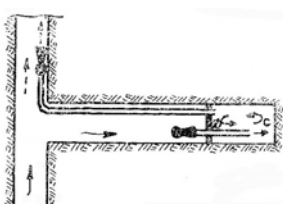
რიცაა ლიანდაგის შეკეთება, გვი-

რაბის გადამაგრება და ა.შ. ამ

162

წევს რა სავენტილაციო მილის ბოლოს, მაშინვე უხვევს მილი-საკენ და ნაწილი სანგრევისა რჩება გაუნიავებული (დაშტრი-ხული ნაწილი); 2. გვირაბის მთელ სიგრძეზე, ფენის გაში-შვლებული ზედაპირიდან გამოყოფილი აირები ნაწილობრივ მიყვება სუფთა ჰაერის ჭავლს სანგრევისაკენ; 3. სანგრევის აფეთქებისას სავენტილაციო მილის სანგრევთან ახლოს მიფ-ვანა შეუძლებელია, რათა მილი არ დაზიანდეს.

3. კომპინირებული განიავება. (ნახ. 14.9) ამ დროს მთავარ გვირაბში დგას ვენტილატორი, რომელიც სავენტილაციო მი-ლების საშუალებით იწოვს სანგრევიდან მომწამლავ და ფე-თქებად აირებს. ხოლო თვით გაყვანაში მყოფ გვირაბში დგას მეორე ვენტილატორი, რომელიც მუშაობს დაჭირხვნაზე და უხ-რუნველყოფს სანგრევიდან გამოყოფილი შხამიანი და მომ-წამლავი აირების მიწოდებულ სუფთა ჰაერში სწრაფ განზა-ვებას და მოკლე დროის განმავლობაში გამოდევნას. დაჭირ-ხვნაზე მომუშავე ვენტილატორი დამონტაჟებულია სპეციალურ გადასაადგილებელ ურიკაზე, რათა სანგრევის წინწაწევასთან



ნახ.14.9 ერთად მოხდეს ვენტილატორის გადა-ადგილება. ამასთან ერთად მატულობს შემწოვი მილსადენის სიგრძე. იმი-სათვის, რომ არ მოხდეს ჰაერის მო-რაობა C წერტილიდან D წერტი-ლისაკენ, გაყვანაში მყოფ გვირაბში აყენებენ ტიხარს ან ბრეზენტის ფარდას.

15. სავენტილაციო ნაგებობანი

მაღაროებში პაერის ჭავლის რეგულირება ხორციელდება სავენტილაციო ნაგებობების საშუალებით, რომლებიც თავისი დანიშნულების მიხედვით იყოფიან ორ ჯგუფად: 1. სავენტილაციო ნაგებობანი, რომლებიც პაერს ატარებენ – ვენტილატორის არხი, კროსინგი და სავენტილაციო ფანჯარა; 2. ნაგებობანი, რომელთა საშუალებითაც ხდება პაერის ჭავლის გადაღობვა – ტიხერები, სავენტილაციო კარები, რაბი, საშახტო სარქველი და ჭაურის ზედაპირული ჰერმეტული შენობა.

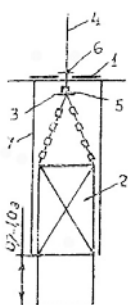
ამ ნაგებობებიდან ზოგიერთი ჩვენ ადრე განვიხილავ (იხ. 13.1 – პაერის ადგილობრივი დანაკარგები), ამიტომ ეხლა განვიხილოთ დანარჩენი ნაგებობანი:

1. ვენტილატორის არხი. ზედაპირზე განლაგებული მთავარი სავენტილატორო დანაგდგარები სავენტილაციო ჭაურთან ახლოს არიან მოთავსებული და უერთდებიან მათ ვენტილატორის არხით. არხი ატარებს ვენტილატორის მიერ მაღაროდან შეწოვილ ან მაღაროში დაჭირხნულ მთელ პაერის რაოდენობას და მისი არასწორი დაგეგმარების დროს ადგილი აქვს აეროდინამიკური წინადობის საგრძნობ ზრდას და დიდ პაერის დანაკარგებს. ამიტომ არხის კედლები უნდა იყოს პაერგაუმტარი და ახასიათებდეს რაც შეიძლება მინიმალური აეროდინამიკური წინადობა, რისთვისაც აუცილებელია: 1. არხის კვეთი ისე უნდა იყოს შერჩეული, რომ მასში პაერის მოძრაობის სიჩქარე არ აღემატებოდეს 15 მ/წმ; 2. არხისა და სავენტილაციო ჭაურის შეუღლების ადგილი ისე უნდა იყოს მოწყობილი,

რომ არ ახასიათებდეს მკვეთრი მოხვევა, უეცარი გაფართოება ან შევიწროება; 3. არხი უნდა იყოს მინიმალური სიგრძისა და გლუვაკედლებიანი.

2. რაბი წარმოადგენს გვირაბის უბანს, რომელიც მოთავსებულია ორ სავენტილაციო კარებს შორის. მისი დანიშნულებაა გაატაროს ხალხი და ტრანსპორტი ვენტილაციის რეჟიმის დაურღვევლად. განიავების ცენტრალური სქემის დროს სასკიპე და საგალე ჭაურების შემაერთებელ გვირაბში უნდა განთავსდეს მინიმუმ სამი სავენტილაციო კარებისაგან შემდგარი ორი საპარო რაბი.

3. საშახტო სარქველები. როდესაც სავენტილაციო ჭაურში წარმოებს ტვირთის ზიდვა, იმისათვის, რომ არ პქონდეს ადგილი ჰაერის დანაკარგებს, ჭაურის პირთან ეწყობა საშახტო სარქველები ან იგება ზედაპირული ჰერმეტული შენობა. საშახ-



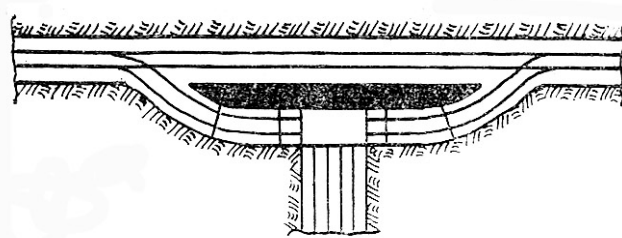
ნახ.15.1

ტო სარქველი (ნახ. 15.1) წარმოადგენს სახურავს, რომლითაც გადახურულია ჭაურის პირი გველა შემთხვევაში, როდესაც საზიდი ჭურჭელი იმყოფება ჭაურის პირის ქვევით. როდესაც საზიდი ჭურჭელი ამოდის ზევით და უახლოვდება ჭაურის პირს, სარქველი 1 იდება ამწევ ბაგირზე დამაგრებული დისკოს 3 საშუალებით.

იმისათვის, რომ დისკოს დარტყმა სარქველზე შევარბილოთ, აუცილებელია წნევა სარქველის ორივე მხარეზე გავათანაბროთ, რისთვისაც ქუროს 5 საშუალებით ჯერ იღება პატარა სახურავი 6 და შემდეგ სარქველი 1.

სარქველის პერმეტიზაციის გაზრდის მიზნით გალის ორჯერადი სიმაღლის სიღრმეში ჭაურის პირიდან მოწყობილია ხვრელი 7, რომელშიც შედის გალი. როდესაც გალი გასცდება ჭაურის პირს, ეს უკანასკნელი იხურება გალის ძირში მოწყობილი ფარით.

4. ბუფეტი წარმოადგენს პაერის გადამღობ საგენტილაციო ნაგებობას, რომელიც ეწყობა საზიდი შტრეკისა და ქანობის (ბრემსბერგის) შეუღლების ადგილებში. იგი კეთდება ნის ან აგურის კედლებისაგან, რომლის ორივე მხარეზე ჩადგმულია



ნახ. 15.2

ორ-ორი საგენტილაციო კარები ხალხის სასიარულოდ და ტვირთის გასატარებლად. ბუფეტის ძირითადი დანიშნულებაა არ გაატაროს პაერი საზიდ შტრეკიდან ქანობში (ბრემსბერგში).

16. განიავების კონტროლი და დეპრესიული აგეგმვა

განიავების კონტროლის ძირითადი ამოცანებია: 1. მიწის ზედაპირიდან შახტში მისაწოდებელი პაერის რაოდენობის გაზომვა, აგრეთვე პაერის რაოდენობის გაზომვა ცალკეულ გვირაბში, სანგრევში, ამოსაღებ უბანში, ვენტილატორის არხში

და ა.შ. 2. მაღაროს პაერში შემავალი ფეთქებადი და მომწამდავი აირების კონცენტრაციის გაზომვა, აგრეთვე გვირაბებში მტვრის კონცენტრაციის დადგენა; 3. ქანქბისა და მიწისქვეშა გვირაბების პაერის ტემპერატურის გაზომვა, განსაკუთრებით ღრმა პორიზონტებზე მუშაობისას; 4. დეპრესიის გაზომვა ცალკეულ გვირაბში, ამოსაღებ უბანში, ამოსაღებ ფრთებზე და მთლიანად შახტში.

16.1. პაერის რაოდენობის და მისი მოძრაობის სიჩქარის კონტროლი

უკანასკნელი 35-40 წლის მანძილზე პაერის მოძრაობის სიჩქარის გასაზომად შეიქმნა სხვადასხვა კონსტრუქციის ელექტროანერგომეტრები, მაგრამ შახტებზე არსებული სპეციფიკური პირობების გამო მათ ვერ პოვეს გავრცელება და სამთო საწარმოებში პაერის მოძრაობის სიჩქარე იზომება ფრთებიანი ან ჯამებიანი ანერომეტრებით.

პაერის მოძრაობის სიჩქარის გაზომვა წარმოებს სპეციალურად მოწყობილ საზომ სადგურებში. საზომი სადგური ეწყობა გვირაბის სწორ უბანზე, სადაც გვირაბს არ ახასიათებს უეცარი შევიწროება ან გაფართოება, ხოლო გვირაბის გამაგრება არის წესიერ მდგომარეობაში. საზომი სადგურის კედლები მჭიდროდ უნდა იყოს ამოფიცრული, რათა ადგილი არ ჰქონდეს პაერის გაპარვებს. სადგურის კედლები დამაგრებული უნდა იყოს დაფა, რომელზედაც აღინიშნება სადგურის ნომე-

რი, გვირაბის განივი კვეთი, გაზომილი პაერის რაოდენობა, გაზომვის ჩატარების თარიღი და გამზომის ხელმოწერა.

საზომი სადგური ეწყობა კაპიტალურ გვირაბში, ამოსა-დები უბის შემავალ და ამომავალ პაერის ჭავლებზე, ვენტი-ლატორის არხში და საერთოდ ყველგან, სადაც საჭიროა გამა-გალი პაერის რაოდენობის ცოდნა. ამა თუ იმ გვირაბში გამა-გალი პაერის რაოდენობის გაზომვის შედეგები გარდა საზომ სადგურში მოთავსებული დაფისა, უნდა დაფიქსირდეს ვენტი-ლაციისა და უსაფრთხოების ტექნიკის უბანში არსებულ სპ-ციალურ ჟურნალში. ყველა ცვლილება, რომელიც მოხდება მაღაროს განიავების სქემაში, დაუყონებლივ უნდა იქნეს დატა-ნილი მაღაროს ვენტილაციის სქემაზე.

ასეთნაირად ცალკეულ გვირაბში გაზომილი პაერის რაო-დენობის მიხედვით დგება მაღაროს საპაერო ბალანსი, რომე-ლიც გვიჩვენებს, თუ რომელ გვირაბში, რომელ უბანზე და მთლიანად მაღაროში რამდენი პაერი გადის.

162. მაღაროს პაერის შემადგენლობის კონტროლი

ატმოსფერული პაერი, რომელიც მაღაროში მიეწოდება მი-წის ზედაპირიდან, გვირაბებში მოძრაობის დროს განიცდის ცვლილებებს, რაც ძირითადად გამოიხატება მის შემადგენ-ლობაში ჟანგბადის შემცველობის შემცირებით და ნახშირმჟავა აირის შემცველობის გაზრდით. გარდა ამისა, პაერს ემატება სხვადასხვა ფეთქებადი და მომწამლავი აირები, რომლებიც მაღაროში გამოიყოფა: მეთანი, ნახშირჟანგი, გოგირდწყალბადი,

გოგირდოვანი აირი, წყალბადი, აზოტის ოქსიდები, ამიაკი, აკროლეინი და სხვ.

ჰაერში აღნიშნული აირების შემცველობის პროცენტული რაოდენობის დადგენა ხორციელდება სხვადასხვა აირანალიზატორებით. მაგალითად, ГХ-1 და УГ-2 ტიპის ანალიზატორით შეგვიძლია დავადგინოთ ჰაერში CO, CO₂, H₂S და SO₂-ის პროცენტული შემცველობა. ამ აირანალიზატორების ძირითად ნაწილს წარმოადგენს ინდიკატორული მილაკი სხვადასხვა ქიმიური რეაქტივებით. მისი მოქმედების პრინციპი შემდეგია: ინდიკატორულ მილაკში მოთავსებული ქიმიური რეაქტივი იცვლის ფერს ამა თუ იმ აირის მოქმედების დროს. მილაკში რეაქტივის ფერის შეცვლის სიგრძე დამოკიდებულია ჰაერში აირის პროცენტულ შემცველობაზე.

უსაფრთხოების წესების თანახმად მაღაროების ჰაერში შემცველი მომწამლავი და ფეთქებადი აირების კონტროლი წარმოებს შემდეგ ვადგებში: უაირო მაღაროებში – თვეში ერთხელ; აირის მიხედვით I და II კატეგორიის შახტებში – თვეში ორჯერ; III და ზეპატეგორიის შახტებში – თვეში სამჯერ.

აგრეთვე უსაფრთხოების წესების თანახმად, მაღაროს ჰაერში შემცველი მეთანის (CH₄) კონცენტრაციის გაზომვა წარმოებს: I და II კატეგორიის მაღაროებში – ცვლაში ორჯერ, ხოლო III და ზეპატეგორიის მაღაროებში – ცვლაში სამჯერ.

ისეთ შახტებში რომლებშიც ფართედ გამოიყენება ფეთქებადი მასალები, ჰაერის ანალიზი აზოტის დიოქსიდისა (NO₂) და ნახშირუსანგის (CO) რაოდენობის დასადგენად უნდა ჩატარ-

დეს არანაკლებ თვეში ორჯერ, მაღნეულის მომპოვებელ მაღაროებში – არანაკლებ თვეში ერთხელ.

მაღაროების აირსიუხვის მიხედვით კატეგორიის დადგენა უნდა მოხდეს წელიწადში ერთხელ.

მტვრის მიხედვით საშიშ მაღაროებში გვირაბის კედლებზე დალექილი მტვრის ანალიზი უნდა ჩატარდეს სამ თვეში ერთხელ, ხოლო ინერტული მტვრის ანალიზი – თვეში ერთხელ.

ისეთ ადგლებში, სადაც განუწყვეტლივ გამოიყოფა მტვრი, საჭიროა მტვრის ანალიზი ჩატარდეს ყოველდღიურად.

16.3. დეპრესიული აგეგმვა

მაღაროს საერთო დეპრესიის გაზომვით შეუძლებელია ვაკონტროლოთ თუ როგორ ნაწილდება დეპრესია ცალკეულ გვირაბებში, ამოსაღებ უბნებსა და მთლიანად მაღაროში, მისი ცოდნა კი აუცილებელია რათა გავანაწილოთ პაერი საჭიროების მიხედვით, გამოვავლინოთ ადგილები, რომლებსაც გააჩნიათ დიდი აეროდინამიკური წინაღობა და დავსახოთ დონისძიებანი მათი ლიკვიდაციისათვის. სამუშაოებს, რომლებიც მიმართულნი არიან გვირაბებში დეპრესიების განაწილების შესწავლისაკენ, დეპრესიული აგეგმვა ეწოდებათ.

დეპრესიული აგეგმვის მეთოდიკა მდგომარეობს შემდეგში: მაღაროს განიავების სქემაზე ვირჩევთ მაქსიმალური დეპრესიის გზას (გზას, რომელზედაც არ დგას სავენტილაციო ნაგებობები) და ამ გზაზე დაგვაქვს პირობითი ნიშნები, საზომ პუნ-

ქტებში პაერის ჭავლის მოძრაობის მიმართულების ჩვენებით. ეს გზა დგება საგალე ჭაურის პირიდან ვენტილაციონის არხის მიწის ზედაპირზე გამოსავალ წერტილამდე, ანუ პაერის ჭავლის შახტი ჩასვლის წერტილიდან შახტიდან მიწის ზედაპირზე პაერის ჭავლის ამოსვლის წერტილამდე. შემდეგ ვზოდა მავთ დეპრესიებს პაერის მოძრაობის არჩეულ გზაზე ყოველ ორ მეზობელ პუნქტს შორის, რის შემდეგაც ვაჯამებთ მიმდევრობით ჩართული გზის უბნების დეპრესიებს და ვიღებთ არჩეული სავენტილაციო გზის სრულ დეპრესიას.

დეპრესიული აგეგმვითი სამუშაოების ჩატარება შეიძლება განვახორციელოთ ბარომეტრ-ანეროიდით, მიკრომანომეტრით, მიკრობარონიველირით ან დეპრიმომეტრით.

16.4. შახტის მთლიანი დეპრესიის გაანგარიშება

შახტის განიავების სქემის შედგენისა და ცაპქულ გვირაბში პაერის განაწილების შემდეგ შეგვიძლია შევუდგეთ შახტის მთლიანი დეპრესიის ანგარიშს შემდეგი ფორმულით

$$h_{\text{შახ}} = h_1 + h_2 + \dots + h_n, \quad (16.1)$$

სადაც h_1, h_2, \dots, h_n არის მიმდევრობით ჩართული გვირაბებისა და უბნების დეპრესიები.

თითოეული გვირაბის ან უბნის დეპრესია იანგარიშება ფორმულით

$$h = \alpha \cdot \frac{P \cdot L}{S^3} \cdot Q^2 \quad (16.2)$$

დეპრესია უნდა ვიანგარიშოთ შახტში არსებულ ყველა დამოუკიდებელ ჰაერის ჭავლზე და გამოთვლილი დეპრესიებიდან საანგარიშოდ ანუ მთავარი განიავების ვენტილატორის შესარჩევად ვიღებთ ყველაზე მაქსიმალურ დეპრესიას.

იმის გამო, რომ ჰაერის მოძრაობის ყველა დამოუკიდებულ გზაზე მიიღება სხვადასხვა დეპრესია, ხოლო ჩვენ კი ვიცით, რომ პარალელური განშტოების ძირითადი კანონის თანახმად, ყველა პარალელური გზის დეპრესია უნდა იყოს ერთმანეთის ტოლი, მათ გათანაბრებას ვახდენთ სავენტილაციო ფანჯრების საშუალებით. რომელიმე გზაზე დადგმული ფანჯრის დეპრესია ტოლი უნდა იყოს მაქსიმალური დეპრესიისა და მოცემული გზის დეპრესიას შორის სხვაობისა.

თითოეული გზის დეპრესიას ვამატებთ 10-15%-ს ადგილობრივი წინაღობების მიერ გამოწვეული წნევის დანაკარგებს და მივიღებთ მოცემული გზის სრულ დეპრესიას.

თუ ასეთი ანალიზის შედეგად გამოჩნდება, რომ ერთ ან რამდენიმე გვირაბში დეპრესია ძალიან დიდია, საჭიროა მივიღოთ ზომები მის შესამცირებლად. იგი შეიძლება შევამციროთ გვირაბის კედლების სიმჭიდროვით, კვეთის გადიდებით, პარალელური გვირაბის გაყვანით და სხვა ღონისძიებებით.

16.5. შახტის მაქსიმალური და მინიმალური

ექივალენტური ხერელების ანგარიში

როდესაც შახტი შედის ექსპლუატაციაში, საწმენდი სან-გრევები ყოველდღიურად წინ მიიწევენ შახტის ველის ცენტრი-დან საზღვრებისაკენ, იზრდება გვირაბების სიგრძე, მათი წინა-დობა და ცხადია, როდესაც საწმენდი სანგრევები მიაღწევენ შახტის ველის საზღვრებს, გვექნება მაქსიმალური წინადობა, ე.ი. ჩაქ. ამ მსჯელობიდან ჩანს, რომ შახტის ექსპლუატაციაში შესვლისას ადგილი ექნება მინიმალურ დეპრესიას ჩან. რაც შეეხება შახტის ექივალენტური ხერელის ცვლილებას, ანა-ლოგიური მსჯელობით მივიღებთ, რომ როდესაც საწმენდი სანგრევები გადაადგილდებიან შახტის ველის ცენტრიდან საზ-ღვრებისაკენ, გვირაბების სიგრძე და მათი წინადობა იზრდება, ე.ი. ექივალენტური ხერელის სიდიდე თანდათან მცირდება და დებულობს მის მინიმალურ მნიშვნელობას აგან, როდესაც საწ-მენდი სანგრევები მიაღწევენ შახტის ველის საზღვრებს. ამ მსჯელობიდან ცხადია, რომ შახტის ექსპლუატაციის დასაწ-ყისში ექივალენტურ ხერელს აქვს მაქსიმალური მნიშვნელობა აგაქ. აღნიშნული მსჯელობის თანახმად შახტის მაქსიმალური და მინიმალური ექივალენტური ხერელების სიდიდეები შეგვიძ-ლია ვიანგარიშოთ ფორმულებით

$$A_{\text{maqs}} = \frac{0,38 \cdot Q}{\sqrt{h_{\text{min}}}} ;$$

$$A_{\text{min}} = \frac{0,38 \cdot Q}{\sqrt{h_{\text{maqs}}}} . \quad (16.3)$$

17. პარიერების ხელოვნური ვენტილაცია

17.1. კარიერების ხელოვნური ვენტილაციის ხერხები

კარიერების ხელოვნური ვენტილაცია აუცილებელია ყველა იმ შემთხვევაში, როდესაც კარიერში პაერცვლის ინტენსივობა არასაკმარისია სამუშაოთა წარმართვის ადგილზე ატმოსფეროს ნორმალური სანიტარულ-ჰიგიენური მდგომარეობის შესანარჩუნებლად.

კარიერებში მავნეობების დაგროვებას ხელს უწყობს შემდეგი პირობები: 1. ზედაპირზე ქარის ნაკადის ენერგიის შემცირება; 2. ადიაბატურზე ნაკლები ვერტიკალური ტემპერატურული გრადიენტების წარმოქმნა; 3. კარიერების ატმოსფეროში მავნეობების გამოყოფის ინტენსივობის მომატება.

კარიერის ხელოვნური ვენტილაციის ქვეშ იგულისხმება ადამიანის ნებისმიერი მიზანმიმართული მოქმედებით კარიერში პაერცვლის ინტენსიფიკაცია. ამ განმარტების საფუძველზე კარიერების ხელოვნური ვენტილაციის ყველა არსებული ხერხი შეიძლება დაგენერიროს – ბუნებრივი პაერცვლის ინტენსიფიკაციის ხერხები და თვით ხელოვნური ვენტილაციის ხერხები.

ბუნებრივი პაერცვლის ინტენსიფიკაციის ხერხებს განეკუთვნება: 1. გეგმაში კარიერის სწორი ორიენტაციის შერჩევა; 2. კარიერების, განიავების ფაქტორის მხრივ, ყველაზე უფრო რაციონალური ზომების შერჩევა; 3. კარიერის სიახლოვეს მოწის ზედაპირზე ხელოვნური ნაგებობების შექმნა, რომლებიც

ზრდიან ქარის ნაკადის სიჩქარესა და ტურბულიზაციას; 4. სპე-
ციალურ მოცულობებში სითბოს აკუმულირება (დაგროვება);
5. ქანების სიღრმული სითბოს გამოყენება.

კარიერების ხელოვნური ვენტილაციის უშუალო ხერ-
ხებია: 1. ვენტილაცია მილებისა და გვირაბების საშუალებით;
2. ვენტილაცია თავისუფალი ჭავლების საშუალებით, რომლე-
ბიც იქმნება სპეციალური სავენტილაციო დანადგარებით (იზო-
თერმული ან არაიზოთერმული ჭავლები), აგრეთვე სითბოს
წყაროებით (კონვექციური ჭავლები).

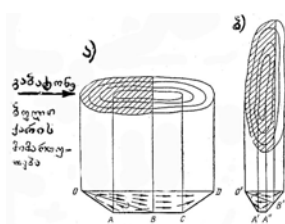
17.2. კარიერებში ბუნებრივი ჰაერცვლის ინტენსიფიკაცია

კარიერებში ბუნებრივი ჰაერცვლის ინტენსიფიკაცია ყოვე-
ლთვის სასურველია, ხოლო – ის აუცილებელია ღრმა კარიე-
რებში. ჰაერცვლის ინტენსიფიკაციის სხვადასხვა საშუალე-
ბების გამოყენების აუცილებელი პირობაა მიწის ზედაპირზე
ჰაერის ინტენსიური მოძრაობის არსებობა. აქედან გამომდინარე
ყველა ეს საშუალება ამჟამად წარმოადგენს კარიერების ხე-
ლოვნური ვენტილაციის დამხმარე საშუალებებს.

კარიერის ორიენტაცია გეგმაში. კარიერში ჰაერცვლის ინ-
ტენსიფიცირება შესაძლებელია მისი გრძელი დერძის გეგმაში
ორიენტირებით ზედაპირზე გაბატონებული ქარების მიმართუ-
ლების მიხედვით (თუ ამის საშუალებას იძლევა სასარგებლო
წიაღისეულის ჩაწოლა). ნახ. 17.1 ა)-დან ჩანს, რომ ამ დროს
ჰაერცვლის ნაკლები ინტენსიფობის მქონე რეცილდულაციის

ზონის OAB-ის მოცულობა შედარებით მცირეა, ვიდრე პირდაპირი დინებითი მოძრაობის ზონა OBCD-ს მოცულობა. ამ შემთხვევაში რეცირკულაციის ზონის ფართი გეგმაში შეადგენს კარიერის ფართის დახლოებით ნახევარს (დაშტრიხული ფართი).

როდესაც კარიერის მოკლე დერძი ორიენტირებულია



ნახ.17.1

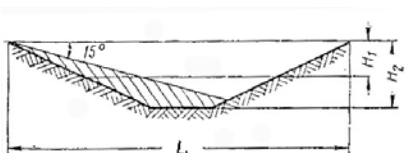
ზედაპირზე გაბატონებული ქარების თანხვდენილად (ნახ. 17.1 ბ)),

რეცირკულაციის ზონის O'A'A'B' მოცულობა აღემატება პირდაპირი დინებით მოძრაობის ზონის O'B'C' მოცულობას, ხოლო რეცირკულაციის ზონის ფართი გეგმაში, შეადგენს კარიერის მთლიანი ფართის 70-80%-ს. ამის შედეგად ბ) შემთხვევაში კარიერებში ბუნებრივი ჰაერცვლა გამნელებულია.

კარიერის ზომები. კარიერის ზომების შესაბამისი შერჩევა ხელს უწყობს მის ატმოსფეროში ჰაერცვლის გაუმჯობესებას. ამ მხრივ განსაკუთრებით მნიშვნელოვან როლს თამაშობს კარიერის ფერდოს დაქანების კუთხის შემცირება. ამ შემთხვევაში შესაძლებელია მივიღოთ ისეთი დაქანების კუთხე, რომ კარიერში დამყარდეს შეტად ეფექტური განიავების პირდაპირი დინებითი სქემა.

გარდა ამისა, განიავებაზე დიდ გავლენას ახდენს კარიერის სიღრმე. რაც უფრო დრმაა კარიერი, მით მცირეა კარიერის შიგნით ჰაერის მოძრაობის სიჩქარე და, შესაბამისად, ცუდია ჰაერცვლა კარიერში.

კარიერში პაურცვლის ინტენსივობა დამოკიდებულია აგრეთვე კარიერის სიღრმის (H), ქარის მოქმედების



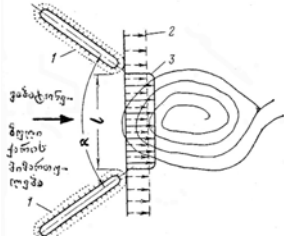
ნახ. 17.2

მიმართულებით კარიერის სიგრძესთან (L) ფარდობაზე. სხვა თანაბარი პირობების დროს რაც ნაკლებია ფარდობა H/L , მით უფრო „ბრტყელია“ კარიერი და ადგილად გასანიავებელია.

ნახ. 17.2-ზე მოცემულია კარიერის გამომუშავების ორი სტადია: $H_1/L = 0,1$ და $H_2/L = 0,2$. როგორც ჩანს ფარდობის H/L გაზრდასთან ერთად, კარიერის სულ უფრო მეტი ნაწილი ხვდება რეცირკულაციის ზონაში (დაშტრიხული ფართი), ხოლო როდესაც $H/L = 0,3$, ანუ უფრო ქვედა პორიზონტზე მუშაობისას, ყველა ქვედა პორიზონტი ხვდება რეცირკულაციის ზონაში, ანუ ცუდად განიავებულ ზონაში.

სავენტილაციო ნაგებობები მიწის ზედაპირზე. კარიერების ვენტილაციის გაუმჯობესება შესაძლებელია მიწის ზედაპირზე სანაყაროს ტიპის ნაგებობების მოწყობის გზით, რომელიც ახდენებ პაერის ნაკადის ტურბულიზაციასა და კარიერის სივრცისაპერ მიმართვას. ამ მიზნით შესაძლებელია გამოვიყენოთ აგრეთვე კარიერის სიახლოვეს განლაგებული შენობები. აღნიშნული ნაგებობები, რომელთაც სხვანაირად პაერმიმმართველებსაც უწოდებენ, საშუალებას იძლევიან ქარის ნაკადის სიჩქარე გავზარდოთ 10-20%-ით (ნახ. 17.3). აღნიშნულ ნაგებობებს შორის უმცირესი მანძილი l არ უნდა აღემატებოდეს

კარიერის სიგანეს. ნაგებობებს შორის ა ქუთხის ოპტიმალური სიდიდე არის დაახლოებით 70° .



ნახ.17.3

გაბატონებული ქარის მიმართულებით კარიერის წინ განლაგებული შენობები და სანაყაროები, ზრდიან პაერის ტურბულიზაციას, რაც ზრდის კარიერში მიწოდებული ქარის ნაკადის გაშლის ქუთხეს. ამის საშუალებით მცირდება რეცირკულაციის ზონის მოცულობა და უმჯობესდება კარიერის განიავება. ასეთი სანაყაროების დაშორება კარიერის პირიდან სანაყაროების ათჯერადი სიმაღლის ტოლი უნდა იყოს.

სითბოს აკუმულირება სპეციალურ მოცულობებში. ბუნებრივი პაერცვლის ინტენსიფიკაციის ქს ხერხი დამყარებულია სპეციალურ მოცულობებში მყოფი სითბოგადამტანების მიერ სითბოს დაგროვებაზე. ამ მიზნით შესაძლებელია გამოვიყენოთ წყლიანი ლითონის ავზები. სითბოგადამტანი ახდენს მზის რადიაციის თბური ენერგიის აკუმულაციას დღის განმავლობაში, ხოლო შემდეგ, საღამოსა და დამის საათებში ამ დაგროვილ სითბოს გადასცემს პაერს, ათბობს მას და ამით ამცირებს დამის ინვერსიების საშიშროებას.

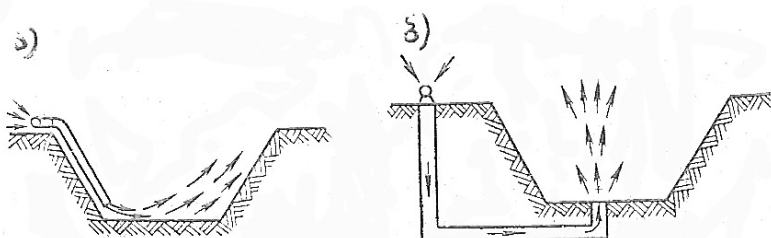
ქანების სიღრმული სითბოს გამოყენება. ცნობილია, რომ ზედაპირიდან მიწის სიღრმეში ჩასვლისას ქანების ტემპურატურა იმატებს. ინვერსიის განვითარების თავიდან აცილებისა და პაერცვლის ინტენსიფიკაციის მიზნით კარიერში პაერის გასათბობად შესაძლებელია გამოვიყენოთ ქანების მასივში

არსებული სითბო. ამ მიზნით რეკომენდებულია ზედაპირიდან გარკვეულ სიღრმეში გავიყვანოთ მიწისქვეშა გვირაბები, რომლებშიც უნდა გავატაროთ ატმოსფერული ჰაერი. ამ შემთხვევაში, გვირაბის თბილ კედლებთან ატმოსფერული ჰაერის კონტაქტირებისას ხდება ჰაერის გათბობა და კარიერის სიგრცეში მისი მოხვედრისას წარმოებს ატმოსფეროს გათბობა და კარიერში ჰაერცვლის გაუმჯობესება.

ამ ხერხის გამოყენებისას მხედველობაში უნდა მივიღოთ, რომ დროთა განმავლობაში, გვირაბის გარშემო მყოფი ქანების ტემპერატურა მცირდება, მათი ჰაერით გაცივების შედეგად, რის გამოც აღნიშნული ხერხის ეფექტურობა მცირდება.

17.3. კარიერების განიავება მილებისა და გვირაბების საშუალებით

ხელოვნური ვენტილაციის ამ ხერხის გამოყენებისას კარიერის ფერდებზე ამონტაჟებენ მილსადენებს ან ზედაპირიდან ფერდების ან კარიერის ძირის მიმართულებით გაყავთ გვირაბები.



ნახ. 17.4

ნახ. 17.4-ზე გამოსახულია კარიერის ვენტილაციის სქემა ვენტილატორის დაჭირხვნაზე მუშაობის დროს. მიწის ზედაპირზე აღებული სუფთა ატმოსფერული ჰაერი სავენტილაციო დანადგარის საშუალებით იჭირხება მილსადენის (ნახ. 17.4 ა)) ან გვირაბის (ნახ. 17.4 ბ)) საშუალებით კარიერში, სადაც გრცელდება თავისუფალი ჭავლის სახით. სავენტილატორ დანადგარი შეიძლება განთავსდეს როგორც კარიერის ზედაპირზე, ასევე მილსადენის (გვირაბის) ნებისმიერ წერტილში. ვენტილატორის შეწოვაზე მუშაობისას, ჭუჭყიანი ჰაერი შეიწოვება კარიერის სივრციდან და გაიტეორცნება მიწის ზედაპირზე ატმოსფეროში. ამ შემთხვევაში საქმე გვაქვს შემწოვენიავების სქემასთან.

დამჭირხნი ვენტილაციის გამოყენებისას სუფთა ჰაერი მიეწოდება უშუალოდ ჰაერის გაჭუჭყიანების ზონაში, რაც უზრუნველყოფს კარიერის შედარებით სწრაფ განიავებას. ამ სქემის გამოყენებისას, ვინაიდან ჰაერის ჭავლს გააჩნია დიდი ექვემდებარებული შესაძლებლობა, იგი შეიწოვს ახლომდებარე ატმოსფერული ჰაერის გაჭუჭყიანებულ მასას, სუფთა ჰაერში განაზავებს მასში მყოფ მავნეობებს და გატემორცნის ამ განზავებულ ჰაერს ზემოთ მდებარე პორიზონტებზე ან კარიერის არასამუშაო ან ნაკლებად გაჭუჭყიანებულ უბანზე.

შემწოვი ვენტილაციის გამოყენების დროს ჰაერის გაჭუჭყიანების ზონიდან შეიწოვება მავნეობებით გაჯერებული ჰაერი, ხოლო მის ადგილს იკავებს მეზობელი უბნიდან გადმოდინებული შედარებით სუფთა ჰაერი. ჰაერის გაჭუჭყიანების ზონის ცენტრში, სადაც ძირითადად თავმოყრილია მავნეობების

გამომყოფი ძირითადი წეაროები, სუფთა პაერის მიწოდება ხდება მხელოდ მთელი გაჭუჭყიანებული პაერის მოცილების შემდეგ. ამის გამო, შემწოვი ვენტილაციის გამოყენებისას, სამუშაო ადგილების განიავება დროში უფრო გაწელილია, ვიდრე დამჭირხნი განიავების დროს. შემწოვი ვენტილაციის დადებითი მხარეა ის, რომ მისი გამოყენებისას გაჭუჭყიანებული პაერი შეიწოვება უშუალოდ სამუშაო ადგილებიდან და გაიტურცნება კარიერის გარეთ. გარდა ამისა, ამ დროს მიიღება პაერის მოძრაობის მცირე სიჩქარები, რის გამოც გამორიცხულია დალექილი მტვრის ნაწილაკების ხელახალი შეტივტივება პაერში და მასში მტვრის კონცენტრაციის გაზრდა.

საერთოდ მიღებისა და გვირაბების გამოყენებით კარიერების განიავება ნაკლებად ეფექტურია, ვინაიდან მისი გამოყენებისას შეზღუდულია სამუშაო ადგილებზე მიწოდებული სუფთა პაერის რაოდენობა, გამოყენებული პაერსადენების გამტარობის შეზღუდულობის გამო. ამიტომ განიავების ეს ხერხი შესაძლებელია გამოვიყენოთ როგორც დამხმარე საშუალება, თანაც იმ შემთხვევაში, როდესაც კარიერში მიწისქვეშა გვირაბების გაყვანა აუცილებელია სხვა მიზნების გამო (მაგალითად, საბადოს ამოშრობისათვის).

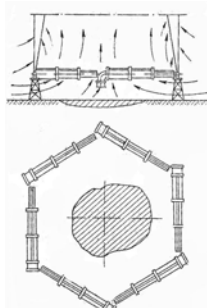
17.4. კარიერების განიავება იზოთერმული ნაკადებით

იზოთერმული ეწოდებათ ატმოსფეროში გავრცელებულ თავისუფალ პაერის ნაკადებს (ჭავლებს), რომელთაც გააჩნიათ

გარშემომყოფი გარემოს ტემპერატურის ტოლი მუდმივი ტემპერატურა.

თანამედროვე კარიერებში იზოთერმული თავისუფალი ჭავლები იქმნება საავიაციო ხრახნებზე შექმნილი მძლავრი საგენტილაციო დანადგარების საშუალებით. ასეთი დანადგარები განთავსებულია მძლავრი სატემპორატურო ავტომანქანების შასიზე და გამოიყენება, როგორც შედარებით მცირე მოცულობის მქონე კარიერის ცალკეული უბნების გასანიავებლად, ასევე ისინი უზრუნველყოფენ ეფექტურ ბრძოლას კარიერის ატმოსფეროში მტვერ-აირის ნარევის წინააღმდეგ. ამ უკანასკნელ შემთხვევაში ჰაერთან ერთად ხდება წყლის უწვრილესი ნაწილაკების გაფრქვევა ჰაერის ჭავლის საშუალებით.

ნახ. 17.5-ზე მოცემულია CBH-6 ტიპის ექსი ვენტილატორისა და მათთან მიერთებული ჰაერგატარებით შექმნილი



ნახ.17.5

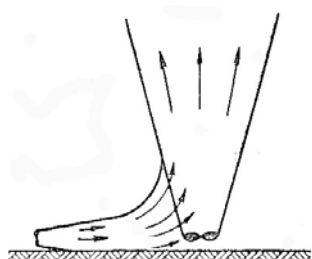
კონტურული სავენტილაციო დანადგარის სქემა. ამ სქემიდან ჩანს, რომ ჰაერგატარ მიღებს გააჩნიათ ზედა მხარეზე დრენაჟი, ვენტილატორის მიერ დაჭირხნილი ჰაერის გამოსაშვებად. ვენტილატორები და აერსადენები განთავსებულია ჩაკეტილი კონტურის სახით 2,3 მ სიმაღლეზე

მავნეობების გამომყოფი წყაროს ირგვლივ. ამ სავენტილაციო დანადგარის მუშაობისას შექმნილი წრიული თავისუფალი ჭავლი ეჟექტირებას უკეთებს გაჭუჭყიანებულ ჰაერს და გატყორცნის მას 60-70 მ სიმაღლეზე. თითოეულ ვენტილატორთან მიერთებული სავენტილაციო მილის სიგრძეა

3,3 მ; მთლიანი სავენტილაციო დანადგარის მიერ შემოსაზღვრული წრის დიამეტრია 20,0 მ; თითოეული ვენტილაციოს მწარმოებლურობაა 6,5 მ³/წმ; მთელი სავენტილაციო დანადგარის მიერ ექვემდებული პაერის ხარჯია 174 მ³/წმ. დანადგარი განკუთვნილია კარიერის ღრმა უბნებში გამოყოფილი მავნეობების გამოსადევნად მისი ატმოსფეროს ზედა შრებებში, სადაც საჭაო ინტენსივობით მოძრაობს პაერი, რომელსაც შეუძლია მავნეობების გამოტანა კარიერის სივრცის გარეთ.

ზოგადად, ჭუჭყიანი ზონების გასანიავებლად გამოიყენება ვერტიკალური, პორიზონტალური ან დახრილი იზოთერმული ნაკადები (ჭავლები).

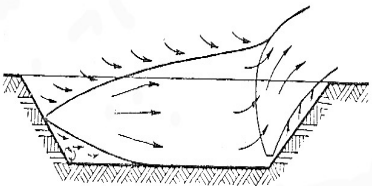
კარიერის ყველაზე ღრმა უბნებში განთავსებული გაჭუჭყიანებული ზონების გასანიავებლად გამოიყენება მძლავრი საბვიაციო ხრახნებით შექმნილი ვერტიკალური იზოთერმული ჭავლები. ამასთან, გაჭუჭყიანებული პაერი გამოიტყორცნება ან



ნახ.17.6

კარიერის ზედა სივრცეში, ან ზედა არამუშა პორიზონტების დონეზე.იმ შემთხვევში, როდესაც გამოყოფილი მავნეობებით გაჭუჭყიანებული ზონის მოცულობა დიდია, განიავების დასაჩქარებლად გამოიყენება ვერტიკალური და პორიზონტალური ჭავლების კომბინაცია (ნახ. 17.6).

განიავების ასეთი სქემის გამოყენებისას პორიზონტალური ჭავლი ხელს უწყობს პაერის გაჭუჭყიანებული მასის



ნახ.17.7

გადაადგილებას ვერტიკალური ჭავლისაკენ და მათ ეფექტურ მოცილებას კარიერის სივრცი-დან. აუცილებლობის შემთხვევაში, პორიზონტალური ჭავლის შემქმნელი სავენტილატორო დანა-

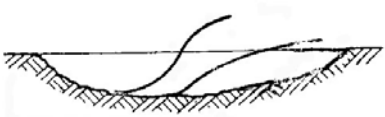
დგარები შესაძლებელია გადაადგილდნენ და მოახდინონ გაჭუჭყიანებული ჰაერის მასების გადაბერვა სხვადასხვა მხრიდან ვერტიკალური ჭავლის შემქმნელი დანადგარის მიმართ. ნახ. 17.6-ზე გამოსახულია ვერტიკალური და პორიზონტალური ჭავლების ერთდროული ზემოქმედება ადგილობრივი განიავების დროს. ამის გარდა, როგორც წესი, კარიერების საერთო ჰაერცვლითი გენტილაცია მოითხოვს მძლავრი ჰაერის ჭავლების კომბინირებულ გამოყენებას (ნახ. 17.7). ამ დროს ერთი ჭავლი მაინც უნდა იყოს ვერტიკალური ან დახრილი, რომელიც ასრულებს ჰაერმომცილებელი ჭაურის როლს, რომლითაც გაჭუჭყიანებული ჰაერი გამოიდევნება კარიერის სივრციდან. დანარჩენი იზოლირებული ჭავლები, პორიზონტალური ან დახრილები, ასრულებენ არხების როლს, რომელთა საშუალებითაც ჭუჭყიანი ჰაერი მიედინება ვერტიკალურ ჭავლთან.

17.5. საავიაციო რეაქტიული ძრავებით შექმნილი არაიზოთერმული ჭავლებით კარიერების განიავების სქემები.

არაიზოთერმული ეწოდება კარიერის ატმოსფეროში გაფრცელებულ პაერის ჭავლს, რომლის ტემპერატურა ცვალებადობს მისი სიგრძის შესაბამისად და მნიშვნელოვნად განსხვავდება გარემოს ტემპერატურისაგან. მაგალითად, საავიაციო რეაქტიული ძრავით შექმნილი პაერის ჭავლის ტემპერატურა შეიძლება აღემატებოდეს გარემოს ტემპერატურას 500°C -ით და უფრო მეტი სიდიდითაც.

კარიერების გასანიავებლად ამჟამად გამოყენებულ გადასაადგილებელ რეაქტიულ სავნებილაციო დანადგარებს გააჩნიათ შემდეგი მახასიათებლები: დანადგარის მიერ შექმნილი ჭავლის გავრცელების მანძილია $700\text{-}800$ მ; პაერის ხარჯია სამუშაო ზონაში $7000\text{-}7500$ $\text{მ}^3/\text{წ}$; პაერის ხარჯი ზედაპირზე შეადგენს $17000\text{-}19000$ $\text{მ}^3/\text{წ}$.

არაიზოთერმული ჭავლის დამახასიათებელ თავისებურებას წარმოადგენს არქიმედული მოცულობითი ძალების წარმოქმნა, რომლებიც მოქმედებენ ვერტიკალურად და ხელს უწყობენ ჭავლის გავრცელებას გარემოში. ამ ძალებს გააჩნიათ საქმაოდ დიდი მნიშვნელობა მაშინ, როდესაც ჭავლის ნაწილაკების ტემპერატურა აღწევს მნიშვნელოვან სიდიდეს გარემოს პაერის ტემპერატურასთან შედარებით.



ნახ. 17.8

ნახ. 17.8-ზე მოცემულია გა-
ხურებული თავისუფალი ჰაერის
ჭავლი, რომლის გადმოდინების
საწყისი კუთხე ნულის ტოლია

(პორიზონტალური ჰაერის ჭავლი).

როგორც ამ ნახაზიდან ჩანს, ჰაერის ჭავლი თავის პორიზონტალურ მიმართულების ინარჩუნებს მხოლოდ საწყის სტადიაში. შემდეგ ჭავლი გადაიღუნება ზედა მხარეს, ხოლო შემდეგ ისევ გადადის პორიზონტალურ მიმართულებაში. ჰაერის ჭავლის ტრაექტორიის ასეთი ხასიათი განპირობებულია მასში კინეტიკური ენერგიასა და მოცულობითი ძალების ენე-
რგიას შორის სხვადასხვა ფარდობით.

არაიზოთერმული (გახურებული) ჰაერის ჭავლებით კარი-
ერების განიავგის დროს, პრიციპში შესაძლებელია განიავგ-
ბის ისეთი სქემების გამოყენება,



ნახ. 17.9

როგორც იზოთერმული ჭავლებით განიავგების დროს. ამავე დროს გახურებული ჰაერის ჭავლების

გამოყენებისას შესაძლებელია ჭავლი მივმართოთ პორიზონტის მიმართ მცირე უარყოფითი კუთხით და სავენტილაციო დანადგარი განვალაგოთ შუალედურ პორიზონტზე (ნახ. 17.9). ამ შემთხვევაში მიიღება ჰაერის დახრილი გახურებული ჭავლი. ამავე დროს საშუალება გვეძლევა გავზარდოთ ჰაერის ჭავლის სიგრძე და უზრუნველვყოთ ქვედა პორიზონტებიდან მავნეობების უფრო კარგი და ეფექტური მოცილება, იმის გამო,

რომ პაერის ჭავლი გავრცელებისას თითქმის მთლიანად მორცხვავს კარიერის ფსკერს.

არაიზოთერმული ჭავლებით განიავების შედარებისას იზოთერმული ჭავლებით განიავებასთან, შეგვიძლია შემდეგი დასკვნის გაკეთება: პაერის ჭავლის სიგრძის მიხედვით არაიზოთერმული პაერის ჭავლები უფრო მძლავრია, ვიდრე იზოთერმული ჭავლები; მოცულობითი ძალების ზემოქმედებით არაიზოთერმული ჭავლები იღებენ კარიერის ფსკერის პროფილის ფორმას, რაც ხელს უწყობს უფრო ეფექტურ განიავებას; პაერის ხარჯი არაიზოთერმულ ჭავლებში გაცილებით მცირება, იზოთერმულ ჭავლებთან შედარებით.

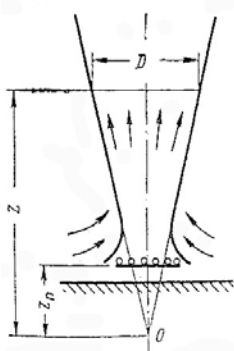
არაიზოთერმული პაერის ჭავლების გამოყენებისას უარყოფით მხარეს წარმოადგენს ის, რომ რეაქტიული ძრავების მუშაობისას კარიერის სიგრცეში გამოიყოფა ტოქსიკური მინარევები გაცილებით დიდი რაოდენობით, ვიდრე საავიაციო ხრახნების მუშაობისას.

17.6. სითბოს ხელოვნური წყაროებით შექმნილი კონვექციური ჭავლებით კარიერების განიავება

კონვექციური პაერის ჭავლი ეწოდება პაერის ჭავლს, რომელიც იქმნება გამთბარი პაერის მასების თავისუფლად ზევით მოძრაობისას. კონვექციური ჭავლის გათბობა რათა იგი გამოყენებულ იქნეს კარიერის ხელოვნური განიავებისათვის, წარმოებს სპეციალურ მოწყობილობებში სათბობის დაწვით.

ამ სპეციალურ მოწყობილობებში სათბობის დაწვისას ხდება სანთურის გარშემო მყოფი ჰაერის მნიშვნელოვანი გათბობა და აქედან გამომდინარე მისი სიმკვრივის შემცირება მთელ საპაერო გარემოსთან შედარებით. ამასთან დაკავშირებით სანთურების მოქმედების ზონაში წარმოიქმნება დიდი არქიმედული ძალები, რომლებიც ვერტიკალურად ზევით არიან მიმართული. ამ ძალების ზემოქმედებით ჰაერის გამობარი მასები გადაადგილდებიან ზევით რითაც იქმნება გაიშვიათება სანთურების განლაგების ზონაში და ამ ზონას ავსებს მეზობლად განლაგებული მაღალი წნევის ქვეშ მყოფი ჰაერის მასები და პროცესი გრძელდება.

პონგექციური ჭავლის ძირის გარშემო ცივი ჰაერის მასების შემოდინება განსაკუთრებული ინტენსივობით ხდება ჭავლის ქვედა ნაწილში, რაც იწვევს მის შეკუმშვას (ნახ. 17.10).



ამ ნახაზიდან ჩანს, რომ შეკუმშვის არეს ზევით ჭავლის გაშლის კუთხე სტაბილურია და შეადგენს დაახლოებით 25° -ს. 0 წერტილს, რომელშიც ხდება ჭავლის შემქმნელი სხივების გადაკვეთა, ეწოდება ჭავლის პოლუსი.

ნახ.17.10 დაკვირვებები გვიჩვენებს, რომ ინგერსიები სწრაფად ირდვევა ზედა ჰორიზონტებზე. ეს საშუალებას გვაძლევს განიავების პირველ პერიოდში, სითბოს გამოყოფი ზედაპირის დიამეტრის შემცირებით, შევამციროთ ქვედა

პორიზონტზე პაერის ცივი მასების ექექცია და ზედა პორიზონტებზე გავტყორცნოთ შედარებით თბილი პაერი.

განიავების ამ ხერხის გამოყენებისას მხედველობაში უნდა მივიღოთ, რომ დიდი რაოდენობით სითბოს დაწვისას გამოიყოფა ტოქსიკური აირების მნიშვნელოვანი რაოდენობა, რის გამოც თბური დანადგარების გამოყენებისას პიგიენური ასპექტები მოითხოვს შესწავლას.

18. მამდიღრებელი და საპრიკეტო ზაპრიკების განიავება

18.1. სამრეწველო ვენტილაციის დანიშნულება, მისი მეთოდები და საშუალებები

მანქანა-მექანიზმების, დანადგარებისა და სხვადასხვა მოწყობილობების მუშაობის შედეგად საწარმოო სათავსებში შეიძლება გამოიყოს სითბო, ორთქლი, მტკერი და მომწამლავი ან ფეთქებადი აირები. აღნიშნული მავნეობების ადამიანის ორგანიზმზე ზემოქმედება იწვევს მისი შრომის ნაყოფიერების შემცირებას და სხვადასხვა სახის პროფესიულ დაავადებას. სამრეწველო ვენტილაციის დანიშნულებაა დაამყაროს სათავსებში ნორმალური კლიმატური პირობები. გარდა ამისა ვეტილაცია ხელს უწყობს სხვადასხვა ტექნოლოგიური პროცესების ნორმალიზაციას, პროდუქტების შენახვასა და სამშენებლო კონსტრუქციების დაცვას. ვეტილაცია წარმოადგენს ერთ-

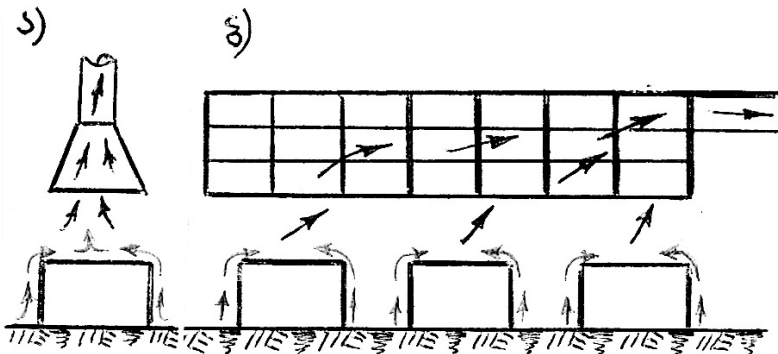
ერთ ძირითად საშუალებას, რომელიც უზრუნველყოფს ადამიანის ორგანიზმის ნორმალურ თბორებულაციას. ვენტილაციის საშუალებით საწარმოო სათავსებში განუწყვეტლივ უნდა მიეწოდოს სუფთა ჰაერი, ხოლო გაჭუჭყიანებული ჰაერი კი მოკლე დროის განმავლობაში უნდა გამოიდევნოს საწარმოო სათავსებიდან.

არსებობს სამრეწველო ვენტილაციის სხვადასხვა მეთოდი და საშუალება. ვენტილაციის ყველაზე ეფექტურ მეთოდად შეიძლება ჩაითვალოს მავნეობათა მოცილება უშუალოდ მათი წარმოშობის ადგილზე. ამ შემთხვევაში მინიმალური რაოდენობის სუფთა ჰაერით ჩვენ შეგვიძლია გამოვიტანოთ მავნე აირების დიდი რაოდენობა. ვენტილაციის ასეთ მეთოდს ადგილობრივი გამწოვი ვენტილაცია ეწოდება.

იმ შემთხვევაში, როდესაც მავნეობის გამომყოფი წყარო იმყოფება კარადისა და გარსაცმის შიგა სივრცეში, გამოიყნება ადგილობრივი გამწოვი ვენტილაცია გამწოვი კარადებისა და გამწოვი გარსაცმების სახით (ნახ. 18.1).

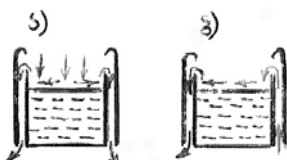


ნახ.18.1 გარსაცმში შეუძლებელია, ამიტომ მავნეობის წყაროს თავზე ეწყობა ე.წ. ადგილობრივი გამწოვი ქვედები (ზონდები), რომელიც შეიძლება ემსახურებოდეს ერთ ან რამდენიმე ობიექტს ერთდროულად (ნახ. 18.2, ა) და ბ)).



ნახ. 18.2

იმ შემთხვევაში, როდესაც დასამუშავებელი მასალის ჩატვირთვა ან გადმოტვირთვა ხორციელდება ამწე-სატრანპორტო მოწყობილობებით, უშუალოდ დანადგარებისა და აპარატების თავზე გამწოვი მოწყობილობების დაყენება შეუძლებელია, ამიტომ გამოყოფილი მაგნეობების მოცილება უშუალოდ მათი წარმოშობის ადგილებიდან ხორციელდება, ე.წ. გვერდითი გამზოვებით (ნახ. 18.3 ა)) ან გადამბერი მოწყობილობებით (ნახ. 18.3 ბ)).



ნახ.18.3

იმ დროს, როდესაც ადგილობრივი გამწოვის მოწყობა შეუძლებელია ან არახელსაყრელია და მაგნეობა ვრცელდება მთელ სათავსში, მაშინ გამოიყენება საერთო გამწოვი ვენტილაცია. მაგნეობის მოცილება კი ხდება იმ ადგილიდან, სადაც მავნე აირების კონცენტრაცია ან სითბო აჭარბებს დასაშვებ ხორმებს.

18.2. მექანიკური და ბუნებრივი გენტილაციის ზოგადი ცნობები

იმისათვის, რომ სათავსებში შევქმნათ ნორმალური კლი-
მატური პირობები, აუცილებელია სუფთა პაერის განუწ-
ყვეტელი მიწოდება და გაჭუჭყიანებული პაერის სათავსებიდან
მოკლე დროის განმავლობაში განდევნა.

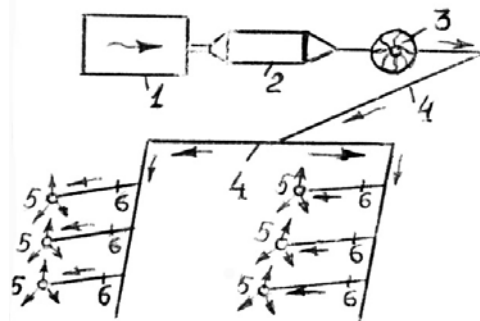
პაერის მოძრაობა სათავსებში ხორციელდება მექანიკური
ან ბუნებრივი გენტილაციის გამოყენებით.

მაშინ, როდესაც სათავსში პაერს ვაწვდით ვენტილა-
ტორების საშუალებით, ასეთ განიავებას მექანიკური ანუ ხე-
ლოვნური ვენტილაცია ეწოდება. თუ სათავსში პაერის მიწო-
დება ხორციელდება შიგა და გარე პაერის ტემპერატურათა
სხვაობის ანუ პაერის მოცულობითი წონების სხვაობის ხარ-
ჯზე, ასეთ განიავებას ბუნებრივი ვენტილაცია ეწოდება.
ბუნებრივი ვენტილაციის შედეგად სათავსში მიწოდებული პაე-
რის რაოდენობის რეგულირებას აერაცია ეწოდება.

ბუნებრივი განიავება ხორციელდება გრავიტაციული ძა-
ლებით და ქარის ზემოქმედების შედეგად. როდესაც შენობა
იმყოფება ქარის ზემოქმედების ქვეშ, იმ მხრიდან, საიდანაც
შენობას ხვდება ქარი, ხდება პაერის ნაკადის დამუხრუჭება,
ე.ი. ქარის კინეტიკური ენერგია გადადის წნევის პოტენციალურ
ენერგიაში, რის გამოც შენობის შებლურ მხარეზე წნევა გა-
ცილებით მეტია, ვიდრე გვერდებზე და მის მოპირდაპირე
მხარეზე. თუ შენობას აქვს ღიობები ან ხვრელები, პაერი
ქარის ზემოქმედების მხრიდან შედის შენობაში და მეორე

მხრიდან გამოდის, ამგვარად მყარდება პაერის მოძრაობა მა-
რალი წნევიდან დაბალი წნევისაკენ.

როდესაც განიავება წარმოებს დაჭირხენაზე მომუშავე ვე-
ნტილატორით, ასეთ ვენტილაციას დამჭირხნი ვენტილაცია
ეწოდება. ამ შემთხვევაში სავენტილაციო დანადგარი და ვე-
ნტილაციის სქემა (ნახ. 18.4) შედგება შემდეგი ძირითადი ნაწი-
ლებისაგან: 1. პაერის მიმღები; 2. პაერის დამამუშავებელი კამე-
რა (პაერის გათბობა, გაცივება, დანამვა, გაშრობა); 3. დაჭირ-
ხენაზე მომუშავე ვენტილატორი; 4. სავენტილაციო მიღების
ქსელი; 5. პაერის მიმწოდებლები; 6. პაერის რაოდენობის მარგ-
გულირებელი ფანჯრები.

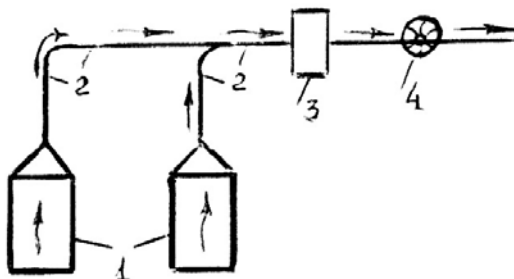


ნახ. 18.4

სათავსში მისაწოდებელი პაერი, უმეტეს შემთხვევაში, მო-
ითხოვს დამუშავებას. მაგალითად, წლის ცივ პერიოდში – გა-
თბობას, რაც ხორციელდება კალორიფერების საშუალებით;
ზაფხულის პერიოდში ზოგჯერ საჭიროება მოითხოვს მისაწო-
დებელი პაერის გაგრილებას, რაც ძირითადად წარმოებს წყლი-
თა და მფრქვევანებით.

ჰაერის დამამუშავებელ დანაღგარებს, რომლებიც თავმოყრილია ერთ კამერაში, სადაც ავტომატურად ხდება ჰაერის გაწმენდა, გათბობა, გაცივება, დანამვა ან გაშრობა კონდიციონერები ეწოდებათ.

იმ შემთხვევაში, როდესაც შენობის განიავება ხორციელდება მექანიკური ვენტილაციით და ჰაერის გაწოვა წარმოებს შეწოვაზე მომუშავე ვენტილატორით, ვენტილაციას შემწოვი ან გამწოვი ვენტილაცია ეწოდება. ამ დროს სავენტილატორო დანაღგარი და ვენტილაციის სქემა (ნახ. 18.5) შედგება შემდეგი ძირითადი ნაწილებისაგან: 1. ადგილობრივი გამწოვები; 2. სავენტილაციო მილების ქსელი; 3. ფილტრი; 4. შეწოვაზე მომუშავე ვენტილატორი.



ნახ. 18.5

18.3. სათავსებში მავნეობის განსაზღვრის მეთოდი

საერთო ჰაერცლითი ვენტილაციის გამოყენებისას აუცილებელია ვიცოდეთ დროის ერთეულში გამოყოფილი მავნეობების რაოდენობა, რისთვისაც საჭიროა გავტომოთ 1 სო-ის

განმავლობაში სათავსში გამავალი პაერის რაოდენობა, პაერის ტემპერატურა და მავნეობის კონცენტრაცია სათავსში შემავალ და სათავსიდან გამომავალ პაერის ჭავლში.

დაფუშვათ სათავსში შედის L კგ/სთ ან L მ³/სთ პაერის რაოდენობა. თუ სათავსში შემავალი პაერის ტემპერატურას ავ-ლნიშნავთ t_1 -ით, მავნეობის კონცენტრაციას K_1 -ით და სათავ-სიდან გამომავალ პაერის ჭავლისათვის შესაბამისად t_2 და K_2 , მაშინ სითბოს ან მავნეობის ჭარბი რაოდენობა იანგარიშება ფორმულებით

$$Q=0,24L(t_2-t_1), \quad \text{კკალ/სთ},$$

$$K=L(K_2-K_1), \quad \text{კგ/სთ}.$$

როდესაც განიავების ანგარიში წარმოებს სათავსში გამოყოფილი სითბოს მიხედვით, საჭიროა ვიცოდეთ ყველა ის წყარო, რომელიც გამოყოფს ან შთანთქავს სითბოს. ჩვეულებრივი ანგარიშისას ვღებულობთ, რომ სათავსში გამოყოფილი სითბოს რაოდენობა ტოლია შთანთქმული სითბოს რაო-დენობისა. სათავსის თბური ბალანსი შეიძლება წარმოვადგინოთ შემდეგნირად.

$$Q=Q_1+Q_2+Q_3\pm Q_4-Q_5, \quad \text{კკალ/სთ},$$

სადაც Q_1 არის საწარმოო პროცესების შედეგად გამოყოფილი სითბო; Q_2 – ხელოვნური განათების წყაროების მიერ გამოყოფილი სითბო; Q_3 – ხალხის მიერ გამოყოფილი სითბო; Q_4 – შემომღები კონსტრუქციების მიერ გამოყოფილი ან შთანთქმული სითბო; Q_5 – სათავსში შემოსული ტრანსპორტის (ვაგონი ან მანქანა) გასათბობად დახარჯული სითბო.

გახურებული ზედაპირებიდან გამოყოფილი სითბოს რაოდენობა განისაზღვრება ფორმულით

$$Q=F\cdot\alpha\cdot\Delta t, \quad \text{კპალ/სთ},$$

სადაც F არის სითბოს გამომყოფი ზედაპირის ფართი, მ^2 ; α – სითბოს გაცემის კოეფიციენტი, $\text{კპალ}/\text{მ}^2$ სთ გრად.; Δt – გახურებული ზედაპირისა და გარემოს პარის ტემპერატურებს შორის სხვაობა, გრად.

დადგენილია, რომ დაზგების მუშაობისას ხახუნზე დახარჯული სიმძლავრე თითქმის მთლიანად გადადის სითბოში. მაგალითად, 1 ცხ.ძ. ექვივალენტურია 632 კპალ/სთ და 1 კვტ – 860 კპალ/სთ. აქედან გამომდინარე ელექტროძრავების მუშაობისას გამოყოფილი სითბო იანგარიშება ფორმულით

$$Q=860N(1-\eta), \quad \text{კპალ/სთ}.$$

სადაც N არის ელექტროძრავების დადგმული სიმძლავრე, კვტ; η – ძრავების მ.ქ.ქ.

ხელოვნური განათების წყაროებით გამოყოფილი სითბოს რაოდენობა იანგარიშება ფორმულით

$$Q=860N, \quad \text{კპალ/სთ},$$

სადაც N არის განათების წყაროების ჯამური სიმძლავრე, კვტ.

ხალხის მიერ გამოყოფილი სითბოს რაოდენობა მირითადად დამოკიდებულია ფიზიკური მუშაობის ინტენსივობაზე. მშვიდ მდგომარეობაში ყოფნისას ადამიანი გამოყოფს 100 კპალ/სთ, ინტენსიური მუშაობისას კი – 300-400 კპალ/სთ.

18.4. ჰაერის რაოდენობის განსაზღვრა ჭარბი სითბოს მიხედვით

სათავსის გასანიავებლად საჭირო მისაწოდებელი ჰაერის რაოდენობა ჭარბი სითბოს მიხედვით განისაზღვრება ფორმულით

$$L = \frac{Q_{\text{Warb}}}{C(t_{\text{am}} - t_{\text{Sem}})}, \text{ ჯ/სთ,} \quad (18.1)$$

სადაც C არის მშრალი ჰაერის თბოტევადობა, $C=0,24$ კკალ/კგ·გრად; t_{am} – შენობიდან ამომავალი ჰაერის ტემპერატურა; t_{Sem} – შენობაში შემავალი ჰაერის ტემპერატურა.

როგორც (18.1) ფორმულიდან ჩანს, რაც მეტია სხვაობა მნიშვნელში, ე.ი. რაც მეტია სხვაობა შემავალ და ამომავალ ჰაერის ტემპერატურებს შორის, მით ნაკლები ჰაერია საჭირო სათავსის გასანიავებლად.

ჩვენ ხელოვნურად შეგვიძლია ვარეგულიროთ შემავალი ჰაერის ტემპერატურა (t_{am}), რაც შეეხება სათავსიდან გამომავალ ჰაერის ტემპერატურას, იგი დამოკიდებულია სათავსის შიგნით ჰაერცვლის ჯერადობაზე და განისაზღვრება ფორმულით

$$t_{\text{am}} = t_{\text{Sem}} + \frac{Q_{\text{Wr}}}{C \cdot LL}$$

წლის ციკ პერიოდში, ზოგჯერ საჭიროა სათავსში მოსაწოდებელი ჰაერის გათბობა. სითბოს რაოდენობა, რომელიც საჭიროა ჰაერის გასათბობად, განისაზღვრება ფორმულით

$$Q=L(I_2-I_1), \text{ კპალ/სთ}$$

სადაც L არის გასათბობი ჰაერის რაოდენობა, კგ/სთ; I_1 და I_2 – ჰაერის თბოშემცველობა გათბობის დასაწყისში და გათბობის ბოლოს, კპალ/გბ.

18.5. საერთო მექანიკური ვენტილაცია

საერთო ან საერთოცვლითი მექანიკური ვენტილაცია გამოიყენება ყველა შემთხვევაში, როდესაც ადგილობრივი გამწოდების გამოყენება არახელსაყრელია, ან შეუძლებელი. საერთო მექანიკურ ვენტილაციას იყენებენ როგორც სამრეწველო, ასევე საცხოვრებელ შენობებში.

თუ შენობაში გამოიყოფა სხვადასხვა სახის მავნეობა, მაშინ გასანიავებლად საჭირო ჰაერის საანგარიშო რაოდენობა განისაზღვრება იმ მავნეობის მიხედვით, რომელიც მოითხოვს ჰაერის მეტ რაოდენობას და იგი განისაზღვრება ფორმულით

1. გამოყოფილი ჭარბი სითბოს მიხედვით:

$$L = \frac{Q_{\text{Warb}}}{C(t_{\text{am}} - t_{\text{Sem}})}, \quad \text{კგ/სთ};$$

2. გამოყოფილი აირების მიხედვით;

$$L = \frac{K \cdot \gamma}{K_{\text{am}} - K_{\text{Sem}}}, \quad \text{გვ/სთ},$$

სადაც K არის მავნეობის საერთო რაოდენობა მუშა ზონაში; K_{am} – სათავსიდან ამომავალ ჰაერის ჭავლში აირების კონცენტრაცია, $\text{გ}/\text{მ}^3$; K_{am} – აირების კონცენტრაცია შენობაში შემა-

ვალ პაერის ჭავლში, δ/θ^3 ; γ – პაერის მოცულობითი წონა, $\delta\theta/\theta^3$.

სათავსებში, რომლებშიც გამოიყოფა ჭარბი სითბო, მავნეობების მაღალ კონცენტრაციებს ადგილი აქვს შენობის ზედა ნაწილში, მაშინაც კი, როდესაც აირები პაერზე მძიმეა. დადგენილია, რომ პაერის ერთი გრადუსით გათბობა 1 θ^3 პაერის წონას ამცირებს 3 გრამით. ამიტომ თუ აირი ან ორთქლი მძიმეა პაერზე და ეხება გახურებულ ზედაპირს, იგი ოდნავ მაინც თბება და მიისწრაფის ზედა ნაწილისაკენ. შენობის ქვედა სირცეში ასეთი აირები და ორთქლი შეიძლება იმყოფებოდეს მხოლოდ მაშინ, თუ არ არსებობს გახურებული ზედაპირი.

18.6. ზოგადი ცნობები აერაციის შესახებ

როგორც ზემოთ იყო აღნიშნული, ბუნებრივი განიავების შედეგად საწარმოო სათავსებში მიწოდებული პაერის რეგულირებას აერაცია ეწოდება. ბუნებრივი განიავების დადებითი მხარე მდგომარეობს მასში, რომ ყოველგვარი ენერგიის ხარჯვის გარეშე საწარმოო სათავსებში შეგვიძლია მივაწოდოთ მილონობით მ³ პაერი.

წლის თბილ პერიოდში ბუნებრივი განიავება ფართოდ გამოიყენება სხვადასხვა შენობის გასანიავებლად. ბუნებრივი განიავება შეიძლება გამოვიყენოთ ზამთრის პერიოდშიც, თუ სათავსში ადგილი აქვს ჭარბი სითბოს გამოყოფას. ამ შემთხვევაში შენობაში სუფთა პაერის მიწოდება ხორციელდება იატაკიდან 6-7 მ-ის სიმაღლეზე მოთავსებული ხერელების სა-

შეალებით, იმ ვარაუდით, რომ ვიდრე პაერი მიაღწევდეს მუშა ზონას, იგი უნდა შეერთოს სათავსის შიგნით მყოფ თბილ პაერს და მუშა ზონის დონეზე მიიღოს სანიტარული ნორმებით დასაშვები ტემპერატურა.

სშირ შემთხვევაში სათავსებში ადგილი აქვს გ.წ. ჩაკე-ტილ ცირკულაციას, ე.ი. როდესაც პაერი ეხება სითბოს წყაროს, თბება, გამობარი პაერი მიისწრაფვის ზევით, იშლება ჭერის მთელ ფართზე, რის გამოც ნაწილობრივ ცივდება, ცივი პაერი კი უბრუნდება სითბოს წყაროს, ისევ თბება და ა.შ. თუ სათავსს აქვს დიობები (ხვრელები), ნაწილი გამობარი პაერისა გადის შენობის გარეთ და იმდენივე პაერი შემოდის შენობაში.

18.7. ქარის ზემოქმედებით გამოწვეული პაერის მოძრაობა

ქარის წარმოშობა გამოწვეულია სხვადასხვა განედზე მზის სხივებით დედამიწის ზედაპირის არათანაბარი გათბობის შედეგად. მიწასთან ახლომყოფ ატმოსფერულ შრეებში ტემპერატურა სხვადასხვაა, რაც იწვევს წონასწორობის დარღვევას და პაერის მოძრაობას: თბილი პაერი ადის ზევით და მის მაგივრად შედარებით ცივი ადგილებიდან მოედინება ახალი პაერის ნაკადი. ქარი წარმოადგენს დედამიწის ზედაპირის გასწვრივ პაერის ტურბულენტურ მოძრაობას.

ჩვენ უკვე ავღნიშნეთ, რომ თუ შენობა იმყოფება ქარის ზემოქმედების ქვეშ, შენობის შუბლურ მხარეზე ადგილი აქვს ნაკადის დამუხრუჭებას, რაც წარმოშობს ჭარბ წნევას, ხოლო

შენობის მოპირდაპირე მხარეზე წარმოიშობა გაიშვიათება. თუ ამ დროს, შენობას შებლური მხრიდან აქვს დიობები (ხვრელები). ამ მხრიდან პაერი შევა შენობაში, ხოლო მეორე მხრიდან კი – გამოვა.

როდესაც სათავსის შიგნით პაერის ტემპერატურა მეტია სათავსის გარეთ არსებულ პაერის ტემპერატურაზე, ადგილი აქვს პაერის ბუნებრივ მოძრაობას, ე.ი. პაერი შედის შენობის ქვედა ნაწილში არსებული ხვრელების საშუალებით და გამოდის შენობიდან გარეთ, ზევით განლაგებული ხვრელების ან ფანჯრების საშუალებით. ამ შემთხვევაში მამოძრავებელ ძალას წარმოადგენს გრავიტაციული ძალა.

$$\Delta P = H(\gamma_{\text{გარ}} - \gamma_{\text{შენ}}), \quad \text{გგ/მ}^2,$$

სადაც H არის ზედა და ქვედა ხვრელებს შორის მანძილი, მ; $\gamma_{\text{შენ}}$ – სათავსის შიგა პაერის მოცულობითი წონა, გგ/მ^2 ; $\gamma_{\text{გარ}}$ – გარე პაერის მოცულობითი წონა, გგ/მ^2 .

ადნიშნული სხვაობა ისარჯება იმ წინადობის გადასალახად, რომლებიც პაერს ხვდება მისი მოძრაობის დროს ქვედა ხვრელიდან ზედა ხვრელამდე. თუ ქარის წნევას შენობაში შემავალ ხვრელში ავღნიშნავთ P_1 -ით, ხოლო პაერის წნევას შენობიდან გამომავალ ხვრელში – P_2 -ით, მაშინ პაერის მოძრაობის გამომწვევი წნევათა სხვაობა იქნება

$$\Delta P = P_1 - P_2, \quad \text{გგ/მ}^2$$

როდესაც ქარი და გრავიტაციული ძალები მოქმედებენ ერთდროულად, მათ მიერ ერთობლივად წარმოქმნილი წნევათა სხვაობა ტოლი იქნება

$$\Delta P = H(\gamma_{\text{გარ}} - \gamma_{\text{შენ}}) + (P_1 - P_2), \quad \text{გგ/მ}^2$$

18.8. აერაციის ანგარიშის ძირითადი დებულებანი

1. სათავსში შესული პაერის წონითი რაოდენობა ტოლი უნდა იყოს სათავსიდან ამომავალი პაერის რაოდენობისა იმავე დროის განმავლბაზი:

$$\sum L_{\text{Sem}} = \sum L_{\text{am}};$$

2. გარედან მიწოდებული პაერისა და სათავსში გამოყოფილი სითბოს რაოდენობათა ჯამი ტოლი უნდა იყოს სათავსიდან ამომავალი პაერის სითბოს რაოდენობისა:

$$\sum L \cdot Q_{\text{Sem}} + \sum Q_{\text{War}} = \sum L \cdot Q_{\text{am}};$$

3. სხვადასხვა მავნეობებისათვის საჭიროა დამყარდეს შემდეგი ბალანსი:

$$\sum L \cdot K_{\text{Sem}} + \sum K_{\text{War}} = \sum L \cdot K_{\text{am}};$$

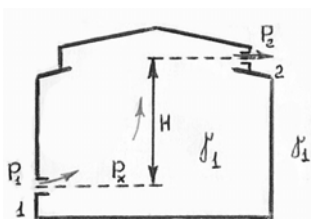
რომელიმე F , θ^2 ხვრელში გამავალ პაერის რაოდენობასა და შენობის შიგა და გარე პაერის წნევათა სხვაობას შორის დამოკიდებულება გამოისახება ფორმულით

$$L = \mu F \sqrt{2g\gamma\Delta P} = F \sqrt{\frac{2g\gamma\Delta P}{\Psi}}, \quad \text{ძგ/წმ}$$

სადაც μ არის ხარჯის კოეფიციენტი; Ψ – ადგილობრივი წინაღობის კოეფიციენტი; ΔP – შენობის გარე და შიგა პაერის წნევათა სხვაობა.

ეხლა განვსაზღვროთ ჭარბი წნევა შენობაში რომელიმე დონეზე. ავიდოთ ყველაზე მარტივი შემთხვევა, როდესაც შე-

ნობა იმყოფება ქარის ზემოქმედების ქვეშ და შენობაში სითბოს წყარო არ არსებობს (ნახ. 18.6).



ნახ.18.6

1-ლ და მე-2 ხვრელებს

შორის სიმაღლე ავღნიშნოთ H -ით, პარას მოცულობითი წონა სათავ- სში და მის გარეთ γ_1 -ით. საწყისი დონე ავიდოთ 1-ლი ხვრელის შეაზე და დაგუშვათ აქ ჭარბი წნევა იქნება ნულის ტოლი, 1-ლ ხვრელში წნევა – P_1 -ით; მე-2 ხვრელში – P_2 -ით. შიგა ჭარბი წნევა 1-ლი ხვრელის დონეზე ავღნიშნოთ P_x -ით, მაშინ საწყის დონეზე გარე წნევა იქნება (P_1+0), ხოლო წნევათა სხვაობა 1-ლ ხვრელში იქნება:

$$\Delta P_1 = P_1 + 0 - P_x = P_1 - P_x$$

მე-2 ხვრელში შიგა წნევა იქნება ($P_x - H\gamma_1$), ხოლო გარე წნევა ($0 - H\gamma_1 + P_2$), მაშინ წნევათა სხვაობა მე-2 ხვრელში იქნება:

$$\Delta P_2 = (P_x - H\gamma_1) - (0 - H\gamma_1 + P_2) = P_x - P_2$$

დავწეროთ პარას ბალანსის განტოლება ($L_1=L_2$) 1-ლი და მე-2 ხვრელებისათვის გაშლილი სახით

$$\mu_1 F_1 \sqrt{2 g \gamma_1 (P_1 - P_x)} = \mu_2 F_2 \sqrt{2 g \gamma_1 (P_x - P_2)}$$

მივიღოთ, რომ $\mu_1 = \mu_2$ და გავყოთ მიღებული ტოლობის ორივე მხარე ($\mu_1 \sqrt{2 g \gamma_1}$)-ზე და განვსაზღვროთ P_x

$$P_x = \frac{F_1^2 P_1 + F_2^2 P_2}{F_1^2 + F_2^2} \quad (18.2)$$

(18.2) გამოსახულების მრიცხველი და მნიშვნელი გაგეოთ

$$F_1^2\text{-ზე და ავდნიშნოთ } \frac{F_2}{F_1} = n, \text{ მაშინ}$$

$$P_x = \frac{P_1 + n^2 P_2}{1 + n^2} \quad (18.3)$$

(18.3) გამოსახულებით ჩვენ შეგვიძლია განვსაზღვროთ ჭარბი წნევა P_x რადაც დონეზე, რომელიც მდებარეობს 1-ლ და მე-2 ხვრელებს შორის.

ამ შემთხვევაში (ნახ. 18.6) შეიძლება გვქონდეს შემდეგი ვარიანტები:

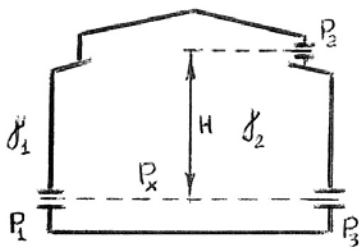
1. თუ მე-2 ხვრელს დაგეეტავთ, ე.ო. როდესაც $F_2=0$, მაშინ $P_x=P_1$;

2. თუ 1-ლ ხვრელს დაგეეტავთ, ე.ო. როდესაც $F_1=0$, მაშინ $P_x=P_2$;

$$3. \text{ როდესაც } F_1=F_2, \text{ მაშინ } P_x = \frac{P_1 + P_2}{2}$$

როგორც ამ მსჯელობიდან და ფორმულებიდან გამომდინარეობს, თუ ვიცით წნევები 1-ლ და მე-2 ხვრელებში, რომელიდაც დონეზე საწყისი ჭარბი წნევა P_x დამოკიდებულია ამ ხვრელების ფართობთა ფარდობის კვადრატზე (n^2) და P_x -მა შეიძლება მიიღოს ყველა რიცხვითი მნიშვნელობა P_1 -დან P_2 -მდე.

ეხლა განვიხილოთ ზოგადი შემთხვევა, როდესაც შენობა გარემოსთან დაკავშირებულია არა ორი, არამედ სამი ხვრელით (ნახ. 18.7). ამ შემთხვევაში ანალოგიური მსჯელობით შეგვიძლია განვიხილოთ შემდეგი ვარიანტები:



ნახ.18.7

1. ოუ დაგხურავთ მე-2 და
მე-3 ხვრელებს, მაშინ $P_x = P_1$;
2. ოუ დაგხურავთ 1-ლ და
მე-3 ხვრელებს, მაშინ $P_x = P_2$;
3. ოუ დაგხურავთ 1-ლ და
მე-2 ხვრელებს, მაშინ $P_x = P_3$;
დავამტკიცოთ, რომ მიღებული

პასუხები P_x -ის მიმართ სამართლიანია მაშინაც, როდესაც შენობა იმყოფება ქარის ზემოქმედების ქვეშ და სათავსში ადგილი აქვს სითბოს გამოყოფას.

1-ლ ხვრელში წნევათა სხვაობა $\Delta P_1 = P_1 - P_x$; მეორე ხვრელში შიგა წნევა იქნება ($P_x - H\gamma_1$), ხოლო გარე წნევა ($0 - H\gamma_1 + P_2$), მაშინ წნევათა სხვაობა მე-2 ხვრელში იქნება

$$\Delta P_2 = (P_x - H\gamma_2) - (H\gamma_1 + P_2) = P_x - H\gamma_2 + H\gamma_1 - P_2 = P_x + H(\gamma_1 - \gamma_2) - P_2$$

ეს განტოლება გადავწეროთ შემდეგნაირად:

$$\Delta P_2 = P_x - [H(\gamma_1 - \gamma_2) + P_2] \quad (18.4)$$

(18.4)-ში კვადრატულ ფრჩხილებში მოთავსებული გამოსახულება ავლინიშნოთ P_2^ϕ -ით, ე.ი.

$$\Delta P_2 = P_x - P_2^\phi \quad (18.5)$$

ანალოგიური გამოსახულება ჩვენ მივიღეთ მაშინაც, როდესაც შენობა იმყოფებოდა ქარის ზემოქმედების ქვეშ და სათავსში არ გვქონდა სითბოს გამომყოფი წყარო, ამიტომ P_2^ϕ -ს უწოდებენ ქარის ზემოქმედების შედეგად გამოწვეულ ფიქტურ წნევას და ნებისმიერი i ხვრელისათვის, რომელიც იმყოფება საწყისი დონის ზევით შეიძლება განესაზღვროთ ფორმულით

$$P_2^\phi = P_i - H_i(\gamma_1 - \gamma_2),$$

ხოლო, როდესაც ხვრელი იმყოფება საწყისი დონის ქვე-
გიო

$$P_2^\phi = P_i + H_i(\gamma_1 - \gamma_2)$$

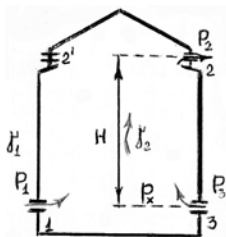
თუ ხვრელების კვეთებს ვარებულირებთ, ჩვენ შეგვიძლია
მივიღოთ P_x -ის ისეთი მნიშვნელობა, რომ შენობაში (ნახ. 18.7)
ჰაერი შევიდეს არამარტო 1-ლი ხვრელით, არამედ მე-3 ხვრე-
ლითაც. ასეთი განიავება იქნება ყველაზე ხელსაყრელი. სხვა-
ნაირი რეგულირების შემთხვევაში მე-3 ხვრელმა შეიძლება
იმუშაოს გაწოვაზე, რაც არახელსაყრელია, განსაკუთრებით
მაშინ, როდესაც მავნეობის გამყოფი წყარო მოთავსებულია 1-
ლ და მე-3 ხვრელებს შორის.

აერაციის ანგარიშის დროს ჩვენ ვხვდებით ძირითადად
ორ შემთხვევას:

1. მოცემულია ჰაერის რაოდენობა L და ვეძებთ ხვრელის
განივი კვეთის ფართს F ;
2. მოცემული გვაქვს ხვრელის ფართი F და ვეძებთ
მისაწოდებელი ჰაერის რაოდენობას L .

განვიხილოთ პირველი შემთხვევა. მონაცემები ასეთია:
ტემპერატურა დღის ყველაზე ცხელ პერიოდში t^0C ; აერო-
დინამიკური წინაღობის კოეფიციენტები ხვრელებში შესაბამი-
სად არის K_1 , K_2 და K_3 ; ჰაერის მოძრაობის სიჩქარე არის V ,
მ/წმ; ხვრელების კვეთები F_1 , F_2 და F_3 (ნახ. 18.8)

თუ დაგუშვებთ, რომ შენობის ქვედა ნაწილში 1-ლი და
მე-3 ხვრელები დიას, ხოლო სარკმელში დიას მე-2 ხვრელი და



ნახ.18.8 სარკმელში. მას გამოვიყენებო მაშინ,
როდესაც ქარი შეიცვლის მიმართულებას).

1-ლ ხვრელში წნევათა სხვაობა იქნება ($P_1 - P_x$), მე-2 ხვრელში – ($P_x - P_2^\phi$), ხოლო მე-3 ხვრელში კი – ($P_3 - P_x$). ვინაიდან მე-3 ხვრელი მუშაობს შეწოვაზე, ყოველთვის დაცულია პირობა:

$$P_3 > P_x > P_2$$

დავუშვათ პაერი ისე გვსურს გავანაწილოთ, რომ

$$L_1 = L_3 \quad \text{და} \quad L_2 = L_1 + L_3;$$

შეგვიძლია დავწეროთ:

$$F_1 = \frac{L_1}{\mu_1 \cdot \sqrt{2g\gamma_1(P_1 - P_x)}};$$

$$F_2 = \frac{L_2}{\mu_2 \cdot \sqrt{2g\gamma_2(P_x - P_2^\phi)}};$$

$$F_3 = \frac{L_3}{\mu_3 \cdot \sqrt{2g\gamma_1(P_3 - P_x)}};$$

$$L_2 = F_2 \mu_2 \sqrt{2g\gamma_2(P - P_2^\phi)}; \quad (18.6)$$

$$L_3 = L_1 = F_3 \mu_3 \sqrt{2g\gamma_1(P_3 - P_x)}; \quad (18.7)$$

გავკოთ (18.6) გამოსახულება, (18.7) გამოსახულებაზე და აგლიტენოთ

$$\frac{L_2}{L_3} = \alpha; \quad \frac{F_2}{F_3} = \beta;$$

გარდა ამისა მივიღოთ, რომ $\mu_2 = \mu_3$ და $\gamma_1 = \gamma_2$, მაშინ:

$$\alpha^2 = \beta^2 \frac{P_x - P_2^\varphi}{P_3 - P_x},$$

აქედან:

$$P_x = \frac{\alpha^2 P_3 + \beta^2 P_2^\varphi}{\alpha^2 + \beta^2}$$

განვიხილოთ რიცხვითი მაგალითი. ვიანგარიშოთ 1-ლი, მე-2 და მე-3 ხვრელების კვეთები (ნახ. 18.8) შემდეგი პირობებისათვის: $H=10$ მ; $Q_{\text{გარ}}=500000$ კკალ/სთ; ჰაერის მოძრაობის სიჩქარე $V=4,0$ მ/წმ; აეროდინამიკური წინაღობის კოეფიციენტები $K_1=0,6$; $K_2=-0,4$; $K_3=-0,2$; $t_{\text{გარ}}=20^0\text{C}$; $t_{\text{გარ}}=33,8^0\text{C}$.

1. განვსაზღვროთ საანგარიშო ჰაერობლა:

$$L_1 + L_3 = L_2 = \frac{500000}{0,24 \cdot (33,8 - 20)} = 151000 \text{ კგ/სთ} = 42,0 \text{ კგ/წმ}$$

მიღებული ჰაერის რაოდენობა თანაბრად გავანაწილოთ 1-ლ და მე-3 ხვრელებში:

$$L_1 = L_3 = \frac{L_2}{2} = 21,0 \text{ კგ/წმ}$$

2. ქარის დინამიური წნევა:

$$P_{\text{qar}} = \left(\frac{\nu}{4}\right)^2 = \left(\frac{4}{4}\right)^2 = 1,0 \quad \partial\partial/\partial^2$$

3. ქარის წნევა ცალკეულ ხვრელში:

$$P_1 = K_1 \cdot P_{\text{jso}} = 0,6 \cdot 1,0 = 0,6 \quad \partial\partial/\partial^2$$

$$P_2 = K_2 \cdot P_{\text{jso}} = -0,4 \cdot 1,0 = -0,4 \quad \partial\partial/\partial^2$$

$$P_3 = K_3 \cdot P_{\text{jso}} = -0,2 \cdot 1,0 = -0,2 \quad \partial\partial/\partial^2$$

4. გრავიტაციული წნევა:

$$H(\gamma_1 - \gamma_{\text{bs}}) = 10(1,205 - 1,177) = 0,28 \quad \partial\partial/\partial^2$$

5. მე-2 ხვრელში ფიქტიური წნევა:

$$P_2^\phi = P_2 - H(\gamma_1 - \gamma_{\text{bs}}) = -0,4 - 0,28 = -0,68 \quad \partial\partial/\partial^2$$

დაუშვათ

$$\beta = F_2/F_3 = 0,5 \quad \text{და, ვინაიდან } L_2/L_3 = 2,0,$$

$$P_x = \frac{\alpha^2 P_3 + \beta^2 P_2^\phi}{\alpha^2 + \beta^2} = \frac{4 \cdot (-0,2) + 0,25(-0,68)}{4 + 0,25} = -0,228 \quad \partial\partial/\partial^2$$

6. განვსაზღვროთ წნევათა სხვაობა თითოეულ ხვრელში:

$$\Delta P_1 = P_1 - P_x = 0,6 - (-0,228) = 0,828 \quad \partial\partial/\partial^2$$

$$\Delta P_2 = P_x - P_2^\phi = (-0,228) - (-0,68) = 0,452 \quad \partial\partial/\partial^2$$

$$\Delta P_3 = P_3 - P_x = -0,2 - (-0,228) = 0,028 \quad \partial\partial/\partial^2$$

ვინაიდან სათავსში შემავლი ჰაერის მოცულობითი წონა
და სათავსიდან ამომავალი ჰაერის მოცულობითი წონა უმნიშვ-
ნელოდ განსხვავდება ერთმანეთისაგან, შეგვიძლია მივიღოთ,
რომ $\mu \cdot \sqrt{2g\gamma} = 2,91$

7. განვსაზღვროთ ხვრელების კვეთები:

$$F_1 = \frac{L_1}{\mu \cdot \sqrt{2g\gamma_{\text{gar}}} \cdot \sqrt{\Delta P_1}} = \frac{21}{2,91\sqrt{0,828}} = 8,0 \text{ rad}^2;$$

$$F_2 = \frac{42}{2,91\sqrt{0,452}} = 21,4 \text{ rad}^2;$$

$$F_3 = \frac{21}{2,91\sqrt{0,028}} = 43,2 \text{ rad}^2;$$

ასეთი კვეთის ხვრელები უნდა იყოს ნახ. 18.8-ზე მო-
ცემულ სათავსში, რომ იგი ნორმალურად განიავდეს.

ნავილი IV. სამთო საჭარმოთა გენტილაციის დაპროექტება

19. მაღაროების განიავების სრულისა და ხერხის დადგენა

19.1. ზოგადი ცნობები

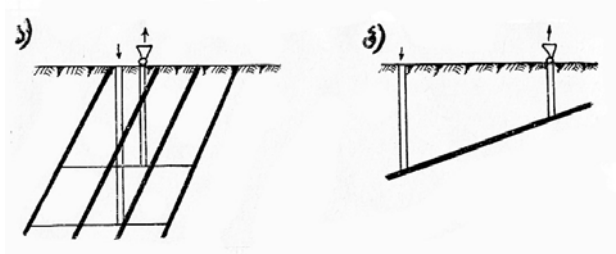
მაღაროს განიავების სქემის შედგენისას უნდა გავითვალისწინოთ შემდეგი საკითხები: 1. პირველ რიგში უნდა შევირჩიოთ მთავარი განიავების ვენტილატორის დაყენების ადგილი, რომელიც განსაზღვრავს მაღაროში პაერის მოძრაობის მიმართულებას; 2. ყველა აირიან მაღაროში აუცილებლად უნდა გამოვიყენოთ ხელოვნური განიავება, ვენტილატორს კი ვაყენებოთ მიწის ზედაპირზე; 3. აირიან მაღაროში როგორც წესი, ვენტილატორს ვამჟავებოთ შეწოვაზე დამჭირები განიავება გამოიყენება: მაღნეულ საბადოზე, უაირო ნახშირის საბადოებსა და ნებისმიერი კატეგორიის მაღაროებში პირველი სართულის დამუშავების დროს; 4. განიავების სქემის შედგენის დროს, საჭიროა სავენტილაციო კარებების, ფანჯრებისა და კროსინგების რაოდენობა შევამციროთ მინიმუმდე, რათა შემცირდეს პაერის დანაკარგები და მაღაროს აეროდინამიკური წინაღობა; 5. არ უნდა გამოვიყენოთ ისეთი სქემები, რომლებშიც სუფთა და გაჭუჭყიანებული პაერის ჭავლები ახლოს იმყოფებიან ერთმანეთთან და მათ მიერ შექმნილი დეპრესია კი დიდია; 6. მტვრის მხრივ საშიშ მაღაროებში, რომლებშიც მონგრეული

ნახშირის ზიდვა წარმოებს სკიპებით, დაუშვებელია სუფთა პაერის ჩაშვება სასკიპე ჭაურებში, აგრეთვე დაუშვებელია სუფთა პაერის ჩაშვება დახრილ ჭაურებში, თუ მათში ნახშირის ზიდვა წარმოებს ლენტური კონვეიერებით; 7. ყველა საწმენდი სანგრევი აუცილებელია ნიავდებოდეს საერთო საშახტო დეპრესიის ხარჯზე, დამხმარე ვენტილატორების გამოყენების გარეშე.

19.2. მაღაროს განიავების სქემები

ჭაურების ურთიერთგანლაგების მიხედვით განიავების სქემა შეიძლება იყოს ცენტრალური, ფლანგური და კომბინირებული.

1. ცენტრალური განიავება. არსებობს ცენტრალური განიავების ორი სახე: ცენტრალურ-შეწყვილებული ჭაურებით (ნახ. 19.1 ა)) და ცენტრალურ-განცალკავებული ჭაურებით (ნახ. 19.1 ბ)).



ნახ. 19.1

ნახ. 19.1 ა)-ზე გამოსახულია შემთხვევა, როდესაც ჭაურები განლაგებულია დასამუშავებელი ველის ცენტრში და ჭა-

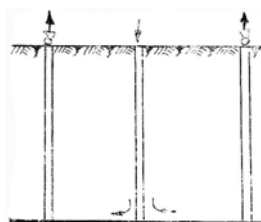
ურებს შორის მანძილი ცვალებადობს 30-100 მ ფარგლებში. ასეთი სქემები გამოიყენება დიდ სიღრმეებზე დამუშავების დროს (>200 მ).

ნახ. 19.1 ბ)-ზე მოცემულია შემთხვევა, როდესაც ჭაურები ფენის გავრცელების მიმართულებით განლაგებულია შახტის ველის ცენტრში, მაგრამ უკნის დაქანების მიმართულებით დაშორებულია ერთმანეთისაგან საკმაოდ დიდი მანძილით. ასეთი სქემები გამოიყენება უკნების ზედა ნაწილის დამუშავების დროს.

ცენტრალური განიავების სქემების დადებითი მხარეებია: მაღაროს ადრე შესვლა ექსპლუატაციაში, ნაკლები კაპიტალური დანახარჯები, სასარგებლო წიაღისეულის მცირე დანაკარგები, ზედაპირულ ნაგებობათა კონცენტრაცია, ვენტილატორების აღვილი მომსახურება და აღვილი ენერგომომარაგება. ამ სქემების უარყოფითი მხარეებია: ჰაერის დიდი დანაკარგები (მაღაროს ეზოში და მაღაროს ეზოდან ამოსალებ უბნებამდე), მიწისქვეშა ხანძრების გაჩენის საშიშროება, დიდი და არამდგრადი დეპრესია, მიწის ზედაპირზე ორი ამოსასვლელი ნაცვლად სამისა ფლანგური განიავების დროს.

2. ფლანგური განიავება გამოიყენება მაშინ, როდესაც შახტის ველი გახსნილია ცენტრში და მის საზღვრებზე (ნახ. 19.2). როგორც ნახაზიდან ჩანს დასამუშავებელი ველის ცენტრში გაყვანილია ერთი ჭაური, ხოლო ველის საზღვრებზე ფლანგური ჭაურები. სუფთა ჰაერი ჩადის ცენტრალური ჭაურით, ხოლო გაჭუჭყიანებული ჰაერი ზედაპირზე ამოდის ფლანგური ჭაურებით.

ზედა სართულების (იარუსების) დამუშავების დროს შე-

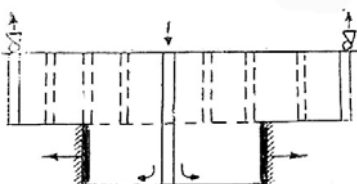


იძლება გავიყვანოთ ფლანგური
შერფები და მათზე დაგაყენოთ
ვენტილაციონები. ასეთ შერფებს
ეწოდებათ დროებითი შერფები,
რადგან საწმენდი სანგრევების

ნახ. 19.2

წინაწყვეტილი ერთად ყოველ 100-300 მ-ში ხდება ახალი შერფის გაყვანა და ვენტილაციონის გადატანა (ნახ. 19.3). ეს სქემა უფრო პროგრესულია, რადგან ამ

შემთხვევაში მაღარო უფრო ადრე შედის ექსპლუატაციაში, ვინაიდან არ არის საჭირო გვირაბების გაყვანა შახტის გელის საზღვრებამდე.



ნახ. 19.3

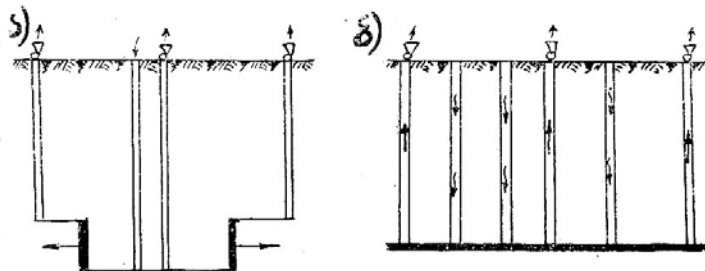
ფლანგური განიავების

დადებითი მხარეებია: ჰაერის

მიმწოდებელი ჭაურიდან საწმენდ სანგრევებების ჰაერის დანაკარგები უფრო მცირეა, შემცირებულია აგრეთვე ჰაერის დანაკარგები ფლანგური ჭაურების ზედაპირულ შენობებში ვინაიდან ისინი სატრანსპორტოდ ნაკლებად არიან გამოყენებულები, შემცირებულია მაღაროს საერთო დეპრესია, ვინაიდან შემცირებულია ჰაერის მიერ გასავლელი გზა, ამ დროს არ არის საჭირო სავენტილაციო ჰორიზონტის გვირაბების შენახვა შახტის ველის სრულად გამომუშავებამდე. ამ სქემების უარყოფითი მხარეებია: დიდი კაპიტალური დანახარჯები ძირითადი ჰორიზონტის გვირაბების გაყვანაზე,

ექსპლუატაციის გვიან დაწყება, სასარგებლო წიაღისეულის დიდი დანაკარგები, ვინაიდან ჭაურების რაოდენობა დიდია, დიდი რაოდენობით ვენტილატორების გამოყენება რაც ართულებს მათ მართვას, მომსახურებასა და ენერგომომარაგებას, ავარიის შემთხვევაში გართულებულია პაერის ჭავლის რევერსირება.

3. კომბინირებული განიავება. განიავების კომბინირებული სქემის გამოყენებისას, მიუხედავად იმისა, ამოსაღები უბანი იმყოფება ცენტრში თუ საზღვარზე, მაღაროში სუფთა პაერის მიწოდება ხორციელდება ცენტრალური ჭაურით, ხოლო გაჭუჭყიანებული პაერის ამოსვლა მიწის ზედაპირზე შეიძლება განვახორციელოთ როგორც ცენტრალური, ასევე ფლანგური ჭაურებით (ნას, 19.4 ა). იმ შემთხვევაში, როდესაც დასამუშავებელი გელი განიავების თვალსაზრისით უმჯობესია დაგუოთ ცალკეულ უბნებად – სექციებად, საჭიროა გამოვიყენოთ განიავების კომბინირებული – სექციური სქემა (ნახ. 19.4 ბ)). როგორც ამ ნახაზიდან ჩანს დასამუშავებელი გელის ცენტრში გაყვანილია ორი ჭაური: ერთ მათგანში ჩადის სუფთა პაერი, რომელმაც უნდა გაანიავოს გელის ცენტრში არსებული უბან-სექციები, გაჭუჭყიანებული პაერი კი ველის ცენტრში არებული უბნებიდან ამოდის ზედაპირზე ცენტრალური სასკიპე ჭაურით, ხოლო ველის საზღვრებთან განლაგებულ სექციებს ემსახურება თავისი პაერმიმწოდებელი და აგრეთვე თავისივე პაერმომცილებელი ჭაურები. განიავების ასეთი სქემა გამოიყენება დიდი მწარმოებლურობის მქონე მაღაროებში.



ნახ. 19.4

განიავების სექციური სქემის დადებითი მხარეებია: ვინაიდან ამოსადები ველის ზომები დიდია, ხოლო გვირაბები მრავალრიცხოვანი, ამიტომ ცალკეული უბან-სექციების დერესიები გამოდის მცირე რაც ამარტივებს ცალკეული სექციების განიავებას, გამარტივებულია აგრეთვე ცალკეული სექციების შიგნით პარტია რეგულირების საკითხები, გაზრდილია მიწის ზედაპირზე გამოსასვლელი გვირაბების რაოდენობა. ამ სქემის უარყოფითი მხარეებია: განიავების მეტად რთული სქემა, ვენტილაციორების დიდი რაოდენობა (ზოგჯერ 10-ზე მეტი), დიდია კაპიტალური დანახარჯები, გართულებულია მთლიანად პარტიის რეგულირების საკითხები.

19.3. მთავარი განიავების ვენტილაციორების განლაგება მიწისქვეშ და მიწის ზედაპირზე

უსაფრთხოების წესების მოთხოვნების თანახმად აუცილებელია მთავარი განიავების ვენტილაციორები განვალაგოთ მიწის ზედაპირზე. ამას საფუძვად უდევს შემდეგი დადებითი

მხარეები: ზედაპირზე დადგმული ვენტილატორის მომსახურება გაცილებით მოხერხებულია და ელექტროენერგიის მიევანაც გააღვილებულია; ხანძრების ან აფეთქების შემთხვევაში ვენტილატორი შეიძლება დარჩეს დაუზიანებელი ან ნაკლებად დაზიანდეს.

მიუხედავად აღნიშნული დადგბითი მხარეებისა და უსაფრთხოების მოთხოვნებისა, პრაქტიკაში გვხვდება შემთხვევები, როდესაც მთავარი განიავების ვენტილატორის განლაგება მიწის ქვეშ უფრო გამართლებულია. ეს ხდება იმ დროს, როდესაც ზედაპირის რელიეფი არ იძლევა სავენტილატორო დანადგარის შენობის აშენების საშუალებას, ან როდესაც ჭაურის პირთან ახლომდებარე ტერიტორია მოიცავს მცოცავ ქანებს, რის გამოც ვენტილატორის დამონტაჟება შეუძლებელია.

მთავარი განიავების ვენტილატორის მიწის ქვეშ დაყენების დადგბითი მხარეებია: 1. ლიკვიდირებულია ჰაერის შემოწოვები ჭაურის პირიდან და ვენტილატორის არხიდან; 2. მოითხოვს შედარებით მცირე ხარჯებს სავენტილაციო ნაგებობების მოწყობაზე; 3. დამჭირხნი განიავების შემთხვევაში არ მოითხოვს ზედაპირული შენობის ჰერმეტიზაციას.

19.4. შემწოვი და დამჭირხნი განიავება

უსაფრთხოების წესების მოთხოვნების შესაბამისად ყველა ნახშირის მაღაროში, გარდა გამოყოფილი მეთანის მიხედვით I კატეგორიისაა, გამოყენებული უნდა იყოს შემწოვი განი-

ავება. ამ მოთხოვნას საფუძვლად უდევს შემდეგი დადებითი მხარე, როდესაც ვენტილატორი მუშაობს შეწოვაზე, გვირაბებში ჰაერის წნევა ნაკლებია ბარომეტრულ წნევაზე, ამიტომ თუ რაიმე მიზეზის გამო საჭირო გახდა მთავარი განიავების ვენტილატორის გამორთვა, გვირაბებში ჰაერის წნევა იზრდება, რის გამოც გამომუშავებული სივრცეებიდან, ბზარებიდან და ფენის გაშიშვლებული ზედაპირიდან აირის გამოყოფის პროცესი წყდება მოკლე დროის განმავლობაში და არ ხდება გვირაბების დაგაზიანება.

აირიან მაღაროებში დამჭირხნი განიავების გამოყენებისას კი ადგილი აქვს საწინააღმდეგო შემთხვევას, რაც დამჭირხნი განიავების უარყოფით მხარეს წარმოადგენს.

დამჭირხნ განიავებას გააჩნია შემდეგი დადებითი მხარე-ები:

1. ვენტილატორში გადის სუფთა ატმოსფერული ჰაერი, რომელიც არ შეიცავს მტვერსა და მომწამლავ და ფეოქებად აირებს, რაც უზრუნველყოფს ვენტილატორის ხანგრძლივ და უსაფრთხო მუშაობას;
2. ბზარებში და ჩამონგრეულ სივრცეებში ადგილი არა აქვს ჰაერის შემოწოვას მიწის ზედაპირიდან, ხოლო გამომუშავებულ სივრცეებსა და ძველ გვირაბებში დაგროვილი აირები ჰაერის დანაკარგებს ამოაქვთ მიწის ზედაპირზე.

20. ნახშირის მაღაროების გასანიავებელი პაერის რაოდენობის გაანგარიშება

20.1. ზოგადი ცნობები

ნახშირის მაღაროების გასანიავებელი პაერის რაოდენობის ანგარიში წარმოებს შემდეგი თანმიმდევრობით: პირველად ვანგარიშობთ საწმენდი სანგრევების, მოსამზადებელი სანგრევების და ამოსადები უბნის გასანიავებელ პაერის რაოდენობას, შემდეგ ამოსადები უბნის გარეთ არსებული მოსამზადებელი სანგრევებისა და კამერების გასანიავებელ პაერის რაოდენობას. მიღებულ პაერის რაოდენობებს ვაჯამებთ და ვამატებთ პაერის დანაკარგებს მაღაროს ეზოდან საწმენდ სანგრევებამდე. თუ პაერის მიღებულ რაოდენობას დაუმატებთ პაერის დანაკარგებს მაღაროს ეზოში, ვენტილატორის არხსა და შახტის ზედაპირულ შენობაში, მივიღებთ ვენტილატორის მიერ შახტაში მისაწოდებელი პაერის რაოდენობას.

ვიდრე უშუალოდ პაერის რაოდენობის ანგარიშს შევუდგებოდეთ, საჭიროა ვიანგარიშოთ შემდეგი მონაცემები:

1. ფენის ნაყოფიერება

$$P=m\cdot\gamma,$$

სადაც m არის დასამუშავებელი ფენის სისქე, $\text{გ}; \gamma$ – ნახშირის მოცულობითი წონა.

2. სართულის სიმაღლე

$$h = \frac{A}{2 \sum P \cdot L \cdot C}, \quad \text{გ},$$

სადაც A არის შახტის დღე-დამური მწარმოებლურობა; $\sum P$ – დასამუშავებელი ნახშირის ფენების ჯამური ნაყოფიერება; L – საწმენდი სანგრევების დღე-დამური წინწაწევა; C – ნახშირის ამოდების კოეფიციენტი.

ციცაბო ფენების შემთხვევაში, წინასწარ მოცემულია სართულის სიმაღლე h და საჭიროა ვიანგარიშოთ შახტის დღე-დამური მწარმოებლურობა:

$$A = 2 \cdot \sum P \cdot L \cdot C \cdot h, \quad \text{ტ/დღ.}$$

3. სართულების (იარუსების) რაოდენობა

$$n = a/h,$$

სადაც a არის ფენის ზომა დაქანებით.

ასეთი წესით ნაანგარიშევ სართულების რაოდენობას ვამრგვალებოთ მთელ რიცხვამდე და შემდეგ ვანგარიშობთ სართულის დაზუსტებულ სიმაღლეს

$$h_{\text{daz}} = a/n, \quad \text{მ.}$$

4. ჭაურის სიღრმე

$$H_d = a_{\text{აპრ.}} \cdot \sin \alpha, \quad \text{მ}$$

სადაც $a_{\text{აპრ.}}$ არის საბრემსბერგო ველის ზომა დაქანებით; α – ფენის დახრის კუთხე.

ციცაბო ფენების შემთხვევაში $a_{\text{აპრ.}}$ -ის ნაცვლად აიღება შახტის ველის მთლიანი ზომა დაქანებით – a , და ვთვლით, რომ ჭაური გაყვანილია სულ ქვედა სართულემდე.

20.2. საწმენდი სანგრევების გასანიავებელი პაკეტის გაანგარიშება

პაკეტის რაოდენობა საწმენდი სანგრევის გასანიავებლად იანგარიშება სხვადასხვა მეთოდით:

1. პაკეტის რაოდენობა გამოყოფილი მეთანისა და ნახშირორჟანგის მიხედვით:

$$Q_{wm.s} = \frac{0,07 \cdot q_l \cdot K_{ut} \cdot A_l}{d}, \quad \text{მ}^3/\text{წთ}$$

ან

$$Q_{wm.s} = \frac{I_{abs} \cdot 100}{d}, \quad \text{მ}^3/\text{წთ}$$

სადაც q_l არის ფარდობითი აირსიუხვეველავის მუშა სივრცეში მეთანის ან ნახშირორჟანგის მიხედვით, $\text{მ}^3/\text{გ}$ (ლავის ფარდობითი აირსიუხვევე არის გამოყოფილი მეთანის ან ნახშირორჟანგის რაოდენობა დღე-დამეში მონგრეულ ყოველ ტონა ნახშირზე); K_{ut} – ლავში აირის გამოყოფის უთანაბრობის კოეფიციენტი; A_l – საწმენდი სანგრევის საანგარიშო დღე-დამური მწარმოებლურობა, $\text{ტ}/\text{დღ}$; d – საწმენდი სანგრევის ამომავალ პაკეტის ჭავლში აირის მაქსიმალურად დასაშვები პროცენტული რაოდენობა (უსაფრთხოების წესების შესაბამისად $d=1\%$); I_{abs} – ლავის მუშა სივრცის აბსოლუტური აირსიუხვევე $\text{მ}^3/\text{წთ}$.

2. პაკეტის რაოდენობა ფეთქებადი მასალის რაოდენობის მიხედვით:

– ლავისებური საწმენდი სანგრევებისათვის

$$Q_t = \frac{34}{t} \cdot \sqrt{B \cdot V}, \quad \text{მ}^3/\text{წთ},$$

— კამერისებური საწმენდი სანგრევებისათვის

$$Q_{\text{kam}} = \frac{11}{K_t \cdot t} \cdot \sqrt[3]{B \cdot V}, \quad \text{მ}^3/\text{წთ}$$

სადაც t არის აფეთქების შემდეგ საწმენდი სანგრევის განიავების დრო (უსაფრთხოების წესების თანახმად $t=30$ წთ); B — ერთდროულად ასაფეთქებელი ფეთქებადი მასალა, კგ; V — საწმენდი სანგრევის გასანიავებელი მოცულობა, მ^3 ; $K_t=0,4$ არის თავისუფალი ჭავლის ტურბულენტური დიფუზიის კოეფიციენტი.

3. ჰაერის რაოდენობა მომუშავეთა რაოდენობის მიხედვით:

$$Q_{\text{რა.}} = 6 \cdot n, \quad \text{მ}^3/\text{წთ},$$

სადაც 6 არის სუფთა ჰაერის მისაწოდებელი ნორმა ერთ ადამიანზე, $\text{მ}^3/\text{წთ}$; n — საწმენდ სანგრევში ერთდროულად მომუშავეთა რაოდენობა, იგი განისაზღვრება:

$$n = \frac{A_{cv}}{MM_v},$$

სადაც A_{cv} არის ცვლის განმავლობაში საწმენდ სანგრევში მონგრეული ნახშირის რაოდენობა, ტ; MM_v — თითოეული მუშის საშუალო მწარმოებლურობა ცვლაში, ტ.

4. ჰაერის რაოდენობა საწმენდ სანგრევში გამოყოფილი მტკრის მიხედვით:

$$Q_{\text{წმ.}} = S \cdot \nu_{\text{მტ}}, \quad \text{მ}^3/\text{წთ},$$

სადაც S არის საწმენდი სანგრევის განივი კვეთი, მ^2 ; V

ოდ - პაერის მოძრაობის ოპტიმალური სიჩქარე, რომლის დროსაც ყველაზე ეფექტურად ხდება მტკრის ნაწილაკების საწმენდი სანგრევიდან გამოტანა. იგი ყოველი კონკრეტული შემთხვევისათვის განისაზღვრება ექსპერიმენტაციურად.

როდესაც საწმენდი სანგრევის გასანიავებლად საჭირო პაერის რაოდენობას ვიანგარიშებთ ყველა აღნიშნული მეთოდით, საბოლოოდ საანგარიშოდ ვიღებთ მიღებული შედეგებით დან მაქსიმალურ მნიშვნელობას.

ამასთან უნდა გვახსოვდეს, რომ სარეზერვო ლავში საჭიროა მიწოდებულ იქნეს მოქმედი საწმენდი სანგრევისათვის ნაანგარიშევი პაერის რაოდენობის 50%.

20.3. მოსამზადებელი სანგრევის გასანიავებელი პაერის გაანგარიშება

მოსამზადებელ სანგრევში მისაწოდებელი პაერის რაოდენობა სანგრევში გამოყოფილი აირის მიხედვით იანგარიშება ფორმულით:

$$Q_{mos.s} = \frac{I_s \cdot 100}{d - d_0}, \quad \text{მ}^3/\text{წთ}$$

სადაც I_s არის სანგრევში გამოყოფილი აირის მაქსიმალური რაოდენობა, $\text{მ}^3/\text{წთ}$ (I_s -ს საანგარიშოდ საჭიროა განვსაზღვროთ სანგრევის გაყვანისას მონგრეული ნახშირისა და ფუჭი ქანის მასა და მათი ფარდობითი აირსიუხევის მიხედვით გავიგოთ სანგრევში გამოყოფილი აირის მაქსიმალური რაოდენობა, $\text{მ}^3/\text{წთ}$);

$d=1$ და არის სანგრევიდან ამომავალ ჭავლში აირის მაქ-
სიმალური დასაშვები პროცენტული შემცველობა; $d_0=0$, არის
სანგრევში მისაწოდებელ პაერში აირის პროცენტული შემცვე-
ლობა.

2. პაერის რაოდენობა ფეთქებადი მასალის ხარჯის მიხე-
დვით

$$Q_{\text{mos.s}} = 2,25 \frac{S}{t} \sqrt{\frac{\varphi \cdot B \cdot b}{K_d \cdot S} \cdot L^2}, \quad \vartheta^3 / \text{წ}$$

სადაც S არის მოსამზადებელი სანგრევის კვეთი, მ^2 ; $t=30$ წ,
არის უსაფრთხოების წესების თანახმად აფეთქების შემდეგ
სანგრევის განიავების დრო; φ – გვირაბის წყლიანობის კო-
ფიციენტი; B – ერთდროულად ასაფეთქებელი მასალის რაო-
დენობა; b – 1 კგ ფეთქებადი მასალის აფეთქებისას გამოყო-
ფილი აირების რაოდენობა, ლ (ფუჭი ქანისათვის ტოლია 40
ლ, ნახშირისათვის – 100 ლ); K_d – პაერსადენში პაერის დანა-
კარგების კოეფიციენტი; L – გვირაბის გასანიავებელი სიგრძე
(50-100 მ), მ.

გრძელი გვირაბების შემთხვევაში ფორმულაში L -ის ნაც-
ვლად უნდა ჩავსვათ გვირაბის კრიტიკული სიგრძე $L_{\text{კ}}$ რომე-
ლიც იანგარიშება ფორმულით:

$$L_{\text{კ}} = 12,5 \frac{B \cdot b \cdot K_t}{S}, \quad \text{მ};$$

სადაც $K_t=0,4$ არის თავისუფალი ჭავლის ტურბულენტური დი-
ფუნქციის კოეფიციენტი.

3. პაერის რაოდენობა მომუშავეთა რაოდენობის მიხედვით

$$Q_{\text{მოს.}} = 6 \cdot n, \quad \theta^3 / \nabla \theta,$$

სადაც $\theta^3 / \nabla \theta$ არის პაერის მისაწოდებელი ნორმა ერთ ადამიანზე; n – მოსამზადებელ სანგრევში ერთდროულად მომუშავეთა მაქსიმალური რაოდენობა.

როდესაც მოსამზადებელი სანგრევის გასანიავებლად საჭირო პაერის რაოდენობას ვიანგარიშებთ ყველა აღნიშნული მეთოდით, საბოლოოდ საანგარიშოდ ვიღებთ მიღებული შედეგებიდან მაქსიმალურ მნიშვნელობას.

20.4. ამოსაღები უბნის გასანიავებელი პაერის რაოდენობა

იმ უბნებში, რომლებშიც აირის მუდმივ გამოყოფას აქვს ადგილი, მისაწოდებელი პაერის რაოდენობა განისაზღვრება ფორმულით;

$$Q_{ub} = K_1 \sum Q_{wm.s} + \sum Q_{mos.s} + \sum Q_{dan}, \quad \theta^3 / \nabla \theta;$$

სადაც K_1 არის კოეფიციენტი, რომელიც ითვალისწინებს ამოსაღები უბნის გამომუშავებულ სივრცეში პაერის დანაკარგებას; $\sum Q_{wm.s}$ – უბანში არსებული საწმენდი სანგრევების გასანიავებლად საჭირო პაერის ჯამური რაოდენობა; $\sum Q_{mos.s}$ – უბანში არსებული მოსამზადებელი სანგრევების გასანიავებლად საჭირო პაერის ჯამური რაოდენობა; $\sum Q_{dan}$ – პაერის დანაკარგები ამოსაღებ უბანში არსებულ სავენტილაციო ნაგებობებში და იგი განისაზღვრება ფორმულით:

$$\sum Q_{\text{дан}} = K_2 + K_3, \quad \text{д}^3/\text{м}^3,$$

სადაც K_2 არის პაერის დანაკარგები ამოსადებ უბანში არსებულ ყრუდ ჩაკეტილ ტიხოდებში; K_3 – პაერის დანაკარგები ამოსადებ უბანში არსებულ საგრნტილაციო კარგებებში.

20.5 სხვადასხვა კამერების გასანიავებელი პაერის რაოდენობა

1. ფეთქებადი მასალის საწყობის გასანიავებელი პაერის რაოდენობა:

$$Q_{\text{ფ.ნ.б}} = 0,07 \cdot V, \quad \text{д}^3/\text{м}^3,$$

სადაც V არის ფეთქითი ნივთიერების საწყობის კამერების ჯამური მოცულობა, м^3 ; $0,07$ – კოეფიციენტი, რომელიც უზრუნველყოფს კამერაში ყოველ საათში პაერის ოთხჯერად ცვლას.

2. კამერები, რომლებშიც განლაგებულია ელექტრო-დანაღგარები:

$$Q_{\text{ელ.დან.კამ}} = 10 \cdot N \cdot (1 - \eta) \cdot K_{\text{ლ}}, \quad \text{д}^3/\text{м}^3,$$

სადაც N არის კამერაში განლაგებული დანაღგარების ჯამური სიმძლავრე, კვტ; η – დანაღგარების მ.ქ.ქ; $K_{\text{ლ}}$ – დანაღგარების დღგ-დამური დატვირთვის კოეფიციენტი.

3. დასამუხტი კამერების გასანიავებლად საჭირო პაერის რაოდენობა:

$$Q_{\text{დან.კამ}} = 30 \cdot K_{\text{ტ}} \cdot n_{\text{ტ}}, \quad \text{д}^3/\text{м}^3,$$

სადაც K_{δ} არის კოეფიციენტი, რომელიც შეირჩევა დასამუხტი აკუმულატორის ტიპის მიხედვით; n_3 – ერთდღოულად დასამუხტი აკუმულატორის ბატარეაჟის რაოდენობა.

20.6. შახტის გასანიავებელი ჰაერის რაოდენობა და ვენტილატორის მიერ შეწოვილი ჰაერის რაოდენობა

მთელი შახტის გასანიავებელად საჭირო ჰაერის რაოდენობა იანგარიშება ფორმულით

$$Q_{Saxt} = 1,1 \left(\sum Q_{ub} + \sum Q_{mos.gv} + \sum Q_{kam} + \sum Q_{dan} \right), \text{ მ}^3/\text{წ},$$

სადაც 1,1 არის კოეფიციენტი, რომელიც ითვალისწინებს გვირაბებში ჰაერის არათანაბარ განაწილებას: $\sum Q_{ub}$ – ამოსაღები უბნების გასანიავებლად საჭირო ჰაერის ჯამური რაოდენობა; $\sum Q_{mos.gv}$ – ამოსაღები უბნების გარეთ არსებული მოსამზადებელი გვირაბების სანგრევების გასანიავებლად საჭირო ჰაერის ჯამური რაოდენობა; $\sum Q_{kam}$ – კამერების გასანიავებლად საჭირო ჰაერის ჯამური რაოდენობა; $\sum Q_{dan}$ – ჰაერის დანაკარგები მაღაროს ეზოდან ამოსაღებ უბნამდე არსებულ სავენტილაციო ნაგებობებში.

ვენტილატორის მიერ შეწოვილი ჰაერის რაოდენობა შეიძლება ვიანგარიშოთ ფორმულით:

$$Q_{vent} = Q_{Saxt} + \sum Q_{gar.dan}, \text{ მ}^3/\text{წ},$$

სადაც $Q_{\text{გა}} = \sum Q_{\text{gar.dan}}$ არის შახტის გასანიავებლად საჭირო ჰაერის რაოდენობა; $\sum Q_{\text{gar.dan}} = K_5 + K_6$, $\text{მ}^3/\text{წ}\cdot\text{მ}$, ჰაერის გარეგანი დანაკარგები და იგი განისაღვრება ტოლობით:

$$\sum Q_{\text{gar.dan}} = K_5 + K_6, \quad \text{მ}^3/\text{წ}\cdot\text{მ},$$

სადაც K_5 არის ჰაერის დანაკარგები ვერტიკალური ჭაურების ზედაპირულ შენობებში, რომელშიც მოწყობილია ამწე დანადგარები; K_6 – ჰაერის დანაკარგები ვენტილატორის არხში.

ასეთნაირად ნაანგარიშევი ჰაერის რაოდენობა საჭიროა განაწილდეს შახტის ვენტილაციის სქემაზე და შემდეგ უნდა ვიანგარიშოთ თითოეული გზის დეპრესია. ამის შემდეგ თუ საჭიროა უნდა მოვახდინოთ ჰაერის რეგულირება სავენტილაციო ფანჯრებით. შემდეგ ვანგარიშობთ მაქსიმალური დეპრესიის გზაზე მინიმალური გზის დეპრესიას, შახტის მთლიან მაქსიმალურ და მინიმალურ წინაღობას, აგრეთვე ექვივალენტური ხვრელის მაქსიმალურ და მინიმალურ მნიშვნელობებს.

20.7. მაღნეულ საბადოთა მაღაროების გასანიავებელი ჰაერის რაოდენობის გაანგარიშება

მაღნეულ საბადოთა მაღაროების გასანიავებელი ჰაერის რაოდენობის გაანგარიშება წარმოებს ფეთქებადი მასალის, გამოყოფილი მომწამლავი და ფეთქებადი აირების, გამოყოფილი მტვრისა და მომუშავეთა რაოდენობის მიხედვით.

1. მომუშავეთა რაოდენობის მიხედვით გასანიავებლად საჭირო ჰაერის რაოდენობა განისაზღვრება შემდეგი ფორმულით:

$$Q_{\text{მაR}} = q \cdot n \cdot Z, \quad \text{მ}^3/\text{წ}\cdot\text{მ}.$$

სადაც q არის ერთ ადამიანზე მისაწოდებელი პაერის ნორმა ($q=6,0 \text{ მ}^3/\text{წთ}$); n – ხალხის მაქსიმალური რაოდენობა მაღაროში; Z – პაერის მარაგის კოეფიციენტი, რომელიც ითვალისწინებს ყველა სახის დანაკარგებს $Z=1,3-1,6$.

2. მაღაროში გამოყოფილი აირების მიხედვით (მეთანი, წყალბადი), მაღაროს გასანიავებლად საჭირო პაერის რაოდენობა იანგარიშება ფორმულით

$$Q_{\text{მარ}} = q_n \cdot A \cdot Z, \quad \text{მ}^3/\text{წთ}.$$

სადაც q_n არის საშუალო დღე-დამური მწარმოებლურობის 1 მ^3 -ზე მისაწოდებელი პაერის ნორმა, $\text{მ}^3/\text{წთ}$ (ცხრ. 20.1); A – მაღაროს საშუალო დღე-დამური მწარმოებლურობა, მ^2 .

ცხრილი 20.1

მაღაროს კატეგორია ფარდობითი აირსიუხვის მიხედვით	აირის რაოდენობა (მეთანი, წყალბადი), რომელიც გამოიყოფა 1მ^3 დღედამურ მწარმოებლურობაზე, მ^3	q_n , $\text{მ}^3/\text{წთ}$ მ^3 -ზე
I	7-მდე	1,40
II	7-14	1,75
III	14-21	2,10
ზეპატეგორია	21-ზე მეტი	ზეპატეგორიის მაღაროებში პაერის რაოდენობა უნდა იყოს იმდენი, რომ საერთო ამობავალ ჭავლში აირების შემცველობა არ აღემატებოდეს 0,75%, გაგრაშ არანაბლები 2,1 $\text{მ}^3/\text{წთ}$ ყოველ მ^3 საშუალო დღედამურ მწარმოებ- ლურობაზე

3. ფეთქებადი მასალის ხარჯის მიხედვით მისაწოდებელი პაკ-რის რაოდენობა იანგარიშება რამდენიმე მეთოდით. იმ შემთხვევაში, როდესაც მასიურ აფეთქებას არა აქვს აღგილი, საწმენდი სანგრევებისათვის პაკ-რის ვანგარიშობთ ფორმულით

$$Q_{\text{saw.s}} = 25,5 \frac{S}{t} \sqrt{BSl}, \quad \text{მ}^3/\text{წთ.}$$

მთლიანად მაღაროსათვის

$$Q_{\text{maR}} = \frac{B \cdot b}{t} \cdot \frac{100}{d} Z, \quad \text{მ}^3/\text{წთ.}$$

სადაც S არის საწმენდი სანგრევის განივი პვეთი, მ^2 ; $t=30$ წთ და არის აფეთქების შემდეგ საწმენდი სანგრევის განიავების დრო, წთ; B – ერთდროულად აფეთქებული ფეთქითი ნივთიერების მაქსიმალური რაოდენობა, კგ; b – საწმენდი სანგრევის სიგრძე აფეთქების ადგილიდან სავენტილაციო შტრეგამდე, მ; $b - 1$ კგ ფეთქითი ნივთიერების აფეთქების შედეგად გამოყოფილი აირების რაოდენობა, $\text{მ}^3/\text{კგ}$; d – ნახშირჟანგის მაქსიმალურად დასაშვები პროცენტული რაოდენობა ($d \leq 0,008\%$ იმ პირობით, რომ განუწყვეტელი განიავების შედეგად ნახშირჟანგის შემცველობა პაკ-ში 2 სთ-ის განმავლობაში დაიწევს $0,0024\%$ -მდე).

მასიური აფეთქებების დროს, იმ გვირაბებისათვის, რომლებიც განლაგებულია საწმენდი ბლოკებიდან მაღნის გამოსაშვებ პორიზონტზე, პაკ-რის რაოდენობა იანგარიშება ფორმულით

$$Q_{\text{gv}} = \frac{\varphi}{t} \sqrt{iBV_{\text{d.g.}}}, \quad \text{მ}^3/\text{წთ.}$$

სადაც $V_{\text{დღ}}.$ არის დაგაზიანებული გვირაბის მოცულობა, $\text{მ}^3;$ φ და $i -$ ექსპრიმენტული კოეფიციენტები.

კამერებისათვის, რომლებიც ნიავდებიან გამჭოლი ჭავლით, მისაწოდებელი პაკერის რაოდენობა განისაზღვრება ფორმულით

$$Q_{\text{kam}} = 2,3 \frac{V}{K_t \cdot t} \lg \frac{100Bb}{Vd}, \quad \text{მ}^3/\text{წთ.}$$

სადაც V არის კამერის გასანიავებული მოცულობა, $\text{მ}^3;$ $K_t -$ თავისუფალი ჭავლის ტურბულენტური დიფუზიის კოეფიციენტი.

4. პაკერის რაოდენობა საწმენდ სანგრევში მტკრის განუწყვეტელი გამოყოფის შემთხვევეში იანგარიშება მარტივი ფორმულით

$$Q = \frac{I}{K_t (d - d_0)}, \quad \text{მ}^3/\text{წთ.}$$

სადაც I არის საწმენდ სანგრევში (გვირაბში) მტკრის წარმოშობის ინტენსივობა, $\text{მგ}/\text{წთ}; K_t -$ თავისუფალი ჭავლის ტურბულენტური დიფუზიის კოეფიციენტი; $d -$ პაკერში მტკრის დასაშვები მაქსიმალური კონცენტრაცია; $d_0 -$ გვირაბებში შემავალ პაკერში მტკრის კონცენტრაცია.

21. პარივრტების განიავებაზე მოქმედი ბუნებრივი

21.1. კარიერის განიავებაზე მოქმედი ბუნებრივი პირობების ზეგავლენა

კარიერების განიავებაზე მოქმედი ბუნებრივი ფაქტორებია კლიმატი, გარემოს რელიეფი და რაიონის მცენარეული საფარი.

კლიმატური ფაქტორებიდან საჭიროა პირველყოვლისა გავითვალისწინოთ ქარის მიმართულება და სიჩქარე, უქარობის პერიოდები, წლის განმავლობაში ტემპერატურის ცვალებადობა, ნალექების რაოდენობა და ხასიათი, აგრეთვე მზის რადიაციის სიდიდე.

ქარის სიჩქარის დღე-დამური და წლიური ცვლილებები, აგრეთვე ინვერსიის ცვლილებების მონაცემები, რომელიც საშუალებას გვაძლევს დავადგინოთ კარიერში პაერცვლის დარღვევის პერიოდები, უქარობის ან ქარის მცირე სიჩქარეების პერიოდის ხანგრძლივობის შეფასება საშუალებას გვაძლევს უკვე პროექტირების საწყის სტადიაზე გავითვალისწინოთ მოთხოვნები კარიერის ტექნოლოგიისა და მექანიზაციისადმი, აგრეთვე მოთხოვნები კარიერის განლაგებისა და გეომეტრიული პარამეტრებისადმი. კარიერის განლაგების რაიონში ქარის ქროლვის გაბატონებული მიმართულების ცოდნა საშუალებას გვაძლევს კარიერის დერძი მიემართოთ ამ მიმართულების თანხმედრილად, გარდა ამისა ამ მიმართულების გათვალისწინებით აუცილებელია მავნეობების გამომყოფი გარეგანი წყაროები განლაგდნენ კარიერის მიმართ ქარზურგა მხრიდან.

კარიერის განლაგების რაიონში პაერის ტემპერატურის ცვლილებისა და ნალექების შესახებ მონაცემთა ცოდნა სა-შუალებას გვაძლევს გავაპეოთოთ წინასწარი დასკვნა მტკრიანობის მდგომარეობის შესახებ. უმნიშვნელო რაოდენობის ნა-ლექები, აგრეთვე ტემპერატურის მკვეთრი ცვლილებები ხელს უწყობს მტკრიარმოქმნას როგორც კარიერის შიგნით, ისე ზედაპირზე. უარყოფითი ტემპერატურების მქონე ხანგრძლივი პერიოდები მნიშვნელოვნად ზღუდავენ მტკრობას ბრძლის სვე-ლი მეთოდების გამოყენების შესაძლებლობას.

მზის რადიაცია, ერთი მხრივ, განსაზღვრავს კარიერებში ქანებისა და პაერის ტემპერატურას რითაც მოქმედებს მტკრის წარმოქმნაზე, ხოლო მეორეს მხრივ იგი განსაზღვრავს კარი-ერში ატმოსფეროს მდგრადობასა და პაერცვლას. მზის რადია-ციის გაზრდა ხელს უწყობს პაერცვლას, ხოლო მისი შემ-ცირება პირიქით – ხელს უშლის პაერცვლას.

გარემოს რელიეფი განსაზღვრავს პორიზონტის ჩაკეტი-ლობას, ხოლო ჩაკეტილობაზე დამოკიდებულია კარიერის ზე-დაპირზე ქარის შემცირება. პორიზონტის ჩაკეტილობის ხარის-ხი განისაზღვრება კარიერის საწყისი დონის მიმართ რელიე-ფის უსწორმასწორობის ამაღლების H შეფარდებით კარიე-რიდან უსწორმასწორობამდე მანძილთან L.

ცხრილში 21.1 მოყვანლია ქარის შესუსტების ხარისხი პორიზონტის ჩაკეტილობის ხარისხის მიხედვით.

ცხრილი 21.1

პარამეტრები	პორიზონტის ჩაკვეტილობა, გრადუსი				
	0	5	10	15	>15
შეფარდება H/L	0	0,09	0,18	0,27	>0,27
ჰაერის ნაკადის შემცირების ხარისხი	0	0,1	0,2	0,3	უკუნაკადების წარმოქმნა

კარიერის განლაგების რაიონში მცენარეული საფარის შესახებ მონაცემები მნიშვნელოვანია მტკრის წარმოქმნის და ზედაპირზე ქარის ნაკადის შემცირების შესაფასებლად. ტყეები და მყარი მცენარეული საფარი ამცირებენ ზედაპირზე მტკრ-წარმოქმნას და ამავე დროს, ტყეები მკვეთრად ამცირებენ ქარის სიმძლავრეს.

21.2. ვენტილაციის ფაქტორების გათვალისწინებით დია სამთო სამუშაოების ტექნოლოგიური საფუძვლების შერჩევა

დია სამთო სამუშაოების ტექნოლოგიების პროექტირების საფუძვლებში ჩადებულია სასარგებლო წიაღისეულის ამა თუ იმ საბადოს თავისებურებანი, მისი განლაგება, თვისებები და სხვა ბუნებრივი ფაქტორები. იმ შემთხვევაში, როდესაც დამუშავების პირობები საშუალებას იძლევა გამოვიყენოთ ტექნოლოგიების რამდენიმე ვარიანტი, უპირატესობა უნდა მიენიჭოს იმ ვარიანტებს, რომლებიც მინიმალურ უარყოფით ზეგავლენას

ახდენებ კარიერის მეტეოროლოგიურ პირობებზე. კარიერში ატ-
მოსფერული პირობების განმსაზღვრელი ძირითადი ტექნოლო-
გიური ფაქტორებია საბადოს ტიპი, კარიერის ველის ფორმა და
ზომები, სამუშაოთა ფრონტი, დამუშავების სისტემა და საბა-
დოს გადახსნის ხერხი.

საბადოს ტიპი განისაზღვრება სასარგებლო წიაღისე-
ულის ჩაწოლის პირობებით და მნიშვნელოვან გავლენას
აძლენს ძირითადად კარიერის განიავებაზე. მიღებული კლასი-
ფიკაციის შესაბამისად არსებობს საბადოს შემდეგი ტიპები:
ზედაპირული, სიღრმული, მთიანი, მთიან-სიღრმული და წყალ-
ქვეშა.

ბუნებრივი განიავების თვალსაზრისით ყველაზე ხელსაყ-
რელია საბადოს მთიანი ტიპი, როდესაც სასარგებლო წიაღი-
სეულის საბადო განლაგებულია გარშემომყოფი ზედაპირის
დონის ზევით. ამავე დროს, ამ შემთხვევებში შესაძლებელია,
რომ განიავების პირობები მთიანი კარიერის შიგნით გართულ-
დეს, რის მიზეზიცაა მეზობლად მდებარე მთების სიახლოვე.

საბადოს ზედაპირული ტიპი, რომელიც ხასიათდება სა-
სარგებლო წიაღისეულის ჰორიზონტალური ან დამრეცი ჩაწო-
ლითა და ჩაწოლის შედარებით მცირე სიღრმით, განიავების
თვალსაზრისით ასევე არ იწვევს არავითარ გართულებას.

ბუნებრივი განიავების ეფექტურობა განსაკუთრებით შემ-
ცირებულია საბადოს სიღრმული ტიპის დროს. ვინაიდან ამ
შემთხვევაში წარმოებს კარიერის სიღრმის განუწყვეტელი
ზრდა, შესაძლებელია ჰაერის ნაკადების სიჩქარის შემცირება
და განსაზღვრულ პირობებში, კარიერის ატმოსფეროში მავნეო-

ბების დასაშვებ რაოდენობაზე მეტი რაოდენობით თავმოყრა. ამის გამო, ასეთი ტიპის კარიერებისათვის საჭიროა უფრო დაწვრილებით განვიხილოთ დამუშავების სხვადასხვა ხერხის გამოყენება. ხოლო განსაზღვრულ პირობებში აუცილებლად უნდა გამოვიყენოთ ხელოვნური ვენტილაცია.

კარიერის გელის ფორმა და ზომები ასევე მოქმედებენ კარიერის განიავებაზე. კარიერის ფორმა შეიძლება იყოს წაგრძელებული, როდესაც კარიერის სიგრძის ფარდობა მის სიგანესთან შეადგენს ოთხს და მეტს, მომრგვალებული, როდესაც კარიერის სიგანე უახლოვდება მის სიგრძეს. კარიერის ფორმა საშუალებას გვაძლევს ვცვალოთ ჰაერის ნაკადების მიმართულება გამომუშავებულ სივრცეში.

კარიერის განიავებაზე მნიშვნელოვან გავლენას ახდენს მისი გეომეტრული ზომები. ამავე დროს სიღრმული და ზოგიერთ შემთხვევებში ზედაპირული ტიპის საბადოების შემთხვევებში განმსაზღვრელია კარიერის სიგრძისა და სიგანის შეფარდება მის სიღრმესთან. ამ ფარდობის შესაბამისად ქარის ენერგიით განიავების ხერხის მიხედვით გამოიყოფა შემდეგი ჯგუფები: კარგად გასანიავებელი (როდესაც აღნიშნული ფარდობა მეტია 10-ზე); სუსტად გასანიავებელი (ფარდობა არის 6-10) და ძნელად გასანიავებელი (ფარდობა ნაკლებია 6-ზე).

ამავე დროს მიზანშეწონილია, რომ საბადოს დამუშავება და კარიერის განვითარება წარვმართოთ ისეთნაირად, რომ კარიერის მუშა ფერდი განლაგებული იყოს გაბატონებული ქარების მხარეს. განიავების რეცირკულაციური სქემებისათვის, კა-

რიერის ფსკერის ზომების შემცირება იწვევს უკუნაკადების შეფარდებითი მოცულობის ზრდას.

პრაქტიკაში მიღებული კარიერების ზომების მიხედვით კლასიფიკაციის შესაბამისად კარიერი შეიძლება იყოს ძალიან მცირე, საშუალო, დიდი და ძალიან დიდი. ძალიან მცირე კარიერი არის ისეთი კარერი რომლის ფართი გეგმაში არის 0,4 კმ²-მდე და სიღრმე – 100 მ-მდე. ასეთი კარიერები, თუ მათში გამოყენებულია მავნეობების წინააღმდეგ ბრძოლის ადგილობრივი საშუალებები, არ წარმოადგენენ საფრთხეს ატმოსფეროს გაჭუჭყიანებისათვის. სიღრმული ტიპის დანარჩენი კარიერები მოითხოვენ ბუნებრივი განიავების განსაზღვრულ შესაძლებლობებს, განსაკუთრებით აირებისა და მტვრის წინააღმდეგ ბრძოლის არაეფექტური საშუალებების გამოყენებისას.

სამთო სამუშაოების წარმართვის ფრონტი ახდენს გარავეულ ზემოქმედებას სამუშაო ადგილებზე პაერის მტვრიანობასა და დაგაზიანებაზე. ფრონტის მიმართულება საშუალებას იძლევა შეიცვალოს მოწყობილობების ურთიერთგანლაგება და კონცენტრაცია, პაერის ნაკადების გადაადგილების მიმართ. ამავე დროს შესაძლებელია სამუშაო ადგილებზე ატმოსფეროს გაჭუჭყიანების მნიშვნელოვანი გაზრდა. გარდა ამისა, თუ ფრონტის გადაადგილების მიმართულება თანხვდენილია კარიერის გრძელი დერმისა და ეს ორივე მიმართულება ემთხვევა გაბატონებული ქარის მიმართულებას, მეტად იზრდება ბუნებრივი განიავების ეფექტურობა.

საფეხურზე სამთო მასის მონგრევის წესი განსაზღვრავს პაერის ნაკადების ფორმირებას სამთო მანქანების სანგრევებში.

ამ მხრივ ბუნებრივი განიავებისათვის ყველაზე კარგი პირობები იქმნება საფეხურის ან ბლოკის ზედა მოედნის გასწვრივ თხელი შრეებით გამოღების დროს. რამდენადმე უარესდება განიავება, როდესაც გამოღებას ვახდენთ თხელი შრეებით ფერდის გასწვრივ, განსაკუთრებით მაშინ, როდესაც ქარის მიმართულება პერპენდიკულარულია ფრონტის მიმართ. ყველაზე რთული ატმოსფერული პირობები იქმნება ტრანშეის გაყვანისას ჩიხურ სანგრევებში.

მონგრეული სამთო მასის დატვირთვა გარკვეულწილად განსაზღვრავს მტვერწარმოქმნის ინტენსივობას ექსკავაციის დროს. ამ შემთხვევაში ყველაზე ნაკლები მტვრიანობა იქმნება როდესაც სამთო მასის დატვირთვა ხორციელდება იმავე პორიზონტზე განლაგებლი მომგრევ-დამტვირთავი მოწყობილობების საშუალებით. მტვრის გამოყოფა უფრო ინტენსიურია, როდესაც დატვირთვა ხორციელდება ზედა დატვირთვით, ანუ როდესაც სატვირთო ჭურჭელი განლაგებულია უფრო მაღალი სიჩქარის მქონე საპაერო ნაკადებში. მტვერწარმოქმნის ყველაზე მაღალი ინტენსივობა იქმნება ექსკავატორული გადატვირთვების დროს, როდესაც მონგრეული სამთო მასა გადაიტანება ექსკავატორით ორჯერ და უფრო მეტჯერ.

ექსკავატორით აღჭურვილ სანგრევში მტვერწარმოქმნის ინტენსივობაზე მოქმედებს საფეხურის სიმაღლეც. ამის გამო, არ არის დაშვებული ექსკავატორის აჩამჩვის სიმაღლეზე მაღალი საფეხურების გამოყენება, განსაკუთრებით მშრალი ქანების მონგრევის დროს.

საფეხურის გასწვრივ სამთო მასის გადაადგილების რიგი მოქმედებს ატმოსფეროს მდგრამარეობაზე საავტომობილო ტრანსპორტის გამოყენების დროს. ავტოტრანსპორტის გამჭოლი მოძრაობისას, საშუალება გვაქვს შევამციროთ მანქანების თავმოყრა, განსაკუთრებით ტრანშეებში და ამით მნიშვნელოვნად შევამციროთ პაერის დაგაზიანება, მანქანების ჩიხური სქემით გადაადგილებასთან შედარებით.

დია წესით დამუშავების სისტემა. დამუშავების სისტემა მთლიანად განიავებაზე მოქმედებს შემდეგნაირად:

მტვრისა და მავნე აირების ფაქტორების შესაბამისად ყველაზე საშიშს წარმოადგენს ცვალებადი სამუშაო ზონის მქონე დამუშავების სისტემები, რომლებიც გამოიყენება დახრილი და ციცაბო საბადოების დამუშავებისას. ამ ჯგუფში თავის მხრივ ყველაზე საშიშია გეგმაში განივად ერთბორტიანი და ორბორტიანი მონგრევის მიმართულების მქონე სისტემები.

ნაკლებად სახიფათოა დამუშავების სისტემები მუდმივი სამუშაო ზონით. ამ შემთხვევებში, თუ სანაყაროები განლაგებული არიან კარიერის ზედა საზღვრიდან საკმაო მანძილზე, მათი განიავება ძირითადად ხორციელდება პირდაპირი დინებითი სქემით.

იმ შემთხვევებში, როდესაც სანაყაროები განლაგებული არიან შედარებით მცირე მანძილზე კარიერის ზედა საზღვრიდან, სანაყაროს სიმაღლის გაზრდა იწვევს გამომუშავებული სივრცის განიავების გაუარესებას. განიავების პირობებიდან გამომდინარე მინიმალური მანძილი კარიერის ზედა საზღვრიდან სანაყარომდე არ უნდა იყოს სანაყაროს სიმაღლის

10-მაგ სიდიდეზე ნაკლები. იმ შემთხვევაში, როდესაც სანაყაროზე განთავსებულია თვითწვადი ქანები, ეს მანძილი უნდა გულისხმობდეს აირების გავრცელებას.

საბადოს გადახსნის ხერხიც თავისებურად მოქმედებს კარიერის ატმოსფეროს მდგომარეობაზე. გაბატონებული ქარების მიმართულების გათვალისწინებით გაყვანილი გარე ტრანზეა საშუალებას გვაძლევს შეკვამციროთ უკუნაკადების მოქმედების ზონები ბორტების ციცაბოდ დახრის შემთხვევაშიც კი, განსაკუთრებით საბადოს წყვილი ტრანზეებით გახსნის დროს. ამ უკანასკნელის გამოყენებისას ხდება აგრეთვე მტვრისა და მავნე აირების გამომყოფი წყაროების დაშორიშორება.

საბადოს მიწისქვეშა გვირაბებით გახსნისას იქმნება შესაძლებლობა, რომ მკვდარ ზონებში ხელოვნურად მივაწოდოთ პაერი. ეს ხერხი არის განიავების ადგილობრივი საშუალება, რადგან გვირაბი საშუალებას იძლევა გავატაროთ პაერის ძლიერ შეზღუდული მოცულობა.

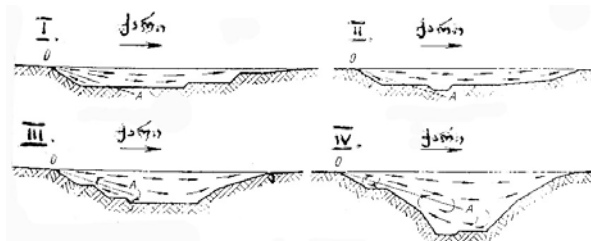
კარიერის ატმოსფეროს დამტვერიანებასა და დაგაზიანებაზე დიდ გავლენას ახდენს მისი საწარმოო სიმძლავრეები. იდენტურ პირობებში ერთი და იგივე სახის სამთო და სატრანსპორტო მოწყობილობების გამოყენებისას ატმოსფეროს დამტვერიანება და დაგაზიანება საშუალოდ პროპორციულად იზრდება კარიერის საწარმოო სიმძლავრის გაზრდასთან ერთად. გარდა ამისა, სამთო სამუშაოების ინტენსიფიკაცია და კონცენტრაცია ხელს უწყობს კარიერის ზონების ატმოსფეროს გაჭუჭყიანების მომატებას.

21.3. კარიერების ბუნებრივი განიავების

პარამეტრების განსაზღვრა

პროექტირების ამ ეტაპის ძირითადი შინაარსი მდგომარეობს კარიერის განიავების სქემის განსაზღვრაში მისი განვითარების სხვადასხვა პერიოდში და კარიერის გასანიავებელი პარამეტრების რაოდენობის გაანგარიშებაში.

კარიერის ექსპლუატაციის მთელი პერიოდის განმავლობაში განისაზღვრება პერიოდები, რომლებშიც კარიერს გააჩნია სხვადასხვა მნიშვნელობის შემდეგი პარამეტრები: ბორტების დახრის კუთხები, კარიერის სიღრმის ფარდობა მის სიგრძესა და სიგანესთან, მავნეობების გამოყოფის ადგილები და მათი გამოყოფის ინტენსივობა, აგრეთვე ბუნებრივი განიავების ეფექტურობაზე მოქმედი სხვა მახასიათებელები. ამ პერიოდებისათვის გამოისახება კარიერის გეგმა და მისი დამასხასიათებელი პროფილები (ვერტიკალური სიბრტყით კვეთები) ქარის ქროლვის ძირითადი მიმართულებებისათვის. ამავე დროს კვეთების რაოდენობა და მათი ორიენტაცია საკმარისი უნდა იყოს კარიერში პარამეტრების მოძრაობის სივრცობრივი სურათის მისაღებად (ნახ. 21.1)



ნახ. 21.1

ნახ. 21.1-ზე მოცემულია კარიერის გამომუშავების ოთხი სხვადასხვა პერიოდის პროფილი ერთ ვერტიკალურ სიბრტყეში. ყოველი პერიოდისათვის კარიერის შერჩეული დამახასიათებელი კვეთებისათვის წარმოებს ჰაერის ბუნებრივი მოძრაობის სქემების განსაზღვრა სხვადასხვა მეტეოროლოგიური პირობების გათვალისწინებით და პირველ რიგში ზედაპირზე ჰაერის მოძრაობის სიჩქარის გათვალისწინებით.

ყოველივე ამის შედეგად, თითოეული პერიოდისათვის განისაზღვრება წლის პერიოდები, რომელთა დროსაც ჭარბობენ ვენტილაციის ქარით გამოწვეული ან თერმული სქემები, ხოლო ამ უკანასკნელებში უნდა განისაზღვროს მათი სახესხვაობები.

ასე, მაგალითად, ნახ. 21.1-დან ჩანს, რომ კარიერის გამომუშავების 1-ლ და მე-2 პერიოდებში, ქარის საკმარისი ძალისა და მისი მიღებული მიმართულების დროს პრაქტიკულად მთელი კარიერი განიავდება პირდაპირი დინებითი სქემით. ამ პერიოდებში უმნიშვნელოა თავისუფალი ჭავლის AO საზღვრის ქვევით მდებარე რეცირკულაციის ზონები. თუ ამ დროს, ძირითადი სამთო სამუშაოები იწარმოება კარიერის მარჯვენა, ქარპირა ბორტზე და თუ გავითვალისწინებთ, რომ კარიერის სიგრძის შეფარდება მის სიღრმესთან საკმაოდ დიდია, ნათელია, რომ განხილულ პერიოდებში კარიერის განიავების პროცესში არავითარი სიძნელეები არ იქმნება. გამონაკლის შემთხვევებში, სიძნელეები შეიქმნება უქარობის და ტემპერატურული ინვერსიების პერიოდებში.

მე-3 პერიოდში რეცირკულაციის ზონების მოცულობა იზრდება და განიავების სქემა ხდება რეცირკულაციურ-პირდა-

პირდინებიანი. მდგომარეობა უფრო რთულდება მე-4 პერიოდში, როდესაც განიავების სქემა მთლიანად გარდაიქმნება რეცირკულაციურ სქემად, ხოლო კარიერის სიგრძის მის სიღრმესთან შეფარდების შემცირება იწვევს კარიერის ფსკურისპირა ნაწილში ქარის მიერ გამოწვეული მოძრაობის მნიშვნელოვან შესუსტებას. ეს უკანასკნელი წარმოადგენს კარიერის ამ ნაწილში პაჟრის მოძრაობის თერმული სქემების განვითარების მიზებს.

კარიერის განიავების სქემებისა და რეცირკულაციის ზონების განსაზღვრა შესაძლებელია მოდელირების საშუალებით, რომლის დროსაც კარიერის შემცირებული მოდელის გამოცდა ხდება სპეციალურ აეროდინამიკურ მილში.

21.4. კარიერის ბუნებრივი განიავების ინტენსიფიკაცია და მისი ატმოსფეროს გამაჯანსაღებელი ტექნოლოგიური დონისძიებები

ბუნებრივი განიავების ინტენსიფიკაცია აფართოებს განიავების შესაძლებლობებს და ამით ამცირებს იმ პერიოდებს, როდესაც აუცილებელია ხელოვნური ვენტილაციის საშუალებების გამოყენება. კარიერების ბუნებრივი განიავების ინტენსიფიკაციის საშუალებებია: გაბატონებული ქარების მიმართ კარიერის ორიენტაციის გაუმჯობესება, ბორტების დახრის კუთხეების შემცირება, გაბატონებული ქარის მიმართულებით კარიერის სიგრძის გაზრდა, ზედაპირზე ნაგებობებისა და სანაყაროების შესაბამისი განლაგება.

ზედაპირული ნაგებობებისა და გარე სანაყაროების რაციონალური განლაგება შედარებით მარტივი ამოცანაა. მაგრამ უნდა გავითვალისწინოთ, რომ ეს ღონისძიება ეფექტურია მხოლოდ გაბატონებული მიმართულებით ქარის ქროლვისას. ქარის ქროლვის მიმართულების შეცვლისას ზედაპირულმა ნაგებობებმა და გარე სანაყაროებმა შესაძლებელია, პირიქით, გააუარესოს კარიერის ბუნებრივი განიავება ექრანული ზემოქმედების გამო. ამავე დროს საჭიროა გავითვალისწინოთ ღონისძიებებით რათა თავიდან იქნეს აცილებული გარე სანაყაროებიდან კარიერში მტვრის შეტანა.

მეცნიერული გამოკვლევები და დაპვირვებები გვიჩვენებს, რომ კარიერების ბუნებრივი განიავების ინტენსიფიკაციისათვის შესაძლებელია გამოვიყენოთ კარიერის ზედა კიდესთან, ზედაპირიდან რადაც სიმაღლეზე მიმმართველი ჰორიზონტალური ფარების განლაგება. აღნიშნული ფარები შეიძლება გადაადგილდნენ კარიერის კონტურის გასწვრივ ქარის მიმართულების მიხედვით. ეს ფარები მიმართავენ რა კარიერის შიგნით საპატიო ნაკადს, ხელს უწყობენ რეცირკულაციის ზონების შემცირებას.

იმ შემთხვევაში, როდესაც ბუნებრივი განიავების ინტენსივობა არასაკმარისია, საჭიროა განვიხილოთ კარიერში ტექნოლოგიის, მექანიზაციისა და მუშაობის ორგანიზაციის შეცვლის საკითხი, რომლის დროსაც მცირდება კარიერის ატმოსფეროში მავნეობების გამოყოფა. ასე, მაგალითად, კარიერში გამოვიყენოთ უფრო პიგიენური ტრანსპორტის სახეები (ელექტრო-ტრანსპორტი, საკონვეიერო და პიდროტრანსპორტი); ისეთი

ავტოთვითმცლელების გამოყენება, რომლებიც გამოყოფენ მინი-მალური რაოდენობის მავნე აირებს; სამუშაოთა წარმართვა ძირითადად ქარპირა ბორტებზე; აფეთქებითი სამუშაოების წარმართვა დღე-დამის იმ პერიოდებში, როდესაც კარიერში პაერცვლა მაქსიმალურია; კარიერში სამუშაოს ისეთი ორგანიზაციის გამოყენება, როდესაც მავნეობების გამომყოფი წყაროების განუწყვეტელი მუშაობის დრო უფრო ნაკლებია იმ დროზე, როდესაც კარიერის ატმოსფეროში მავნეობების კონცენტრაცია გადააჭარბებს მათ ზღვრულად დასაშვებ კონცენტრაციებს.

21.5. კარიერის ხელოვნური ვენტილაციის საშუალებების გამოყენების პერიოდებისა და მასშტაბების განსაზღვრა

კარიერის ბუნებრივი განიავების ეფექტურობის შეფასებისას აუცილებელია ქარის სიჩქარის კრიტიკული მნიშვნელობების დადგენა, რომლის ქვევითაც პრაქტიკულად ნულის ტოლია კარიერებში ბუნებრივი პაერცვლა, ამის საშუალებით განისაზღვრება ის პერიოდები, როდესაც აუცილებელია გამოყენოთ ხელოვნური ვენტილაციის საშუალებები.

პაერცვლის დარღვევის პერიოდების შეფასებისას ყოველთვის უნდა გავითვალისწინოთ, რომ ქარის სიჩქარის ცვლილებების საშუალო სტატისტიკური მონაცემები ყოველთვის შეიძლება განსხვავდებოდეს ფაქტიური მონაცემებიდან კარიერის გამომუშავების ამა თუ იმ პერიოდისათვის. კარიერში

პაერცვლის დარღვევის პერიოდების შეფასებისათვის შესაძლებელია გამოვიყენოთ მეტეოროლოგების მიერ მოწოდებული სპეციალური მონაცემები ტემპერატურების ინვერსიებისა და წყნარი ამინდების შესახებ.

სელოვნური ვენტილაციის საშუალებების გამოყენება აუცილებელია მხოლოდ იმ შემთხვევებში, როდესაც პაერცვლის დარღვევის პერიოდების სანგრძლივობა აღემატება იმ პერიოდის სანგრძლივობას, რომლის დროსაც ატმოსფეროში მავნეობების კონცენტრაცია გადააჭარბებს მათ ზღვრულად დასაშვებ კონცენტრაციებს.

სელოვნური ვენტილაციის მასშტაბები განისაზღვრება იმ ზონების მოცულობებით, რომლებშიც მავნეობათა შემცველობა აღემატება ზღვრულად დასაშვები კონცენტრაციების დონეებს.

განიავების პირდაპირი დინების სქემისა და მავნეობების გამომყოფი წყაროების კარიერის ქარზურგა ბორტებზე განლაგების დროს წარმოებს კარიერის მთლიანი სივრცის დაგაზიანება. დაგაზიანებული სივრცის მოცულობა თანდათან შემცირდება მავნეობების გამომყოფი წყაროების ქარპირა ბორტისაკენ გადადგილების დროს.

განიავების რეცირკულაციური სქემის გამოყენებისას დაგაზიანების ზონის მოცულობად მიიღება რეცირკულაციის ზონის მოცულობა და დაგაზიანების დონის განსაზღვრისათვის უნდა გავითვალისწინოთ მხოლოდ რეცირკულაციის ზონაში განლაგებული მავნეობების გამომყოფი წყაროები.

21.6. კარიერის ვენტილაციისათვის აუცილებელი ჰაერის რაოდენობისა და სავენტილატორო დანადგარების რიცხვის განსაზღვრა

კარიერში გამოყოფილი მავნეობების განზავებისათვის აუცილებელი ჰაერის რაოდენობა განისაზღვრება ფორმულით

$$q = \frac{v}{t} \left(0,0166 \lg \frac{C_0}{C_d} - 0,0022 \right), \quad \text{მ³/წმ}, \quad (21.1)$$

სადაც v არის კარიერის დაგაზიანებული სივრცის მოცულობა, მ^3 ; t – განიავების დრო, წმ ; C_0 – კარიერში მისაწოდებელ ჰაერში მავნეობების შემცველობა, $\%$; C_d – კარიერის ჰაერში მავნეობების ზღვრულად დასაშვები შემცველობა, $\%$.

იგივე ჰაერის რაოდენობა შესაძლებელია აგრეთვე განისაზღვროს ფორმულით

$$q = \frac{b \cdot v}{t} \sqrt{\ln \frac{C_0}{C_d}}, \quad \text{მ³/წმ}, \quad (21.2)$$

სადაც b არის კოეფიციენტი, რომელიც ითვალისწინებს სავენტილატორო დანადგარების რიცხვს, განლაგების ადგილსა და სავენტილაციო მილების დიამეტრს ($b=0,087-0,130$).

იმ შემთხვევაში, როდესაც კარიერის სივრცეში მუდმივად გამოიყოფა მავნეობები ინტენსივობით G , დროის ერთეულში კარიერში მისაწოდებელი ჰაერის აუცილებელი რაოდენობა იანგარიშება ფორმულით

$$q = \frac{G}{K(C_d - C_0)}, \quad \delta^3/\nabla\theta, \quad (21.3)$$

სადაც K არის თავისუფალი ჭავლის ტურბულენტური დიფუზიის კოეფიციენტი.

მსხვილი თანამედროვე კარიერების ხელოვნური ვენტილაციის პრაქტიკა და გაანგარიშება გვიჩვენებს, რომ მათი ეფექტური განიავებისათვის აირების განზავებისათვის საჭირო ჰაერის რაოდენობა შეადგენს $60\ 000 \text{ m}^3/\text{წმ}$, ხოლო მტკრის ფაქტორის მიხედვით – $10\ 000-15\ 000 \text{ m}^3/\text{წმ}$.

სავენტილატორო დანაგდარების რიცხვი, მათი პარალელური ან მარაოსებური მუშაობის დროს, მიახლოებით შეიძლება განისაზღვროს ფორმულით

$$N = \frac{B}{b}, \quad (21.4)$$

სადაც B არის სავენტილაციო ჭავლის მოქმედების მართობულად განლაგებულ სიბრტყეში დაგაზიანებული ზონის სიგანე; b – ერთი სავენტილატორო დანადგარის მიერ შექმნილი ჭავლის სიგანე; ამ დროს მიზანშეწონილია სავენტილატორო დანადგარი განვალაგოთ გასანიავებელი ზონიდან დაახლოებით $l \approx 2,5 \cdot b$ მანძილზე.

ვენტილატორების მიმდევრობითი მუშაობის დროს, სავენტილატორო დანადგარების მიახლოებითი რაოდენობა განისაზღვრება შემდეგი ფორმულით

$$N = \frac{L}{l_{\text{სას}}}, \quad (21.5)$$

სადაც L არის ჭუჭყიანი ჰაერის მოძრაობის ტრაექტორიის საგროვი სიგრძე პირველი სავენტილაციო დანადგარის განლაგების ადგილიდან კარიერიდან ჰაერის მოცილების ადგილამდე;

l_{sas} – ერთი სავენტილაციო დანადგარის მიერ შექმნილი ჭავლის საშუალო სიგრძე.

საერთოდ დადგენილია, რომ სავენტილაციო დანადგარების რიცხვი დამოკიდებულია განიავების მიღებულ დროზე. გარდა ამისა, სავენტილაციო დანაგდგარების რიცხვი შესაძლებელია განვსაზღვროთ ფორმულით

$$N = \frac{Q}{q \cdot t}, \quad (21.6)$$

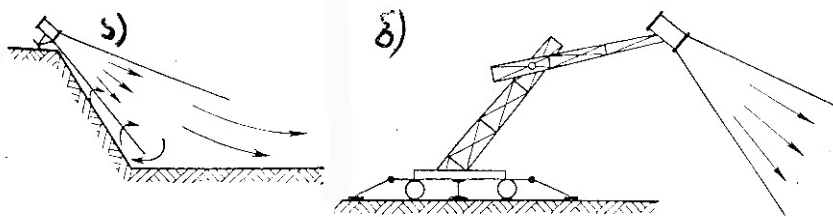
სადაც Q არის ჰაერის საერთო რაოდენობა, მ^3 ; q – ერთი სავენტილაციო დანადგარის მწარმოებლურობა, $\text{მ}^3/\text{წ}$; t – განიავების მიღებული დრო, წ .

21.7. სავენტილაციო დანადგარების, მათი განლაგების ადგილებისა და ერთობლივი მუშაობის სქემების შერჩევა

სავენტილაციო დანადგარების შერჩევა პირველ რიგში განპირობებული უნდა იყოს კარიერის მოსალოდნელი გაჭუჭყიანების მასშტაბებით. რაც უფრო მეტია გაჭუჭყიანებული ზონის მოცულობა, მით უფრო მძლავრი უნდა იყოს შერჩეული სავენტილაციო დანადგარი.

ცალკეული სამუშაო ადგილების განიავებისათვის (ადგილობრივი ვენტილაცია), როდესაც კარიერის საერთო ატმოს-

ფეროს მდგომარეობა დამაქმაყოფილებელია, შესაძლებელია გამოვიყენოთ შესაბამისი სიმძლავრის გადასაადგებელი ვენტილატორები. ეს ვენტილატორი შეიძლება განლაგდეს სამუშაო მოედნის დონეზე, ზედა საფეხურებზე ან სპეციალურ სადამებზე (ნახ. 21.2, а) და б)).



ნახ. 21.2

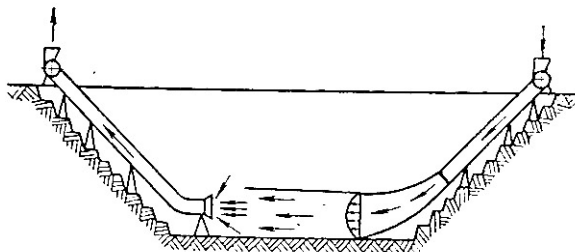
ამ მეთოდის გამოყენებისას საერთო მოთხოვნას წარმოადგენს, რომ განსაზღვრულ ზონაში ვენტილატორის მიერ უნდა მიეწოდოს სუფთა ჰაერი, რისთვისაც ვენტილატორი უნდა განლაგდეს გაჭუჭყიანებული ზონის ფარგლებს გარეთ. თუ ამ პორბის შესრულება შეუძლებელია ვენტილატორის მიერ შექმნილი თავისუფალი ჭავლის შეზღუდული სიგრძის გამო, აუცილებელია სუფთა ჰაერის ასაღებად გამოვიყენოთ სავენტილაციო მილები.

ადგილობრივი განიავებისათვის გამოყენებული ვენტილატორის განლაგებისას საჭიროა გამოირიცხოს ან მინიმუმამდე შემცირდეს გაჭუჭყიანებული ჰაერის რეცირკულაცია, რისთვისაც უნდა გავითვალისწინოთ ქარის მიმართულება და ძალა.

სავენტილატორო დანადგარის განლაგების ადგილი დამოკიდებულია კარიერის ვენტილაციის სქემაზე, ქარის ქროლვის მიმართულებაზე, კარიერის ფორმაზე, ატმოსფეროს გაჭუჭყია-

ნების ხარისხსა და ხასიათზე, აგრეთვე ერთობლივად მომუშავე სავენტილაციო დანადგარების რაოდენობაზე. სავენტილაციო დანადგარი შეიძლება იყოს სტაციონარული და გადასაადგილებელი. კარიერში მიზანშეწონილია გამოვიყენოთ გადასაადგილებელი დანადგარები. მათი მუშაობა უფრო ადვილი უთავსედება ქარის ქროლვის მიმართულებას, აგრეთვე დანადგარი შეიძლება იქ გადავიტანოთ, ხადაც მიმდინარეობს ძირითადი სამუშაოები და მაქსიმალური გავხადოთ მისი ეფექტურობა. ჩვეულებრივ, გადასაადგილებელი დანადგარების საჭირო რაოდენობა ყოველთვის უფრო მცირეა, ვიდრე სტაციონარული დანადგარებისა. სტაციონარული დანადგარები შეიძლება გამოვიყენოთ მხოლოდ მცირე ზომის კარიერებში.

მავნეობების ადგილობრივი დაგროვების მნიშვნელოვანი მოცულობის მქონე ზონების წარმოქმნისას საჭიროა გამოვიყენოთ ადგილობრივი განიავების მძლავრი სავენტილაციო დანადგარები (ნახ. 21.3), რომელთაგან ერთი მუშაობს სუფთა პაერის დაჭირხვნაზე, ხოლო მეორე განზავებული პაერის შეწოვაზე. პრაქტიკაში განიავების აღნიშნული სქემის გამოყენებით შესაძლებელი შეიქმნა ინგერსიის პერიოდში 25 მილიონი მ³ მოცულობისა და 100 მ სიღრმის მქონე გაჭუჭყიანებული ზონის მოლიანად გასუფთავება 45 წუთის განმავლობაში.



ნახ. 21.3

სავენტილაციო დანადგარის განლაგების ადგილი უნდა უზრუნველყოფდეს მის მიერ შექმნილი პაერის ჭავლის ყველაზე უფრო სრულოფილ განვითარებას. ეს ნიშნავს, რომ ვენტილაციისათვის უნდა გამოვიყენოთ ჭავლები, რომელთა საშუალო სიგრძე და პაერის ხარჯი მაქსიმალური ან მასთან მიახლოებულია, ხოლო ჭავლის ენერგიის კარგგა კარიერის გარეთ მინიმალურია.

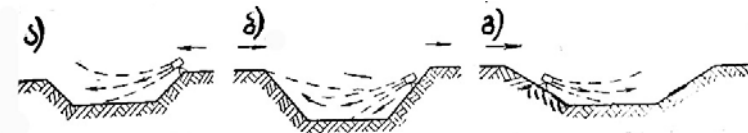
21.8. კარიერების ხელოვნური განიავების სქემები

არსებობს კარიერების ხელოვნური განიავების შედეგი სქემები:

1. განიავება ცალკეული სავენტილაციო დანადგარების გამოყენებით, რომლებიც განლაგებულნი არიან ზედაპირზე, შეალედურ სავენტილაციო ბერმაზე ან კარიერის ძირზე;
2. განიავება რამდენიმე სავენტილაციო დანადგარის გამოყენებით, რომლებიც მუშაობებს მიმდევრობით, პარალელურად, მარაოსებურად ან კომბინირებულად.

განიავების სქემები ცალკეული დანადგარებით გამოიყენება კარიერის უმნიშვნელო ზომების დროს, ტრანშეების გაყვანისას, ან გაჭუჭიანების ზონების უმნიშვნელო მოცულობის შემთხვევებში.

მიწის ზედაპირზე სავენტილაციო დაადგარი ეწყობა მცირე სიღრმის კარიერების შემთხვევაში (ნახ. 214, ა))



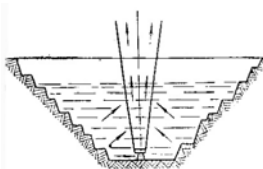
ნახ. 214

ეს სქემა რაციონალურია მაშინ, როდესაც კარიერის ზომა სავენტილაციო ჭავლის მოქმედების მიმართულებით არ აღმატება დანადგარის მიერ შექმნილი ჭავლის სიგრძეს, რაც უზრუნველყოფს მიწის ზედაპირზე მავნეობების ამოტანას. მიწის ზედაპირზე ქარის მიმართულება ნაჩვენებია ისრით.

უფრო დრმა კარიერების შემთხვევაში მიზანშეწონილია სავენტილაციო დანადგარი მოვათავსოთ შუალედურ სავენტილაციო ბერმაზე, რათა უზრუნველვყოთ კარიერის ქვედა ნაწილის განიავება (ნახ. 214, ბ და გ). ბ) შემთხვევაში მოცემულია კარიერის განიავების რეცირკულაციური სქემა. ამ შემთხვევაში ვენტილაციო უნდა განლაგდეს ან რეცირკულაციური ზონის ზევით, ან რეცირკულაციური ზონის ზედა ნაწილში მაინც, სადაც პაერი შედარებით სუფთაა, ხოლო მისი მუშაობის მიმართულება უნდა ემთხვეოდეს პაერის მოძრაობის მიმართულებას რეცირკულაციის ზონაში (ანუ მიწის ზედაპირზე ქარის ქროლვის მიმართულების საწინააღმდეგოდ).

ნახ. 21.4, გ) შემთხვევაში მოცემულია კარიერის განიავების პირდაპირი დინებითი სქემა, როდესაც სავენტილაციო დანადგარის მუშაობის მიმართულება თანხვედრილია მიწის ზედაპირზე ქარის ქროლვის მიმართულებისა.

იმ შემთხვევებში, როდესაც კარიერი ღრმაა და ამავე დროს სიგრძე-სიგანეში მცირედ გაფრცობილი, სავენტილაციო დანადგარი უნდა განლაგდეს კარიერის ძირზე (ნახ.21.5). ამ



შემთხვევაში საჭიროა, რომ დანადგარის მიერ შექმნილი ჭავლის სიმძლავრე იყოს ისეთი, რომ უზრუნველყოფილი იყოს გაჭუჭყიანებული ჰაერის ამოტანა მიწის ზე-დაპირზე. გაჭუჭყიანებული ჰაერის მოცილებასთან ერთად გაჭუჭყიანების დონე

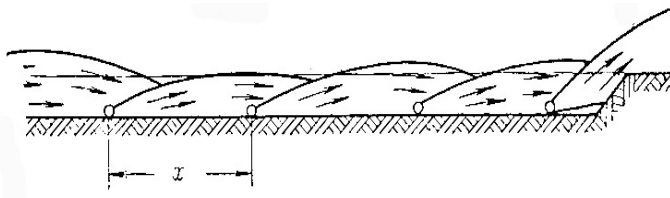
ნახ.21.5 მცირდება და სიგრცე მათ ზევით ივსება სუფთა ჰაერით.

აუცილებელია, რომ მუშა პორიზონტებზე ჰაერის პორიზონტალური გადაადგილების სიჩქარე იყოს საკმარისი (მაგალითად, 0,15-0,25 მ/წმ) მაგნეობების გადასატანად. წინააღმდეგ შემთხვევაში საჭიროა გამოვიყენოთ განიავების სქემები რამდენიმე დანადგარის ერთობლივი მუშაობით.

განიავების სქემები რამდენიმე დანადგარის ერთობლივი მუშაობით გამოიყენება გაჭუჭყიანების ზონების დიდი მოცულობების დროს, როდესაც ცალკეული დანაგარი ვერ უზრუნველყოფს მათ განიავებას მოკლე დროის განმავლობაში.

სავენტილაციო დანადგარების მიმდევრობითი ანუ კასკადური მუშაობა გამოიყენება ვიწრო, ღრებოსმაგრარი კარიერებისა და ტრანშეების განიავების დროს (ნახ. 21.6). ამ შემ-

თხვევაში დანადგარები ქმნიან პაერის მოძრაობას კარიერის გრძელი ღერძის გასწვრივ. ისინი, გარდა პირველი დანადგარისა განლაგებულნი არიან კარიერის ძირზე. პირველი სავენტილაციო დანადგარი მიზანშეწონილია განლაგდეს სავენტილაციო ბერმაზე. კარიერიდან მავნეობების უკეთესად გამოტანისათვის კასკადში ბოლო დანადგარი უნდა ქმნიდეს აღმავალ ჰაერის ჭავლს.

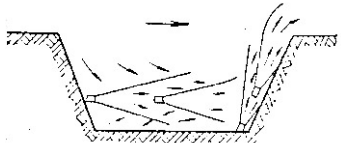


ნახ. 21.6

განიავების დაპროექტების დროს, პირველ რიგში მიზანშეწონილია შევამოწმოთ ვიწრო და სიგრძეში გაწელილი კარიერებისა და ტრანშეების განიავების შესაძლებლობა ერთი სავენტილაციო დანადგარით, რაც კარგად ხდება როდესაც კარიერის საშუალო სიგანის ფარდობა მის სიგრძესთან არ აღემატება 3,5-ს. თუ შემოწმებამ გვიჩვენა, რომ განიავება ერთი დანადგარით არაეფექტურია, საჭიროა გამოვიყენოთ განიავების მიმდევრობითი ანუ კასკადური სქემა.

აუცილებელია გავითვალისწინოთ, რომ კასკადში ბოლო

საავენტილატორო დანადგარის



მიერ შექმნილ აღმავალ ჰაერის

ჭავლს, კარიერიდან გამო-

სვლისას უნდა ჰქონდეს სიჩქარე

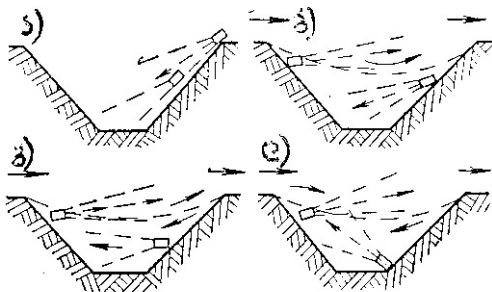
არანაკლები 0,5 მ/წმ, რათა მოხდეს

ნახ.21.7

ჰაერში განზავებული მავნეობების კარიერის გარეთ გატყორცნა, რის გამოც შესაძლებელია საჭირო გახდეს კარიერის ბორტზე დანადგარების კასკადური განლაგება (ნახ. 21.7). გარდა ამისა, მხედველობაში უნდა მივიღოთ, რომ ზედაპირზე მქროლავი ქარის მიმართულების 180° -ით შეცვლისას, რომ არ მოხდეს კარიერიდან გარეთ გამოტანილი მავნეობების უკან დაბრუნება კარიერის სივრცეში, აუცილებელია, აღმავალი ჭავლის შემქმნელი დანადგარები გადავიტანოთ კარიერის მოპირდაპირე ბორტზე და ჰორიზონტალური ნაკადების შემქმნელი დანადგარების მუშაობის მიმართულება შევცვალოთ 180° -ით.

ნახ. 21.8-ზე ნაჩვენებია ღრმა კარიერში ორი სავენტილატორო დანადგარის მიმდევრობითი მუშაობის სქემა. ამ ნახაზზე ა) შემთხვევაში ნაჩვენებია სუფთა ჰაერის მიწოდება ზედაპირიდან, როდესაც ზედაპირზე ქარი არა ქრის, ხოლო დანარჩენ შემთხვევებში ნაჩვენებია ზედაპირზე ქარის ქროლვისას რეცირკულაციის ზონაში ჰაერცვლის ინტენსიფიკაცია. როგორც ამ ნახაზიდან ჩანს რეცირკულაციის ზონაში განლაგებული დანადგარის მიერ შექმნილი ჭავლის მიმართულება თანხვედრილია ამ ზონაში ჰაერის მოძრაობის მიმართულებასთან. იმ შემთხვევაში, როდესაც კარიერს გააჩნია მნიშვნელოვანი ზო-

მები, საჭიროა გავზარდოთ სავენტილაციო დანადგარების რიცხვი.



ნახ. 21.8

სავენტილაციო დანადგარების პარალელური და მარაოსებური მუშაობა გამოიყენება იმ შემთხვევაში, როდესაც გაჭუჭყიანების ზონების ზომები გეგმაში მნიშვნელოვნად აღემატება დანადგარის მიერ შექმნილი ჭავლების განივ ზომებს. ამ დროს დანადგარის განლაგებისას ისე უნდა შეირჩეს მათი დაღვმის ადგილები, რომ არ დაუშვათ ჭავლების შერწყმა ან უზრუნველყოფილ იქნას ჭავლების რაც შეიძლება დიდ მანძილზე განვითარება მათ ურთიერთშერწყმამდე.

სავენტილაციო დანადგარების მარაოსებური განლაგებისას მათ მიერ შექმნილი ჭავლების დერბებს შორის კუთხე არ უნდა აღემატებოდეს 40° -ს. საერთოდ, ნებისმერ შემთხვევაში, სავენტილაციო დანადგარის მიერ შექმნილ ჭავლსა და ჭარის ნაკადს შორის კუთხე უნდა იყოს 90° -ზე ნაკლები და აუცილებელია ეს ნაკადები მიმართული იყოს ერთიდამავე მიმართულებით.

ნახ. 21.9-ზე მოყვანილია მარაოსებური სქემით რამდენიმე

სავენტილაციო დანადგარის მუშაობის მაგალითი. ამ ნახაზის მიხედვით I მეოთხედში ქარის დროს მუშაობენ 1-ლი, მე-2 და მე-3 დანადგარები; II მეოთხედში ქარის შემთხვევაში – 1-ლი, მე-2 და მე-5; III მეოთხედში ქარის დროს – მე-3, მე-4 და მე-5; ხოლო IV მეოთხედში ქარის დროს – მე-2, მე-3, მე-4 და მე-5.

ქარის ქროლვის მიმართულების შესაბამისად, თითოეულ მეოთხედში ნაჩვენები სავენტილაციო დანადგარებიდან ზოგიერთები შესაძლოა არ ვამჟალო (მაგალითად, ჩრდილოეთის მიმართულებასთან მიახლოებული ქარის დროს, აშკარაა, რომ არ უნდა იქნას გამოყენებული მე-3 სავენტილაციო დანადგარი).

სავენტილაციო დანადგარების კომბინირებული მუშაობა

გამოიყენება მაშინ, როდესაც არ არის უზრუნველყოფილი კარიერის ეფექტური განიავება მხოლოდ მიმდევრობითი ან მხოლოდ პარალელური მუშაობის სქემების გამოყენების დროს. მაგალითად, შესაძლებელია მძლავრი ვერტიკალური ჭავლისა



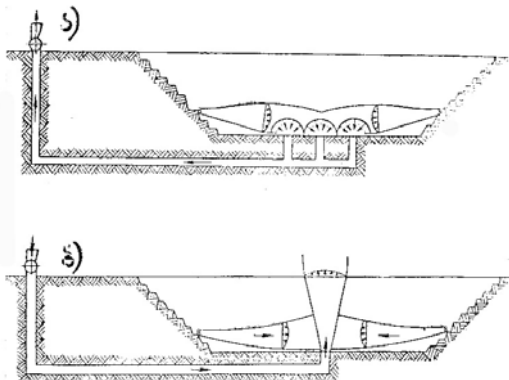
ნახ.21.10
უფრო ინტენსიურად
გერტიკალური ჭავლის წავლის წარმომქმნელი დანადგარის სიახლოვეს.

და რამდენიმე ნაკლებად მძლავრი პორიზონტალური ჭავლების კომბინაცია (ნახ. 21.10). პორიზონტალური

ჭავლები იქმნებიან იმ მიზნით, რომ მოხდეს მავნეობების თავმოყრა წარმომქმნელი დანადგარის სიახლოვეს.

გარდა ამისა შესაძლებელია გამოყენებულ იქნას სავგნტი-ლატორო დანადგარების სხვა კომბინაციებიც.

იმ შემთხვევაში, როდესაც კარიერს გააჩნია მიწისქვეშა გვირაბები, შესაძლებელია მათი გამოყენება კარიერის გასანიავებლად. ამ შემთხვევაში განიავების ზოგიერთი სქემები მოცემულია ნახ. 21.11-ზე. ამ სქემებს შორის უფრო უფასტურია დაჭირხვნაზე მომუშავე ვენტილატორის გამოყენება.



ნახ. 21.11

ამ შემთხვევაში მიწისქვეშა გვირაბიდან კარიერის სივრცეში გამოსული პაერის მიერ შექმნილ თავისუფალ ჭავლს (ნახ. 21.11, ბ)), რაც უფრო სცილდება გვირაბის პირს და ზრდის თავის ხარჯს, შესაძლებლობა გააჩნია შეითვისოს და განაზავოს მნიშვნელოვნად მეტი გაჭუჭყიანებული პაერი, ვიდრე შეწოვაზე მომუშავე მიწისქვეშა გვირაბებს (ნახ. 21.11 ა)). განიავების ამ მეთოდების უარყოფითი მხარეებია ის, რომ შეუძლებელია მიწისქვეშა გვირაბების საშუალებით პაერის დიდი რაოდენობით მიწოდება.

ლ ი ტ ე რ ა ტ უ რ ა

1. ვ. კაშიბაძე მაღაროს აეროლოგია. გამომცემლობა “განათლება”, თბილისი, 1978.
2. თ. კუნჭულია, მ. ქიტოშვილი სამთო საწარმოთა აეროლოგია (მეთოდური მითითებები დაბორატორიული სამუშაოების შესასრულებლად). გამომცემლობა “ტექნიკური უნივერსიტეტი”, თბილისი, 2007.
3. ა.ქენოვანტოვა ამოცანათა კრებული მაღაროს ვენტილაციაში (საანგარიშო მონაცემები, მაგალითები ამოხსნით და ამოცანები პასუხებით). spi-ს გამომცემლობა, თბილისი, 1960.
4. Аэромология горных предприятий К.З.Ушаков, А.С.Бурчаков и др., М.: «Недра», 1987.
5. К.З.Ушаков, В.А.Михаилов Аэромология карьеров, М.: «Недра», 1975.
6. Рудничная и промышленная аэромология, А.Ф.Милетич, И.М.Яровой и др., М.: «Недра», 1972.
7. А.И. Мустель Вентиляция шахт, М.: Металлургиздат, 1957.

გ ი ნ ა ა რ ს ი

შესავალი.....	3
ნაწილი I სამოო საჭარმოთა აზოვისცერო.....	6
1. სამოო საჭარმოების პატიო	6
1.1. ატმოსფერული პატიოს შემადგენელი ნაწილები.....	6
1.2. პატიოს შემადგენლობის ცვლილება მისი გვირაბებში მოძრაობისას.....	12
1.3. შახტის აირსიუხვე.....	14
1.4. სამოო საწარმოთა პატიო შემავალი ფეთქებადი და მოწამდავი აირები.....	16
1.5. პატიო აირების შემცველობის გაზომვის ხერხები.....	22
2. მეთანი.....	25
2.1. მეთანის ფიზიკურ-ქიმიური თვისებები.....	25
2.2. მეთანის გამოყოფის სახეები.....	27
2.3. ნახშირისა და აირის უეცარი გამოსროლის საწინააღმდეგო ზომები.....	28
2.4. ნახშირის ფენებისა და ქანების მეთანშემცველობა და მეთანსიუხვე.....	30
2.5. მეთანის საშიში რაოდენობით დაგროვების საწინააღმდეგო ზომები.....	32
2.6. ნახშირის ფენების დეგაზაცია.....	34
2.7. კარიერის მიკროკლიმატის ძირითადი მახასიათებლები.....	37
2.8. კარიერის ატმოსფეროს გაჭუჭყიანების წყაროები.....	40
3. სამოო საჭარმოების მტვრი.....	43
3.1. ზოგადი ცნობები.....	43

3.2. ნახშირის მტვერის წვალობა და ფეთქებადობა.....	44
3.3. ფაქტორები, რომელიც დამოკიდებულია ნახშირის მტვერის აფეთქება.....	46
3.4. ნახშირის მტვერის აფეთქების საწინააღმდეგო ზომები.....	48
3.5. გვირაბების მოფიქალება და მორწყვა.....	49
3.6. კარიერების ატმოსფეროში მტვრის გამოყოფის შემცირების მეთოდები და საშუალებები.....	51
4. კლიმატური პირობები სამორ საჯაროებში.....	52
4.1. ადამიანის ორგანიზმზე კლიმატური პირობების ზემოქმედება.....	52
4.2. კლიმატური პირობების ნორმები შახტებსა და კარიერებში.....	54
4.3. შახტებში ჰაერის გამაცივებელი დანადგარები.....	57
4.4. შახტის ჰაერის გათბობა.....	58
ნაწილ II. საშახტო ამონამდებარებები.....	59
5. წინასწარი განმარტებანი და განსაზღვრებები.....	59
5.1. იდეალური და რეალური სითხე ან აირი.....	59
5.2. ჰიდრომექანიკური წნევა და მისი თვისება.....	60
5.3. ჰაერის ფიზიკური თვისებები.....	61
6. ტემპერატურის, ტენიანობის, წევვის, წევვათა სხვაობისა და ჰაერის მოძრაობის სიჩქარის გაზომვა და საზომი ხელსაწყოები.....	68
6.1. მაღაროს ჰაერისა და სამორ ქანების ტემპერატურის გაზომვა.....	68
6.2. ჰაერის ტენიანობის გაზომვა.....	69
6.3. წნევისა და წნევათა სხვაობის საზომი ხელსაწყოები.....	70

6.4. დეპრესიისა და სიჩქარითი დაწყევის გაზომვა.....	74
6.5. ჰაერის მოძრაობის სიჩქარის საზომი ხელსაწყოები და გაზომვის ხერხები.....	77
6.5.1. ჰაერის მოძრაობის სიჩქარის ანგმომეტრით გაზომვის ხერხები.....	78
6.5.2. ჰაერის მოძრაობის სიჩქარის გაზომვა ანგმომეტრით და ჰაერმზომი მიღაკითა და მიკრომანომეტრით.....	81
7. აეროსტატიკა.....	83
7.1. აეროსტატიკის ძირითადი განტოლება.....	83
7.2. წნევის საანგარიშო ფორმულები სიღრმის ცვლილებების მიხედვით.....	86
8. მაღაროში ჰაერის მოძრაობის ძირითადი კანონები.....	88
8.1. იდეალური სითხის ან აირის მოძრაობის დიფერენციალური განტოლებები.....	88
8.2. ბერნულის განტოლება იდეალური სითხისათვის.....	89
8.3. ბერნულის განტოლება რეალური სითხისათვის.....	93
8.4. ბერნულის განტოლება პორიზონტალური გვირაბებისათვის.....	97
8.5. ჰაერის ნაკადთა ტიპები. ლამინარული და ტურბულენტური მოძრაობა.....	99
9. გვირაბების აეროდინამიკური წილადობები.....	102
9.1. ხახუნის წინაღობა.....	102
9.2. სხვადასხვა სახის გვირაბების აეროდინამიკური წინაღობის კოეფიციენტის საანგარიშო ფორმულები.....	105
9.3. შუბლური წინაღობა.....	107
9.4. ადგილობრივი წინაღობები და მათი შემცირების	

საშუალებები.....	109
9.5. წინაღობის ერთეულები.....	111
9.6. ექვივალენტური ხვრელი.....	112
9.7. მაღაროს ან შახტის მახასიათებელი.....	114
10. მაღაროს საგენტილაციო ძნელების და ბვირაპების შემთხვების სახეობა.....	115
10.1. გვირაბების მიმღევრობითი შეერთება.....	115
10.2. გვირაბების პარალელური შეერთება.....	116
10.3. პარალელური განშტოების საერთო წინაღობის საანგარიშო ფორმულა.....	117
10.4. პარალელურ ფრთხებზე გამავალი პაერის რაოდენობის საანგარიშო ფორმულები.....	119
10.5. მოკლე შერთვა.....	120
10.6. გვირაბების დიაგონალური შეერთება.....	121
11. სამთო საწარმოების ბუნებრივი ბანიავება.....	122
11.1. მაღაროების ბუნებრივი განიავება.....	122
11.2. ბუნებრივი დეპრესიის გაზომვა და ანგარიში.....	124
11.3. ფაქტორები, რომლებზედაც დამოკიდებულია ბუნებრივი წევის სიდიდე.....	126
11.4. კარიერების განიავება ქარის ენერგიით.....	127
11.5. კარიერების განიავება თერმული ძალების ენერგიით.....	133
12. პაერის რეგულირება.....	139
12.1. პაერის რეგულირება საგენტილაციო ფანჯრების საშუალებით (უარყოფითი რეგულირება).....	139
12.2. პაერის რეგულირება წინაღობის შემცირებით იმ ფრთაზე,რომელზეც გვსურს გავადიდოთ პაერის	

რაოდენობა (დადებითი რეგულირება).....	143
12.3. პაერის რეგულირება დამხმარე ვენტილატორების საშუალებით.....	146
13. ჰაერის დანაკარგები მაღაროებში.....	147
13.1. პაერის ადგილობრივი დანაკარგები.....	147
13.2. გვირაბების მთელ სიგრძეზე არსებული პაერის უწყვეტი დანაკარგები.....	150
13.3. პაერის დანაკარგების შესამცირებელი ღონისძიებები.....	151
ნაწილ III. სამთო საჭარბოთა გენტილაცია.....	152
14. სამთხვე და მოსამზადებელი სანდოების განიავება....	152
14.1. გამომუშავებულ სივრცეებთან პაერის შეხების გარიანტები დამუშავების სისტემების მიხედვით.....	152
14.2. მოსამზადებელი სანგრევების განიავება.....	154
14.3. ყრუ სანგრევების განიავება გრძივი ტიხრებით.....	155
14.4. ყრუ სანგრევების განიავება პარალელური გვირაბებით....	155
14.5. ყრუ სანგრევების განიავება გვირაბების ფართე სელით გაყვანის დროს.....	157
14.6. ყრუ სანგრევების განიავება სავენტილაციო მილებით.....	158
14.7. ჭაურების სანგრევების განიავება მათი გაყვანის პროცესში.....	159
14.8. ყრუ სანგრევების განიავება დამხმარე ვენტილატორებით.....	161
15. საგენტილაციო ნაბეჭდანი.....	164
16. განიავების პონტონლი და დეპრესიული აბიბება.....	166
16.1. პაერის რაოდენობის და მისი მოძრაობის სიჩქარის კონტროლი.....	167

16.2. მაღაროს პაერის შემადგენლობის კონტროლი.....	168
16.3. დეპრესიული აგეგმვა.....	170
16.4. შახტის მთლიანი დეპრესიის გაანგარიშება.....	171
16.5. შახტის მაქსიმალური და მინიმალური აქცივალენტური ხვრელების ანგარიში.....	173
17. კარივობის ხელოვნური ვენტილაცია.....	174
17.1. კარიერების ხელოვნური ვენტილაციის ხერხები.....	174
17.2. კარიერებში ბუნებრივი ჰაერცვლის ინტენსიფიკაცია.....	175
17.3. კარიერების განიავება მილებისა და გვირაბების საშუალებით.....	179
17.4. კარიერების განიავება იზოთერმული ნაკადებით.....	181
17.5. სავიაციო რეაქტიული ძრავებით შექმნილი არაიზოთერმული ჭავლებით კარიერების განიავების სქემები.....	185
17.6. სითბოს ხელოვნური წყაროებით შექმნილი კონვექციური ჭავლებით კარიერების განიავება.....	187
18. მამდიდრებელი და საბრივებრივი ზაბრივების განიავება... 18.1. სამრეწველო ვენტილაციის დანიშნულება, მისი მეთოდები და საშუალებები.....	189
18.2. მექანიკური და ბუნებრივი ვენტილაციის ზოგადი ცნობები.....	192
18.3. სათავსში მავნეობის განსაზღვრის მეთოდი.....	194
18.4. ჰაერის რაოდენობის განსაზღვრა ჭარბი სითბოს მიხედვით.....	197
18.5. საერთო მექანიკური ვენტილაცია.....	198
18.6. ზოგადი ცნობები აერაციის შესახებ.....	199

18.7. ქარის ზემოქმედებით გამოწვეული პაერის მოძრაობა.....	200
18.8. აერაციის ანგარიშის ძირითადი დებულებანი.....	202
ნაწილ IV. სამთო საჭარმოთა ვალიულაციების	
დაპროექტება	211
19. მაღაროების ბანიავების სქემისა და ხერხის დადგენა.....	211
19.1. ზოგადი ცნობები.....	211
19.2. მაღაროს განიავების სქემები.....	212
19.3. მთავარი განიავების ვენტილატორების განლაგება მიწისქვეშ და მიწის ზედაპირზე.....	216
19.4. შემწოვი და დამჭირხნი განიავება.....	217
20. ნახშირის მაღაროების ბასანიავებელი პარის რაოდენობის ბაანბარიშება.....	219
20.1. ზოგადი ცნობები.....	219
20.2. საწმენი სანგრევების გასანიავებელი პაერის გაანგარიშება.....	221
20.3. მოსამზადებელი სანგრევის გასანიავებელი პაერის გაანგარიშება.....	223
20.4. ამოსაღები უბნის გასანიავებელი პაერის რაოდენობა.....	225
20.5. სხვადასხვა კამერების გასანიავებელი პაერის რაოდენობა.....	226
20.6. შახტის გასანიავებელი და ვენტილატორის მიერ შეწოვილი პაერის რაოდენობა.....	227
20.7. მაღაროების საბადოთა მაღაროების გასანიავებელი პაერის რაოდენობის გაანგარიშება.....	228
21. კარიერების ბანიავების დაპროექტება.....	232

21.1. კარიერის განიავებაზე მოქმედი ბუნებრივი	
პირობების ზეგავლენა.....	232
21.2. ვენტილაციის ფაქტორების გათვალისწინებით და	
სამოო სამუშაოების ტექნოლოგიური საფუძვლების	
შერჩევა.....	234
21.3. კარიერების ბუნებრივი განიავების პარამეტრების	
განსაზღვრა.....	241
21.4. კარიერის ბუნებრივი განიავების ინტენსიფიკაცია	
და მისი ატმოსფეროს გამაჯანსაღებელი	
ტექნოლოგიური ღონისძიებები.....	243
21.5. კარიერის ხელოვნური ვენტილაციის საშუალებების	
გამოყენების პერიოდებისა და მასშტაბების	
განსაზღვრა.....	245
21.6. კარიერის ვენტილაციისათვის აუცილებელი ჰაერის	
რაოდენობისა და სავენტილატორო დანადგარების	
რიცხვის განსაზღვრა.....	247
21.7. სავენტილატორო დანადგარების, მათი განლაგების	
ადგილისა და ერთობლივი მუშაობის სქემების	
შერჩევა.....	249
21.8. კარიერების ხელოვნური განიავების სქემები.....	252
ლიტერატურა.....	260

იბეჭდება ავტორის მიერ ჭარმოდგენილი სახით

გადაეცა წარმოებას 01.05.2008. ხელმოწერილია დასაბეჭდად 08.05.2008. ქაღალდის ზომა 60X84 1/16. პირობითი ნაბეჭდი თაბაზი 16,5. ტირაჟი 100 ეგზ.

საგამომცემლო სახლი „ტექნიკური უნივერსიტეტი“, თბილისი,
კოსტავას 77

